

А К А Д Е М И Я   Н А У К   С С С Р

ЖУРНАЛ  
ФИЗИЧЕСКОЙ  
ХИМИИ

ТОМ  
XXXIV

ВЫПУСК 6

И Ю Н Ь

---

ИЗДАТЕЛЬСТВО АКАДЕМИИ НАУК СССР  
МОСКВА 1960

# ЖУРНАЛ ФИЗИЧЕСКОЙ ХИМИИ

*Редакционная коллегия:*

В. Я. АНОСОВ, К. В. АСТАХОВ, А. П. БРОДСКИЙ, Г. К. БОРЕСКОВ,  
Я. И. ГЕРАСИМОВ, С. В. ГОРБАЧЕВ, Г. С. ЖДАНОВ,  
Л. А. НИКОЛАЕВ, Н. Н. СЕМЕНОВ, А. Н. ТЕРЕНИН, А. Н. ФРУМКИН,  
К. В. ЧМУТОВ

*Главный редактор* Я. И. ГЕРАСИМОВ

*Заместители главного редактора:* С. В. ГОРБАЧЕВ, К. В. ЧМУТОВ

*Отв. секретарь* Л. А. НИКОЛАЕВ



## К ИЗУЧЕНИЮ КИНЕТИКИ АДсорбЦИИ ВОДОРОДА И КИСЛОРОДА И ИХ ВЗАИМОДЕЙСТВИЯ НА ПЛАТИНЕ

*П. К. Мигаль и В. А. Циплякова*

Среди адсорбционных процессов, представляющих интерес для катализа, можно в первую очередь назвать адсорбцию водорода и кислорода металлах, часто употребляемых в гидрогенизационном и окислительном процессах. Особый интерес для катализа представляет не столько величина адсорбции, сколько скорость ее.

Изучению скорости адсорбции водорода и кислорода на металлах, применяемых в качестве катализаторов, посвящено большое число работ (см., например, [1]). На основании этих работ можно сделать вывод о хорошей применимости для многих случаев адсорбции водорода и кислорода кинетических уравнений Беххема — Барта:

$$n = at^{1/3}, \quad (1)$$

Рогинского — Зельдовича:

$$dn/dt = ae^{-\alpha n}. \quad (2)$$

Однако в литературе имеется мало работ по комплексному исследованию адсорбционных и каталитических свойств, хотя они и позволяют решать вопрос о роли адсорбции в катализе. В этом отношении представляет интерес электрохимический метод изучения адсорбционных, каталитических и электрохимических свойств платиновых катализаторов, разработанный А. И. Шлыгиным и А. Н. Фрумкиным [2]. Этот метод (высоких зарядов) получил в последнее время относительно широкое распространение для изучения адсорбции водорода и кислорода на металлах платиновой группы.

А. И. Шлыгиным [3] был разработан прямой метод изучения кинетики адсорбции электрохимически активных газов, основанный на методе кривых зарядов и использующий чувствительность платинового электрода-катализатора к следам водорода и кислорода, адсорбированных на нем. Этот метод применялся в данной работе для изучения кинетики адсорбции водорода и кислорода, а также их взаимодействия в слое платины в присутствии мышьяка, ртути и цианидов.

Влияние мышьяка, ртути и цианидов на адсорбцию водорода и кислорода на платине изучалось А. Н. Фрумкиным и А. И. Шлыгиным с сотрудниками. Ими была показана специфичность действия этих ядов.

Изучение кинетики адсорбции водорода на никеле в присутствии ртути и дициана водилось в работе [4], в которой установлена линейная зависимость между логарифмом константы скорости и количеством введенного яда. Кривые скорости адсорбции изменяли свою форму по мере введения яда.

Опубликованные работы по изучению взаимодействия водорода с кислородом в жидкой фазе на платине относятся к области исследования обычной каталитической реакции. Так, в работах [5—8] исследовался катализ гремучего газа из смесей водорода и кислорода различного состава для выяснения влияния различных факторов, заключенных в контактных ядах.

Из результатов исследования указанных авторов вытекает применимость такой модели для данной реакции, согласно которой скорость реакции определяется соударением атомов кислорода с адсорбированными атомами водорода, или, наоборот, в зависимости от того, какой компонент (водород или кислород) преобладает в данной реакционной смеси.

Несомненный интерес представляла проверка этих выводов непосредственным проведением реакции в слое между адсорбированным водородом и молекулярным кислородом, а также адсорбированным кислородом и молекулярным водородом. Реакция, представляющая интересную в теоретическом отношении, но мало изученную область катализа.

### Экспериментальная часть

**Методика.** При изучении влияния добавок на кинетику адсорбции и взаимодействие в слое водорода с кислородом ставились три серии опытов. Каждая серия проводилась в следующем порядке. Используемый электрод-катализатор готовился электрохимическим осаждением платиновой черни на платиновую пластинку из 2%-ного раствора хлорплатината при постоянной плотности тока, равной  $4 \cdot 10^{-3}$  А/см<sup>2</sup>.

Для получения необходимых характеристик свежеприготовленных катализаторов на них снимались кривые заряжения в  $0,1\text{ N HCl}$  (для определения истинной поверхности, размер которой был примерно равен  $100\,000\text{ см}^2$ ) и в  $0,1\text{ N H}_2\text{SO}_4$  (для измерения адсорбционной способности электрода-катализатора). Сила поляризационного тока была  $1,5\text{ mA}$ . В качестве электрода сравнения использовался ртутросульфат (в случае употребления сернокислых растворов) и каломельный электрод (в случае ланоислых растворов). За нуль потенциала принимался потенциал обратимого водородного электрода в данном растворе электролита.

После снятия кривых заряжения на неотравленном катализаторе изучалась кинетика адсорбции водорода, а также реакция между адсорбированным водородом и молекулярным кислородом, с одной стороны, и кинетика адсорбции кислорода, а также взаимодействия адсорбированного кислорода с молекулярным водородом — с другой. Кинетические опыты проводились в специальной электролитической ячейке. Ячейка обеспечивала возможность измерения потенциала во время вытеснения ее для насыщения электрода водородом или кислородом. Для стандартизации условий проведения кинетических опытов использовался раствор электролита, из которого предварительно был удален кислород путем насыщения азотом. Электролитами служили  $0,1\text{ N}$  растворы серной кислоты и едкого натра.

При изучении кинетики адсорбции водорода или кислорода электролитическая ячейка наполнялась раствором электролита, и проводилась электрохимическая дегазация поверхности электрода путем анодной или катодной поляризации до области дуплированного слоя, затем половина объема раствора из ячейки вытеснялась водородом или кислородом, и при интенсивном вытеснении ячейки ( $700\text{--}800$  встряхиваний в минуту) каждые 30 сек. измерялся потенциал электрода вплоть до насыщения его. Интенсивное перемешивание необходимо было для обеспечения проведения опытов в кинетической области и полного насыщения электролитов кислородом или водородом.

В результате проведения кинетических опытов получались кривые потенциала во время. Эти кривые при помощи соответствующих кривых заряжения пересчитывались на кинетические кривые обычного вида: количество адсорбированного газа — время.

Количество адсорбированного водорода определялось по количеству затраченного электричества с учетом зарядки двойного слоя, т. е. по кривой катодной поляризации от двойного слоя в водородной области. Такой расчет количества адсорбированного водорода не должен вызывать сомнения для адсорбции на чистой платине, платине, отравленной ртутью, циан-ионами и сравнительно небольшими количествами мышьяка (до 20% покрытия поверхности платины мышьяком), где имеет место приблизительно обратимый процесс. Этот расчет имеет некоторую погрешность при больших отравлениях платины мышьяком, где уже наблюдается явно необратимый процесс.

Кривые прямого и обратного заряжения в кислородной области имеют значительную гистерезисную петлю, являющуюся результатом необратимости процесса в этой области. Расчет количества адсорбированного кислорода мы проводили по прямому ходу кривой заряжения, т. е. по кривой анодной поляризации в кислородной области до  $1,0\text{ V}$  (по сравнению с обратимым водородным потенциалом в данном растворе). Такой метод расчета количества адсорбированного кислорода нами был принят в следующих сообщениях. Адсорбция кислорода платиной не идет выше потенциала  $1,0\text{ V}$ , в то время как конец кислородной области по кривой заряжения лежит в области потенциала выделения кислорода, т. е. около  $1,5\text{ V}$  и соответствует более сильному окислению электрода. Известно, что участок кислородной области до  $1,0\text{ V}$  менее необходим. Таким образом, ограничивая кислородную область, с некоторой погрешностью был сделан пересчет экспериментальных кривых потенциал — время на обычные кинетические кривые: количество адсорбированного кислорода — время.

Методика изучения реакции в слое была аналогична только что описанной с теми же изменениями, обусловленными целью работы.

Затем следовала операция отравления электрода-катализатора различными добавками. Отравление мышьяком и ртутью производилось растворами  $\text{As}_2\text{O}_3$  и  $\text{HgSO}_4$  в сернокислой среде. Яды вводились из расчета определенного процента покрытия поверхности катализатора и восстанавливались водородом на электроде при потенциале обратимого водородного электрода. Опыты на отравленном мышьяком и ртутью катализаторе проводились при отсутствии яда в самом растворе.

Отравление катализатора циан-ионами производилось в щелочной среде, в постоянном присутствии яда в растворе.

После введения яда изучалась скорость адсорбции водорода и кислорода, взаимодействие водорода с кислородом, а также снимались кривые заряжения. Для исследования влияния добавки бралось несколько концентраций ее.

**Адсорбция водорода.** Экспериментальные данные по адсорбции водорода в присутствии мышьяка представлены на рис. 1.

Из экспериментальных данных по изучению скорости адсорбции водорода на свежеприготовленном катализаторе в  $0,1\text{ N}$  серной кислоте (кислота  $I$ ) следует, что адсорбция водорода подчиняется нулевому порядку.

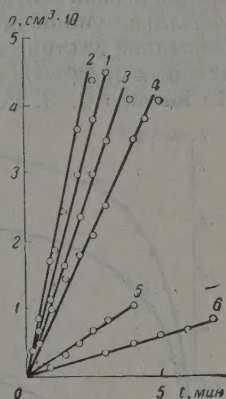
Мышьяк (рис. 1) не меняет характера адсорбционного процесса. Кинетические изотермы остаются линейными почти на всем протяжении, да



для больших количеств введенной добавки яда (кривые 5 и 6, соответствующие введению мышьяка из расчета 50 и 80% покрытия). На скорость адсорбции водорода мышьяк влияет следующим образом: первая сравнительно малая порция мышьяка (порядка 1%) увеличивает скорость адсорбции; следующие возрастающие порции добавки постепенно снижают скорость до минимума.

Данные по изучению влияния атомарной ртути на адсорбцию водорода на платине представлены на рис. 2. Как видно из рисунка, первая сравнительно малая порция добавки (порядка сотых процента) приводит, как и в случае мышьяка, к активации контакта в отношении адсорбции водорода. При этом характер адсорбционного процесса не меняется.

Рис. 1. Кривые адсорбции водорода на платине в присутствии мышьяка: 1—0%; 2—1%; 3—5%; 4—20%; 5—50%; 6—80% покрытия поверхности платины мышьяком



Дальнейшие возрастающие порции добавки уменьшают скорость адсорбции и меняют форму кинетических адсорбционных изотерм, которые из прямых постепенно превращаются в кривые.

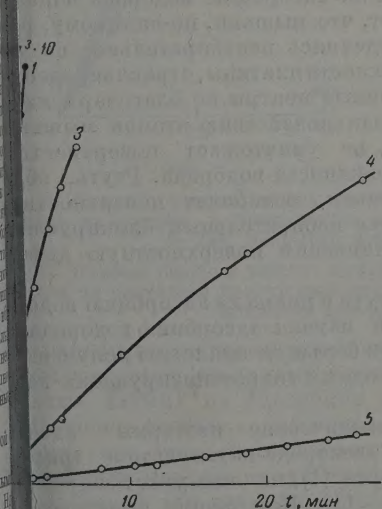


Рис. 2

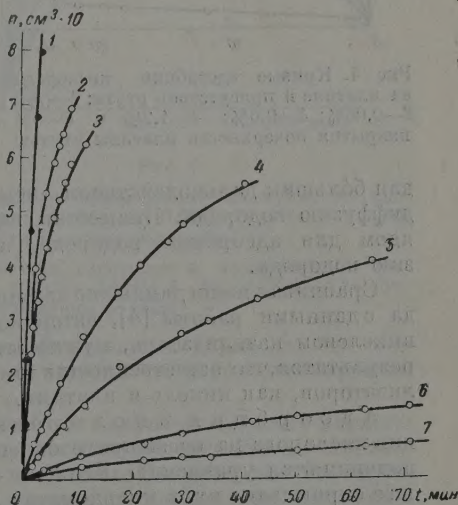


Рис. 3

2. Кривые адсорбции водорода на платине в присутствии ртути: 1—0%; 2—0,05%; 3—1%; 4—5% и 5—10% покрытия поверхности платины ртутью

3. Кривые адсорбции водорода на платине в присутствии KCN: 1—0; 2— $6,16 \times 10^{-7}$  моль/л; 3— $2,46 \cdot 10^{-6}$  моль/л; 4— $5,6 \cdot 10^{-6}$  моль/л; 5— $1,1 \cdot 10^{-5}$  моль/л; 6— $2,46 \cdot 10^{-5}$  моль/л и 7— $4,4 \cdot 10^{-5}$  моль/л KCN

Влияние циан-ионов на адсорбцию водорода на платине представлено рис. 3. Как видно из рисунка, скорость адсорбции водорода в отсутствие KCN, как и в кислой среде, отвечает нулевому порядку. С введением KCN скорость адсорбции водорода уменьшается и меняется характер кинетической изотермы: из прямой, соответствующей нулевому по-

рядку, постепенно превращается в кривые, удовлетворительно подчиняющиеся первому порядку.

Полученные экспериментальные данные позволяют сделать некоторые предположения относительно механизма адсорбции водорода. Экспериментально установлен нулевой порядок для адсорбции водорода на неотравленной платине в кислой и щелочной средах. Нулевой порядок адсорбционных процессов характерен для определенной поверхности адсорбента.

По мнению С. З. Рогинского [1], нулевой порядок адсорбции возможен только для квазиравновесного распределения сорбтива по неоднородной поверхности при условии симбатности теплоты адсорбции и энергии активации одних и тех же участков поверхности и интенсивного поверхностного перераспределения адсорбированных молекул при постоянном давлении адсорбтива. Мы считаем, что адсорбция водорода на неотравленной платине в кислой и щелочной средах отвечает только что описанному механизму, тем более что давление водорода в системе было постоянным.

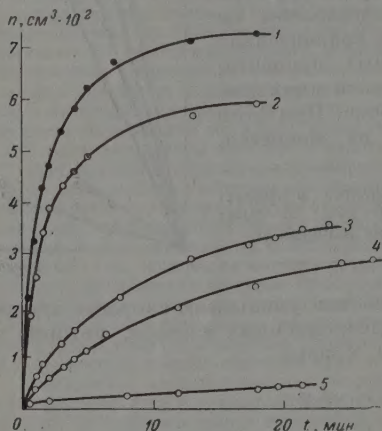


Рис. 4. Кривые адсорбции кислорода на платине в присутствии ртути: 1—0%; 2—0,06%; 3—0,6%; 4—1,2% и 5—3% покрытия поверхности платины ртутью

давая большим дальностью действия, чем диффузию водорода. Циан-ионы являются избирательным блокирующим ядом для адсорбции водорода, затрудняющим поверхностную диффузию водорода.

Сравнивая наши данные по влиянию ртути и циана на адсорбцию водорода с данными работы [4], автор которой изучал адсорбцию водорода никелевым катализатором, нужно отметить большую аналогию полученных результатов, что естественно для таких сходных гидрогенизирующих катализаторов, как никель и платина.

**Адсорбция кислорода.** Кинетические изотермы адсорбции кислорода на свежеприготовленном электроде-катализаторе (рис. 1) подчиняются уравнению Бенхем — Барта (1), на что указывает хорошее спрямление их в координатах  $\lg n - \lg t$ . Как форма кинетической кривой, так и скорость адсорбции кислорода не зависят от электролита. Действие всех изученных добавок на скорость адсорбции кислорода сходно, но отличается интенсивностью в следующей последовательности  $CN' > Hg > As$ .

На рис. 4 показано влияние ртути на кинетику адсорбции кислорода. Аналогичная зависимость получена для мышьяка и циан-ионов. Все добавки, уменьшая скорость адсорбции, не изменяют характера адсорбционного процесса. Таким образом, механизм отравления укладывается в рамки представлений о микроблокировке, следствием чего является сохранение одного и того же механизма адсорбции — практически необратимого закрепления кислорода на поверхности без последующего перераспределения путем поверхностной диффузии.

**Реакция между адсорбированным водородом и молекулярным кислородом.** Реакция в с



жду адсорбированным водородом и молекулярным кислородом на неотравленном катализаторе как в кислой, так и в щелочной среде (кривая 1, ис. 5, 6, 7) подчиняется нулевому порядку. В случае каталитической реакции в адсорбированном слое постоянную скорость может обеспечить только быстрая поверхностная подвижность реагента. Следовательно, для реакции между адсорбированным водородом и молекулярным кислородом на платине в жидкой среде необходимо принять наличие интенсивного

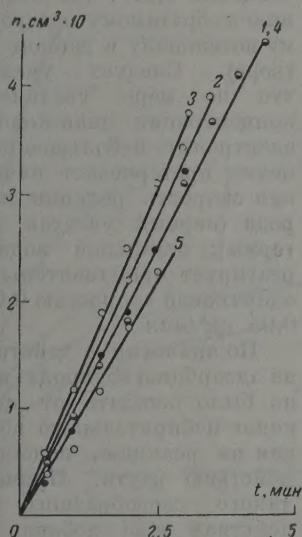


Рис. 5

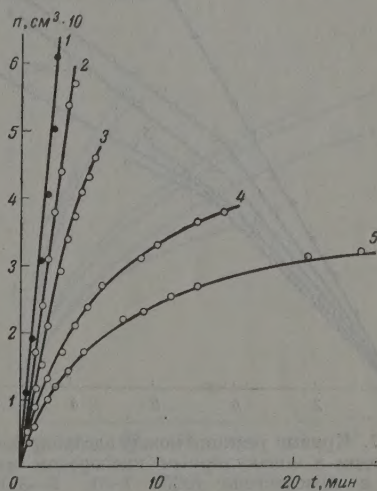


Рис. 6

5. Кривые реакции между адсорбированным водородом и молекулярным кислородом на платине в присутствии мышьяка: 1—0%; 2—0,05%; 3—1%; 4—10% и 5—25% покрытия поверхности платины мышьяком

6. Кривые реакции между адсорбированным водородом и молекулярным кислородом на платине в присутствии ртути: 1—0%; 2—0,05%; 3—1%; 4—5% и 5—10% покрытия поверхности платины ртутью

поверхностного перераспределения адсорбированного водорода, что подтверждает выше сделанные аналогичные выводы на основе экспериментальных данных по адсорбции водорода.

Введение мышьяка, как видно из рис. 5, не нарушает нулевого порядка реакции, т. е. мышьяк, как это выяснилось и в случае адсорбции водорода, влияет на поверхностную диффузию последнего, являясь неизбирательной добавкой для реакции. Однако в отличие от влияния на адсорбцию водорода, мышьяк практически не действует на скорость реакции, в то время как адсорбцию водорода он замедляет, благодаря уменьшению действующей поверхности.

Данные по влиянию ртути на кинетику реакции в слое между адсорбированным водородом и молекулярным кислородом приведены на рис. 6. Как видно из рис. 6, уменьшает скорость реакции и изменяет ее порядок. Так, при введении ртути из расчета 1% покрытия поверхности платины реакция уже не отвечает нулевому порядку, но еще и не подчиняется вому порядку. Следующие возрастающие порции добавки окончательно устанавливают первый порядок. Таким образом ртуть является ядом реакции между адсорбированным водородом и молекулярным кислородом, замедляющим поверхностную диффузию водорода. Этот вывод находится так же в полном согласии с аналогичным выводом, сделанным на основании результатов изучения влияния ртути на адсорбцию водорода.

Влияние циан-ионов на кинетику реакции между адсорбированным водородом и молекулярным кислородом представлено на рис. 7. С первых порций введенных в электролит циан-ионов кинетические изотермы реакции из прямых, отвечающих нулевому порядку, превращаются в ломаные с двумя линейными отрезками, имеющими различный наклон к абсцисс (времени). Вне зависимости от количества введенных циан-ионов излом этих изотерм наблюдается приблизительно при одном и том же по-

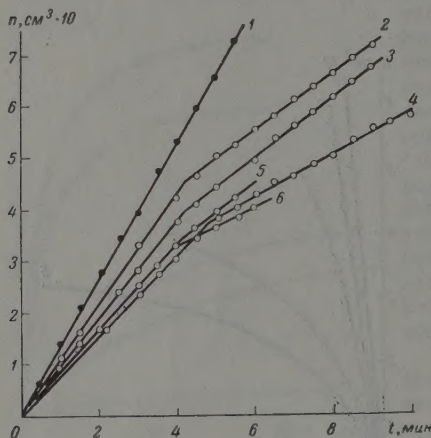


Рис. 7. Кривые реакции между адсорбированным водородом и молекулярным кислородом на платине в присутствии KCN: 1—0; 2— $3,08 \cdot 10^{-7}$  моль/л; 3— $6,16 \cdot 10^{-7}$  моль/л; 4— $5,56 \cdot 10^{-6}$  моль/л; 5— $1,54 \cdot 10^{-5}$  моль/л и 6— $2,41 \cdot 10^{-5}$  моль/л KCN

Такое предположение не противоречит факту неизбирательного действия циан-ионов на реакцию, хотя на адсорбцию водорода они действуют избирательно. Действительно, в случае изучения адсорбции водорода яд вводился при потенциале двойного слоя, т. е. на газированную поверхность, в опытах же по изучению скорости реакции, которые проводились сразу же после опытов по адсорбции, вводился при потенциалах, близких к обратимому водородному потенциалу, т. е. в условиях заполнения поверхности водородом.

Реакция между адсорбированным кислородом и молекулярным водородом. Реакция между адсорбированным кислородом и молекулярным водородом на неотравленном платиновом катализаторе в кислой среде удовлетворительно подчиняется первому порядку (кривая 1 рис. 8). В щелочной же среде она не укладывается в первый порядок. Кроме этого, скорость реакции в щелочной среде примерно в 15 раз меньше, чем в кислой среде. Как было сказано выше в работах Гофмана с сотрудниками [5], которые в сущности изучали реакцию в слое между водородом и кислородом, также указывается на торможение реакции между адсорбированным кислородом и газообразным водородом в щелочи. Авторы объяснили торможение плохой реакционной способностью водорода в щелочи.

Мы склонны придерживаться мнения Е. И. Шульц с сотрудниками [6] о том, что причиной торможения является специфическая адсорбция  $\text{OH}^-$ -ионов на поверхности платины.

Кинетические изотермы исследуемой реакции в присутствии ртути представлены на рис. 8. Ртуть, как показывают экспериментальные дан-

ные, при потенциале 0,27 V (по отношению к обратимому водородному потенциалу в данном растворе). Следует указать, что по мере увеличения концентрации циан-ионов в электролите небольшое изменение претерпевает начальная скорость реакции водорода (первый участок изотермы); остальной водород реагирует приблизительно одинаковой скоростью 0,04–0,05  $\text{см}^3/\text{мин}$ .

По аналогии с действием на адсорбцию водорода можно было ожидать от циан-ионов избирательного действия на реакцию, подобно действию ртути. Причиной такого своеобразного действия этой добавки мы считаем специфическую адсорбцию циан-ионов, которая, вероятно, осуществляется вблизи потенциала 0,27



практически не изменяет характера реакционного процесса, уменьшая лишь скорость реакции по мере введения возрастающих порций добавки. Мышьяк, подобно ртути, также уменьшает скорость реакции, не нарушая ее первого порядка.

Данные по влиянию циан-ионов на реакцию в слое между адсорбированным кислородом и молекулярным водородом приведены на рис. 9. Цианы ускоряют данную реакцию, по-видимому, нивелируя отрицательное действие щелочной среды, вытесняя гидроксильные ионы из адсорбированного слоя.

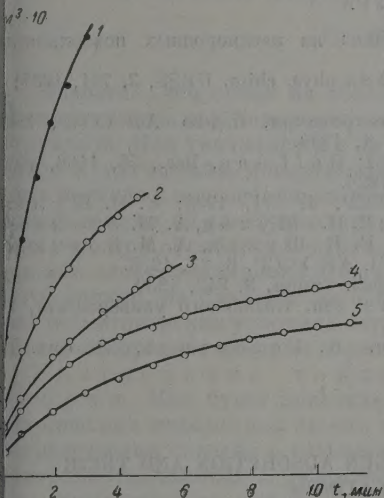


Рис. 8

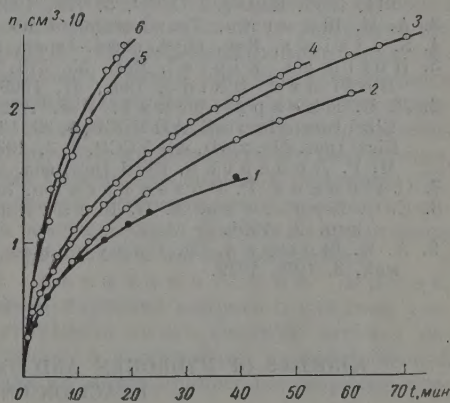


Рис. 9

с. 8. Кривые реакции между адсорбированным кислородом и молекулярным водородом на платине в присутствии ртути: 1—0%; 2—0,06%; 3—0,6%; 4—1,2% и 5—6% покрытия поверхности платины ртутью

с. 9. Кривые реакции между адсорбированным кислородом и молекулярным водородом на платине в присутствии KCN: 1—0; 2— $1,45 \cdot 10^{-6}$  моль/л; 3— $2,46 \cdot 10^{-6}$  моль/л; 4— $7,68 \cdot 10^{-6}$  моль/л; 5— $2,77 \cdot 10^{-5}$  моль/л и 6— $4,68 \cdot 10^{-5}$  моль/л KCN

Для реакции между адсорбированным кислородом и молекулярным водородом возможен механизм без поверхностного перераспределения кислорода.

### Выводы

1. Изучена кинетика адсорбции водорода и кислорода и их взаимодействия в слое на платине в присутствии мышьяка, ртути и циан-ионов.
2. Установлен нулевой порядок для адсорбции водорода на неотравленной платине. Высказано предположение относительно механизма адсорбции водорода в присутствии мышьяка, ртути и циан-ионов.
3. Адсорбция кислорода на неотравленной платине и в присутствии мышьяка, ртути и циан-ионов удовлетворительно описывается уравнением Ленгмюра — Барта. Интенсивность воздействия добавок убывает в ряду  $N' > Hg > As$ .
4. Изучена реакция между адсорбированным водородом и молекулярным кислородом. Высказано предположение, что скорость реакции определяется числом соударений молекул кислорода с поверхностью адсорбента, насыщенного водородом при наличии поверхностного перераспределения водорода.
5. Изучена реакция между адсорбированным кислородом и молекулярным водородом. Высказано предположение об аналогичном механизме

реакции, но уже без поверхностного перераспределения кислорода. Показано, что мышьяк и ртуть замедляют реакцию, а циан-ионы увеличивают ее скорость. В присутствии всех трех добавок реакция подчиняется первому порядку.

Кишиневский государственный  
университет

Поступила  
6.IX.1955

#### ЛИТЕРАТУРА

1. С. З. Рогинский, Адсорбция и катализ на неоднородных поверхностях. Изд-во АН СССР, 1943.
2. А. И. Шлыгин, А. Н. Фрумкин, Acta phys. chim. URSS, 3, 791, 1935; 911, 1936, Изв. АН СССР, 5, 773, 1936.
3. А. И. Шлыгин, Тр. Совещания по электрохимии, Изд-во АН СССР, 195.
4. S. Jizima, Rev. phys. chem.-Japan, 13, 1, 1939.
5. Hoffman, Zipfel, Ber., 55, 573, 1922; Hoffman, Ber., 56, 1166, 1923; Hoffman, Doldge, Ber., 57, 1969, 1924.
6. Л. В. Писаржевский, Изв. АН СССР, 4, 571, 1933; Е. И. Шульц, Вісті Інст. фіз. хімії, АН УССР, 5, 29, 1936; Е. И. Шульц, А. М. Зоткин, Вісті Інст. фіз. хімії, АН УССР, 7, 3, 1937; Е. И. Шульц, А. М. Зоткин, М. Г. Леберсон, Вісті Інст. фіз. хімії, АН УССР, 8, 23, 1938.
7. С. Левина, Р. Розентрер, Ж. физ. химии, 3, 942, 1939.
8. Е. С. Кузелева, А. И. Шлыгин, Уч. зап. Казахского университета, 1, вып. 2, 1951.
9. А. И. Шлыгин, М. Разумовская, К. Розенталь, Ж. физ. химии, 3, 1079, 1939.

#### KINETICS OF HYDROGEN AND OXYGEN ADSORPTION AND THEIR REACTION ON PLATINUM

*P. K. Migal' and V. A. Tsiplyakova (Kishinev)*

#### Summary

The adsorption of hydrogen and oxygen and their interaction in the surface layer in the presence of arsenic, mercury and of cyanide ions have been investigated.

The rate of adsorption of hydrogen on non-poisoned platinum has been found to be of zero order. Assumptions have been made as to the mechanism of adsorption of hydrogen in the presence of arsenic and mercury and of cyanide ions.

The rate of adsorption of hydrogen both on non-poisoned platinum and in the presence of arsenic and mercury and of cyanide ions is satisfactorily described by the Benham—Barrett equation. The effect of these ions diminishes in intensity in the order  $CN^- > Hg > As$ .

A study has been made of the kinetics of reaction between adsorbed hydrogen and molecular oxygen. It has been suggested that the reaction takes place according to the «impact» mechanism with redistribution of hydrogen on the surface. The specific influence of arsenic, mercury and cyanide on the rate of reaction has been established.

The reaction between adsorbed oxygen and molecular hydrogen has been investigated. The reaction has been assumed to take place according to the «impact» mechanism without surface redistribution of oxygen. Arsenic and hydrogen have been shown to retard the reaction, whereas cyanide ions accelerate it. In the presence of all three additions the reaction obeys first order kinetics.



## О ТЕОРИИ АНОДНОЙ ЗАТОЧКИ ИНСТРУМЕНТА

С. И. Кричмар

Известно, что одной из областей практического применения процесса электрохимической полировки является улучшение свойств режущего инструмента. Как указывается в литературе [1], роль электрополировки сводится к улучшению поверхности режущих граней, снятию усталостного слоя металла и повышению антикоррозионных свойств. На основании имеющихся данных об электрополировке, на первый взгляд, следовало бы ожидать, что при обработке инструмента должно происходить его затупление, так как электрополировка сглаживает неровности большой кривизны [2]. Однако, на практике не наблюдается. Причина этого кроется в особых геометрических условиях острия режущего инструмента во время анодного растворения, которые и рассматриваются в настоящей работе.

**Растворение тонких металлических нитей.** Теория. Как будет показано ниже, изучение вопроса о влиянии геометрических параметров лезвия инструмента на его анодную заточку непосредственно связано с решением задачи о растворении цилиндрической поверхности, частным случаем которой является процесс растворения тонких металлических нитей.

Рассмотрим случаи диффузионной кинетики. В отсутствие вынужденной конвекции конвективные члены в уравнении диффузии можно в первом приближении опустить. Таким образом, для вертикального цилиндрического бесконечно большого анода будем иметь

$$D \left( \frac{\partial^2 c}{\partial r^2} + \frac{1}{r} \frac{\partial c}{\partial r} \right) = 0, \quad (1)$$

где  $D$  — эффективный коэффициент диффузии продуктов анодной реакции — их концентрация,  $r$  — радиус-вектор. Так как член  $\partial^2 c / \partial x^2$  мал по сравнению с остальными членами. Граничными условиями нашей задачи будут

$$c = c_0 \text{ при } r = r_0, \quad c = 0 \text{ при } r = r_0 + \delta, \quad (2)$$

где  $c_0$  — концентрация продуктов реакции у поверхности цилиндра радиуса  $r_0$ ,  $\delta$  — эффективная толщина слоя электролита, в котором происходит основное изменение концентрации. Мы предположим в первом приближении, что  $\delta$  не зависит от координаты  $x$ , направленной вдоль образующей. Перепишем (1) так

$$d \left[ \ln \left( \frac{\partial c}{\partial r} \right) \right] = -d \ln r. \quad (3)$$

Интегрируя, получим

$$\frac{\partial c}{\partial r} = \frac{a}{r}. \quad (4)$$

Интегрируя повторно, с учетом граничных условий, получим

$$c = c_0 \frac{\ln \frac{r}{r_0 + \delta}}{\ln \frac{r_0}{r_0 + \delta}}. \quad (5)$$

Откуда имеем

$$f = D \left( \frac{\partial c}{\partial r} \right)_{r=r_0} = -D r_0 \frac{c_0}{\ln \frac{r_0}{r_0 + \delta}}; \quad i = \frac{n F D c_0}{r_0 \ln \left( 1 + \frac{\delta}{r_0} \right)}, \quad (6)$$

где  $i$  — ток к аноду,  $n$  — валентность уходящих ионов. Так как величина  $\ln \frac{r_0}{r_0 + \delta}$  отрицательна, а поток  $f$  здесь и в дальнейшем будем считать положительным, в (6) значение  $\left( \frac{\partial c}{\partial r} \right)_{r=r_0}$  подставлено с минусом. Скорость растворения цилиндрической бесконечной нити будет

$$-\frac{dr_0}{dt} = \frac{D M c_0}{\rho} \cdot \frac{1}{r_0 \ln \left( 1 + \frac{\delta}{r_0} \right)}, \quad (7)$$

где  $\rho$  — плотность,  $M$  — молекулярный вес металла.

Для тонких нитей  $\delta/r \gg 1$ , и

$$-\frac{dr_0}{dt} \approx \frac{M D c_0}{\rho} \frac{1}{r_0 \ln \frac{\delta}{r_0}}.$$

Время полного растворения нити будет

$$t = -\frac{\rho}{M D c_0} \int_{r_0}^0 r_0 \ln \frac{\delta}{r_0} dr_0 = \int_0^{r_0} \frac{\rho r_0^2}{M D c_0} \left[ \frac{\ln \frac{r_0}{\delta}}{2} - \frac{1}{4} \right] \approx \frac{\rho r_0^2}{2 M D c_0} \ln \frac{\delta}{r_0}. \quad (8)$$

При опытной проверке (8) возникает затруднение в определении  $D c_0$ . Для того чтобы исключить в (8) произведение  $D c_0$ , воспользуемся соотношением для предельного тока на плоский электрод ( $i_n$ ):

$$i_n = n F D \frac{c_0}{\delta_n}. \quad (9)$$

Находим

$$D c_0 = i_n \delta_n / n F, \quad (10)$$

где  $\delta_n$  — эффективная толщина диффузионного слоя на плоский электрод. Подставляя в (8), получим

$$t \approx \frac{n F \rho r_0^2}{2 M i_n \delta_n} \ln \frac{\delta_n}{r_0}, \quad (11)$$

так как, с одной стороны, опыт показывает, что  $\delta_n$  мало отличается от  $\delta$  с другой — благодаря тому, что замена производится под знаком логарифма.

При сравнении времени или скоростей растворения двух нитей видно, что более тонкие нити растворяются быстрее. Отдельные, более тонкие участки реальной нити будут растворяться с возрастающей скоростью.

Таким образом, наличие даже очень небольших отклонений в радиусах кривизны отдельных участков реальной нити приводит в процессе растворения к сильному искажению профиля нити, вплоть до разрывов ее в отдельных местах.

Из изложенного следует неприменимость процесса электрохимической полировки для получения сверхтонких нитей из более толстых (т. е. для доводки последних до нужных размеров, как это имеет место в инструментальной практике).

Экспериментальная проверка. Опытная проверка была проведена на медной проволоке диаметром 0,08 мм. Электролитом служила 10 М ортофосфорная кислота. Схема установки, на которой проводились опыты, представлена на рис. 1. Наблюдения за растворяющейся нитью проводились при помощи горизонтально расположенной трубы м



микроскопа. Измерения велись при помощи окулярного микрометра, калиброванного предварительно по объектмикрометру.

На рис. 2 представлена картина растворения медной нити  $\varnothing = 0,08$  мм в 10 М  $H_3PO_4$  при потенциале 1,30 по отношению к насыщенному каломель-

Рис. 1. Схема установки для изучения растворения тонких нитей. 1 — медная нить диаметром 0,08 мм; 2 — изолированный бакалитовым лаком токоподводящий проводник; 3 — каломельный электрод; 4 — спиральный проволоочный медный катод; 5 — электронный потенциометр ЛПУ-1

Рис. 2. Картина растворения тонкой нити, наблюдаемая в микроскоп: а — начальный момент, б — промежуточная стадия, в — момент разрыва нити

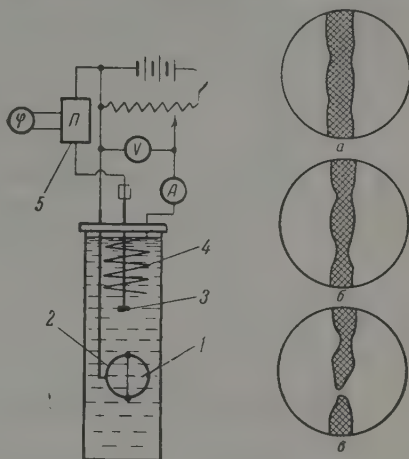


Рис. 1

Рис. 2

ному электроду. Наблюдения показывают, что как видно из приведенного рисунка, растворение тонких нитей имеет характер, согласующийся с теоретическими соображениями.

Одновременно с наблюдениями за растворением нитей проведено измерение толщины диффузионного слоя. В описанных условиях толщина эффективного диффузионного слоя оказалась равной  $6 \cdot 10^{-3}$  см и примерно одинаковой во всех точках электрода. Это несколько меньше, чем для плоского электрода в тех же условиях (для плоского электрода имеем  $9 \cdot 10^{-3}$  см [3]).

В табл. 1 сопоставлены рассчитанные, по уравнению (10), и экспериментальные данные времени полного растворения участков нити различных диаметров. Измерения проводились следующим образом.

Нить из электролитической меди диаметром 0,08 мм анодно растворяли до тех пор, пока наиболее толстые ее участки не достигали диаметра 0,04—0,06 мм. Благодаря некоторому различию в первоначальных диаметрах отдельных участков, к этому моменту времени ее радиус колеблется от 0,005 до 0,03 мм. Начиная с этого момента, велись наблюдения за растворением выбранного участка до момента разрыва нити.

Как видно из приводимых данных, полученные экспериментальные данные удовлетворительно согласуются с рассмотренными выше теоретическими представлениями.

**Растворение острия. Теория.** Рассмотрим случай растворения острия ножа, профиль которого представлен на рис. 3. Здесь — угол заострения,  $r_0$  — радиус заострения инструмента. При этом принято считать  $r_0$  постоянным [4]. В действительности же радиус заострения острия меняется от точки к точке, обращаясь в бесконечность в области обпрямления с гранями и принимая минимальное значение в вершине ост-

Таблица 1

Диаметр нити, см	Время растворения, сек.	
	опыт	расчет
0,0010	110	120
0,0025	430	455
0,0030	560	550
0,0015	200	189
0,0008	75	85
0,0060	1500	820

рия. Таким образом,  $r_0$  фактически является усредненным эффективным радиусом. Так как в рассматриваемых случаях нет необходимости в большой точности, в дальнейших расчетах мы будем оперировать с эффективным радиусом закругления, считая его постоянным вплоть до точек сопряжения с гранями. Обозначим через  $v_1$  скорость растворения граней, через  $v_2$  — скорость растворения острия. Как видно из рис. 2, профиль при растворении не будет изменяться, если  $v_{1x}$  (горизонтальная составляющая скоро-

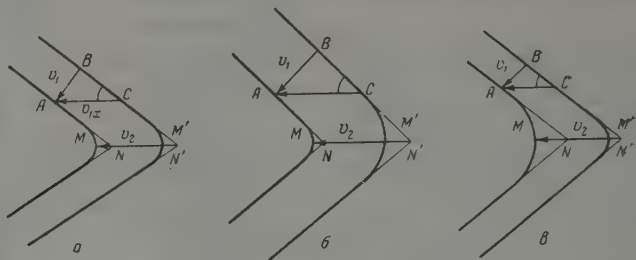


Рис. 3. Схема растворения острия: *a* — при постоянном радиусе закругления, *б* — при уменьшающемся, *в* — при увеличивающемся

сти  $v_1$ ) будет равна  $v_2$ . Действительно, имеем:  $v_{1x} = AC = NN'$ , но так как перемещение по оси  $x$  произошло без изменения профиля, то  $NN' = MM' = v_2$ , или

$$v_{1x} = v_2. \quad (12)$$

Из треугольника  $ABC$  имеем

$$v_2 \sin \frac{\alpha}{2} = v_{1x}. \quad (13)$$

Из рис. 2б и 2в видно, что если  $v_2 \sin \frac{\alpha}{2} \neq v_1$ , то в процессе растворения происходит изменение величины эффективного радиуса, так как только в этом случае отрезки  $NN' \neq MM'$ .

Для случая чисто диффузионной кинетики имеем

$$v_1 = \frac{M}{\rho} f_1 = \frac{MDc_0}{\rho \delta}, \quad (14)$$

а для  $v_2$  из (6)

$$v_2 = \frac{M}{\rho} f_2 = \frac{MDc_0}{\rho} \cdot \frac{1}{r_0 \ln \left( 1 + \frac{\delta}{r_0} \right)}. \quad (15)$$

Подставляя (14) и (15) в (13), получим

$$\sin \frac{\alpha}{2} = \frac{r_0}{\delta} \ln \left( 1 + \frac{\delta}{r_0} \right), \quad (16)$$

здесь  $r_0$  — радиус заострения при растворении с неизменяющимся профилем острия.

Покажем далее, что (16) является уравнением для стационарного процесса. Предположим, что  $r > r_0$  (рис. 2б), в этом случае  $v_1 > v_2 \sin \frac{\alpha}{2}$ . Следовательно, в процессе растворения, так как скорость растворения граней больше, чем острия, эффективный радиус заострения его будет уменьшаться, пока не достигнет  $r_0$ .

Если  $r < r_0$  (рис. 2, в)  $v_1 < v_2 \sin \frac{\alpha}{2}$  — скорость растворения острия больше, чем граней, и радиус будет увеличиваться, пока не достигнет  $r_0$ . Таким о



разом система обязательно приходит к состоянию, характеризующемуся определенной величиной предельного эффективного радиуса закругления  $r_0$ . Как будет показано ниже, это состояние наступает практически довольно быстро, от десятка секунд до нескольких десятков минут, в зависимости от размеров первоначального радиуса закругления.

Из изложенного ясно, что при электрополировке в зависимости от толщины диффузионного слоя и угла заострения инструмента острое приобретает определенный радиус закругления. В некоторых случаях он может оказаться меньшим, чем это достигается механической заточкой. Тогда электрохимическая полировка может быть эффективно использована для дальнейшей заточки инструмента.

Оценим время достижения стационарного состояния, характеризующегося, как показано выше, предельным эффективным радиусом закругления  $r_0$ . Рассмотрим случай  $r > r_0$ .

Закрепив начало координат в точке  $O$  (рис. 4), видим, что если, как это мы приняли, считать радиус закругления только функцией времени, то точка сопряжения всегда будет находиться на нормали  $OL = r$ , проведенной из точки  $O$ . Отсюда следует, что

$$v_1 - v_2 \sin \frac{\alpha}{2} = \frac{dr}{dt}$$

или с учетом (14) и (15)

$$-\frac{dr}{dt} = \frac{MDc_0}{\rho} \left[ \frac{1}{\delta} - \frac{\sin \frac{\alpha}{2}}{r_0 \ln \left( 1 + \frac{\delta}{r_0} \right)} \right], \quad (17)$$

имеем

$$t = - \frac{\rho}{MDc_0} \int_r^{r_0} \frac{dr}{\frac{\sin \frac{\alpha}{2}}{r \ln \left( 1 + \frac{\delta}{r_0} \right)} - 1}. \quad (18)$$

Интегрирование (18) в общем случае затруднительно, поэтому мы ограничимся рассмотрением случая, когда отношение  $\delta/r$  лежит в пределах  $\delta/r < 10$ . Разложим  $\ln \left( 1 + \frac{\delta}{r} \right)$  в следующий ряд:

$$\ln x = 2 \left[ \frac{x-1}{x+1} + \frac{1}{3} \left( \frac{x-1}{x+1} \right)^3 + \dots \right]. \quad (19)$$

Полагая в (18)  $x = 1 + \delta/r$  и применив разложение (19), ограничиваясь первым членом ряда, получим

$$\begin{aligned} t &= - \frac{\rho \delta}{MDc_0} \int_r^{r_0} \frac{r dr}{r \left( 1 - \sin \frac{\alpha}{2} \right) - \frac{\delta \sin \frac{\alpha}{2}}{2}} = \\ &= - \frac{\rho \delta}{\left( 1 - \sin \frac{\alpha}{2} \right)^2 MDc_0} \left[ \left( r \left( 1 - \sin \frac{\alpha}{2} \right) - \frac{\delta \sin \frac{\alpha}{2}}{2} \right) + \right. \\ &\quad \left. + \frac{\delta \sin \frac{\alpha}{2}}{2} \ln r \left( 1 - \sin \frac{\alpha}{2} \right) - \frac{\delta}{r} \sin \frac{\alpha}{2} \right]. \quad (20) \end{aligned}$$

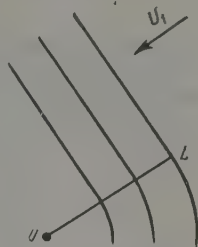


Рис. 4. Схема изменения радиуса закругления по мере растворения

Применив к (16) разложение (19), находим

$$r_0 \approx \frac{\delta \sin \frac{\alpha}{2}}{2 \left(1 - \sin \frac{\alpha}{2}\right)}. \quad (24)$$

После подстановки значения  $r_0$  в значение для верхнего предела в (21) находим, что достижение  $r_0$  теоретически возможно лишь при бесконечно большом времени растворения. Для того чтобы обойти это затруднение, найдем время, за которое радиус достигнет величины, на 1% отличающейся от  $r_0$ , т. е.  $r = 1,01 r_0$ . С учетом (21) получим

$$t' \approx \frac{\rho \delta}{MDc_0} \left( \frac{r}{1 - \sin \frac{\alpha}{2}} - r_0 \ln \left( \frac{r}{r_0} - 1 \right) - 4,6 r_0 \right).$$

При  $r \gg r_0$

$$t' \approx \frac{\rho \delta_{II} r}{MDc_0} \frac{1}{1 - \sin \frac{\alpha}{2}}. \quad (22)$$

Последнее равенство может быть использовано в большинстве практических случаев для оценки порядка времени достижения предельного радиуса заострения.

Рассмотрим случай заострения иглы. В известном приближении острие иглы может быть рассмотрено как конус с углом при вершине. Если этот угол достаточно мал, что имеет место в ряде практических случаев, то уравнение диффузии к поверхности иглы будет иметь вид (1), так как изменением концентрации с координатой, направленной вдоль образующей можно еще пренебречь по сравнению с ее изменением вдоль координаты  $r$ . Диффузионный поток у острия будет, следовательно, описываться уравнением (6). В вершине выступа диффузионный поток может рассматриваться в известном приближении, как для случая диффузии к сферической поверхности малого радиуса:

$$f_{II} = Dc_0 / r_0. \quad (23)$$

Используя те же рассуждения, что и для лезвия ножа, с учетом (6) для случая растворения с неизменяющимся профилем, получим

$$\frac{\sin \frac{\alpha}{2}}{r_0} = \frac{1}{r_0 \ln \left( 1 + \frac{\delta}{r_0} \right)}. \quad (24)$$

Решая относительно  $r_0$ , будем иметь

$$r_0 \approx \delta e^{-1/\sin \frac{\alpha}{2}} \approx \delta \exp - \frac{2}{\alpha}. \quad (25)$$

так как  $\delta/r_0 \gg 1$ , а  $\alpha$  мал.

Мы видим, что эффект заострения для иглы должен быть весьма значителен. Так, из (25) следует, что при  $\alpha/2 \approx 0,1$ ,  $\delta \approx 10^{-2}$  см, для  $r$  получим

$$r_0 \approx 10^{-2} e^{-1/0,1} \approx 10^{-6} \text{ см.}$$

**Экспериментальная проверка.** Экспериментальная проверка (10) и (22) проведена на образцах из инструментальной стали 5-У и электролитической меди. В первом случае электролитом служил раствор состава: 82% ортофосфорной кислоты (уд. в. 1,6), 12% серной кис-



лоты (уд. в. 1,8), 6% хромового ангидрида [5]. Температуры ванны 80—85° С. Напряжение на зажимах ванны 4,5—5,0 В. Во втором случае электролитом служила 10 М  $\text{H}_3\text{PO}_4$ , температура ванны 20° С, напряжение на ее зажимах 1,5 В. Исследованные образцы в обоих случаях представляли трехгранные призмы.

Таблица 2

$\sin \frac{\alpha}{2}$	$r_0, \mu$	
	опыт	расчет
Сталь у-5		
0,04	0,40	0,32
0,174	0,77	0,82
0,28	1,2	1,75
0,5	5,0	5,0
0,61	12,5	11,0
0,70	19,0	16,5
Медь		
0,26	13	15,8
0,50	55	45,0
0,71	130	110

В табл. 2 представлены экспериментальные и расчетные данные для величин предельного эффективного радиуса заострения в зависимости от величины угла заострения. Так как экспериментальное определение размеров диффузионного слоя для случая стали затруднительно, эта величина была рассчитана по уравнению (16) при подстановке в него  $r_0$  и  $\sin \frac{\alpha}{2}$ , полученных в одном из опы-

тов. Ее величина оказалась равной 14  $\mu$ . В дальнейшем эта величина использована для нахождения остальных данных. Для меди  $\delta$  известна.

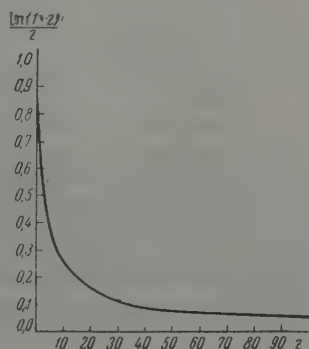
В 10 М  $\text{H}_3\text{PO}_4$  для плоского электрода она равна  $9 \cdot 10^{-3}$  см [3]. Так как выражение (16) трансцендентно, то для нахождения  $r_0$  по данному  $\sin \frac{\alpha}{2}$  удобно пользоваться приведенной на рис. 5 зависимостью  $\sin \frac{\alpha}{2}$  от  $\frac{r_0}{\delta} \ln \left(1 + \frac{\delta}{r_0}\right)$ .

В табл. 3 сопоставлены экспериментальные и расчетные данные по времени достижения предельного радиуса заострения. Расчет проводился по

Таблица 3

Начальный радиус, $\mu$	$\sin \frac{\alpha}{2}$	Время достижения постоянного радиуса, секунды	
		опыт	расчет
Сталь У-5			
0,77	0,174	30—20	20
5,0	0,50	200—300	200
Медь			
50	0,26	2400	2000
20 *	0,71	4000	3500

\* В процессе растворения радиус возрастал до 130  $\mu$ .

Рис. 5. Кривая зависимости  $\sin \frac{\alpha}{2}$  от

$$\ln \left(1 + \frac{z}{r}\right), \left(z = \frac{\delta}{r}\right)$$

приближенной формуле (22). Согласно экспериментальных и расчетных данных (см. таблицу), удовлетворительное.

Как видно из приведенных данных, в связи с определенными геометрическими условиями, в которых находится острое режущего инструмента, условия диффузии продуктов растворения таковы, что при определенных соотношениях параметров (угла заострения, начального радиуса заострения, размеров диффузионного слоя, концентрации и др.) благодаря электрохимической полировке можно достигнуть эффекта заострения режущего инструмента. Полученный опытный материал удовлетворительно подтверждает изложенные выше теоретические представления.

## Выводы

1. Рассмотрены вопросы анодного растворения тонких металлических нитей, острия ножа и иглы.

2. Получены соотношения между углом заострения и предельным радиусом закругления, достижимого в условиях электрополировки.

3. Проведена экспериментальная проверка некоторых из найденных зависимостей.

4. Показано, что в связи с определенными геометрическими условиями в которых находится острие, условия диффузии продуктов реакции таковы, что в некоторых случаях благодаря электрохимической полировке происходит его дальнейшее заострение.

Азотно-туковый завод  
Днепродзержинск

Поступила  
12.II.1958

## ЛИТЕРАТУРА

1. Л. Я. Богорад, С. Я. Грилихес, Р. С. Арсон, Электрохимическая полировка сталей, Ленгиз, 1951; Л. Я. Попилов, Электрохимическая полировка металлов, Машгиз, 1947; В. А. Ильин, Мед. пром-сть СССР, № 1, 1950.
2. В. И. Лайнер, Электрохимическая полировка и травление металлов, Машгиз, 1947; С. И. Кричмар, Ж. физ. химии, 31, 1954, 1957; Докл. АН СССР, 100, 481, 1955; 101, 297, 1955.
3. С. И. Кричмар, В. П. Галушко, Ж. физ. химии, 31, 1762, 1957.
4. Справочник машиностроителя, т. 5, Машгиз, 1956.
5. К. П. Баташев, Тр. Совещания по электрохимии, Изд-во АН СССР, 1953, стр. 414.

## THEORY OF THE ANODIC SHARPENING OF INSTRUMENTS

*S. I. Krichmar (Dneprodzerzhinsk)*

## Summary

An analysis of anodic dissolution in the electrochemical polishing of thin metallic filaments, knife points and needles has been made. A relation has been established between the point angle and the limiting radius of curvature attainable under the conditions. A relation has also been obtained between the time of attaining the limiting radius and the initial size of the radius. Some of the correlations found were subjected to experimental verification. It has been shown that in connection with the definite geometrical conditions under which the needle and knife points are found diffusion of the reaction product takes place in such a manner that for given ratios of the parameters (point angle, initial radius of curvature, dimensions of the diffusion layer, concentration etc.) owing to electrochemical polishing a sharpening effect may be achieved.



## ВЛИЯНИЕ ИОНИЗИРУЮЩЕГО ИЗЛУЧЕНИЯ НА КИНЕТИКУ ОКИСЛЕНИЯ И ВОСПЛАМЕНЕНИЕ БУТАНА

### 1. ФОРМАЛЬНАЯ КИНЕТИКА

*Н. А. Славинская, С. А. Каменецкая,  
С. Я. Пшежецкий, Л. А. Васильев*

Процессы ионизации и возбуждения молекул, происходящие при действии ионизирующих излучений, приводят к образованию различных химически активных частиц, которые могут явиться начальными активными центрами в цепных реакциях, а также влиять на развитие цепи.

В настоящей работе было исследовано влияние быстрых электронов, а также тихого разряда, на формальную кинетику цепной реакции окисления бутана кислородом. Цель работы состояла в выяснении характера тех изменений, которые вносит излучение в основные закономерности кинетики окисления углеводородов.

Измерение скорости реакции производилось по приросту давления во времени. Последнее, естественно, является некоторой суммарной характеристикой реакции, так как некоторые элементарные процессы идут с увеличением, а с уменьшением объема. Кроме того, увеличение объема зависит от глубины превращения, которая меняется во времени. Поэтому данные, основанные на измерении прироста давления, дают лишь некоторую эффективную характеристику скорости реакции. Более точное суждение о кинетике может быть получено лишь при определении состава продуктов реакции в зависимости от времени. Эти данные будут изложены в следующей статье.

### Экспериментальная часть

**Методика.** Для облучения был применен электронный ускоритель с выведенным пучком электронов. Напряжение ускоряющего поля составляло около 200 кВ. Электронный пучок, проходя через слой воздуха толщиной 2,5 см, попадал в реакционный сосуд через отверстие, закрытое двойной алюминиевой фольгой, толщиной 25,0 мк. Реакционный сосуд (объемом 1,4 л), был изготовлен из молибденового стекла. После прохождения через фольгу энергия электронов равнялась в среднем 170 кВ. Поток электронов в течение опыта поддерживался постоянным и составлял 100 мкА. Определение величины потока электронов, попадающего в сосуд, производилось посредством измерений с графитовым электродом. По этим измерениям величина тока, попадающего в реакционный сосуд, равнялась 31 мкА. Энергия электронов, поглощаемая газом, равнялась  $2,4 \cdot 10^{16}$  эВ/см<sup>3</sup>сек.

Обогрев реакционного сосуда производился в электропечи. Измерения температур велись двумя подвижными хромель-копелевыми термопарами в разных точках сосуда. Облучаемая смесь газов состояла из бутана и воздуха при отношении бутана к кислороду 1 : 5,2. Бутан содержал 0,2% этана и 0,1% пропана. Газы подвергались сжатию и осушке. Прирост давления измерялся по изменению сопротивления платиновой нити, погруженной в ртуть, уровень которой менялся с давлением. Показания бора регистрировались самописцем.

Опыты с применением тихого разряда проводились в кварцевом сосуде диаметром 84 мм и длиной 95 мм, по оси которого внутри кварцевой трубки проходила молибденовая проволока, служившая электродом. Пространство между электродом и кварцевой трубкой было заполнено металлическими опилками. Второй электрод был наматывался спиралью на стенку сосуда.

Энергия, поглощенная газом, определялась по величине разрядного тока и по падению потенциала в газе, измеряемого зондами. Величина энергии, поглощенной в газе за 1 сек., варьировалась от  $1,4 \cdot 10^{15}$  до  $2 \cdot 10^{20}$  эВ/сек.

Сила разрядного тока измерялась катодным вольтметром МВЛ-2М по падению напряжения на эталонном сопротивлении. Разряд включался автоматическим устрой-

ством сразу после выпуска газовой смеси в реакционный сосуд. Обогрев реакционного сосуда производился в электропечи. Температура измерялась хромель-копелевой термометром в кварцевом чехле и поддерживалась постоянной с точностью до  $0,5^\circ$ . Реакция исследовалась в смеси бутана с кислородом (1 : 6,5); смесь готовилась в перепускном

$\Delta p, \text{мм рт. ст.}$

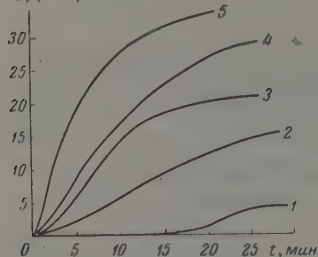


Рис. 1. Кривые  $\Delta p - t$  для окисления смеси  $\text{C}_4\text{H}_{10}$  с воздухом при  $p_{\text{нач}} = 600 \text{ мм рт. ст.}$ : 1 — без облучения,  $287^\circ$ ; при облучении электронами: 2 —  $196^\circ$ , 3 —  $215^\circ$ , 4 —  $228^\circ$ , 5 —  $254^\circ$

главным образом продукты неполного окисления — альдегиды и перокиси. На рис. 2 представлены кривые зависимости прироста давления от времени при  $315^\circ$  и начальном давлении  $221 \text{ мм рт. ст.}$  для опытов в тис-

сосуде и затем выпускалась в откачанный и нагретый реакционный сосуд.

Прирост давления измерялся ложечковым стеклянным манометром чувствительностью  $1 \text{ мм рт. ст.}$  на  $10 \text{ мм}$  шкалы. Предварительными опытами с кислородом было установлено отсутствие местных разогревов в зоне разряда.

Экспериментальные данные. При облучении электронами давление в реакционном сосуде варьировалось от  $582$  до  $640 \text{ мм}$ , температура — от  $4$  до  $254^\circ$ .

Некоторые типичные зависимости прироста давления от времени при начальном давлении  $600 \text{ мм рт. ст.}$  и различных температурах приведены на рис. 1. При температурах от  $40$  до  $150^\circ$  при облучении сначала реакция идет с некоторым уменьшением давления. Химический анализ показал, что при этом образуются

$\Delta p, \text{мм рт. ст.}$

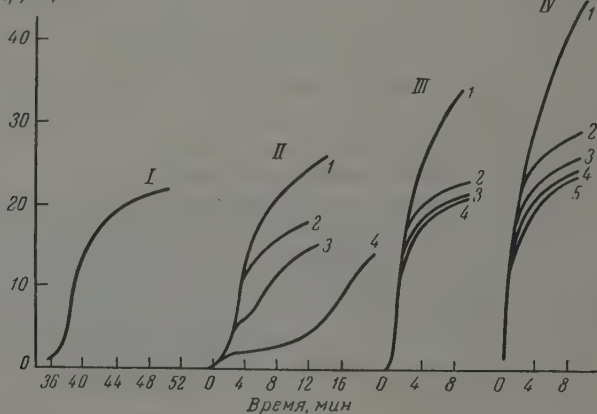


Рис. 2. Кривые  $\Delta p - t$  для смеси  $\text{C}_4\text{H}_{10}$  и  $\text{O}_2$  при  $p_{\text{нач}} = 221 \text{ мм рт. ст.}$  и  $315^\circ\text{C}$ : I — без разряда; II — разряд при  $6 \text{ kV}$ , продолжительность: 1 — весь опыт, 2 — 4 мин., 3 — 3 мин., 4 — 1 мин.; III — разряд при  $10 \text{ kV}$ , продолжительность: 1 — весь опыт, 2 — 2 мин., 3 — 1 мин., 4 — 30 сек.; IV — разряд при  $13 \text{ kV}$ , продолжительность: 1 — весь опыт, 2 — 3 мин., 3 — 2 мин., 4 — 1 мин., 5 — 30 сек.

разряде для различной мощности и продолжительности разряда. Аналогичные зависимости были получены при других температурах (от  $23$  до  $320^\circ$ ) и давлении  $300 \text{ мм рт. ст.}$

Как видно на рис. 1 и 2, действие излучения вызывает увеличение скорости реакции. В обоих случаях значительно уменьшается или совсем исчезает период индукции. Такое действие излучения на цепную реакцию



было ранее наблюдеено Н. М. Эмануэлем [1] при окислении жидких углеводородов в кислоты под действием  $\gamma$ -излучения.

Как видно на рис. 2, уменьшение периода индукции зависит от мощности и времени действия облучения. После выключения разряда реакция замедляется, но идет с большей скоростью, чем в отсутствие разряда. Таким образом, имеется последствие облучения, что также было установлено в работе [1].

На рис. 3 приведена зависимость логарифма скорости реакции от температуры для одинаковой глубины превращения, для опытов без облучения, в разряде и под действием быстрых электронов. Как видно из рисунка, в исследованном интервале температур удовлетворительно выполняется зависимость Аррениуса. Это позволяет оценить величину эффективной энергии активации окислительной реакции при различных условиях облучения и в зависимости от поглощенной энергии.

Энергия активации термической реакции окисления бутана, определенная в различных реакционных сосудах, равняется  $43 \pm 1$  и  $46 \pm 1$  ккал/моль. Эти величины согласуются со значением  $44 \pm 1$  ккал/моль, полученным нами ранее из измерения критических условий воспламенения бутана с кислородом [2]. Под действием облучения быстрыми электронами эффективная энергия активации уменьшается до 15 ккал/моль.

На рис. 5 (см. ниже) приведена зависимость эффективной энергии активации от поглощенной газом энергии.

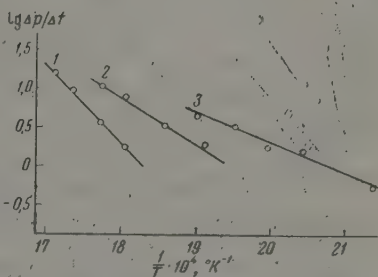


Рис. 3. Зависимость логарифма скорости реакции от температуры: 1 — без облучения; 2 — под действием разряда; 3 — под действием быстрых электронов

## Обсуждение результатов

Характер зависимости эффективной энергии активации от интенсивности показывает возможность дальнейшего уменьшения этой величины с увеличением интенсивности облучения. По-видимому, пока реакция будет ставаться цепной, эта величина может изменяться до величины энергии активации элементарной реакции, лимитирующей развитие реакционной цепи.

Причина изменения эффективной энергии активации с увеличением интенсивности, очевидно, состоит в том, что при действии излучения образование активных центров цепной реакции идет без энергии активации в процессе



Параллельно протекает процесс обычного иницирования



требующий энергии активации порядка 40—50 ккал. Соотношение между этими двумя процессами с увеличением интенсивности излучения изменяется в пользу первого, что и приводит к наблюдаемому уменьшению эффективной энергии активации.

Как известно, окисление углеводородов является разветвленной цепной реакцией с вырожденным разветвлением цепи.

Согласно теории Н. Н. Семенова, кинетика этих реакций подчиняется закону:

$$\frac{dp}{dt} = \frac{n_0 \nu}{\delta \nu - 1} (e^{\varphi t} - 1), \quad (1)$$

где  $n_0$  — скорость образования начальных активных центров;  $\nu$  — длина цепи;  $\delta$  — вероятность разветвления;  $\varphi = \delta \nu_1 - \nu_2$ , где  $\nu_1$  — частота актов продолжения реакционной цепи,  $\nu_2$  — частота актов обрыва цепи.

Приближенно, при достаточно больших  $\varphi t$  уравнению (1) соответствует зависимость:

$$\Delta p \approx N e^{\varphi t}, \quad (2)$$

где

$$N = \frac{n_0 \nu_1}{\varphi^2}.$$

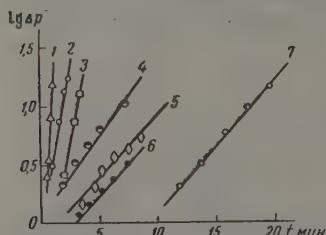


Рис. 4. Зависимость  $\lg \Delta p - t$ ; без облучения: 1 —  $302^\circ$ ; 2 —  $290^\circ$ ,  $P_{\text{нач}} = 300$  мм рт. ст. Разряд  $I = 1,1 \cdot 10^{16}$   $\text{eV}/\text{см}^3 \cdot \text{сек}$ ; 3 —  $300^\circ$ ; 4 —  $280^\circ$ ,  $P_{\text{нач}} = 300$  мм рт. ст. Облучение быстрыми электронами.  $I = 2 \cdot 10^{16}$   $\text{eV}/\text{см}^3 \cdot \text{сек}$ ; 5 —  $215^\circ$ ; 6 —  $181^\circ$ ; 7 —  $196^\circ$ ;  $P_{\text{нач}} = 600$  мм рт. ст.

Выполняемость зависимости (2) для опытов без облучения и с облучением иллюстрируется рис. 4.

Как видно из графика, во всех случаях удовлетворительно выполняется линейная зависимость между логарифмом прироста давления и временем, требуемая уравнением (2). Это показывает, что общие кинетические закономерности цепной реакции при тех интенсивностях излучения, которые применялись, сохраняются. Это, однако, не означает, что при увеличе-

нии интенсивности закон (2) будет всегда выполняться, так как при очень большом числе начальных активных центров, образующихся за счет действия излучения на молекулы, длина цепи будет уменьшаться, и в пределе реакция вообще перестанет быть цепной.

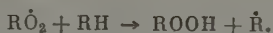
Проанализируем при помощи уравнения (2), как излучение влияет на основные параметры цепной реакции.

Таблица 1

Условия опыта	Поглощенная энергия, $\text{eV}/\text{см}^3 \cdot \text{сек}$	$T, ^\circ\text{C}$	Период индукции $\tau$ , сек.	$\varphi$ , $\text{сек}^{-1}$	$n_0$ , $\text{см}^{-3} \cdot \text{сек}^{-1}$	$E_{\text{эфф.}}$ , $\text{ккал}/\text{моль}$
Термическое окисление		270	2520	$3 \cdot 10^{-3}$	$3,7 \cdot 10^4$	46
		280	600	$3,5 \cdot 10^{-3}$	$2 \cdot 10^6$	
		290	120	$8 \cdot 10^{-3}$	$5,7 \cdot 10^7$	
		302	0	$17 \cdot 10^{-3}$	$1,4 \cdot 10^9$	
		310	0	$32 \cdot 10^{-3}$	$3,7 \cdot 10^9$	
Тихий электрический разряд	$1 \cdot 10^{16}$	265	120	$1,7 \cdot 10^{-2}$	$1,74 \cdot 10^9$	27
		270	90	$2 \cdot 10^{-2}$	$1,81 \cdot 10^9$	
		280	60	$2,5 \cdot 10^{-2}$	$2,16 \cdot 10^9$	
		290	0	$3,2 \cdot 10^{-2}$	$9,25 \cdot 10^9$	
		300	0	$4 \cdot 10^{-2}$	$3,58 \cdot 10^9$	
Облучение быстрыми электронами	$2,4 \cdot 10^{16}$	145	0	$3 \cdot 10^{-3}$	$1,5 \cdot 10^7$	15
		181	0	$4,1 \cdot 10^{-3}$	$3,3 \cdot 10^8$	
		196	0	$4,6 \cdot 10^{-3}$	$3,36 \cdot 10^8$	
		215	0	$5,5 \cdot 10^{-3}$	$5,86 \cdot 10^8$	
		228	0	$6 \cdot 10^{-3}$	$6,7 \cdot 10^8$	
		240	0	$1,1 \cdot 10^{-2}$	$6,74 \cdot 10^8$	
		254	0	$1,15 \cdot 10^{-2}$	$2,81 \cdot 10^9$	

В табл. 1 приведены значения  $n_0$  и  $\varphi$ , рассчитанные по уравнению (2) а также величины периодов индукции и эффективной энергии активации для различных условий. При расчете принималось, что  $\nu_1$  относится

реакции продолжения цепи:



По данным, приводимым Н. Н. Семеновым [3], энергия активации этой реакции составляет 7–10 ккал, а стерический фактор равен 0,1. Полагая  $E = 8$  ккал, имеем

$$v_1 = 10^{-11} e^{-8000/RT} [\text{RH}].$$

При расчете  $v_1$  принималась начальная концентрация бутана. Рассчитанные по опытным данным зависимости  $n_0$  и  $\phi$  от интенсивности излучения приведены на рис. 5.

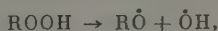
Как видно из рисунка,  $n_0$  примерно линейно зависит от интенсивности излучения. Рост числа начальных активных центров при увеличении интенсивности может происходить как при непосредственном образовании радикалов углеводорода и атомов кислорода в результате ионизации и возбуждения этих молекул при электронном ударе, так и за счет последующей реакции



Как видно из данных, приведенных в табл. 1, с повышением температуры отношение числа активных центров в реакции с облучением к числу активных центров в реакции без облучения уменьшается, что связано с увеличением удельного веса термической генерации активных центров с ростом температуры.

Фактор, характеризующий разветвленность цепи  $\phi$ , также растет пропорционально интенсивности облучения.

Так как излучение, по-видимому, не должно заметно сказываться на скорости процессов продолжения и обрыва цепи, то увеличение  $\phi$  с интенсивностью излучения, может быть, следует отнести за счет возрастания вероятности разветвления. Если считать, что разветвление осуществляется процессе



то этот процесс может ускоряться при действии излучения на молекулы гидроперекиси\*.

Рассмотрим, соответствует ли изменение величины эффективной энергии активации при излучении уравнению (1). В известных пределах скорость реакции может быть выражена простой зависимостью

$$w = z_{\text{эфф}} e^{-E_{\text{эфф}}/RT}. \quad (3)$$

Подстановка уравнений (1) и (3) дает для эффективной энергии активации следующую зависимость:

$$E_{\text{эфф}} = E_1 - E_2 - 2,3 RT \lg \frac{n_0 v_0}{z_{\text{эфф}}} + 2,3 RT \lg (\delta v - 1) - 2,3 RT \lg (e^{\delta v} - 1). \quad (4)$$

\* Подробно этот вопрос рассматривается в сообщении II.

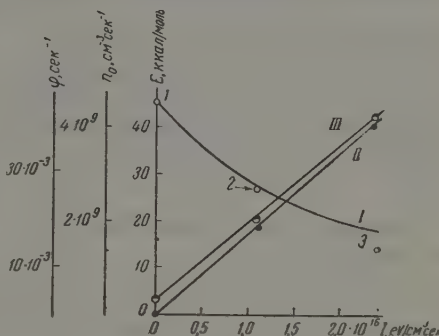


Рис. 5. Зависимость  $I$  — энергии активации  $E$ ; точки: 1 — без облучения, 2 — разряд  $I = 1,1 \cdot 10^{16}$  eV/cm<sup>3</sup>.сек; 3 — облучение быстрыми электронами.  $I = 2,4 \cdot 10^{16}$  eV/cm<sup>3</sup>.сек;  $II$  —  $n_0$  и  $III$  —  $\phi$  от поглощенной энергии излучения



Здесь  $E_1$  — энергия активации продолжения цепи — 8000 кал/моль,  $E_2$  — энергии активации реакции обрыва цепи, которую можно принять равной нулю;  $v_0$  — отношение предэкспоненциальных членов частоты актов продолжения и обрыва цепи;  $t$  — время реакции. При расчете принималось время достижения постоянной глубины превращения;  $E$  и  $z_{\text{эф}}$  вычислялись из опытных данных. Частота процесса обрыва цепи равна

$$v_2 = \frac{\varepsilon_0 u}{d},$$

где  $d$  — диаметр сосуда,  $u$  — скорость частиц. При  $\varepsilon d/\lambda \ll 1$  процесс протекает в кинетической области. Оценим этот критерий, принимая для обрыва цепи процесс:  $\text{RO}_2 + \text{стенка}$ ;  $\varepsilon$  — вероятность захвата активной частицы стенкой, согласно работам [3, 4], равна  $10^{-6}$ – $10^{-6}$ ;  $\lambda$  — длин свободного пробега активного центра порядка  $4,5 \cdot 10^{-4}$  см. Получаем для критерия величину  $2 \cdot 10^{-2}$ . Таким образом, обрыв цепей протекает в кинетической области. Величина  $\delta$  вычислялась из опытных значений  $\varphi$ , приведенных в табл. 1 по соотношению

$$\delta = (\varphi + v_2)/v_1.$$

Вычисленные значения  $E_{\text{эф}}$  по уравнению (4) приведены в виде кривой на рис. 5 и в табл. 2.

Таблица 2

Условия опыта	$E_1$ , кал/моль	$E_2$ , кал/моль	$2,3 RT \lg \frac{v_0 v_0}{z_{\text{эф}}}$ , кал/моль	$2,3 RT \lg (\delta v - 1)$ , кал/моль	$2,3 RT (\varepsilon \varphi^t - 1)$ , кал/моль	$E$ расч. эфф, кал/моль
Термическое окисление	8000	0	37 800	6850	9450	43 200
Тихий электрический разряд	8000	0	23 700	2550	930	28 200
Облучение быстрыми электронами	8000	0	16 000	4150	50	19 900

Из таблицы видно, что значение эффективной энергии активации в основном определяется величиной третьего члена уравнения (4).

Как видно из рисунка, опытные величины соответствуют рассчитанной кривой. Таким образом, зависимость эффективной энергии активации от интенсивности излучения находится в соответствии с уравнением (1).

Воспламенение бутана кислородом. Увеличение скорости цепной реакции окисления при действии излучения должно приводить к соответствующему изменению критических условий воспламенения. Воспламенение происходит при достижении определенной скорости предпламенной реакции.

Условием воспламенения является равенство:

$$\varphi \approx \text{const},$$

где  $\tau$  — период индукции воспламенения.

Как видно из приведенных данных,  $\varphi$  приблизительно пропорционально интенсивности излучения. Следовательно, при воспламенении должно

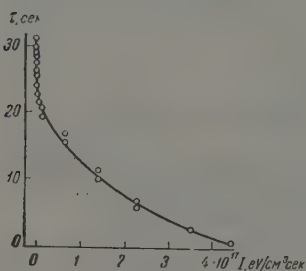


Рис. 6. Зависимость периода индукции воспламенения от поглощенной энергии

приближенно выполняться обратная зависимость периода индукции воспламенения от интенсивности излучения. Были проведены опыты по воспламенению смеси бутана с кислородом в нагретом сосуде при  $520^{\circ}\text{C}$ . В этих опытах применялся тихий разряд для создания необходимой для воспламенения плотности энергии в газе. Смесь бутана с кислородом впускалась в откачанный и нагретый реакционный сосуд. Отношение бутана к кислороду равнялось 1 : 6,5. Чтобы предотвратить возможность возникновения искры, разряд включался после впуска смеси в сосуд с запаздыванием порядка 0,5 сек. Для проверки воспроизводимости результатов после опытов с разрядом проводились опыты по воспламенению без разряда. Воспроизводимость результатов была удовлетворительной. Точность определения температуры воспламенения составляла  $2-3^{\circ}\text{C}$ .

В опытах по определению периода индукции давление смеси равнялось 30 мм рт. ст. В каждом опыте измерялся разрядный ток и падение напряжения в газе. Результаты измерений приведены на рис. 6.

Как показывают данные, период индукции воспламенения в этих условиях уменьшается примерно с 30 до 1 сек. — в зависимости от величины электрической энергии, поглощенной газом, в примерном соответствии с данными о влиянии излучения на кинетику реакции. При поглощении  $4 \cdot 10^{17} \text{ eV/cm}^3 \cdot \text{сек}$  температура воспламенения снижается с 515 до  $492^{\circ}$ .

### Выводы

1. Облучение электронами ускоряет цепную реакцию окисления бутана, уменьшает период индукции и снижает эффективную энергию активации. Величина последней уменьшается с увеличением интенсивности облучения от 45 до 15 ккал/моль.

2. Действие облучения на кинетику в основном обусловлено образованием начальных активных центров цепной реакции при ионизации и возбуждении молекул, а также в последующих реакциях атомарного кислорода с углеводородом.

3. Полученные результаты проанализированы на основе теории разветвленных цепных реакций Н. Н. Семенова и находятся в соответствии с этой теорией.

4. Облучение приводит к уменьшению периода индукции воспламенения смеси. Характер зависимости соответствует действию излучения на кинетику окислительной реакции.

Физико-химический  
институт им. Л. Я. Карпова  
Москва

Поступила  
25.V.1958

### ЛИТЕРАТУРА

- Н. М. Эмануэль, Докл. АН СССР, **111**, 1286, 1956.  
С. А. Каменецкая, С. Я. Пшежецкий, Н. А. Славинская, Ж. физ. химии, **32**, 2430, 1958.  
Н. Н. Семенов, О некоторых проблемах химической кинетики и реакционной способности, Изд-во АН СССР, 1958, стр. 569.  
Н. В. Фоки и А. Б. Палбандян, Статья в сб. «Цепные реакции окисления углеводородов в газовой фазе», Изд-во АН СССР, 1955, стр. 130.

### THE EFFECT OF IONIZING RADIATION ON THE KINETICS OF THE OXIDATION AND IGNITION OF BUTANE

#### I. FORMAL KINETICS

*N. A. Slavinskaya, S. A. Kamenetskaya S. Ya. Pshezhetskii  
and L. A. Vasil'ev (Moscow)*

#### Summary

The effect of irradiation by fast electrons and in the silent discharge on the kinetics of the chain oxidation and ignition of butane has been investigated. The irradiation results in a fall of the induction period and in the effective activation energy of the oxidation reaction from 46 to 15 kcal/mole, depending upon the radiation intensity.

Analysis of the data on the basis of Semenov's branching chain theory showed that the radiation effect is due to the electron initiated formation of primary active centers for the chain oxidation reaction.

Corresponding to the acceleration of the oxidation reaction radiation decreases the induction period of ignition as well as the ignition temperature.

## КИНЕТИКА И МЕХАНИЗМ ОКИСЛЕНИЯ МЕТАНА

## III. ДЕТАЛЬНЫЙ МЕХАНИЗМ РЕАКЦИИ

Л. В. Каржилова, Н. С. Ениколопян, А. Б. Налбандян  
и Н. Н. Семенов

Наряду с накоплением большого количества экспериментальных данных, выясняющих феноменологию окисления метана, в литературе усиленно обсуждался вопрос о детальном механизме этой реакции. Можно назвать по крайней мере четыре цепные схемы этого процесса, предложенные в разное время Н. Н. Семеновым [1], Норришем [2], Льюисом и Эллисе [3] и нами [4]. Общность этих схем заключается в том, что все они принимают развитие цепей через монорадикалы, причем ведущими активными центрами являются метильный  $\dot{\text{C}}\text{H}_3$  и гидроксильный  $\dot{\text{O}}\text{H}$  радикалы, вырожденное разветвление осуществляется с участием формальдегида. Предложенные схемы отличаются друг от друга некоторыми предполагаемыми элементарными актами продолжения цепей, лимитирующими стадиями и элементарным механизмом вырожденного разветвления. До настоящего времени не было возможности уточнить каждую из названных схем и объединить их в единый детальный механизм окисления метана, поскольку большинство констант соответствующих элементарных реакций радикалов с исходными веществами и промежуточными продуктами, не были известны. Имевшийся же экспериментальный материал [5, 6] давал возможность лишь качественно проверить предложенные схемы.

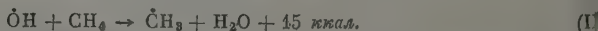
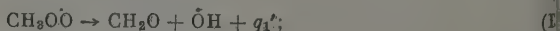
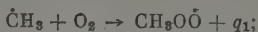
В настоящей работе сделана попытка предложить новую схему механизма окисления метана и количественно проверить ее на основании последних экспериментальных данных.

Элементарный механизм окисления метана и его обоснования. Реакцию первичного зарождения свободных радикалов из исходных веществ при отсутствии искусственного инициатора можно себе представить таким образом:



Этот процесс, естественно, очень медленный.

Реакции развития цепи окисления метана при температурах выше 300–350° можно представить следующим рядом процессов:



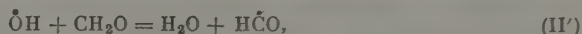
Метильный радикал  $\dot{\text{C}}\text{H}_3$  скорее вступит в реакцию присоединения (I), чем в реакции замещения с метаном и формальдегидом. Действительно, реакция (I) протекает, по-видимому, с низкой энергией активации (2–3 ккал) бимолекулярно [7, 8], но и с малым стерическим фактором ( $f \approx 10^{-3}$ ) либо, как утверждает Уолш [9], при тройных соударениях. Скорость этой реакции при 350–450° С будет всегда превышать скорость взаимодействия метильного радикала с формальдегидом, требующего энергии актива-



ции порядка 6—7 ккал, особенно если иметь в виду, что концентрация кислорода в реагирующей системе в десятки раз превышает максимальную концентрацию формальдегида. Очевидно, что реакция замещения метильного радикала с метаном не приводит к появлению в системе новых веществ и активных центров.

Образующийся по реакции (1) перекисный радикал  $\text{CH}_3\text{O}\dot{\text{O}}$  скорее изомеризуется ( $\varepsilon = 20$  ккал) и распадется мономолекулярно [10] по реакции (I'), чем вступит в реакции замещения с метаном и формальдегидом.

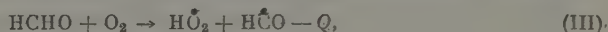
Гидроксил может реагировать с метаном по уравнению (II) и формальдегидом



причем по данным Л. И. Авраменко [11, 12] стерический фактор взаимодействия  $\dot{\text{O}}\text{H}$  с  $\text{CH}_2\text{O}$  в  $10^3$  раз меньше стерического фактора реакции (II).

Для установления лимитирующей стадии необходимо оценить скорости элементарных реакций (I), (I') и (II) и концентрации соответствующих радикалов. Расчет показывает [3], что при  $700^\circ\text{C}$  и  $p_0 = 235$  мм рт. ст. в случае стехиометрической смеси концентрация перекисного радикала  $\text{CH}_3\text{O}\dot{\text{O}}$  много меньше концентрации метильного и тем более гидроксильного радикалов, а обрыв цепей обусловлен гетерогенной рекомбинацией [14] радикалов  $\dot{\text{O}}\text{H}$ .

В схеме необходимо учесть процесс вырожденного разветвления, который, как было количественно показано нами [15], осуществляется с участием формальдегида. Теоретический анализ [13] показывает, что наиболее вероятным элементарным актом вырожденного разветвления является реакция



протекающая, по-видимому, в объеме, причем

$$Q = Q_{\text{HCO}-\text{H}} + Q_{\text{H}-\text{O}_2} = -32 \text{ ккал.}$$

Поскольку реакция обратная (III) идет, по-видимому, с малым активационным барьером, как реакция рекомбинации двух радикалов, энергия активации процесса (III) должна быть близка к его тепловому эффекту. По мере накопления в системе формальдегида радикалы будут зарождаться преимущественно по реакции (III). Вместе с тем реакция окисления метана, идущая вначале с неизмеримо малой скоростью, начинает сильно автоускоряться. Одновременно начинают играть существенную роль реакции взаимодействия формальдегида с радикалами, ведущими цепь окисления метана. Следовательно, при рассмотрении всего хода окислительного превращения необходимо предложенную схему окисления метана дополнить реакциями радикалов  $\dot{\text{O}}\text{H}$  с альдегидом, а также дальнейшими реакциями радикалов  $\text{H}\dot{\text{C}}\text{O}$  и  $\text{H}\dot{\text{O}}_2$ , образующихся из формальдегида в процессах вырожденного разветвления (III) и взаимодействия с гидроксидом.

Константа скорости процесса (III), по данным Л. И. Авраменко [11],

$$k_{\text{CH}_2\text{O}} = 10^{-14} \sqrt{T} e^{-500/RT} \text{ см}^3 \text{ сек}^{-1},$$

но по новым данным [13] можно считать  $\varepsilon = 2$  ккал вместо 0,5 ккал.

Образовавшийся формильный радикал  $\text{H}\dot{\text{C}}\text{O}$  может либо разложиться атомом Н и СО по уравнению



либо реагировать с кислородом по схеме

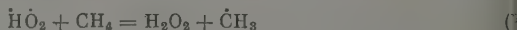


В результате (IV) образуется атом водорода, который может либо дать радикал  $\text{H}\dot{\text{O}}_2$

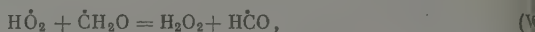


и тогда вместо процессов (IV) и (IV'') можно написать (IV'), либо он вступает в реакцию замещения с метаном или формальдегидом, давая молекулы водорода и соответствующий радикал. Однако многочисленные экспериментальные данные свидетельствуют о том, что при 400—500° водород в продуктах реакции присутствует в очень малых количествах, т. е. крекинг вое направление еще весьма слабо. Об этом говорят и данные А. М. Маркевича [16] по окислению формальдегида. Взаимодействие  $\dot{\text{HCO}}$  с формальдегидом, естественно, не следует учитывать так же, как не нужно привлекать во внимание и взаимодействие  $\dot{\text{HCO}}$  с метаном на том основании, что этот процесс эндотермичен на 20—25 ккал, в то время как реакция  $\dot{\text{HCO}}$  с  $\text{O}_2$  происходит с выделением 20 ккал.

Образовавшийся радикал  $\dot{\text{HO}}_2$  может вступить в реакцию замещения с метаном и формальдегидом:

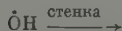
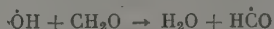
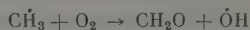


и



давая соответствующий радикал и перекись водорода, наличие которых в продуктах окисления формальдегида [16] и метана [6, 17] установлено экспериментально. Следуя Н. Н. Семенову, можно оценить энергию активации процессов (V) и (V') по уравнению Поляни — Семенова [10], стерический фактор принять равным 0,1.

Расчетами А. Б. Налбандяна и В. В. Воеводского [14] и совсем недавно расчетами Н. Н. Семенова [13] было совершенно строго показано, что гетерогенную гибель радикала  $\dot{\text{HO}}_2$  не следует учитывать и что обрыв цепей окисления метана обусловлен рекомбинацией на стенке радикала  $\dot{\text{OH}}$ . Таким образом, механизм реакции окисления метана до больших глубин превращения может быть представлен следующим рядом процессов:



Механизм не учитывает дальнейших превращений окиси углерода и перекиси водорода, образующихся в реакции, а также присутствия в продуктах окисления метана метилового спирта, который, как уже отмечалось ранее [4, 18], является побочным продуктом реакции.

**Кинетические закономерности реакции, введенные из механизма, и их опытная проверка.** Пользуясь методом квазистационарности Боденштейна — Семенова [19] на основании принятого механизма, можно теоретически рассчитать концентрации радикалов, ведущих цепь, скорости накопления формальдегида, окиси углерода, воды, изменения давления в реакции, расхода исходных веществ — метана и кислорода, — а также выход формальдегида. Легко показать, что концентрация ведущего активного центра  $\dot{\text{OH}}$  описывается уравнением:

$$[\dot{\text{OH}}] = 2 \frac{a_0 + a_2}{k_8},$$

где  $a_0 = k_0 [\text{CH}_4] [\text{O}_2]$  — скорость спонтанного зарождения активных центров;  $a_3 = k_3 [\text{CH}_2\text{O}] [\text{O}_2]$  — скорость вырожденного разветвления;  $k_6$  — константа гетерогенной гибели радикала  $\text{OH}$ .

Для скорости накопления формальдегида получаем выражение:

$$\frac{d[\text{CH}_2\text{O}]}{dt} = 2a_2 \left( 1 - \frac{a'_2 a'_5}{a_2 a_5} \right) \frac{a_0 + a_3}{k_6}, \quad (1)$$

где  $a_i (a_2, a'_2, a_5, a'_5)$  есть произведение константы соответствующего элементарного процесса на концентрацию исходного или стабильного промежуточного продукта. В момент достижения максимальной скорости концентрация формальдегида стационарна и  $d[\text{CH}_2\text{O}]/dt = 0$ , поэтому из уравнения (1) получим

$$1 = \frac{a'_2 a'_5}{a_2 a_5}. \quad (2)$$

Тогда максимальная концентрация формальдегида определится уравнением:

$$[\text{CH}_2\text{O}]_{\text{макс}} = \left( \frac{k_2 k_5}{k'_2 k'_5} \right)^{1/2} [\text{CH}_4]. \quad (3)$$

Скорость расходования метана можно определить из уравнения:

$$-\frac{d[\text{CH}_4]}{dt} = 2(a_2 + a'_2) \frac{a_0 + a_3}{k_6}. \quad (4)$$

Расчет показывает, что в интервале температур  $400-500^\circ$   $a_2 \gg a'_2$ , и последний можно пренебречь. При достаточной концентрации формальдегида скорость вырожденного разветвления  $a_3 \gg a_0$  — скорости спонтанного зарождения активных центров из исходных веществ, и последнюю не следует учитывать. Тогда максимальная скорость расходования метана определится уравнением:

$$\left[ -\frac{d[\text{CH}_4]}{dt} \right]_{\text{макс}} = \frac{2a_2 a_3}{k_6}. \quad (5)$$

Скорость расходования кислорода в реакции может быть рассчитана по уравнению:

$$\frac{d[\text{O}_2]}{dt} = \left( a_2 + a'_2 + \frac{a'_2 a'_5}{a_5} \right) \frac{2(a_0 + a_3)}{k_6}. \quad (6)$$

Необходимо, однако, учесть, что образующаяся в реакциях (V) и (V') перекись водорода ( $w_{\text{H}_2\text{O}_2} = a'_2 a'_5 / a_5$ ), разложившись, даст  $1/2 \text{O}_2$ . Учитывая, кроме того, соображения, изложенные при вычислении максимальной скорости расходования метана относительно возможности пренебрежения  $a_0$  и  $a'_2$  в сравнении с  $a_3$  и  $a_2$ , для максимальной скорости расходования кислорода получим уравнение:

$$\left[ \frac{d[\text{O}_2]}{dt} \right]_{\text{макс}} = \left( a_2 + a'_2 + \frac{a'_2 a'_5}{a_5} - \frac{1}{2} \frac{a'_2 a'_5}{a_5} \right) \frac{2(a_0 + a_3)}{k_6} = 3 \frac{a_2 a_3}{k_6}. \quad (7)$$

Рассчитаем теперь скорость накопления конечных продуктов реакции — окиси углерода и воды.

Скорость накопления CO можно определить из уравнения:

$$\frac{d[\text{CO}]}{dt} = \frac{a'_2 a'_5}{a_5} \frac{2(a_0 + a_3)}{k_6}. \quad (8)$$



Из уравнения (2) следует, что  $a_2 = a'_2 a'_5 / a_5$ . Тогда для максимальной скорости накопления СО получим выражение

$$\left[ \frac{d[\text{CO}]}{dt} \right]_{\text{макс}} = \frac{2a_2 a_3}{k_6}. \quad (1)$$

Из сравнения уравнений (5) и (9) видно, что максимальная скорость расходования метана при окислении его строго равняется скорости накопления окиси углерода в продуктах реакции. Скорость накопления воды с учетом того количества ее, которое образуется при разложении  $\text{H}_2\text{O}$  определяется уравнением:

$$\frac{d[\text{H}_2\text{O}]}{dt} = \left( a_2 + a'_2 + \frac{a'_2 a'_5}{a_5} \right) \frac{2(a_0 + a_3)}{k_6}. \quad (1)$$

Учтя допущения о возможности пренебрежения  $a'_2$  и  $a_0$  в сравнении с  $a_2$  и  $a_3$  для максимальной скорости накопления воды, получим выражение

$$\left[ \frac{d[\text{H}_2\text{O}]}{dt} \right]_{\text{макс}} = \frac{4a_2 a_3}{k_6}, \quad (1)$$

из которого следует, что последняя вдвое превышает скорость расходования метана и накопления окиси углерода. Вычислим, наконец, и скорость изменения давления в ходе окисления метана:

$$\begin{aligned} \frac{d[\Delta p]}{dt} = & -\frac{d[\text{CH}_4]}{dt} - \frac{d[\text{O}_2]}{dt} + \frac{d[\text{CO}]}{dt} + \frac{d[\text{H}_2\text{O}]}{dt} = -\frac{2a_2 a_3}{k_6} - \frac{3a_2 a_3}{k_6} + \\ & + \frac{2a_2 a_3}{k_6} + \frac{4a_2 a_3}{k_6} = \frac{a_2 a_3}{k_6}. \end{aligned} \quad (1)$$

Из сравнения уравнений (5) — (12) следует, что скорости изменения давления в реакции и расходования исходных, а также накопления конечных веществ связаны следующим соотношением:

$$\frac{d[\Delta p]}{dt} = -\frac{1}{2} \frac{d[\text{CH}_4]}{dt} = -\frac{1}{3} \frac{d[\text{O}_2]}{dt} = \frac{1}{2} \frac{d[\text{CO}]}{dt} = \frac{1}{4} \frac{d[\text{H}_2\text{O}]}{dt}. \quad (1)$$

В предыдущей работе [5] нами было экспериментально установлено (с рис. 4 работы [5]), что соотношение (13) действительно соблюдается в реакции окисления метана.

Из уравнения (3) следует, что максимальная концентрация формальдегида не зависит от содержания кислорода в реагирующей смеси и пропорциональна концентрации метана. Именно эти закономерности наблюдали нами [6] при окислении метана в кварцевом сосуде, отработанном  $\text{H}_2$  при исходном давлении реагирующей смеси 235 мм рт. ст. и 491,5° С, причем независимость  $[\text{CH}_2\text{O}]_{\text{макс}}$  от концентрации кислорода в смеси наблюдалась при давлениях его  $p_{\text{O}_2} > 55$ —60 мм рт. ст. Изучение зависимости максимального выхода формальдегида от общего давления реагирующей смеси показало пропорциональный рост  $[\text{CH}_2\text{O}]_{\text{макс}}$  с увеличением давления в полном соответствии с уравнением (3).

Из уравнения (3) легко оценить энергию активации максимального выхода формальдегида, а также максимальную долю метана  $\alpha$ , превращающуюся в формальдегид. Воспользуемся для этой цели уравнением (3) несколько иной форме:

$$\frac{[\text{CH}_2\text{O}]_{\text{макс}}}{[\text{CH}_4]} = \left[ \frac{k_2 k_5}{k'_2 k'_6} \right]^{1/2},$$

Отношение констант скоростей  $k_2/k'_2$  определяет конкуренцию реакции радикала  $\text{OH}$ , а  $k_5/k'_5$  — радикала  $\text{HO}_2$  с метаном и формальдегидом. Если предположить, что стерические факторы реакций (V) и V') и (II) и (I)

лизки, то отношения констант определяются только разностью в энергиях активации, которые могут быть приближенно оценены по уравнению Семенова ( $\epsilon = 11,5 - 0,25 q$ ). Реакции (II) и (II') экзотермичны ( $\epsilon_2 = 15$  ккал,  $q_2' = 37$  ккал); следовательно,  $\epsilon_2 - \epsilon_2' = 6$  ккал. Реакция (V) эндотермична на 11 ккал, а (V') — экзотермична приблизительно на 2 ккал; следовательно, разность  $\epsilon_5 - \epsilon_5' = 11$  ккал.

Тогда

$$[\text{CH}_2\text{O}]_{\text{макс}} = e^{-11000/2RT} e^{-6000/2RT} [\text{CH}_4] = e^{-8500/RT} [\text{CH}_4],$$

е. согласно теории максимальный выход формальдегида зависит от температуры по закону  $e^{-8500/RT}$ . На опыте мы получили для  $\epsilon(\text{CH}_2\text{O})_{\text{макс}}$  величину  $7,8 \pm 0,5$  ккал, что находится в достаточно хорошем совпадении с теорией. Максимальная доля метана, превращающегося в формальдегид  $\alpha$  при  $491,5^\circ\text{C}$ , рассчитанная по формуле (3), оказалась равной

$$\alpha = \frac{[\text{CH}_2\text{O}]_{\text{макс}}}{[\text{CH}_4]} = \left( \frac{k_2 k_5}{k_2' k_5'} \right)^{1/2} = e^{-8500/RT} = 3,8 \cdot 10^{-3}.$$

На опыте [6] для нее было найдено по наклону прямой рис. 10 в нашей работе [6] значение  $\alpha = 4,4 \cdot 10^{-3}$ , что можно считать удовлетворительным совпадением, если учесть, что некоторые константы радикальных реакций были оценены приближенно.

Согласно уравнению (5), максимальная скорость расходования метана

$$\left[ -\frac{d[\text{CH}_4]}{dt} \right]_{\text{макс}} = \frac{2k_2 k_3}{k_6} [\text{CH}_4] [\text{O}_2] [\text{CH}_2\text{O}]_{\text{макс}}. \quad (14)$$

Подставив значение  $[\text{CH}_2\text{O}]_{\text{макс}}$  из уравнения (3) в уравнение (14), получим для максимальной скорости расходования метана выражение:

$$\left[ -\frac{d[\text{CH}_4]}{dt} \right]_{\text{макс}} = \frac{2k_2 k_5}{k_6} \left[ \frac{k_2 k_5}{k_2' k_5'} \right]^{1/2} [\text{CH}_4]^2 [\text{O}_2], \quad (15)$$

из которого видно, что она зависит от концентрации метана во второй, кислорода — в первой степени. Порядок максимальной скорости по давлению  $n = 3$ . Экспериментально нами был получен порядок по общему давлению  $n = 2,7$ , по метану  $\alpha = 1,62$ , по кислороду  $\beta = 0,96$ , т. е. величины, близкие к теоретическим.

Рассчитаем, какое значение энергии активации окисления метана получается из принятого механизма. Из уравнения (15) видно, что полная энергия активации складывается из энергии активации процесса разветвления (I), равной 32 ккал, энергии активации реакции (II), равной 8,5 ккал, температурного коэффициента выражения  $(k_2 k_5 / k_2' k_5')^{1/2}$ , равного 8,5 ккал. Суммируя, получаем  $\epsilon_{\text{эфф}} = 49$  ккал, при условии, что  $k_6$  не зависит от температуры. Однако поскольку гибель радикалов  $\dot{\text{O}}\text{H}$  происходит в кинетической области, о чем свидетельствует слабая зависимость реакции от давления инертного газа, ( $\gamma = 0,1$ ) и, напротив, очень сильная зависимость от состояния поверхности реакционного сосуда, вероятность гетерогенной рекомбинации радикалов  $\dot{\text{O}}\text{H}$  должна зависеть от температуры. Литературных данных известно [14], что энергия активации этой реакции окисления метана до величин, близкой к 44—46 ккал.

Экспериментальная величина эффективной энергии активации, рассчитанная по расходу метана и кислорода, накоплению  $\text{CO}$  и  $\text{H}_2\text{O}$  и максимальной скорости прироста давления, оказалась равной  $43 \pm 1$  ккал, что можно считать хорошим совпадением с теорией.

Для вычисления максимальной скорости расходования метана необходимо знать [см. формулу (15)] отношение кинетических коэффициентов

реакций продолжения и обрыва цепей  $a_2/a_6$ , характеризующее длину цепи и стерический фактор  $f_3$  реакции вырожденного разветвления. По данным А. Б. Налбандяна [20] при  $400-500^\circ$   $a_2/a_6 \approx 100$ . Для вычисления стерического фактора  $f_3$  воспользуемся значением максимальной скорости реакции в одной точке. При  $423^\circ$  и  $p_0 = 235$  мм рт. ст. стехиометрической смеси максимальная скорость расщепления метана

$$[w_{\text{CH}_4}]_{\text{макс}} = \left[ -\frac{d[\text{CH}_4]}{dt} \right]_{\text{макс}} = 0,01 \text{ мм. рт. ст./сек.}$$

Подставив в уравнение (15) значения известных величин и решив его относительно  $f_3$ , получим

$$0,01 = 2 \cdot 100 \cdot f_3 \cdot 10^{-10} e^{-32000/RT} e^{-8500/RT} \frac{7,8 \cdot 10^{19}}{T} 158;$$

$$0,01 = f_3 \cdot 3,5 \cdot 0,23, \quad f_3 = 0,0124, \text{ т. е. } f_3 \approx \frac{1}{100}.$$

Зная стерический фактор реакции вырожденного разветвления  $f_3$  учитывая изменение длины цепи с температурой, которое происходит энергией активации  $\epsilon = 4$  ккал, можно вычислить абсолютные скорости окисления метана для других температур. Вычисленные из уравнения (15) максимальные скорости окисления метана приведены в столбце табл. 1, в столбце 2 которой приведены экспериментально измеренные величины.

Таблица 1  
Рассчитанные из механизма и экспериментально  
определенные скорости окисления метана

$t, ^\circ\text{C}$	$[w_{\text{CH}_4}]_{\text{макс}}$ теорет., мм рт. ст./сек.	$[w_{\text{CH}_4}]_{\text{макс}}$ эксперим., мм рт. ст./сек.
472	0,07	0,088
491,5	0,14	0,15
513	0,33	0,31

На основании предложенного механизма возможно теоретически определить величину периода индукции окисления метана и его температурную зависимость. Период индукции рассчитывается в предположении, что образующийся во время периода индукции формальдегид не реагирует с радикалами цепи ввиду малости его концентрации в начальной стадии реакции. Поэтому, согласно принятому механизму, в периоде индукции скорость накопления формальдегида должна строго равняться скорости расщепления метана:

$$\frac{d[\text{CH}_2\text{O}]}{dt} = 2a_0 \frac{n_0 + a'_3[\text{CH}_2\text{O}]}{k_6},$$

где  $a'_3 = k_3[\text{O}_2]$ .

Интегрируя это уравнение в предположении, что в начальный момент реакции  $t = 0$ ,  $[\text{CH}_2\text{O}] = 0$ , получим

$$[\text{CH}_2\text{O}] = \frac{n_0}{a_3} (e^{\varphi t} - 1),$$

где

$$\varphi = \frac{2a_2a_3}{k_6} = \frac{2k_2k_3}{k_6} [\text{CH}_4][\text{O}_2].$$



Подставив значение  $[\text{CH}_2\text{O}]$  из уравнения (16) в уравнение для скорости реакции (15), получим выражение

$$w = \frac{2n_0 a_2}{a_6} e^{\varphi t},$$

при интегрировании которого найдем, что

$$\Delta [\text{CH}_4] = [\text{CH}_4]_0 - [\text{CH}_4]_t = \frac{n_0}{a_3} (e^{\varphi t} - 1). \quad (17)$$

Из уравнения (17) следует, что

$$\varphi \tau = \ln \left( \frac{\Delta [\text{CH}_4]}{n_0} a_3 + 1 \right).$$

Поскольку выражение, находящееся под логарифмом, меняется во времени с температурой значительно слабее, чем  $\Delta \varphi$ , мы можем приближенно считать произведение  $\varphi \tau$  постоянным

$$\varphi \tau = \text{const.} \quad (18)$$

Отсюда легко получить температурную зависимость периода индукции

$$\tau = \frac{\text{const} \cdot k_6}{2k_2 k_3 [\text{CH}_4] [\text{O}_2]} e^{(\varepsilon_3 + \varepsilon_2 - \varepsilon_6) / RT}. \quad (19)$$

Было отмечено, что температурная зависимость длины цепи  $a_2/a_6$ , с.  $\varepsilon_2 - \varepsilon_6 = 4$  ккал, а энергия активации вырожденного разветвления,  $\varepsilon_3 = 32$  ккал; следовательно,  $\varepsilon_\tau = 32 + 4 = 36$  ккал. Экспериментально из температурного хода периода индукции реакции была получена величина  $36 \pm 1$  ккал, что полностью совпадает с теоретическим значением.

Сопоставление основных количественных параметров кинетики окисления метана, рассчитанных на основании предложенного механизма с полученными, экспериментально приведено в табл. 2.

Таблица 2

Рассчитанные и экспериментальные значения кинетических параметров реакции окисления метана

	Теория	Опыт
Порядок $[\text{CH}_2\text{O}]_{\text{макс}}$		
по $\text{CH}_4$	1	1
по $\text{O}_2$	0	0
Энергия активации $[\text{CH}_2\text{O}]_{\text{макс}}$	8,5 ккал	$7,8 \pm 0,5$ ккал
$\frac{[\text{CH}_2\text{O}]_{\text{макс}}}{[\text{CH}_4]} = \alpha$ при 491,5	$3,8 \cdot 10^{-3}$	$4,4 \cdot 10^{-3}$
Порядок максимума скорости		
по $\text{CH}_4$	2	1,62
по $\text{O}_2$	1	0,96
$P_{\text{общ.}}$	3	2,7
Энергия активации максимальной скорости	46 ккал	$43 \pm 1$ ккал
$\left[ \frac{d[\text{CH}_4]}{dt} \right]_{\text{макс}} : \left[ \frac{d[\text{O}_2]}{dt} \right]_{\text{макс}} : \left[ \frac{d[\text{CO}]}{dt} \right]_{\text{макс}} :$	$1 : 3/2 : 1$	$1 : 3/2 : 1$
$\left[ \frac{d[\text{H}_2\text{O}]}{dt} \right]_{\text{макс}} : \left[ \frac{d\Delta P}{dt} \right]_{\text{макс}}$	$2 : 1/2$	$2 : 1/2$
Абсолютная скорость реакции:		
при 472°	0,07 мм рт. ст./сек.	0,008 мм рт. ст./сек.
при 491,5°	0,14 » » »	0,15 » » »
при 513°С	0,33 » » »	0,31 » » »
Энергия активации периода индукции $\varepsilon_\tau$	36 ккал	$36 \pm 1$ ккал

Достаточно удовлетворительное совпадение теоретических величин с экспериментальными указывает на то, что предложенный механизм достаточно полно описывает кинетику реакции окисления метана. Дальнейшая проверка и окончательное утверждение механизма должны состоять в изучении элементарных актов и вычислении соответствующих констант скоростей реакций радикалов с исходными веществами и промежуточными продуктами реакции.

### Выводы

1. На основании кинетических данных и современных представлений об энергетике элементарных реакций радикалов со стабильными молекулами предложена схема наиболее вероятного механизма окисления метана в газовой фазе, учитывающая разветвляющую роль формальдегида в процессе.

2. Справедливость предложенной схемы подтверждена количественным совпадением большого числа кинетических параметров реакции, рассчитанных на основании принятого механизма, с экспериментально измеренными величинами.

Академия наук СССР  
Институт химической  
физики

Поступила  
23.VI.58

### ЛИТЕРАТУРА

1. Н. Н. Семенов, Успехи химии, **20**, 673, 1951.
2. R. Norrish, Disc. Faraday Soc. Hydrocarb., **10**, 296, 1951.
3. B. Lewis, G. Elbe, Combustion, Flame and Explosions of Gases, 1951.
4. Л. В. Кармилова, Н. С. Ениколопян и А. Б. Налбандян, Ж. физ. химии, **20**, 798, 1956.
5. Л. В. Кармилова, Н. С. Ениколопян и А. Б. Налбандян, Ж. физ. химии, **34**, 550, 1960.
6. Л. В. Кармилова, Н. С. Ениколопян и А. Б. Налбандян, Ж. физ. химии, **34**, 990, 1960.
7. G. R. Holy, K. O. Kutschke, Canad. J. Chem., **33**, 496, 1955.
8. K. U. Tugold, W. A. Bryce, J. Chem. Phys., **24**, 360, 1956.
9. D. E. Hoage, A. D. Walsh, Trans. Faraday Soc., **53**, 1102, 1957.
10. Н. Н. Семенов, О некоторых проблемах химической кинетики и реакционной способности, Изд-во АН СССР, 1954.
11. Л. И. Авраменко, Р. В. Лоренцо, Докл. АН СССР, **69**, 205, 1949.
12. Л. И. Авраменко, Р. В. Колесников, Докл. АН СССР, **91**, 1074, 1953.
13. Н. Н. Семенов, О некоторых проблемах химической кинетики и реакционной способности, Изд-во АН СССР, 1958, изд. II, гл. VII.
14. А. Б. Налбандян и В. В. Воеводский, Механизм окисления и горения водорода, Изд-во АН СССР, Москва, 1949.
15. Л. В. Кармилова, Н. С. Ениколопян и А. Б. Налбандян, Ж. физ. химии, **31**, 851, 1957.
16. А. М. Маркевич и Л. Ф. Филиппова, Ж. физ. химии, **31**, 2649, 1957.
17. A. Egerton, G. J. Minkoff and K. C. Salooja, Proc. Roy. Soc., **235**, 158, 1956.
18. Р. И. Мошкина, Н. Галанина и А. Б. Налбандян, Изв. АН СССР, Отд. хим. н. 1725, 1959.
19. Н. Н. Семенов, Цепные реакции, Госхимтехиздат, 1934.
20. А. Б. Налбандян, Докл. АН АрмССР, **9**, 101, 1948.

## KINETICS AND MECHANISM OF METHANE OXIDATION

## III. DETAILED MECHANISM OF THE REACTION

*L. V. Karmilova, N. S. Enikolopyan, A. B. Nalbandyan, N. N. Semenov*  
(Moscow)

## Summary

Based on kinetic data and modern energy conceptions of the elementary reactions of radicals with stable molecules a scheme has been proposed of the most probable mechanism for the gaseous phase oxidation of methane, account being made of the branching action in the process on the part of formaldehyde.

The validity of the proposed mechanism has been confirmed by the quantitative agreement of the theoretical and experimental values for a large number of reaction parameters.

---



МЕЖФАЗНАЯ АКТИВНОСТЬ КИСЛОРОДА В СИСТЕМАХ  
ЖИДКИЙ МЕТАЛЛ — ТВЕРДЫЙ ОКИСЕЛ

В. Н. Еременко, Ю. В. Найдич и А. А. Носонович

Замечено, что кислород, находясь в жидком металле, улучшает смачивание этим металлом поверхностей твердых окислов [1—3].

Несмотря на большое практическое и теоретическое значение этого явления, систематических исследований по этому вопросу не проводилось за исключением работы [4], в которой измерялся краевой угол жидкого железа с небольшими добавками кислорода.

В настоящей работе было предпринято изучение смачиваемости поверхностей окиси алюминия и окиси магния сплавами меди с кислородом.

## Экспериментальная часть

Методика при изготовлении образцов. Степень смачивания определяется величиной краевого угла. Последний зависит от межфазных поверхностных энергий. Эта связь передается уравнением

$$\cos \theta = \frac{\sigma_T - \sigma_{ТЖ}}{\sigma_{Ж}} \quad (1)$$

где  $\theta$  — краевой угол (рис. 1),  $\sigma_T$ ,  $\sigma_{ТЖ}$  и  $\sigma_{Ж}$  — межфазные поверхностные энергии на границах раздела твердое тело — газ, твердое тело — жидкость, жидкость — газ соответственно. В настоящей работе краевой угол измерялся методом покоящейся капли, т. е. фотографированием капли расплавленного металла, находящегося на поверхности исследуемого окисла.

## Состав исследованных сплавов

№ сплава	O <sub>2</sub> , ат. %
1	0,0
2	0,15
3	0,3
4	0,8
5	1,1
6	1,3
7	2,6
8	3,4

Исследование проводилось в специальной вакуумной установке [5] в атмосфере очищенного аргона при 1150° С. Образцы керамики представляли собой спеченные диски диаметром 25 мм и высотой 5 мм. Перед опытом плоская поверхность керамики шлифовалась абразивом с постепенно уменьшающимся зерном, затем промывалась спиртом образцы высушивались и прокаливались. Образцы меди были те же, что и в [6]. Изготавливались они сплавлением меди с окисью меди. Содержание кислорода в использованных образцах (по анализу) приведено в таблице.

Краевой угол измерялся после выдержки образца в печи в течение 5 мин. со времени расплавления металла.

Остальные подробности эксперимента те же, что в предыдущей работе [6].

Значения поверхностного натяжения жидкой фазы для расчета межфазного натяжения и работы адгезии взяты из [6].

## Обсуждение результатов

Система Cu (кислород) — Al<sub>2</sub>O<sub>3</sub>. Краевые углы измерялись в атмосфере аргона при 1150° С. Результаты представлены на рис. 1. Как видно, кислород, содержащийся в меди, уменьшает краевой угол, смачиваемость растет.

Межфазное натяжение  $\sigma_{\text{тж}}$  находилось из уравнения (1). Для величины  $\sigma_{\text{т}}$  принималось значение  $965 \text{ эрг/см}^2$ , полученное в [7]. Работа адгезии рассчитывалась по уравнению:

$$W_a = \sigma_{\text{ж}} (1 + \cos \theta). \quad (2)$$

Результаты представлены на рис. 2 и 3. Межфазное натяжение в этой системе, как видно, резко падает, работа адгезии растёт.

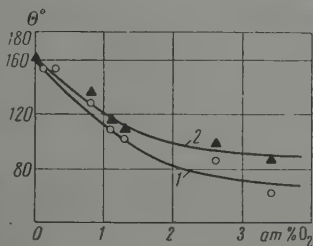


Рис. 1

Рис. 1. Краевые углы смачивания сплавами медь — кислород на поверхности: 1 — окиси алюминия и 2 — окиси магния,  $1150^\circ \text{C}$  аргон

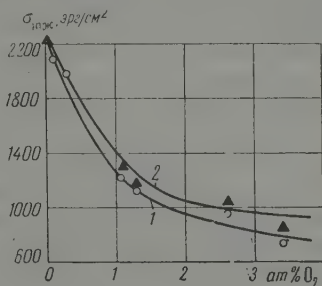


Рис. 2

Рис. 2. Межфазное натяжение в системе: 1 — медь (кислород) — окис алюминия и 2 — окис магния,  $1150^\circ$ , аргон

Путем дифференцирования кривой  $\sigma_{\text{тж}}$  — состав и применения уравнения Гиббса для идеальных систем находилась избыточная концентрация кислорода на границе раздела жидкость — твердое тело. Расчет показывает, что адсорбция кислорода на границе раздела окис алюминия — медь происходит через максимум при содержании кислорода  $\sim 1 \text{ ат. \%}$  (рис. 4). Максимальная избыточная концентрация кислорода оказалась равной  $\Gamma_{\text{макс}} = (57 \pm 5) \cdot 10^{-10} \text{ мол/см}^2$  или  $(34 \pm 3) \cdot 10^{14} \text{ ат/см}^2$ , что значительно больше максимальной избыточной концентрации кислорода на поверхности жидкая медь — газ ( $21 \cdot 10^{14} \text{ ат/см}^2$ ), найденной нами в предыдущей работе [6].

Это становится понятным, если уравнение Дюпре переписать в виде:

$$\sigma_{\text{тж}} = \sigma_{\text{т}} + \sigma_{\text{ж}} - W_a. \quad (3)$$

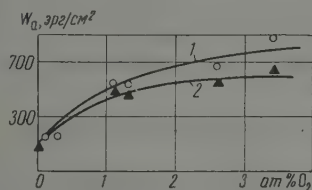


Рис. 3

Рис. 3. Работа адгезии в системе: 1 — медь (кислород) — окис алюминия и 2 — окис магния,  $1150^\circ$ , аргон

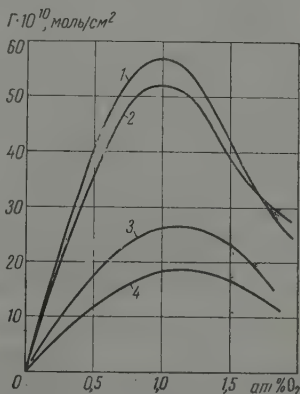


Рис. 4

Рис. 4. Адсорбция кислорода на межфазной границе: 1 — полная адсорбция на границе медь — окис алюминия; 2 — полная адсорбция на границе медь — окис магния; 3 — адсорбция  $\Gamma_{W_a}$  на границе медь — окис алюминия; 4 — адсорбция  $\Gamma_{W_a}$  на границе медь — окис магния

Понижение межфазного натяжения  $\sigma_{\text{тж}}$  может происходить благодаря понижению поверхностного натяжения жидкой фазы, а также благодаря росту работы адгезии. Избыточная концентрация кислорода в данном случае будет складываться из избыточной концентрации кислорода на поверхности жидкой — газ и из количества кислорода, непосредственно химически связанного с поверхностью окисла и ответственного за работу адгезии на рассматриваемой границе. Действительно, применяя уравнение Гиббса к величине  $\sigma_{\text{тж}}$  и считая  $\sigma_{\text{т}}$  величиной постоянной получим

$$\Gamma = -\frac{c}{RT} \frac{\partial \sigma_{\text{тж}}}{\partial c} = -\frac{c}{RT} \frac{\partial}{\partial c} (\sigma_{\text{т}} + \sigma_{\text{жк}} - W_a) = -\frac{c}{RT} \frac{\partial \sigma_{\text{жк}}}{\partial c} + \frac{c}{RT} \frac{\partial W_a}{\partial c} = \Gamma_{\sigma_{\text{жк}}} + \Gamma_{W_a}.$$

Добавляемое в смачиваемую жидкость вещество может быть поверхностно-активно, нейтрально или инактивно (т. е.  $\Gamma_{\sigma_{\text{жк}}} > 0$ ;  $\Gamma_{\sigma_{\text{жк}}} = 0$ ;  $\Gamma_{\sigma_{\text{жк}}} < 0$  соответственно). С другой стороны, добавляемое вещество может иметь большее, равное или меньшее сродство к твердой фазе по сравнению со сродством жидкости, в которой оно растворяется (т. е.  $\Gamma_{W_a} > 0$ ;  $\Gamma_{W_a} = 0$ ;  $\Gamma_{W_a} < 0$ , соответственно). Наблюдаемое многообразие случаев поведения добавки на межфазной границе возникает из различных сочетаний поверхностной активности добавки и ее сродства к веществу твердой фазы.

В случае рассматриваемой системы медь — кислород — окись алюминия — кислород, являясь поверхностно-активным в жидкой меди, в то же время увеличивает работу адгезии сплава к поверхности окисла. Количество кислорода на межфазной границе должно складываться из атомов, вытолкнутых из объема жидкой фазы (поверхностная активность), и из атомов, химически связанных с поверхностью окисла. Количество последних можно, очевидно, подсчитать, зная изменение работы адгезии с концентрацией кислорода и используя уравнение Гиббса:

$$\Gamma_{W_a} = \frac{c}{RT} \frac{\partial W_a}{\partial c}.$$

Адсорбция  $\Gamma_{W_a}$  также обнаруживает максимум при той же примерной концентрации 1 ат. % кислорода.

Значение максимальной адсорбции оказывается равным  $(16 \pm 3) \times 10^{14}$  ат./см<sup>2</sup>, что соответствует числу ионов  $\text{Al}^{3+}$  на поверхности окиси алюминия, равному по [8]  $10,2 \cdot 10^{14}$  ат./см<sup>2</sup>.

По-видимому, местами поверхности окисла, на которых адсорбируются ионы кислорода, являются узлы решетки, занятые ионами алюминия, причем каждый ион  $\text{Al}^{3+}$  адсорбирует примерно один ион кислорода.

Значение для максимальной избыточной концентрации кислорода на поверхности жидкой — газ, полученное в предыдущей работе [6] и равное  $21 \cdot 10^{14}$  ат./см<sup>2</sup>, в пределах ошибок согласуется с величиной этой концентрации, полученной из соотношения

$$\Gamma_{\sigma_{\text{тж}}} = \Gamma_{\sigma_{\text{тж}}} - \Gamma_{W_a} = 34 \cdot 10^{14} - 16 \cdot 10^{14} - 18 \cdot 10^{14} \text{ ат./см}^2.$$

Система  $\text{Cu(O)} - \text{MgO}$ . Для этой системы было также проведено определение краевых углов, межфазного натяжения и работы адгезии в тех же условиях — при  $1150^\circ \text{C}$  в атмосфере аргона. Результаты этих определений и расчетов приведены на рис. 1—3.

Смачиваемость и в этой системе значительно улучшается при введении кислорода в медь, оставаясь, однако, более низкой, чем для окиси алюминия.

Тем же способом, что и в случае границы медь — окись алюминия, ходила адсорбция кислорода  $\Gamma_{\sigma_{\text{тж}}}$  и  $\Gamma_{W_a}$  (рис. 4). Величина общей адсор-



ции на межфазной границе раздела жидкая медь — твердая окись магния оказалась равной  $(52 \pm 4) \cdot 10^{-10}$  мол./см<sup>2</sup> или  $(31 \pm 3) \cdot 10^{14}$  ат./см<sup>2</sup>. Концентрация ионов кислорода, непосредственно связанных с поверхностью окисла, вычисленная по работе адгезии, равна  $(10 \pm 3) \cdot 10^{14}$  ат./см<sup>2</sup>.

Рассчитанная из структурных данных решетки окиси магния с учетом фактора повторяемости средняя поверхностная плотность ионов магния близка к этому значению — она равна  $10,7 \cdot 10^{14}$  ат./см<sup>2</sup>. По-видимому, и в этом случае кислород адсорбируется в узлах решетки окисла, занятых ионами металла, причем каждый такой поверхностный ион связывается с одним ионом кислорода из жидкого сплава. Максимальная адсорбция кислорода на границе жидкость — газ, найденная из значений  $\Gamma_{\text{тж}}$  и  $\Gamma_{\text{га}}$  для этой системы  $(52 \cdot 10^{14} - 31 \cdot 10^{14} = 21 \cdot 10^{14}$  ат./см<sup>2</sup>), также хорошо согласуется со значением этой величины, полученной непосредственным измерением поверхностного натяжения ( $21 \cdot 10^{14}$  ат./см<sup>2</sup>).

### Выводы

1. Найдена высокая межфазная активность кислорода в жидкой меди на границе с поверхностями окислов алюминия и магния. Кислород в количестве ~3 ат. % резко увеличивает смачиваемость окислов жидкой медью.
2. Рассмотрены взаимоотношения между поверхностной и межфазной активностью добавки в жидкий металл.
3. Находилась адсорбция кислорода на поверхности раздела жидкая медь — твердый окисел.

Данные избыточной концентрации кислорода, связанного с поверхностью окисла, вычисленные из изменения работы адгезии, говорят о том, что кислород должен адсорбироваться в узлах решетки, занятых ионами металла, и на каждый такой ион адсорбируется один атом кислорода.

Академия наук УССР  
Институт металлокерамики и специальных сплавов.  
Киевский государственный университет  
им. Т. Г. Шевченко

Поступила  
30.VI.1958

### ЛИТЕРАТУРА

1. E. Livey, P. Murray, Warmfeste und korrosionbeständige Sinterwerkstoffe, 2. Plansee Seminar, Reutte/Tirol, 1956.
2. С. И. Сапиро, Тр. Сталинского областного отделения ВПИТОМ, № 1, 21, 1949, № 2, 35, 1950.
3. G. Baxter, A. Roberts, Powder Metallurgy Symposium, London, Iron and Steel Institute, 1954.
4. F. Halden, W. Kingery, J. Phys. Chem., 59, 557, 1955.
5. В. Н. Еременко, Ю. В. Найдич, Укр. хим. ж., 23, 573, 1955.
6. В. Н. Еременко, Ю. В. Найдич, А. А. Носонович, Ж. физ. химии, 34 1018, 1960.
7. W. D. Kingery, G. Amer. Ceram. Soc., 37, 42, 1954.
8. O. Kurkjian, W. Kingery, J. Phys. Chem., 60, 961, 1956.

### THE SUPERFICIAL AND INTERPHASE ACTIVITY OF OXYGEN IN LIQUID METAL — SOLID OXIDE SYSTEMS

V. N. Eremenko, Yu. V. Naidich and A. A. Nosonovich (Kiev)

#### Summary

The wetting of aluminum and magnesium oxide surfaces by copper-oxygen alloys has been investigated. Oxygen has been found to sharply improve the wetting of the oxides. The interfacial energy and work of adhesion were calculated from contact angle and surface tension measurements.

The adsorption of oxygen on the liquid-solid interface was calculated with the aid of Gibbs' equation. The amount of oxygen bound with the oxide surface as calculated from the change in the work of adhesion with concentration was found to approximately equal one atom for each atom of metal on the surface of oxide.

## НЕКОТОРЫЕ СТРУКТУРНЫЕ ВОПРОСЫ ГИДРОГЕНИЗАЦИОННОГО КАТАЛИЗА. III

А. Н. Мальцев, Н. И. Кобозев, Т. В. Семенова  
и Е. И. Карпова

Структурные вопросы в гидрогенизационном катализе впервые были поставлены в работах А. А. Баландина [1]. В его теории мультиплетов был предложен структурный принцип, согласно которому при гидрировании и дегидрировании неопределенных углеводородов должно существовать структурное соответствие строения превращаемых молекул и активных центров. В частности, для гидрирования бензола и других шестичленных колец теорией требуется секстетная модель активного центра, имеющего ту же симметрию, что и молекула бензола.

Однако опытные данные, полученные на основе теории ансамблей, говорят против подобного принципа. Многочисленные работы, проведенные как в нашей лаборатории, так и в других местах (сводка этих данных приведена в табл. 1), показывают, что универсальным и общим центром гидрирования всех без исключения ненасыщенных связей является двухатомный платиновый или палладиевый ансамбль  $[Pt_2]$   $[Pd_2]$ . Из той же таблицы видно, что наряду с двухатомными ансамблями иногда, действительно появляются пяти-, шести- или семиатомные ансамбли, образующиеся в области больших заполнений активного слоя. Таким образом шестиатомный «платиновый двойник» бензольного кольца, принимаемый в теории мультиплетов, иногда появляется как реальный активный центр, имеющий, однако, необязательный характер.

Настоящая статья посвящена вопросу о том, в какой мере нужно считать, что симметрия или структура гидрируемых молекул находится в соответствии со структурой активного центра — с двойкой, шестеркой, семеркой атомов или более сложными центрами, которые также иногда возникают при катализе.

## Экспериментальная часть

Для того чтобы выяснить связь между структурой гидрируемого углеводорода и структурой активного центра, нами была изучена гидрогенизация следующих углеводородов на платиновом адсорбционном катализаторе  $Pt/SiO_2$ : *n*-гептена, имеющего на конце двойную связь; циклогексана, имеющего ту же связь, но в кольце; метиленикциклогексана с двойной связью, вынесенной за пределы этого кольца, и, наконец, 1,3-циклогексадиена, содержащего две сопряженные двойные связи в шестичленном цикле.

Кинетика реакций изучалась в утке для жидкофазного гидрирования, укрепленной на качалке. Число качаний во всех опытах было постоянным и равнялось 600 кач./мин. В каждом опыте в утку помещали 0,001 моль углеводорода, растворенного в 20 мл абсолютированного этилового спирта, а в отросток, расположенный над раствором, насыпали 0,050 г катализатора. Перед опытом утка эвакуировалась, после чего в нее впускали электролитический водород, в атмосфере которого выдерживали катализатор в течение одного часа. Затем катализатор высыпали из отростка в гидрируемый раствор, включали качалку и с этого момента измеряли поглощение водорода в газометрической бюретке.

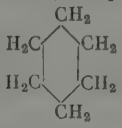
Таблица 1

Сводка данных по определению числа автоматов в активном ансамбле для реакций гидро- и дегидрогенизации

Гидрируемое вещество	Катализатор	Активный ансамбль		Авторы работы
		основ- ной	побочный	
Фенол $\begin{array}{c} \text{C}-\text{OH} \\   \\ \text{HC} \diagup \text{CH} \\   \quad   \\ \text{HC} \diagdown \text{CH} \\   \\ \text{CH} \end{array}$	Pt на косточк. угле	[Pt <sub>2</sub> ]	[Pt <sub>6</sub> ]	Н. И. Кобозев и Н. А. Решетовская [4]
Тoluол $\begin{array}{c} \text{C}-\text{CH}_3 \\   \\ \text{HC} \diagup \text{CH} \\   \quad   \\ \text{HC} \diagdown \text{CH} \\   \\ \text{CH} \end{array}$	Pt на угле	[Pt <sub>2</sub> ]		Гольдфельд и Н. И. Кобозев [7]
Фумаровая к-та $\begin{array}{c} \text{H}-\text{C}-\text{COOH} \\    \\ \text{HOOC}-\text{C}-\text{H} \end{array}$	Pd на кровяной угле	[Pd <sub>2</sub> ]		Сабаличка и Цим- мерман [8]
	Pd на сульфате бария	[Pd <sub>2</sub> ]		
Бензол $\begin{array}{c} \text{CH} \\   \\ \text{HC} \diagup \text{CH} \\   \quad   \\ \text{CH} \diagdown \text{CH} \\   \\ \text{CH} \end{array}$	Pd на силика- геле	[Pd <sub>2</sub> ]		В. М. Грязнов, А. В. Фрост и др. [9]
Диметилацетиленилкарбинол $\begin{array}{c} \text{CH}_3 \quad \text{OH} \\ \diagdown \quad / \\ \text{C}-\text{C}\equiv\text{CH} \\ / \quad \diagdown \\ \text{CH}_3 \end{array}$	Pd на актив. угле	[Pd <sub>2</sub> ]		Д. В. Сокольский и К. И. Стендер [10]
Циклогексен $\begin{array}{c} \text{CH}_2 \\   \\ \text{H}_2\text{C} \diagup \text{CH} \\   \quad   \\ \text{H}_2\text{C} \diagdown \text{CH} \\   \\ \text{CH}_2 \end{array}$	Pt на силика- геле	[Pt <sub>2</sub> ]	[Pt <sub>6-7</sub> ] [Pt <sub>12</sub> ]	А. Н. Мальцев, Т. В. Семенова, Н. И. Кобозев [11]
Метилциклогексан $\begin{array}{c} \text{CH}_2 \\   \\ \text{H}_2\text{C} \diagup \text{C}=\text{CH}_2 \\   \quad   \\ \text{H}_2\text{C} \diagdown \text{CH}_2 \\   \\ \text{CH}_2 \end{array}$	Pt на силика- геле	[Pt <sub>2</sub> ]	[Pt <sub>6-7</sub> ] [Pt <sub>12</sub> ]	А. Н. Мальцев, Т. В. Семенова, Н. И. Кобозев [11]
1,3-циклогексадиен $\begin{array}{c} \text{CH} \\   \\ \text{HC} \diagup \text{CH}_2 \\   \quad   \\ \text{HC} \diagdown \text{CH}_2 \\   \\ \text{CH} \end{array}$	Pt на силика- геле	[Pt <sub>2</sub> ]	[Pt <sub>6-7</sub> ] [Pt <sub>12</sub> ]	А. Н. Мальцев, Т. В. Семенова, Н. И. Кобозев [11]



Таблица 1 (продолжение)

Гидрируемое вещество	Катализатор	Активный ансамбль		Авторы работы
		основ- ной	побочный	
Этилен, бутилен, амилен, бутадииен	Pt на силика- геле			
$\text{CH}_2=\text{CH}_2$ $\text{CH}_2=\text{CH}-\text{CH}_2-\text{CH}_2$ $\text{CH}_2=\text{CH}-(\text{CH}_2)_2-\text{CH}_3$ $\text{CH}_2=\text{CH}-\text{CH}=\text{CH}_2$	Pt на алюмо- геле	$[\text{Pt}_2]$ $[\text{Pt}_2]$	$[\text{Pt}_1]$ $[\text{Pt}_1]$	А. Н. Мальцев и Н. И. Кобозев [2]
4-метокси-2-метилбутен-2 $\text{CH}_3 \diagdown \text{C}=\text{CH}_2-\text{CH}_2-\text{O}-\text{CH}_3$ $\text{CH}_3 \diagup$	Pt на скелет- ном Ni	$[\text{Pt}_2]$		Н. И. Щеглов и Д. В. Сокольский [12]
Коричная к-та $\text{H}-\text{C}-\text{COOH}$ $\parallel$ $\text{C}_6\text{H}_5-\text{C}-\text{H}$	Pt на никеле, нанесенном на силикагель	$[\text{Pt}_2]$		А. В. Бухман и Д. В. Сокольский [13]
Циклогексан (дегидрирование)	Pd на активн. угле	$[\text{Pd}_2]$		Ю. Г. Лапин и А. В. Фрост [14]
	Pd на окиси магния	$[\text{Pd}_2]$		
Малеиновая к-та $\text{H}-\text{C}-\text{COOH}$ $\parallel$ $\text{H}-\text{C}-\text{COOH}$	Pt на косточк. угле	$[\text{Pt}_2]$	$[\text{Pt}_6]$	Н. И. Кобозев и Н. А. Решетов- ская [4]

Гидрирование всех углеводородов проводилось в одинаковых условиях а именно: в спиртовом растворе, при 25°, на адсорбционных катализаторах, представляющих собою сильно разведенные слои платины на силикагеле. Была исследована область заполнения поверхности платиной с 0,001 до 0,02.

Таблица 2

## Показатели преломления

Углеводород	Из литера- туры	Опыт	Углеводород	Из литера- туры	Опыт
Гептен-1	$n_{20}^D=1,3998$	$n_{20}^D=1,4018$	Метилен- циклогексан	$n_{20}^D=1,4495$	$n_{20}^D=1,4516$
Циклогексен	$n_{22}^D=1,4450$	$n_{20}^D=1,4460$	1,3-Цикло- гексадиен	$n_{20}^D=1,4758$	$n_{20}^D=1,4760$

В табл. 2 даны константы изученных углеводородов, которые характеризуют степень их идентичности. За меру общей каталитической активности (A) была взята величина, обратная времени половинного превращения за меру удельной активности (a), т. е. величина (A), деленная на степень заполнения адсорбента платиной  $a = A/\alpha$ . Полученные данные представлены на рис. 1. Здесь по оси ординат отложена удельная активность гидрирования исследованных углеводородов, а по оси абсцисс — степень заполнения носителя платиной. Следует упомянуть, что, согласно теории активных ансамблей, каждому максимуму на кривых активность — ст

ень заполнения отвечает активная структура из определенного числа атомов. Это несколько напоминает спектральную картину, когда каждому максимуму испускания или поглощения отвечает определенная частота, колебание или энергетический уровень. На рис. 1 приведены четыре кривые, отвечающие четырем исследованным углеводородам, число атомов углерода у которых практически одинаково, но углеродный скелет и положение двойной связи существенно различны.

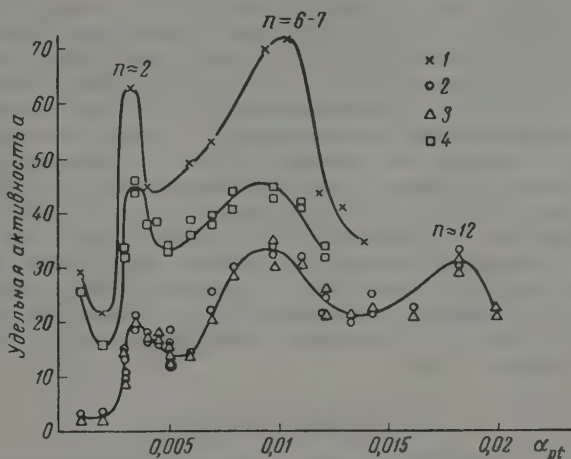


Рис. 1. Экспериментальная зависимость активности от степени заполнения: 1 — гентен-1; 2 — циклогексен; 3 — метиленициклогексан; 4 — диклогексадиен-1,3

Для всех четырех углеводородов первый, самый левый максимум лежит при степени заполнения, приблизительно равной 0,0035 моноатомарного слоя, затем следует минимум, лежащий примерно около 0,005 моноатомарного слоя; далее возникает второй максимум, который лежит почти точно при 0,01 степени заполнения слоя; наконец, для тех углеводородов, гидрирование которых прослежено до концентрированных слоев, обнаружится третий максимум, лежащий приблизительно при 0,019, т. е. в круглых числах при 0,02 заполнения поверхности силикагеля платиной.

Совпадение положения этих трех максимумов для всех углеводородов говорит о том, что структура гидрогенизационных центров (а их, по-видимому, несколько) совершенно одинакова у всех изученных углеводородов, независимо от их строения и от положения гидрируемой связи.

Что же представляют собой эти центры и как они могут быть теоретически проанализированы и распознаны? Анализ показывает, что первый центр отвечает двухатомному ансамблю. Нужно заметить, что расчет для первого центра несколько осложняется тем, что в области совсем малых степеней заполнения — порядка 0,001 — образуется еще один подъем активности, уже не связанный с возникновением стехиометрически определенного ансамбля, а объясняемый наличием активных мест самого носителя. Поэтому эту часть кривой следовало бы рассматривать отдельно, как мы это делали в нашей прежней работе [2], т. е. отделить ее от остальной картины. Если же этого не делать, то получается, что первые максимумы, лежащие при степени заполнения 0,0035—0,004, отвечают приблизительно содержанию 2,8 атома платины в активном центре; с поправкой же на долю платины в разведенных слоях это составляет почти точно 2 атома платины.

Вторые максимумы проанализированы графически по методу, который был нами описан уже раньше [2], а именно: если по оси ординат отложить логарифм общей активности, деленный на  $a$  в степени  $n$ , а по оси абсцисс отложить степень заполнения  $a$ , то при правильно выбранном  $n$  должно получиться прямая линия. В данном случае эта прямая получается при шести—семи атомах в ансамбле, отвечающем второму максимуму. Здесь трудно претендовать на большую точность;  $n = 7$ , по-видимому, лучше удовлетворяет опыту.

Таким образом, второй максимум для всех углеводородов состоит из шести-семи платиновых атомов. Если проанализировать третий максимум, взяв область миграции  $p$ , найденную из первых двух максимумов (который удовлетворительно совпадает и составляет 575 атомных площадей), и подставив ее в уравнение теории ансамблей  $n = p\alpha_{\text{макс}}^{(a)} + 1$ , то найдем для числа атомов Pt в этом максимуме около 12. Так как величина  $p$  не объясняется оставаться идеально постоянной, начиная от нескольких тысячатных, кончая несколькими сотыми долями заполнения, то здесь может идти речь об определении  $n$  в пределах  $\sim 2$  атомов.

Такова картина, которую дает метод теории активных ансамблей применительно к экстремальным точкам активности при гидрировании изученных углеводородов. Он позволяет определенно сказать, что строение активного центра безусловно элементарно не связано с геометрической структурой превращаемой молекулы в целом, но подстраивается к отдельной превращаемой связи.

### Обсуждение результатов

На основании изложенного выше возникают следующие два вопроса: во-первых, может ли быть эта картина воспроизведена на основании теории активных ансамблей, т. е. могут ли уравнения теории активных ансамблей дать три максимума, наблюдаемые для случая циклогексена и метилениклогексана? и, во-вторых, что представляют собой активные центры более сложного состава из 6—7 и 12—15 атомов Pt?

Кривые активности с несколькими максимумами (полиэкстремальные кривые) впервые наблюдались Л. А. Николаевым и Н. И. Кобозевым [3] при разложении перекиси водорода солями кобальта, адсорбированными на силикагеле. Максимумы активности отвечали одно-, трех- и семиатомному ионному кобальтовому ансамблю. Далее, полиэкстремальные кривые были обнаружены Н. И. Кобозевым и Н. А. Решетовской [4] при разложении перекиси водорода, катализе гремучего газа и гидрировании этиленовой и ароматической связи на адсорбционных платиновых катализаторах. Максимально активными ансамблями оказались при разложении перекиси водорода  $[Pt_1]$  и  $[Pt_{4-6}]$ , при катализе гремучего газа  $[Pt_1]$  и  $[Pt_4]$  при гидрировании этиленовой связи  $[Pt_2]$  и  $[Pt_6]$  и ароматической —  $[Pt_2]$  и  $[Pt_{5-7}]$ .

Таким образом, при всех этих реакциях, наряду с простейшими одно- или двиатомными ансамблями, возникают более сложные активные структуры из четырех—шести атомов платины.

А. А. Лопаткин, В. И. Шехобалова и В. П. Лебедев [5] детально изучили полиэкстремальную зависимость распада перекиси водорода и показали, что для этого случая теория активных ансамблей дает теоретическую кривую, огибающую экспериментальную кривую.

Следует упомянуть, что В. П. Лебедев впервые применил теорию активных ансамблей к исследованию полиэкстремальных кривых.

Таким образом, хотя появление нескольких активных ансамблей при катализе представляет довольно распространенное явление, оно до сих пор не было достаточно полно проанализировано и воспроизведено на основе теории активных ансамблей. Подобный анализ и составляет одну из задач настоящего исследования.

Активность слоя, состоящего из нескольких активных ансамблей, выражается уравнением теории активных ансамблей. Это уравнение



не имеет следующий вид:

$$A = \Sigma A_n = \frac{S}{\Delta} e^{-p\alpha} \Sigma r_n \frac{(p\alpha)^n}{n!}. \quad (1)$$

Соответственно удельная активность для этого случая равна

$$a = \Sigma a_n = \frac{S}{\sigma} e^{-p\alpha} \Sigma r_n \frac{(p\alpha)^{n-1}}{n!}, \quad (2)$$

где  $n$  — число атомов в активном центре, в нашем случае равное 2, 7 и 12;  $r_n$  — активность одного активного центра;  $S$  — поверхность носителя;  $\Delta$  — площадь области миграции в  $\text{см}^2$ ;  $\sigma$  — площадь одного атома в  $\text{см}^2$ ;  $p$  — площадь области миграции в атомных площадях катализатора и  $\alpha$  — степень заполнения поверхности атомами платины.

Перепишем уравнение (2) для случая трех активных центров ( $n_1, n_2, n_3$ ) следующем виде:

$$a = \frac{S}{\sigma} e^{-p\alpha} \left[ \frac{r_{n_1} (p\alpha)^{n_1-1}}{n_1!} + \frac{r_{n_2} (p\alpha)^{n_2-1}}{n_2!} + \frac{r_{n_3} (p\alpha)^{n_3-1}}{n_3!} \right]; \quad (3)$$

$$a = \frac{S}{\sigma} r_{n_2} e^{-p\alpha} \left[ \frac{r_{n_1} (p\alpha)^{n_1-1}}{r_{n_2} n_1!} + \frac{(p\alpha)^{n_2-1}}{n_2!} + \frac{r_{n_3} (p\alpha)^{n_3-1}}{r_{n_2} n_3!} \right]; \quad (4)$$

$$a = a_0 e^{-p\alpha} \left[ \frac{\gamma_1 (p\alpha)^{n_1-1}}{n_1!} + \frac{(p\alpha)^{n_2-1}}{n_2!} + \frac{\gamma_2 (p\alpha)^{n_3-1}}{n_3!} \right], \quad (5)$$

де

$$\gamma_1 = r_{n_1} / r_{n_2} \quad \text{и} \quad \gamma_2 = r_{n_3} / r_{n_2}.$$

Алгебраически решить это уравнение не представляется возможным. Можно, однако, произвести примерный численный расчет, который должен показать, в какой мере теоретическое уравнение способно передать экспериментальную картину.

На рис. 2 изображена теоретическая кривая удельной активности с эмпирически подобранными значениями  $\gamma_1 = 0,05$  и  $\gamma_2 = 3$ . Для первого и второго максимумов получают значения  $n$ , совпадающие с опытом — 2 и 7, третий же максимум, для того чтобы он был достаточно четко отделен от второго, должен иметь  $n = 14$ , что также лежит довольно близко к экспериментальному максимуму ( $n = 12$ ) — здесь трудно ручаться за сходимость, лучшую, чем в пределах двух атомов. Качественное сходство теоретической и экспериментальной картины очевидно. Сходство это имеет, однако, не только качественный, но и количественный характер потому, что

отношение высот максимумов на теоретической кривой и на экспериментальной, например, для циклогексена и метиленициклогексана практически близки. Путем вариации констант активности различных активных центров можно добиться сильного видоизменения этой пятиэкстремальной кривой (3 максимума + 2 максимума), как это показано на рис. 3. Можно тянуть вверх или уменьшить каждый максимум, слить два максимума один и т. п. Поэтому сложная полиэкстремальная картина, видимо, может быть достаточно полно охвачена уравнениями теории активных ансамблей.

На основе полученных данных можно подойти к вопросу о физической природе этих максимумов, т. е. к более детальному выяснению строения активных центров гидрогенизации для всех трех максимумов.

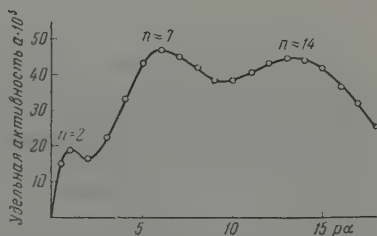


Рис. 2. Теоретически рассчитанная активность различных ансамблей

Первый максимум отвечает наиболее элементарному универсальному центру гидрогенизации, состоящему из двух атомов платины. Он схематически

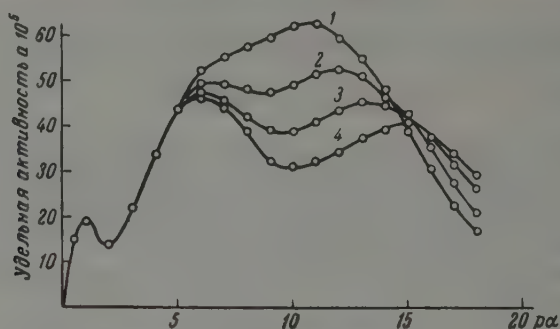


Рис. 3. Теоретически рассчитанная зависимость активности от степени заполнения: 1 —  $\gamma_2 = r_{13}/r_7 = 3$ ; 2 —  $\gamma_2 = r_{14}/r_7 = 3$ ; 3 —  $r_{15}/r_7 = 3$ ; 4 —  $r_{16}/r_7 = 3$ ;  $\gamma_1 = r_2/r_7 = 0,05$  для всех кривых

чески изображен на рис. 4, на котором кружки символизируют атомы Pt. С ростом степени заполнения к этой паре атомов пристраивается третий



Рис. 4. Ансамбль  $Pt_2$

и четвертый атом Pt и т. д., в результате чего растет активность центра. Вместе с этим активность центра уменьшается и даже исчезает вовсе, потому что эта активность связана с насыщенным состоянием, именно: двух атомов платины — одного для адсорбции и активации связи  $C=$  а другого — для адсорбции водорода и активации связи  $H-H$ . Как было показано одним из авторов [15], для каждого типа катализа существует оптимальная энергия адсорбционной связи — в данном случае с

связи  $Pt-H$  и  $Pt-C$ . Для гидрогенизационного катализа

$\Phi_{Pt-H(акт)} = 50-56$  ккал и  $\Phi_{Pt-C(акт)} \approx 22$  ккал. Энергии связи, близкие к оптимальным, осуществляются у двухатомного ансамбля платины. Пристройка следующих атомов и разрастание плоской грани уменьшают ненасыщенность ансамбля и сильно снижают энергию его связи  $\Phi_{Pt-H}$  и  $\Phi_{Pt-C}$  от оптимального значения. Поэтому после максимума, при переходе к большим степеням заполнения, происходит падение активности. Если бы эта пристройка атомов Pt в одной плоскости продолжалась и дальше, то было бы необъяснимо возникновение второго и третьего максимумов активности с  $Pt_7$  и  $Pt_{12}$ . Для объяснения этого факта можно предположить, как это было сделано в работе Н. И. Кобозева и Н.А. Решетовской [4], что при разрастании грани до пяти атомов Pt оставшиеся два атома из семи адсорбируются на этой частично построенной грани, что им термодинамически выгоднее, чем достраивать грань (рис. 5). Эта пара платиновых атомов, сидящая на подстилке в виде недостроенной грани, и играет роль второго активного ансамбля  $Pt_7$ .

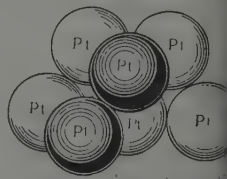


Рис. 5. Схематическое изображение ансамбля  $Pt_7$

Таким образом, и здесь каталитически активной структурой является та же двойка платиновых атомов, но адсорбированная уже не на поверхности силикагеля, а на поверхности платиновой плоской грани. При да-

нейшем увеличении заполнения происходит пристраивание атомов платины уже во втором слое. При этом повторяется та же картина: к двухатомному ансамблю, сидящему на платиновой грани, пристраивается третий, четвертый и т. д. атомы Pt, и его активность начинает исчезать. Это дает очередную минимум активности. Наконец, во втором этаже снова формируется участок грани из пяти атомов Pt, и новая двойка (в сумме это дает 12 атомов) с термодинамическим выигрышем снова адсорбируется на грани из пяти атомов, как это схематически показано на рис. 6.

Таким образом, повторяется тот же цикл, и в третьем максимуме каталитически активным центром снова оказывается двойка, образующая третий слой атомов платины. В результате зародыш платины растет не только вдоль поверхности, но и по третьему измерению, причем в этом измерении всегда имеется стадия, состоящая из двух атомов платины, которые способны выполнять роль активного центра гидрогенизации.

Уравнения теории активных ансамблей позволили вычислить также абсолютную активность центра гидрирования ( $r_n$ ). Величины ( $r_n$ ) для изученных углеводородов представлены в табл. 3.

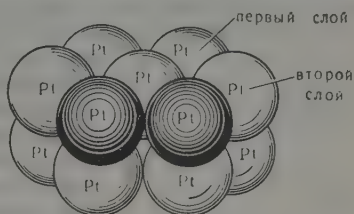


Рис. 6. Схематическое изображение ансамбля  $Pt_{12}$

Таблица 3

Состав акт. центра ( $n$ )	Абсолютная акт. единичного ансамбля	
	1-гептен	циклогексен и метиленициклогексан
$[Pt_2]$	,756	0,228
$[Pt_7]$	5,48	2,6
$[Pt_{12}]$	8,86	5,28

Таблица 4

Состав акт. центра ( $n$ )	Активность в относит. единицах (степень активации)	
	1-гептен	циклогексен и метиленициклогексан
$[Pt_2]$	1	1
$[Pt_7]$	7,25	11,4
$[Pt_{12}]$	11,7	23,1

Как видно из табл. 3 абсолютная активность единичного ансамбля возрастает с усложнением активного центра. Причем при переходе от двухатомного центра к семиатомному активность возрастает в 7—12 раз, а при переходе от семиатомного к двенадцатиатомному она увеличивается всего лишь в полтора-два раза. Абсолютная активность отдельных центров выражена в числе молекул водорода, вступающих в реакцию гидрирования за 1 сек. на одном активном центре.

В табл. 4 и на рис. 7 представлена относительная величина активности центров гидрирования циклогексена и 1-гептена. За единицу принята активность двухатомного платинового ансамбля, адсорбированного на силикагеле. Как видно из табл. 4 и рис. 7, при усложнении гидрогенизационного центра циклогексен как бы «обгоняет» 1-гептен по скорости гидрирования.

Возникает вопрос — как можно объяснить возрастание активности ансамбля при усложнении активных центров и с чем связано такое значительное расхождение в степенях ускорения для циклогексена и 1-гептена.

При первоначальном анализе экспериментальных данных нам представлялось, что возрастание активности может быть связано с наличием эффекта экранирования активных центров гидрируемыми молекулами.

Нами было проведено в связи с этим гидрирование этилена в жидкой фазе в условиях, аналогичных тем, в которых проводилось гидрирование 1-гептена. Опыты показали, что этилен на всех изученных активных центрах — двойке, шестерке или семерке и более сложном — двенадцатиатомном — гидрируется в 2—2,5 раза быстрее, чем 1-гептен.

Отсюда следует, что двухатомный ансамбль, адсорбированный на силикагеле, а также на платиновой грани, способен в одинаковой и сравнительно небольшой степени экранироваться 1-гептеном.

Таким образом, возможный эффект экранирования не объясняет наблюдаемое на опыте значительное возрастание активности и должен рассматриваться как фактор второго порядка.

Возрастание активности центров гидрирования по мере их усложнения, а также различие в степенях ускорения для циклогексена и 1-гептена может быть понято с точки зрения концепции, развиваемой Н. И. Кобозевым и изложенной им в докладе на пленарном заседании 1-го межвузовского совещания по катализу 10 апреля 1958 г. [6].

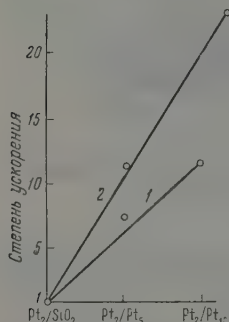


Рис. 7. Активность элементарного платинового ансамбля  $Pt_2$ : 1 — циклогексен, 2 — 1-гептен

стающей решеткой при гидрировании циклогексена по сравнению с 1-гептеном. Молекула циклогексана, для которой абсолютное значение энтропии равно 71,28 энт. ед., очевидно, в меньшей степени способна рассеивать энергию, чем молекула 1-гептана с энтропией, равной 92,45 энт. ед.

Следовательно, можно, по-видимому, считать, что автоактивируемость катализатора зависит не только от его свойств, но и от энтропийной характеристики гидрируемой молекулы.

Эффект энергетической автоактивации центров за счет энергии реакции регенерированной решеткой катализатора, делает понятным резкое возрастание активности  $Pt_2$  при переходе этого центра с поверхности инертного носителя (силикагеля) на подстилку из 5—10 атомов платины, образующих одно-двухслойную элементарную кристаллическую грань катализатора. Резюмируя, следует подчеркнуть, что теория мультиплетов, в которой непосредственно связана структурная проблема, внесла существенный вклад в гидрогенизационный катализ, впервые поставив эту проблему. Вместе с тем приходится отметить, что структурные вопросы, как это видно из приведенных данных, получают в теории ансамблей иное решение. Из анализа экспериментального материала непосредственно вытекает, что структура молекулы в целом в первом приближении не играет решающей роли при подборе активных центров катализаторов.

### Выводы

1. Произведено сравнение активных центров при гидрировании в растворе этилового спирта при 25° С четырех углеводородов, отличающихся углеродным скелетом и положением двойных связей: 1-гептена, циклогексена, метилциклогексана и 1,3-циклогексана на сильно рафинированных платиновых слоях, нанесенных на силикагель (0,001—0,02 микронатомарного слоя).



2. По числу и положению максимумов удельной активности установлено, что гидрирование идет на нескольких сортах активных центров, которые, однако, совпадают для всех изученных углеводородов, а именно:  $[Pt_2]$ ,  $[Pt_{6-7}]$  и  $[Pt_{12}]$  (последний центр появляется при сравнительно больших степенях заполнения). Таким образом, структура гидрируемой молекулы не играет решающей роли для строения активного центра.

3. На основе теории активных ансамблей теоретически рассчитана кривая удельной активности по степени заполнения для трех максимумов, хорошо качественно совпадающие с экспериментальной кривой.

4. Дано объяснение возрастанию активности платинового ансамбля при сложении активных центров на основе концепции Н. И. Кобозева [6], именно активированием катализатора за счет рекуперации энергии реакции гидрогенизации.

Московский государственный  
университет  
им. М. В. Ломоносова

Поступила  
30.VI.1958

#### ЛИТЕРАТУРА

- А. А. Баландин, Юбилейный сборник, посвященный XXX годовщине Великой Октябрьской революции. Изд-во АН СССР, т. 1, стр. 637; А. А. Баландин, Вопросы химической кинетики, катализа и реакционной способности, Изд-во АН СССР, 1955, стр. 461.
- А. Н. Мальцев, Н. И. Кобозев, Ж. физ. химии, 29, 142, 1955.
- Л. А. Николаев, Н. И. Кобозев, Ж. физ. химии, 19, 48, 1945.
- Н. И. Кобозев, Н. А. Решетовская, Ж. физ. химии, 23, 388, 1949.
- А. А. Лопаткин, В. И. Шехобалова, В. П. Лебедев, Ж. физ. химии, 28, 2222, 1954.
- Н. И. Кобозев, Доклад на 1-м межвузовском совещании по катализу, Москва, 10 апреля 1958.
- Н. И. Кобозев, Ж. физ. химии, 19, 48, 1945.
- Sabalitschka, Zimmermann, Ber., 63, 375, 1930.
- В. М. Грязнов, Ю. П. Симанов, Л. К. Усова, А. В. Фрост, Вестн. МГУ, № 5, 79, 1949.
- Д. В. Сокольский, К. И. Стендер, Ж. физ. химии, 25, 369, 1951.
- А. Н. Мальцев, Т. В. Семенова, Н. И. Кобозев, Сообщение на 1-м межвузовском совещании по катализу, Москва, 1958.
- Н. И. Щеглов, Д. В. Сокольский, Изв. АН КазССР, Сер. хим., № 5, 39, 193.
- А. В. Бухман, Д. В. Сокольский, Изв. АН КазССР, Сер. хим., № 2, 64, 1948.
- А. В. Фрост, Ю. П. Лапин, Вестн. МГУ, № 1, 95, 1946.
- Н. И. Кобозев, Ж. физ. химии, 31, 2162, 1957.

#### SOME STRUCTURAL PROBLEMS OF HYDROGENATION CATALYSIS. III

N. Mal'tsev, N. I. Kobozev, T. V. Semenova and E. I. Karpova (Moscow)

#### Summary

A comparison has been made of the active centers in the hydrogenation of four hydrocarbons differing in the carbon skeleton and in the position of the double bonds; namely, 1-pentene, cyclohexene, methylenecyclohexane and 1,3-cyclohexadiene, on highly rarefied platinum layers on silica gel (0.001—0.01 monoatomic layer) in alcohol solution at 50°C.

From the number and positions of the maxima of specific activities it has been concluded that hydrogenation takes place on several types of active centers, that, however, is valid for all the above hydrocarbons. These are  $[Pt_2]$ ,  $[Pt_{6-7}]$  and  $[Pt_{12}]$  (the last appearing at comparatively large degrees of surface coverage).

On the basis of the active ensemble theory the curve for the specific activity with respect to the degree of coverage has been calculated for three maxima, coinciding satisfactorily with those of the experimental curve.

An interpretation has been presented of the increasing activity of a platinum ensemble with increasing complexity of the active centers, based on the theory of N. I. Kobozev, namely, autoactivation of the catalyst due to recuperation of the hydrogenation energy.

## ИЗМЕРЕНИЕ ДАВЛЕНИЯ НАСЫЩЕННОГО ПАРА ОКИСИ СВИНЦА

Ан. Н. Несмеянов, Л. П. Фирсова и Е. П. Исакова

Литературные данные относительно качественной оценки летучести окиси свинца противоречивы. Ряд авторов [1—3] считает, что  $PbO$  заметно летит при едва видимом красном калении, по данным других [4—6] скорость испарения окиси свинца при этих температурах ничтожно мала. В единственной работе Файзера [7] по количественному определению потери веса платиновой лодочки с  $PbO$ , нагревавшейся в атмосфере инертного газа, сделано всего три измерения, причем в очень узком интервале температур ( $100^\circ$ ). Методика измерений Файзера мало распространена и недостаточно проверена.

Мало изучен также вопрос об устойчивости окиси свинца при испарении. Некоторые авторы [8] считают, что  $PbO$  теряет при нагревании кислород. Дамм и Краффт [9] наблюдали образование металлического зеркала при нагревании окиси свинца в вакууме; в то же время другие исследователи [10, 11] не обнаружили разложения  $PbO$  при нагревании до температур порядка  $1750^\circ C$ , что согласуется с теоретическими расчетами ряда авторов [12, 13].

В настоящей работе измерение давления насыщенного пара твердой окиси свинца (массикот) проведено эффузионным методом Кнудсена и методом испарения в вакуум с открытой поверхностью.

### Экспериментальная часть

В работе использовались препараты, приготовленные осаждением гидроокиси свинца из растворов чистых перекристаллизованных солей свинца и прокаливании полученной гидроокиси при  $600^\circ$ . Эти препараты содержали не менее 99,95%  $PbO$ . Полученное вещество являлось ромбической модификацией окиси свинца.

Установка, на которой производились измерения методом Кнудсена и Лэнгмюра, описана ранее [14]. Эффузионные камеры и керамические чашки с образцами нагревались или токами высокой частоты или керамической печкой с молибденовой спиралью (рис. 1). Наружный стальной чехол этой печи являлся одновременно и

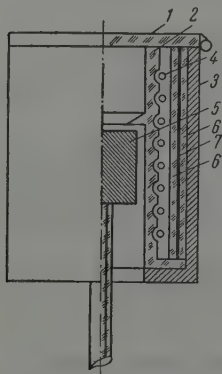


Рис. 1. Печь с молибденовой спиралью: 1 — крышка защитного стакана; 2 — внутренний кварцевый цилиндр с перегородкой; 3 — стальной кожух, закрепленный при помощи болтов; 4 — молибденовая спираль; 5 — эффузионная камера; 6 — кварцевые экраны; 7 — танталовый экран.

защитным цилиндром. До начала экспозиции камера поднималась до уровня внутренней перегородки печи, при начале опыта камера поднималась вместе с печкой, и одновременно открывалась крышка защитного стакана. В случае индукционного нагрева для предотвращения взаимодействия окиси свинца с металлами нагреватель изготовлен в виде листа молибденовой или танталовой фольги, помещенной между двой-

стенками фарфорового или магнезитового цилиндра (рис. 2). Температура измерялась Pt — PtRh термопарой, прокалившейся в приборе по точкам плавления Ag, Au, Cu. Для проверки правильности измерения температуры установка была прокаливана измерением давления пара KCl.

В работе использовались никелевые, молибденовые, танталовые и платиновые эффузионные камеры, конструкции которых описаны ранее [15].

Проведенные опыты показали, что при нагревании окиси свинца в вакууме в металлических стаканах происходит разложение окиси с выделением металлического свинца, причем материалы, применявшиеся для изготовления стаканов, покрывались слоем соответствующей окиси. Для предотвращения взаимодействия окиси свинца с материалом камеры были сделаны керамические вкладыши в металлические стаканы камер, а диафрагмы предварительно покрывались слоем окиси свинца, циркония или бериллия. При проведении опытов в таких условиях в расчет брались

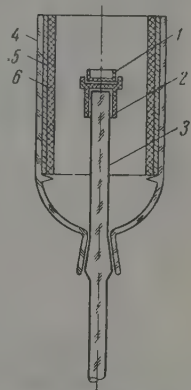


Рис. 2. Нагревательный блок: 1 — керамическая тарелочка с образцом; 2 — держатель тарелочки; 3 — кварцевая подставка; 4 — кварцевый наружный кожух печи; 5 — танталовая и молибденовая фольга

результаты двух первых экспозиций, так как при проведении большего числа опытов окисное покрытие диафрагмы растрескивалось и пары PbO взаимодействовали с материалом диафрагмы. Несмотря на все предосторожности, эффузионная методика измерений не обеспечивала достаточной надежности результатов, и полученные данные (табл. 1) имели очень боль-

Таблица 1

Скорости испарения и давления насыщенного пара <sup>7</sup> твердой окиси свинца по данным эффузионных опытов

T, °K	Площадь эффузионного отверстия, см <sup>2</sup>	Время опыта, секунды	Вес конденсата, г	Скорость испарения, г/см <sup>2</sup> сек	P, мм рт. ст.	lg P (мм рт. ст.)
1511	3,36·10 <sup>-3</sup>	900	2,08·10 <sup>-2</sup>	6,877·10 <sup>-3</sup>	2,682·10 <sup>-1</sup>	1,4284
1117	3,36·10 <sup>-3</sup>	1200	1,14·10 <sup>-2</sup>	2,827·10 <sup>-3</sup>	1,084·10 <sup>-1</sup>	1,0350
1121	9,73·10 <sup>-4</sup>	5400	1,08·10 <sup>-2</sup>	2,053·10 <sup>-3</sup>	7,882·10 <sup>-2</sup>	2,8966
1029	9,73·10 <sup>-4</sup>	7320	6,70·10 <sup>-3</sup>	9,410·10 <sup>-4</sup>	3,470·10 <sup>-2</sup>	2,5403
1091	9,73·10 <sup>-4</sup>	2700	8,70·10 <sup>-3</sup>	3,340·10 <sup>-3</sup>	1,250·10 <sup>-2</sup>	2,0969
1106	9,73·10 <sup>-4</sup>	2340	1,50·10 <sup>-2</sup>	6,590·10 <sup>-4</sup>	2,520·10 <sup>-1</sup>	1,4014

ой разброс, поэтому пришлось провести опыты по испарению вещества в вакууме с открытой поверхности, что дало возможность измерить давление пара окиси свинца при более низких температурах, в условиях, исключающих восстановление PbO металлами. Опыты по методу Лэнгмюра проводились на тех же вакуумных установках, что и эффузионные измерения. При проведении опытов по методу Лэнгмюра спрессованные образцы окиси свинца помещались в чашки, изготовленные из BeO, Al<sub>2</sub>O<sub>3</sub> или селенита. В остальном методика эксперимента ничем не отличалась от эффузионной методики.

Рентгеновский анализ, проведенный для остатка вещества в чашках, показал, что вещество после многократных опытов не изменяло своего состава. По данным рентгеноструктурного анализа конденсат представлял

собой ромбическую модификацию окиси свинца, но, поскольку в некоторых опытах среди массы светло-желтых кристаллов в конденсате были заметны следы вещества серого цвета, были сделаны дополнительные анализы

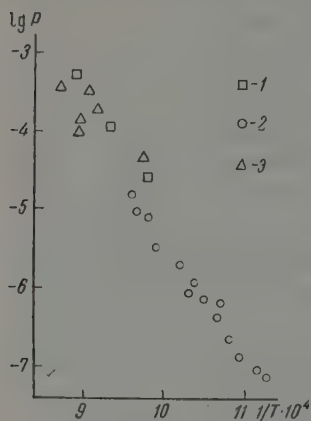


Рис. 3. Зависимость давления насыщенного пара твердой окиси свинца от температуры: 1 — данные [7]; 2, 3 — наши данные (метод Лэнгмюра — 2, метод Кнудсена — 3)

вакуум, рассчитывались скорости испарения и давления паров. Эти величины приведены в табл. 2 и на рис. 3 сопоставлены с данными [7].

на содержание металлического свинца в конденсате, которые дали отрицательные результаты: ртуть не извлекала металлического свинца из конденсата. Можно предположить, что сероватый налет являлся или закисью свинца ( $Pb_2O$ ) или загрязненными из деталей печи и чашек. Появление вещества серого цвета в конденсате было весьма редким и не сказывалось существенным образом на результатах измерения давления пара.

Количество вещества, испарившегося в вакуум, определялось анализом конденсата, собранного на охлаждаемой жидким азотом поверхности стеклянного приемника. Конденсат смывался с приемника разбавленной азотной кислотой и после упаривания раствора и прокаливания сухого остатка в платиновых тиглях концентрированной серной кислотой взвешивался в виде  $PbSO_4$ . Результаты весового анализа проверялись йодометрическим титрованием. По количеству вещества, испарившегося с открытой поверхности

Таблица 2  
Скорости испарения и давление насыщенного пара твердой окиси свинца по данным опытов по испарению с открытой поверхности

$T, ^\circ K$	Вес конденсата, г	Площадь, $см^2$	Время опыта, секунды	Скорость испарения, $г/см^2 \text{ сек}$	$P$ , мм рт. ст.	$lg P$ (мм рт. ст.)
887	$2,28 \cdot 10^{-3}$	$1,96 \cdot 10^{-1}$	5400	$2,154 \cdot 10^{-6}$	$7,358 \cdot 10^{-5}$	$\bar{5},8668$
896	$1,98 \cdot 10^{-3}$	$1,96 \cdot 10^{-1}$	5400	$1,871 \cdot 10^{-6}$	$6,420 \cdot 10^{-5}$	$\bar{5},8075$
916	$2,01 \cdot 10^{-3}$	$1,96 \cdot 10^{-1}$	3600	$2,849 \cdot 10^{-6}$	$9,895 \cdot 10^{-5}$	$\bar{5},9954$
926	$3,50 \cdot 10^{-3}$	$1,96 \cdot 10^{-1}$	3600	$4,960 \cdot 10^{-6}$	$1,732 \cdot 10^{-4}$	$\bar{4},2385$
935	$6,20 \cdot 10^{-3}$	$1,96 \cdot 10^{-1}$	1800	$1,757 \cdot 10^{-5}$	$6,165 \cdot 10^{-4}$	$\bar{4},7899$
939	$6,50 \cdot 10^{-3}$	$1,96 \cdot 10^{-1}$	3600	$9,212 \cdot 10^{-6}$	$3,288 \cdot 10^{-4}$	$\bar{4},5103$
952	$1,02 \cdot 10^{-3}$	$1,96 \cdot 10^{-1}$	3600	$1,446 \cdot 10^{-5}$	$5,118 \cdot 10^{-4}$	$\bar{4},7091$
955	$2,90 \cdot 10^{-3}$	$1,96 \cdot 10^{-1}$	3600	$4,110 \cdot 10^{-6}$	$1,457 \cdot 10^{-4}$	$\bar{4},1634$
964	$7,81 \cdot 10^{-3}$	$1,96 \cdot 10^{-1}$	1800	$2,214 \cdot 10^{-5}$	$7,889 \cdot 10^{-4}$	$\bar{4},8970$
973	$6,03 \cdot 10^{-3}$	$1,96 \cdot 10^{-1}$	1800	$1,709 \cdot 10^{-5}$	$6,116 \cdot 10^{-4}$	$\bar{4},7865$
980	$1,21 \cdot 10^{-2}$	$1,96 \cdot 10^{-1}$	1380	$4,467 \cdot 10^{-5}$	$1,604 \cdot 10^{-3}$	$\bar{3},2051$
1014	$2,62 \cdot 10^{-2}$	$1,96 \cdot 10^{-1}$	1980	$6,741 \cdot 10^{-5}$	$2,464 \cdot 10^{-3}$	$\bar{3},3914$
1023	$5,06 \cdot 10^{-2}$	$1,96 \cdot 10^{-1}$	1500	$1,719 \cdot 10^{-4}$	$6,308 \cdot 10^{-3}$	$\bar{3},7999$
1037	$7,91 \cdot 10^{-2}$	$1,96 \cdot 10^{-1}$	2160	$1,866 \cdot 10^{-4}$	$6,892 \cdot 10^{-3}$	$\bar{3},8383$
1043	$7,53 \cdot 10^{-2}$	$1,96 \cdot 10^{-1}$	1200	$3,197 \cdot 10^{-4}$	$1,185 \cdot 10^{-2}$	$\bar{2},0737$

По методу наименьших квадратов было получено следующее уравнение, выражающее зависимость давления насыщенного пара окиси свинца от температуры:

$$\lg P (am) = 7,8339 - 1,332/T;$$



отсюда

$$\Delta H_{950}^0 = 62,18 \text{ ккал/моль.}$$

Уравнение получено для экспериментальных результатов опытов по испарению с открытой поверхности образца  $\text{PbO}$ . Данные эффузионного метода не обрабатывались таким образом из-за большого их разброса. Завышение величин давления пара, полученных по эффузионному методу, объясняется прежде всего возможностью растрескивания окисного покрытия диафрагмы при неудачном его изготовлении при первой же экспозиции, последующим взаимодействием  $\text{PbO}$  с материалом диафрагмы с образованием металлического свинца и улетучиванием  $\text{Pb}$  из камеры.

Хорошее совпадение ряда результатов эффузионных опытов с результатами метода Лэнгмюра позволяет предполагать, что коэффициент конденсации окиси свинца на твердой кристаллической поверхности  $\text{PbO}$  близок к единице.

Из данных по давлению пара  $\text{PbO}$  и термодинамических потенциалов, редоставленных нам ИГИ АН СССР, были рассчитаны теплоты испарения величины которых приведены в табл. 3. Полученные значения теплот суб-

Таблица 3

Теплоты сублимации окиси свинца при  $0^\circ\text{K}$   
(метод Лэнгмюра)

$T, ^\circ\text{K}$	$\lg P(\text{атм})$	$\Delta\Phi^*$	$\Delta H_0^0/T (^\circ\text{K})$	$\Delta H_0^0$ ккал/моль	$\Delta H_0^0 - \Delta H_0^0$ ккал/моль
887	7,0140	39,291	71,3843	63,3178	0,745
896	7,0734	39,260	71,6246	64,1760	0,113
916	6,8864	39,192	70,6868	64,758	0,436
926	6,6423	39,159	69,5515	64,405	0,083
935	6,0909	39,127	66,9965	62,642	1,680
939	6,3705	39,113	68,2619	64,098	0,224
952	6,1717	39,069	67,3082	64,077	0,245
955	6,7174	39,059	69,7951	66,654	2,332
964	5,9838	39,028	66,4075	64,017	0,046
973	6,0943	38,997	66,8821	65,077	1,013
980	5,6757	38,972	64,9419	63,643	0,262
1014	5,4894	38,859	63,9748	64,870	1,965
1023	5,0810	38,827	62,0756	63,503	0,402
1073	5,0426	38,780	61,8525	64,141	0,236
1043	4,8071	38,759	50,7546	63,367	0,538
Среднее				63,984	$\pm 0,512$

Таблица 4

Теплоты сублимации окиси свинца, вычисленные из данных по давлению пара [7]

$T, ^\circ\text{K}$	$-\lg P(\text{атм})$	$\Delta\Phi^*$	$\Delta H_0^0/T (^\circ\text{K})$	$\Delta H_0^0$ ккал/моль	$\Delta H_0^0 - \Delta H_0^0$ ккал/моль
1023	4,5797	38,8270	59,7819	61,1569	0,2969
1073	3,9776	38,6575	56,8574	61,0080	0,1480
1123	3,3245	38,5865	53,7981	60,4163	0,4447
Среднее				60,8600	$\pm 0,7405$

сации  $\text{PbO}$  отличаются более чем на 2 ккал/моль от величин, рассчитанных нами из данных Файзера по давлению пара окиси свинца (табл. 4)

и, по-видимому, являются более надежными, так как не имеют заметного хода с температурой, в то время как значения  $\Delta H_0^0$ , вычисленные из данных [7], даже в очень узком температурном интервале имеют значительный ход.

### Выводы

1. Давление пара твердой окиси свинца измерено эффузионным методом Кнудсена и методом испарения с открытой поверхности. Для результатов опытов по методу Лэнгмюра дано уравнение, характеризующее зависимость  $\lg P$  от  $1/T$ .

2. Рассчитаны величины теплот сублимации окиси свинца при 950° и 0° K.

3. Показано, что коэффициент конденсации окиси свинца близок к единице.

Московский государственный  
университет им. М. В. Ломоносова

Поступило  
4.VII.1958

### ЛИТЕРАТУРА

1. I. W. Mott, Trans., Amer. Electrochem. Soc., 34, 266, 1919.
2. C. Leughlic, Z. phys. Chem., 50 219, 1904.
3. T. Hogg, J. Soc. Chem. Ind., 8, 674, 1889.
4. F. Dewey, Trans. Amer. Inst. Min. Met. Eng., 64, 601, 1920.
5. E. Koglmeyer, Metall. Erz., 10, 489, 1913.
6. F. Doelz, W. Fraumann, Met., 4, 289, 1907.
7. E. Feiser, Metall. Erz., 26, 269, 1929.
8. G. Beiley, W. Hopkins, Chem. News, 61, 117, 1890.
9. F. Damm, F. Krafft, Ber., 40, 4775, 1907.
10. T. Carnelly, Walker, J. Chem. Soc., 53, 59, 1888.
11. A. Read, J. Chem., 65, 313, 1894.
12. W. Shahl, Met., 4, 682, 1907.
13. S. Glasston, J. Chem. Soc., 119, 1914.
14. Ю. А. Приселков, Ан. Н. Несмеянов, Докл. АН СССР, 95, 12, 1954.
15. Ан. Н. Несмеянов, Л. П. Белых, Ж. физ. химии, 34, 841, 1960.

### MEASUREMENT OF THE SATURATED VAPOR PRESSURE OF LEAD OXIDE

*An. N. Nesmeyanov, L. P. Firsova and E. P. Isakova (Moscow)*

### Summary

The vapor pressure of solid lead oxide has been measured by Knudsen's effusion method and by the method of vaporization from an open surface. For the experimental results obtained by means of Langmuir's method an equation has been presented, correlating  $\lg P$  and  $1/T$ . The heats of sublimation of lead oxide at 950° and 0° K have been calculated. It has been shown that the condensation coefficient of lead oxide approaches unity.

## ТЕПЛОПРОВОДНОСТЬ НЕВОДНЫХ РАСТВОРОВ СОЛЕЙ

Ф. Г. Эльдаров

В работе [1] были приведены результаты измерения теплопроводности растворов солей в метаноле и в ацетоне в зависимости от концентрации при 25°. С целью выяснения тепловых свойств неводных растворов электролитов потребовалось, во-первых, не ограничиваться двумя растворителями, во-вторых, расширить температурный диапазон исследования теплопроводности и, в-третьих, ввиду почти полного отсутствия литературных данных по теплоемкости неводных растворов солей, провести измерения теплоемкости ряда систем. Измерение теплоемкости в основном преследовало цель проверить наличие связи между теплопроводностью и равновесными параметрами состояния электролита.

## Экспериментальная часть

Экспериментальная установка и методика измерения теплопроводности довольно подробно были рассмотрены в работах [1—4], и поэтому нет необходимости на них вновь останавливаться.

Для измерения теплоемкости растворов солей пользовались методикой, которая свое время была использована для измерения теплоемкости бинарных жидкостей критической области [5].

Калориметр состоит из сосуда Дьюара 1 емкостью 350 см<sup>3</sup> (рис. 1). Сверху сосуд закрывается стаканчиком из меди толщиной 1 мм. С целью герметизации стакан и сосуд уплотняются резиновой камерой 2. Через стаканчик проходят две трубки 3 из нержавеющей стали диаметром 3 мм, посеребренные с наружной стороны. Они играют роль чехлов для термометров и для нагревательного элемента.

Мотор 4 постоянного тока с регулятором скорости и присоединенная к нему кварцевая мешалка обеспечивали быстрое достижение температурного равновесия в калориметрической системе. Нагреватель изготовлялся в виде спирали из константановой проволоки диаметром 0,15 мм и помещался в одной из трубок 3. Для лучшего теплового контакта с исследуемой системой в трубки 3 заливалось в небольшом количестве вакуумное масло. Медно-константановые термопары измеряли разность температуры до и после налива калориметрической системы. Дифференциальная термопара обеспечивала контроль равенства температуры раствора и термостатной воды во время измерения. Все выводные провода, помещенные в трубах, были изолированы, и трубки выходили через слой термостатирующей воды.

Перемешивание воды в термостате осуществлялось мотором 5 со скоростью 3000 об/мин, присоединенной к нему мешалкой с двумя пропеллерами. Нагрев термостатной воды и регуляция скорости нагрева осуществлялись автотрансформатором ЛАТР-1 вручную. Охлаждение термостата производилось проточной водой, циркулировавшей через двойной змеевик 6.

Низкоомный гальванометр, соединенный последовательно в цепи дифференциальных термопар имел чувствительность  $8 \cdot 10^{-9}$  А/мм с внутренним сопротивлением 2 Ом. Отклонение от нулевого положения зайчика гальванометра не превосходило 0,1 мм во время нагрева исследуемого раствора в калориметре. Таким образом, регуляция температуры термостатной воды производилась с точностью  $\pm 0,03^\circ$ .

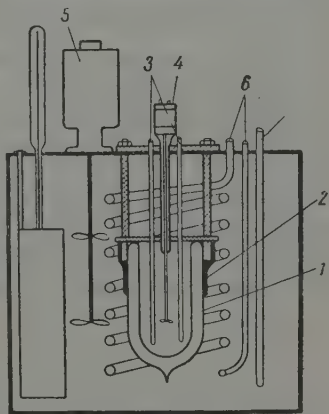


Рис. 1. Конструкция калориметрической установки

Калориметр такой конструкции имеет достаточную адиабатичность и прост в обращении.

Искомая теплоемкость определялась из соотношения

$$C_p = \frac{\frac{\Delta Q}{\Delta T} - A}{m},$$

где  $\Delta Q$  — количество тепла, подведенного к системе во время нагрева  $t$ ;  $\Delta T$  — разность температур до и после нагрева;  $m$  — масса раствора в калориметре;  $A$  — постоянная калориметра.  $\Delta Q$  определяется по формуле  $\Delta Q = 0,2390 I U t$ , где  $I$  — сила тока,  $U$  — разность потенциалов на концах нагревателя. Сила тока  $I$  и разность потенциалов  $U$  определялись потенциометрическим методом с ошибкой 0,1%. Время измерялось секундомером. Постоянная калориметра  $A$  определялась по значению теплоемкости дистиллированной воды. Теплоемкость воды достаточно хорошо изучена и достоверные результаты приведены в справочнике [6]. Постоянная калориметра определялась в интервале температур 20–40°, и при этом ее значение оставалось постоянным в пределах точности ее определения;  $A = 21,6 \pm 0,8$  кал/град.

Расчет относительной ошибки определения теплоемкости производился по соотношению:

$$\frac{\Delta C_p}{C_p} = \frac{1}{1-\varphi} \cdot \frac{\Delta(\Delta Q)}{\Delta Q} + \frac{1}{1-\varphi} \cdot \frac{\Delta(\Delta T)}{\Delta T} + \frac{\varphi}{1-\varphi} \cdot \frac{\Delta A}{A} + \frac{\Delta m}{m},$$

где  $\varphi = A\Delta T/Q$  — так называемая степень совершенства калориметра.

Относительная ошибка в определении сообщенного количества тепла  $\Delta(\Delta Q)/\Delta Q$  составляет 0,3%. Учитывая ошибку за счет потерь тепла через стенку за время измерения одного опыта (~20 мин.) получаем в итоге 0,5%.

Относительная ошибка в определении величины изменения температуры (0,7%) составляет 0,5%.

Относительная ошибка в определении постоянной калориметра составляет 4%. Однако вследствие высокой степени совершенства калориметра ( $\varphi = 0,1$ ) ее доля в определении теплоемкости значительно ниже.

Относительная ошибка в определении массы раствора составляет 0,01%.

Таким образом, согласно формуле (1) общая относительная погрешность в определении теплоемкости для веществ малой теплоемкости (~0,2 кал/г·град.) составляет 2%.

Ошибки, вносимые в значение теплоемкости за счет неточности в определении температуры и давления (ошибки отнесения), пренебрежимо малы. Это объясняется тем, что значение теплоемкости в исследуемой области мало меняется от упомянутых параметров.

Теплота, выделяемая мешалкой, определялась следующим образом. После достижения температурного равновесия в калориметрической системе включался мотор, приводящий в движение мешалку. Измеряя в равные интервалы времени (10 мин.) прирост температуры системы, можно оценить количество тепла, выделяемого мешалкой. Мощность выделяемого тепла мешалкой менялась в зависимости как от раствора, так и от концентрации растворенной в ней соли, что объясняется изменением вязкости исследуемой системы. Поэтому после каждого наполнения калориметра раствором снималась кривая прироста температуры от времени работы мешалки. За время калориметрического измерения (15 мин.) теплота, выделяемая мешалкой, составляла 0,7% от общего подводимого тепла. Если обозначить прирост температуры калориметрической системы за счет работы мешалки в течение одного измерения через  $\delta t$ , то вычислительная формула примет вид:

$$C_p = \frac{\frac{\Delta Q}{\Delta T - \delta t} - A}{m}.$$

**Результаты эксперимента.** В настоящей работе приводятся результаты экспериментальных исследований теплопроводности растворов солей NaBr, NaJ, KJ, CaCl<sub>2</sub>, CdJ<sub>2</sub>, NH<sub>4</sub>NO<sub>3</sub>, SbCl<sub>3</sub> в метилом спирте, NaJ, ZnCl<sub>2</sub>, KOH, CdJ<sub>2</sub>, Ca(NO<sub>3</sub>)<sub>2</sub> в этиловом спирте, NaJ в изопропанолом спирте, SbCl<sub>3</sub> в бензоле, SbCl<sub>3</sub>, ZnCl<sub>2</sub> и CdJ<sub>2</sub> в ацетоне при различных температурах в зависимости от концентрации (табл. 1).

Результаты измерения теплоемкости неводных растворов солей помещены в табл. 2.

Растворы солей готовились из реактивов марки «х. ч.» и «ч.д.а.». Особое внимание было уделено методике приготовления безводных, сульфидных реактивов [7]. Обычно готовился раствор солей высокой концентра-



Таблица 1

Растворитель и соль	Весовая концентрация соли, %	Плотность, г/см <sup>3</sup>	Температура, °С	Теплопроводность*	Растворитель и соль	Весовая концентрация, %	Плотность, г/см <sup>3</sup>	Температура, °С	Теплопроводность*
Метиловый спирт NaJ	0	$d_{\frac{20}{4}}^20 = 0,7923$	25 40 60 70	180 175 171 165	Метиловый спирт	4,0	$d_{\frac{29}{4}}^29 = 0,8036$	26 40 61	182 180 174
	9,95	$d_{\frac{29}{4}}^29 = 0,8526$	25,4 40,8 63,0	179 177 173		7,8	$d_{\frac{30}{4}}^30 = 0,8464$	25,1 41,0 60,5	185 181 179
	19,5	$d_{\frac{27}{4}}^27 = 0,9266$	25,1 41,0 60,5	180 176 175		12	$d_{\frac{30}{4}}^30 = 0,8867$	25,2 40,7 60,2	189 186 183
	40,2	$d_{\frac{26}{4}}^26 = 1,1296$	25,2 39,0 60,0	179 178 176		16	$d_{\frac{28}{4}}^28 = 0,9240$	25,3 40,1 59,2	191 188 186
	57,6	$d_{\frac{27}{4}}^27 = 1,3635$	25,2 59,5 25,0	180 177 179		20,5	$d_{\frac{29}{4}}^29 = 0,9577$	25 60,9 35,2	194 179 180
			40,4 62,0 26	175 169 178		4,9	$d_{\frac{29}{4}}^29 = 0,8160$	41,0 51,0 25	174 172 179
	4,85		41,5 59	175 174		10,2	$d_{\frac{26}{4}}^26 = 0,8647$	40 52	174 173
	9,5	$d_{\frac{28}{4}}^28 = 0,8541$	25,1 40,0	175 173				25,2 42,2	179 174
	13,6	$d_{\frac{27}{4}}^27 = 0,8850$	50,4 60,0	173 171		14,1	$d_{\frac{26}{4}}^26 = 0,8912$	53,4	172
			25,2 42,1 58,3	186 182 179		8,1	$d_{\frac{27}{4}}^27 = 0,8448$	25,3 48,2 60,3	151 148 145
Метиловый спирт KJ	4,5		25,2 42,1 58,3	186 182 179	Этиловый спирт			70,0 25,2 40,0	143 149 145
						13,9	$d_{\frac{27}{4}}^27 = 0,8930$	60,1 73,0 24,2	144 141 145
								41,5 73,7 25	143 141 143
						22,8		39,4 51,4 73,1	142 141 140
						32,4	$d_{\frac{25}{4}}^25 = 1,0690$	70,2 24,5 43,2	145 153 152
NH <sub>4</sub> NO <sub>3</sub>	9,6	$d_{\frac{27}{4}}^27 = 0,8302$	25 39,4 60	191 189 187	Этиловый спирт	9,65	$d_{\frac{24}{4}}^24 = 0,8635$	25,3 40,0 60,3	153 151 146
						18,3	$d_{\frac{24}{4}}^24 = 0,9330$	70,2 24,5 43,2	145 153 152
								61,2 73,0 25,1	149 147 154
						26,2	$d_{\frac{23}{4}}^23 = 1,0139$	42,2 60,7 72,3	151 150 149
						34,1	$d_{\frac{26}{4}}^26 = 1,0935$	25,0 40,3 60,5	154 154 151
								73,0 25,1 40,2	149 154 154
						41,0	$d_{\frac{25}{4}}^25 = 1,1864$	60,3 69,8 25,0	152 151 118
						0		40,0 60,0 80,0	116 113 112
Ca(NO <sub>3</sub> ) <sub>2</sub>	5,0		15,0 25,0 40,0	153 150 145	Этиловый спирт				
			60,0 15,4 25,1	140 153 154					
			41,2 59,4 15,8	150 146 161					
			24,3 41,0 62,0	159 156 151					
			15,1 24,8 40,5	169 166 162					
			61,3 15,3 25,1	158 175 173					
			40,2 60,0 24,2	170 167 160					
			39,4 61,0	158 152					

\* Единица измерения теплопроводности —  $10^8 \frac{\text{ккал}}{\text{м. час } ^\circ\text{С}}$

Таблица 1 (продолжение)

Раствори- тель и соль	Весовая концентр. соли, %	Плотность, $\text{г/см}^3$	Темпера- тура, °C	Тепло- провод- ность	Раствори- тель и соль	Весовая концентр. %,	Плотность, $\text{г/см}^3$	Темпера- тура, °C	Тепло- провод- ность
Этило- вый спирт KOH	14,2		24,2	165	Изоми- ловый спирт NaJ	4,3		24,5	118
			42,0	162				60,0	114
			60,3	158				81,0	113
	18,6	$d_4^{28} = 0,9416$	25,0	167		10		25,8	118
			41,3	162				60,2	113
			61,3	160				80,1	110
	10,1	$d_4^{25} = 0,8657$	25,8	147		15,4	$d_4^{29} = 0,9108$	25,0	115
			40,3	143				40,3	113
			60,1	141				61,0	113
			76,0	139				80,5	114
Этило- вый спирт CdJ <sub>2</sub>	18,6	$d_4^{25} = 0,9387$	25,2	143	Бензол	0		25	126
			40,7	141				40	123
			60,0	138				60	120
			76,0	136				80	114
	30	$d_4^{28} = 1,0635$	25,1	138		10	$d_4^{27} = 0,9346$	23,6	123
			42,0	135				40,3	120
			61,0	133				60,5	115
			76,0	131				80,4	111
	37,5	$d_4^{29} = 1,1574$	25,2	132		19,8	$d_4^{26} = 1,0096$	24	122
			42,0	128				40	118
Ацетон ZnCl <sub>2</sub>			76,4	126	SbCl <sub>3</sub>			61	115
								80	111
	43,5	$d_4^{24} = 1,2601$	24,0	129					
			40,0	127		29,8	$d_4^{28} = 1,0984$	25,1	119
			61,3	125				41,2	116
								61,3	113
	50,0	$d_4^{29} = 1,3741$	25,0	122				82,0	108
			41,0	122					
			60,3	119		10	$d_4^{27} = 0,8516$	25	113
	0		76,2	118				42	132
Ацетон ZnCl <sub>2</sub>			25	139	Ацетон SbCl <sub>3</sub>			55	128
			40	133		19,3	$d_4^{26} = 0,9264$	25	134
	4,5	$d_4^{29} = 0,8132$	50	128					
			25,3	139				41	129
			40,0	135				69,7	127
			51,5	129		42	$d_4^{26} = 1,1615$	25,1	130
	15,3		24,3	139				43,5	128
			41,0	136				60,5	123
			51,0	132		51,6		25,0	129
	20,6	$d_4^{29} = 0,9586$	29	139				41,0	124
			42,3	136				62,0	122
			52,0	133		61,5	$d_4^{27} = 1,4661$	25,5	126
								42,0	123
								60,0	120

а затем разбавлялся до необходимой концентрации. Плотность растворов определялась пикнометрическим методом.

В работах А. Ф. Капустинского и И. И. Рузавина [8] было показано, что для водных растворов утверждение ряда авторов о зависимости коэффициентов теплопроводности концентрации в весовых процентах является грубым приближением, и ими была установлена линейность изменения теплопроводности с молярной концентрацией. Это подтверждается в нашей работе. Из рис. 2 видно, что теплопроводность системы метанол — CdJ<sub>2</sub> и метанол — SbCl<sub>3</sub> линейно зависит от молярной концентрации. Однако для небольших концентраций в пределах точности 1% полученные результаты позволяют рассматривать их линейность в отношении весовой концентрации.

Экспериментальные результаты, приведенные в табл. 1, убеждают нас в том, что влияние растворенной соли на теплопроводность раствора, та-

как в случае водных растворов электролитов [8—10], относительно мало. Вероятный механизм этих явлений будет нами рассмотрен в следующей нашей работе.

Измерение теплопроводности неводных растворов солей при различных температурах (табл. 1) показало наличие допустимой аналогии с температурной зависимостью водных растворов солей, исследуемых Ридем [11].

Температурный коэффициент теплопроводности водных и неводных растворов солей вплоть до больших концентраций хорошо согласуется с температурными коэффициентами водных растворителей. Этот экспериментальный факт позволяет определить зависимость теплопроводности растворов от температуры по данным температурной зависимости теплопроводности растворителя.

В табл. 2 приведены экспериментальные результаты по теплоемкости водных растворов солей, в небольшом интервале температур (20—30°). Необходимость в постановке эксперимента по  $C_p$  была обусловлена тем, что надо было проверить некоторые теоретические выводы, которые сходились в предыдущей работе [1]. Тогда теплоемкость раствора определялась расчетным путем по теплоемкости растворителя и соли, предполагая при этом аддитивность причин теплоемкости. Полученные результаты показали, что в определенных условиях такое предположение удовлетворительно для расчетов. Экспериментальные результаты по теплоемкости для систем метанол —  $I_2$ , метанол —  $SbCl_3$  и ацетон —  $SbCl_3$  отличаются от свойств аддитивности в разных концентрациях в сторону уменьшения. Наибольшее отклонение теплоемкости от аддитивного хода было обнаружено для системы метанол —  $CdJ_2$  при 57 % вес. концентрации и составляет 15 %. Для теплоемкости системы метанол —  $SbCl_3$  максимальное отклонение составляет 4 % при 57 % вес. концентрации.

Для систем метанол —  $NH_4-NO_3$  (5 %) измеренное значение теплоемкости на 5 % ниже значения теплоемкости, найденной по

Таблица 2

Теплоемкость неводных растворов электролитов

t, °C	Метанол — CdI <sub>2</sub>					Метанол — SbCl <sub>3</sub>				Метанол — NH <sub>4</sub> NO <sub>3</sub>				Ацетон — ZnCl <sub>2</sub>				Ацетон — SbCl <sub>3</sub>			
	Концентрация соли, вес. %					Концентрация соли, вес. %				Концентрация соли, вес. %				Концентрация соли, вес. %				Концентрация соли, вес. %			
	0	10,8	22,4	36,7	55,8	21,4	41,8	59,3	77,5	6	9,2	15	0	5,8	12	20	40	19,3	25	42	53,5
20	0,595	0,540	0,458	0,368	0,246	0,482	—	—	0,230	—	0,580	0,570	0,509	—	0,468	0,406	0,465	0,428	0,405	0,335	0,310
21	0,595	0,540	0,455	0,368	0,246	0,482	—	0,324	0,0231	—	0,581	0,570	0,509	—	0,468	0,406	0,465	0,428	0,406	0,338	0,312
22	0,595	0,540	0,455	0,368	0,247	0,483	0,384	0,324	0,231	0,597	0,583	0,570	0,509	0,488	0,468	0,406	0,467	0,428	0,406	0,338	0,312
23	0,595	0,542	0,455	0,370	0,248	0,484	0,384	0,325	0,231	0,597	0,583	0,570	0,509	0,490	0,470	0,406	0,468	0,430	0,406	0,338	0,312
24	0,598	0,542	0,456	0,370	0,248	0,485	0,384	0,325	0,231	0,598	0,583	0,570	0,514	0,490	0,470	0,406	0,468	0,430	0,410	0,338	0,315
25	0,598	0,542	0,456	0,370	0,248	0,485	0,390	0,325	0,232	0,597	0,584	—	0,514	0,492	0,470	0,406	0,468	0,430	0,410	0,338	0,315
26	0,598	—	0,455	0,371	0,249	0,486	0,392	0,325	0,232	0,597	0,584	—	0,520	0,492	0,470	0,406	0,468	0,430	0,410	0,338	0,315
27	—	—	0,455	0,371	0,249	0,486	0,392	0,326	0,232	0,597	0,584	—	0,520	0,492	0,472	0,410	0,468	0,430	0,410	0,340	0,315
28	—	—	0,456	0,371	0,242	0,486	—	—	—	—	0,520	0,492	0,472	0,410	0,470	0,430	0,410	0,340	0,315	0,315	0,315

расчетным путем. Результаты измерения теплоемкости для систем этилового спирта (99,3%) —  $\text{ZnCl}_2$  дают уменьшение теплоемкости аддитивного хода на величину 5%, начиная с 20%-ной концентрации соли [12].

Исследование водных и неводных растворов солей дает линейный ход зависимости теплопроводности от молярной концентрации (моль/л).

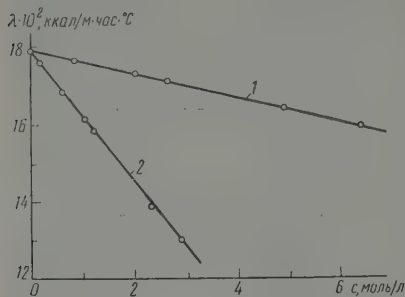


Рис. 2. Зависимость теплопроводности систем от молярной концентрации при 25° С: 1 — метанол —  $\text{SbCl}_3$ ; 2 — метанол —  $\text{CdJ}_2$ .

проводности  $\lambda_{\text{п}}$  соответственно равные 0,110; 0,150; 0,130 и 0,0 (в единицах  $\text{kcal/m}\cdot\text{час}\cdot^\circ\text{C}$ ). Знание величины  $\lambda_{\text{п}}$  для каждой соли позволяет вычислять теплопроводность как водных, так и неводных растворов солей по формуле:

$$\lambda_{\text{в}} = \lambda_0 + (\lambda_0 - \lambda_{\text{п}}) \frac{c_{\text{в}}}{c_{\text{ж}}},$$

где  $\lambda_{\text{в}}$  и  $\lambda_0$  — теплопроводность электролита и растворителя,  $c_{\text{ж}}$  — молярная концентрация расплава (т. е.  $c_{\text{ж}} = 1000\rho_{\text{ж}}/M$ ),  $c_{\text{в}}$  — молярная концентрация раствора. Необходимые для расчета значения плотности расплава брали из работы [13].

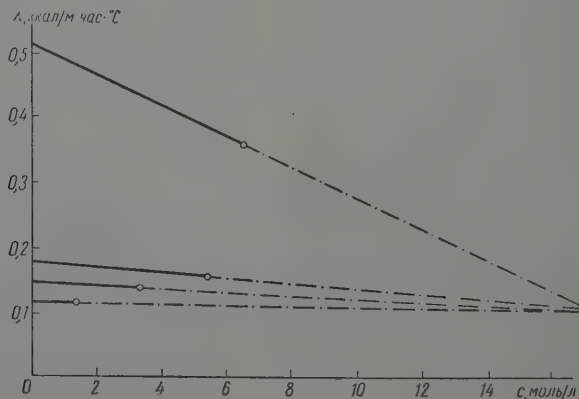


Рис. 3. Графический метод нахождения величины  $\lambda_{\text{п}}$  для соли

Входящие в соотношение (2) постоянные величины  $\lambda_{\text{п}}$  и  $c_{\text{ж}}$ , хотя и определяются относительно большими ошибками (соответственно 10 и



но их влияние в определении  $\lambda_0$  намного меньше из-за малости отношения  $c_0/c_{\text{н}}$ .

В заключение считаю своим приятным долгом выразить благодарность проф. Х. И. Амирханову за руководство работой.

### Выводы

1. Измерена теплопроводность растворов солей NaBr; NaJ, KJ, CdJ<sub>2</sub>, CaCl<sub>2</sub>, NH<sub>4</sub>NO<sub>3</sub>, SbCl<sub>3</sub> в метиловом спирте, ZnCl<sub>2</sub>, KOH, CdJ<sub>2</sub>, NaJ, Ca(NO<sub>3</sub>)<sub>2</sub> в этиловом спирте, NaJ в изоамиловом спирте, в бензоле SbCl<sub>3</sub>, ZnCl<sub>2</sub> и CdJ<sub>2</sub> в ацетоне в зависимости от концентрации при различных температурах.

2. Измерена в адиабатном калориметре теплоемкость следующих систем: метанол — CdJ<sub>2</sub>, метанол — SbCl<sub>3</sub>, метанол — NH<sub>4</sub>NO<sub>3</sub>, ацетон — ZnCl<sub>2</sub> и ацетон — SbCl<sub>3</sub>. Теплоемкость неводных растворов отклоняется от правила аддитивности в сторону уменьшения.

3. Дается эмпирическое соотношение для вычисления теплопроводности как водных, так и неводных растворов солей.

Дагестанский филиал Академии наук СССР  
Институт физики  
Махачкала

Получена  
17.VII 1958

### ЛИТЕРАТУРА

1. Ф. Г. Эльдаров, Ж. физ. химии, 32, 2443, 1958.
2. Л. П. Филиппов, Вестн. МГУ, вып. 6, 1954.
3. Ф. Г. Эльдаров, Дипломная работа, МГУ, 1953.
4. Л. П. Филиппов, «Приборы и стенды», П-56-417, 1956.
5. Х. И. Амирханов, И. Г. Гурвич и Э. В. Матизен, Докл. АН СССР, 100, 735, 1955.
6. Справочник по теплофизическим свойствам вещества под ред. Н. Б. Варгафтика, М.—Л., 1956.
7. Ю. В. Карякин, И. И. Ангелов, Чистые химические реактивы, М., 1955.
8. А. Ф. Капустинский и И. И. Рузавин, Ж. физ. химии, 29, 2222, 1955.
9. И. И. Рузавин, Диссертация, МХТИ, 1954.
10. Ю. П. Осминин, Диссертация, МГУ, 1954.
11. L. Riedel, Chem.—Ing.—Tech., 22, 54, 59, 1951.
12. Техническая энциклопедия, т. 7, 1931.
13. А. И. Беляев, Е. А. Жемчужина, Л. А. Фирсанова. Физическая химия расплавленных солей, М., 1957.

### THERMAL CONDUCTIVITY OF NON-AQUEOUS SALT SOLUTIONS

#### I. THE RESULTS OF AN EXPERIMENTAL INVESTIGATION OF THE THERMAL CONDUCTIVITY AND THERMAL CAPACITY OF NON-AQUEOUS SALT SOLUTIONS

*F. G. El'darov (Makhach-Kala)*

#### Summary

The results of an experimental investigation of the thermal conductivities and thermal capacities of non-aqueous salt solutions at various temperatures have been presented. The following organic liquids served as solvents: methanol, ethanol, acetone, benzene and isoamyl alcohol. The linear dependence of the thermal conductivity of non-aqueous salt solutions upon the molar concentration (with the exception of alkali solutions) has been shown to be valid. An equation has been derived permitting calculation of the thermal conductivity of both aqueous and non-aqueous solutions.

# ТЕРМОДИНАМИЧЕСКАЯ ТЕОРИЯ КРИТИЧЕСКИХ ЯВЛЕНИЙ В ТРЕХКОМПОНЕНТНЫХ СИСТЕМАХ

## IV. КРИТИЧЕСКИЕ КРИВЫЕ ТРЕХКОМПОНЕНТНОЙ СИСТЕМЫ

*А. В. Сторонкин и А. И. Русанов*

В термодинамической теории критических явлений видное место занимает исследование критических многообразий. В случае бинарных систем объектом исследования является критическая кривая [1], в случае тройных систем — критическая поверхность.

В каждой точке критической поверхности тройной системы должны сохранять свою силу уравнения критической фазы:

$$U_2^{(k)} \equiv \begin{vmatrix} \zeta_{11}^{(k)} & \zeta_{12}^{(k)} \\ \zeta_{12}^{(k)} & \zeta_{22}^{(k)} \end{vmatrix} = 0, \quad (1)$$

$$V_2^{(k)} \equiv \begin{vmatrix} \left(\frac{\partial U_2}{\partial x_1}\right)^{(k)} & \left(\frac{\partial U_2}{\partial x_2}\right)^{(k)} \\ \zeta_{12}^{(k)} & \zeta_{22}^{(k)} \end{vmatrix} = 0, \quad (2)$$

где  $\zeta$  — молярный термодинамический потенциал Гиббса,  $\zeta_{ik} = (\partial^2 \zeta / \partial x_i \partial x_k)_{P, T}$ ,  $x_i$  — молярная доля  $i$ -го компонента,  $P$  — давление;  $T$  — температура; а верхний индекс  $(k)$  показывает, что выражение относится к критической фазе. Условия (1) и (2) накладывают на изменения величин  $P$ ,  $T$ ,  $x_1$  и  $x_2$  ограничения, которые можно выразить при помощи следующих уравнений:

$$\left. \begin{aligned} \left(\frac{\partial U_2}{\partial T}\right)^{(k)} dT + \left(\frac{\partial U_2}{\partial P}\right)^{(k)} dP + \left(\frac{\partial U_2}{\partial x_1}\right)^{(k)} dx_1 + \left(\frac{\partial U_2}{\partial x_2}\right)^{(k)} dx_2 &= 0, \\ \left(\frac{\partial V_2}{\partial T}\right)^{(k)} dT + \left(\frac{\partial V_2}{\partial P}\right)^{(k)} dP + \left(\frac{\partial V_2}{\partial x_1}\right)^{(k)} dx_1 + \left(\frac{\partial V_2}{\partial x_2}\right)^{(k)} dx_2 &= 0. \end{aligned} \right\} \quad (3)$$

Если принять в качестве независимых переменных  $x_1$  и  $x_2$ , из (3) можно получить дифференциальные уравнения  $T$ -поверхности и  $P$ -поверхности, которые характеризуют критическую поверхность тройной системы в различных системах координат.

Уравнение критической поверхности в двух случаях переходит в уравнение кривой, лежащей на этой поверхности:

1) когда один из параметров ( $P$ ,  $T$ ,  $x_1$ ,  $x_2$  или любой другой) принимает постоянное значение;

2) когда критическая фаза тройной системы сосуществует с другой фазой.

Хотя сам факт существования критических кривых тройных систем экспериментально установлен давно (см., например, [4]), обсуждение этого вопроса в литературе касалось лишь предельных соотношений, характеризующих влияние малых примесей третьего компонента на критическую температуру бинарной смеси [5, 6]. Попытка более общего рассмотрения содержится в работе И. Р. Кричевского, однако выведенное им уравнение критической кривой тройной системы (см. [7], стр. 147, уравнение IV, 44) является ошибочным.

В настоящей работе рассматриваются критические кривые, относящиеся к первому случаю. Среди этих кривых наибольшее практическое значение имеют изобарическая и изотермическая критические кривые.

Изобарическая критическая кривая тройной системы. Уравнение пространственной изобарической критической кривой тройной системы можно задать при помощи уравнений проекций этой кривой в координатах  $T - x_1 - x_2$ . Уравнения этих проекций легко можно получить из (3), полагая  $dP = 0$ :

$$\left(\frac{dx_2}{dx_1}\right)_{\kappa, P} = - \frac{\left(\frac{\partial U_2}{\partial T}\right)^{(\kappa)} \left(\frac{\partial V_2}{\partial x_1}\right)^{(\kappa)} - \left(\frac{\partial U_2}{\partial x_1}\right)^{(\kappa)} \left(\frac{\partial V_2}{\partial T}\right)^{(\kappa)}}{\left(\frac{\partial U_2}{\partial T}\right)^{(\kappa)} \left(\frac{\partial V_2}{\partial x_2}\right)^{(\kappa)} - \left(\frac{\partial U_2}{\partial x_2}\right)^{(\kappa)} \left(\frac{\partial V_2}{\partial T}\right)^{(\kappa)}}; \quad (4)$$

$$\left(\frac{dT}{dx_1}\right)_{\kappa, P} = - \frac{\left(\frac{\partial U_2}{\partial x_1}\right)^{(\kappa)} \left(\frac{\partial V_2}{\partial x_2}\right)^{(\kappa)} - \left(\frac{\partial U_2}{\partial x_2}\right)^{(\kappa)} \left(\frac{\partial V_2}{\partial x_1}\right)^{(\kappa)}}{\left(\frac{\partial U_2}{\partial T}\right)^{(\kappa)} \left(\frac{\partial V_2}{\partial x_2}\right)^{(\kappa)} - \left(\frac{\partial U_2}{\partial x_2}\right)^{(\kappa)} \left(\frac{\partial V_2}{\partial T}\right)^{(\kappa)}}; \quad (5)$$

$$\left(\frac{dT}{dx_2}\right)_{\kappa, P} = - \frac{\left(\frac{\partial U_2}{\partial x_2}\right)^{(\kappa)} \left(\frac{\partial V_2}{\partial x_1}\right)^{(\kappa)} - \left(\frac{\partial U_2}{\partial x_1}\right)^{(\kappa)} \left(\frac{\partial V_2}{\partial x_2}\right)^{(\kappa)}}{\left(\frac{\partial U_2}{\partial T}\right)^{(\kappa)} \left(\frac{\partial V_2}{\partial x_1}\right)^{(\kappa)} - \left(\frac{\partial U_2}{\partial x_1}\right)^{(\kappa)} \left(\frac{\partial V_2}{\partial T}\right)^{(\kappa)}}. \quad (6)$$

Нижний индекс « $\kappa$ » при производных, стоящих в левой части (4) — (6) показывает, что эти производные берутся при условии сохранения критического состояния. Проекцию изобарической критической кривой на плоскость  $x_1 - x_2$  часто называют также критической кривой.

А. О связи между ходом изобарической критической кривой и ходом изотермо-изобар сосуществования фаз. Если на плоскости  $x_1 - x_2$  изобразить проекции сечений изобарической поверхности сосуществования двух фаз плоскостями  $T = \text{const}$ , мы получим сеть изотермо-изобар сосуществования фаз. Проекция изобарической критической кривой на плоскость  $x_1 - x_2$  будет пересекать изотермо-изобары в критических точках (кривая  $AB$  на рис. 1). Существует ли взаимосвязь между ходом изотермо-изобары в критической точке и ходом критической кривой в этой же точке? Уравнение изотермо-изобары сосуществования в критической точке может быть записано следующим образом [2]:

$$\left(\frac{dx_2}{dx_1}\right)_{\text{сосущ.}, P, T} = - \frac{\left(\frac{\partial U_2}{\partial x_1}\right)^{(\kappa)}}{\left(\frac{\partial U_2}{\partial x_2}\right)^{(\kappa)}}. \quad (7)$$

Поделив левую часть первого уравнения системы (3) на  $(\partial U_2 / \partial x_2)^{(\kappa)}$ , полагая  $P = \text{const}$  и используя (7), получим следующее соотношение:

$$\frac{\left(\frac{\partial U_2}{\partial T}\right)^{(\kappa)}}{\left(\frac{\partial U_2}{\partial x_2}\right)^{(\kappa)}} \left(\frac{dT}{dx_1}\right)_{\kappa, P} - \left(\frac{dx_2}{dx_1}\right)_{\text{сосущ.}, P, T} + \left(\frac{dx_2}{dx_1}\right)_{\kappa, P} = 0. \quad (8)$$

Из (8) видно, что задание  $(dx_2/dx_1)_{\kappa, P}$  еще не определяет хода изотермо-изобары сосуществования фаз в критической точке, так как для этого

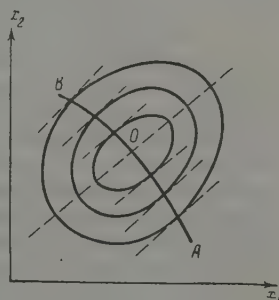


Рис. 1. Изотермо-изобары сосуществования фаз и критическая кривая на концентрационной диаграмме

необходимо знать температурную зависимость на критической кривой. Далее, из (8) видно, что, вообще говоря, критическая кривая  $AB$  (рис. 1) пересекает изотермо-изобары сосуществования фаз под некоторым углом, но возможен случай, когда изотермо-изобара и критическая кривая касаются друг друга. Это осуществляется в тех критических точках, где  $(\partial U_2/\partial T)^{(K)} = 0$  и, следовательно, выполняется равенство

$$\left(\frac{dx_2}{dx_1}\right)^{(K)}_{\text{сосущ., } P, T} = \left(\frac{dx_2}{dx_1}\right)_{K, P}. \quad (9)$$

Равенство нулю производной  $(\partial U_2/\partial T)^{(K)}$  осуществляется в тех точках критической кривой, где происходит переход от одного типа критической точки в отношении температуры к другому [3]. Мы приходим, таким образом, к следующему выводу: проекция изобарической критической кривой тройной системы на плоскость  $x_1 - x_2$  может касаться изотермо-изобар сосуществования двух фаз в точках, где происходит изменение типа критической точки в отношении температуры.

Из уравнения (8), на первый взгляд, следует, что условие (9) может выполняться также и в случае, когда в нуль обращается производная  $(dT/dx_1)_{K, P}$ . Однако это не так. В точках экстремумов температуры обычно меняется тип критической точки в отношении концентраций компонентов, так что с обращением в нуль производной  $(dT/dx_1)_{K, P}$  обращается в нуль и производная  $(\partial U_2/\partial x_2)^{(K)}$ , а потому нельзя утверждать, что в этом случае будет выполняться равенство (9). Ниже будет показано, что, напротив, условие (9) никогда не выполняется в точках экстремумов температуры на критической кривой и поверхности сосуществования фаз.

Б. Ход изобарической критической кривой в точке тройного экстремума температуры на изобарической поверхности сосуществования фаз. При изучении равновесия жидкость — жидкость в тройных системах часто приходится иметь дело с системами, обладающими тройным экстремумом на  $T$ -поверхности сосуществования фаз и изобарической критической кривой. Поэтому обсуждение этого случая представляет значительный практический интерес.

В точке тройного экстремума температуры на изобарической поверхности сосуществования двух фаз изотермо-изобара сосуществования вырождается в точку, и, строго говоря, здесь не имеет смысла говорить о касательной к изотермо-изобаре в критической точке. Однако если проследить изменение наклона касательной к изотермо-изобаре в критической точке при движении по критической кривой (рис. 1), легко убедиться в том, что эта величина стремится к вполне определенному пределу в точке тройного экстремума температуры. Поскольку величина углового коэффициента касательной к изотермо-изобаре в критической точке определяется соотношением [2]:

$$k \equiv \left(\frac{dx_2}{dx_1}\right)^{(K)}_{\text{сосущ., } P, T} = -\frac{\zeta_{12}^{(K)}}{\zeta_{22}^{(K)}},$$

можно определить предельное значение этой величины в точке экстремума температуры следующим образом:

$$k^0 = -\frac{\zeta_{12}^0}{\zeta_{22}^0}. \quad (10)$$

Нулем сверху мы будем отмечать величины, относящиеся к точке экстремума температуры. Практически величина  $k^0$  легко может быть найдена интерполяцией: нужно найти среднее арифметическое от величин наклонов касательных к изотермо-изобаре, проходящей в непосредственной близости от точки тройного экстремума температуры, в двух критических точках на этой изотермо-изобаре.



Теперь введем обозначение

$$\kappa^0 \equiv \left( \frac{dx_2}{dx_1} \right)_{K,P}^0$$

попытаемся установить связь между величинами  $\kappa^0$  и  $k^0$ .

В точке тройного экстремума температуры должны выполняться условия:

$$\left. \begin{aligned} \left( \frac{dT}{dx_1} \right)_{K,P}^0 &= 0, \\ \left( \frac{dT}{dx_2} \right)_{K,P}^0 &= 0, \\ \left( \frac{\partial U_2}{\partial x_1} \right)^{(K)} &= 0, \\ \left( \frac{\partial U_2}{\partial x_2} \right)^{(K)} &= 0. \end{aligned} \right\} \quad (11)$$

Последние два условия связаны с тем, что, как мы уже отмечали, в точках экстремума температуры происходит изменение типа критической точки в отношении концентраций компонентов. С учетом этих условий уравнение (4) может быть записано следующим образом

$$\kappa^0 = - \frac{(\partial V_2 / \partial x_1)^0}{(\partial V_2 / \partial x_2)^0}. \quad (12)$$

Преобразуем правую часть уравнения (12). Используя (2) и (11), найдем выражения для частных производных от  $V_2$  по  $x_1$  и  $x_2$  в точке экстремума температуры:

$$\left. \begin{aligned} \left( \frac{\partial V_2}{\partial x_1} \right)^0 &= \left( \frac{\partial^2 U_2}{\partial x_1^2} \right)^0 \zeta_{22}^0 - \left( \frac{\partial^2 U_2}{\partial x_1 \partial x_2} \right)^0 \zeta_{12}^0, \\ \left( \frac{\partial V_2}{\partial x_2} \right)^0 &= \left( \frac{\partial^2 U_2}{\partial x_1 \partial x_2} \right)^0 \zeta_{22}^0 - \left( \frac{\partial^2 U_2}{\partial x_2^2} \right)^0 \zeta_{12}^0. \end{aligned} \right\} \quad (13)$$

Для краткости введем обозначения

$$a \equiv \left( \frac{\partial^2 U_2}{\partial x_1^2} \right)^0; \quad b \equiv \left( \frac{\partial^2 U_2}{\partial x_1 \partial x_2} \right)^0; \quad c \equiv \left( \frac{\partial^2 U_2}{\partial x_2^2} \right)^0. \quad (14)$$

При получении дополнительных условий, характеризующих величины  $b$  и  $c$ , обратим внимание на тот факт, что при постоянстве давления и температуры величина  $U_2$  должна иметь минимальное значение в точке тройного экстремума температуры на критической кривой. Действительно, в точке экстремума температуры, как и в любой другой точке критической кривой,  $U_2 = 0$ . Если же мы начнем изменять состав исходной критической фазы при  $T = T^0$  и  $P = P^0$ , то  $U_2$  будет переходить от нулевого к положительным значениям согласно условиям устойчивости. Таким образом, величина  $U_2$  имеет в точке тройного экстремума температуры наибольшее значение, равное нулю. Условие минимума  $U_2$  при постоянстве давления и температуры можно выразить при помощи следующих неравенств:

$$a > 0, \quad c > 0, \quad ac - b^2 > 0. \quad (15)$$

Уравнение (12) с учетом (10), (13) и (14) мы можем записать теперь следующим образом:

$$\kappa^0 = - \frac{a + bk^0}{b + ck^0}. \quad (16)$$

и есть искомое уравнение, дающее связь между величинами  $\kappa^0$  и  $k^0$ .

Решим его относительно  $k^0$ :

$$k^0 = -\frac{a + bk^0}{b + ck^0}. \quad (1)$$

Мы получили тот же самый вид функциональной зависимости, что и в (16). Оказывается, функции  $\kappa^0 = f(k^0)$  и  $k^0 = f(\kappa^0)$  имеют один и тот же вид. Могут ли и значения величин  $\kappa^0$  и  $k^0$  совпадать друг с другом? При  $k^0 = \kappa^0$  мы получим для  $\kappa^0$  выражение

$$\kappa^0 = \frac{-b \pm \sqrt{b^2 - ac}}{c},$$

которое при условиях (15) не имеет смысла. Таким образом, предельное положение касательной к изотермо-изобаре сосуществования фаз в критической точке и положение касательной к критической кривой не могут быть

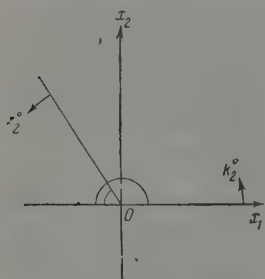


Рис. 2. Изменение величин  $k^0$  и  $\kappa^0$  при  $b > 0$

одинаковыми в точке экстремума температуры на изобарической критической кривой и изобарической поверхности сосуществования фаз.

Можно показать, что в точке экстремума температуры значения  $\kappa^0$  и  $k^0$  не только не могут совпадать, но должны быть отделены друг от друга некоторым определенным интервалом. Из (16) и (17) следует, что, когда  $k^0$  изменяется от нуля до  $-a/b$ ,  $\kappa$  изменяется от  $-a/b$  до нуля. Прямая, описываемая уравнением

$$x_2 - x_2^0 = -\frac{a}{b}(x_1 - x_1^0),$$

делит угол, равный  $\pi$ , на два сектора. Покажем, что прямые, тангенсы угла наклона которых даются значениями  $k^0$  и  $\kappa^0$ , находятся всегда в разных секторах. Рассмотрим два случая.

1. Пусть  $b > 0$ . Тогда граница, разделяющая секторы, находится в области отрицательных значений тангенсов (рис. 2). Пусть в начальный момент  $k^0 = 0$  и, следовательно,  $\kappa^0 = -a/b$ . Придадим  $k^0$  малое положительное значение, тогда  $\kappa^0$  также приобретает новое значение согласно формуле (16). Если это новое значение по абсолютной величине меньше начального, т. е. если соблюдается неравенство

$$\frac{a + bk^0}{b + ck^0} < \frac{a}{b}, \quad (18)$$

то движение прямых произошло в различных секторах, как показано на рис. 2. Нетрудно заметить, что условие (18) эквивалентно последнему из условий (15) и потому действительно должно выполняться.

2. Пусть  $b < 0$ . Тогда прямая, разграничивающая секторы, находится в области положительных значений угловых коэффициентов (рис. 3). Пусть в начальный момент  $k^0 = 0$  и

$$\kappa^0 = -\frac{a}{b} = \frac{a}{|b|}.$$

Если мы придадим  $k^0$  положительное приращение,  $\kappa^0$  приобретет новое значение по формуле (16):

$$\kappa^0 = \frac{a - |b|k^0}{|b| - ck^0}.$$

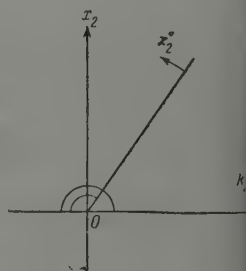


Рис. 3. Изменение величин  $k^0$  и  $\kappa^0$  при  $b < 0$

Если будет выполняться неравенство

$$\frac{a - |b| k^0}{|b| - ck^0} > \frac{a}{|b|}, \quad (19)$$

то это означает, что смещение прямых, соответствующих значениям  $k^0 = 0$  и  $k^0 = -a/b$ , происходит в различных секторах, как показано на рис. 3. Покажем, что условие (19) эквивалентно последнему из условий (15). При достаточно малых значениях  $k^0$  знаменатель левой части неравенства (19) можно считать положительной величиной. Поэтому знак неравенства не изменится при умножении его обеих частей на произведение знаменателей левой и правой части. Производя указанное преобразование, мы и придем к последнему из условий (15).

На основании вышесказанного мы можем сформулировать следующее правило:

В точках тройных экстремумов температуры на изобарической поверхности сосуществования фаз касательная к изобарической критической кривой на плоскости  $x_1 - x_2$  и прямая, характеризующая предельное положение касательной к изотермо-изобаре сосуществования фаз в критической точке, находятся всегда в различных секторах, граница между которыми дается уравнением

$$\frac{x_2 - x_2^0}{x_1 - x_1^0} = -\frac{a}{b}.$$

Изотермическая критическая кривая тройной системы. Уравнения всех проекций изотермической критической кривой могут быть получены из (3) при условии  $dT = 0$ . Эти уравнения имеют следующий вид:

$$\left(\frac{dx_2}{dx_1}\right)_{K,T} = -\frac{\left(\frac{\partial U_2}{\partial P}\right)^{(K)} \left(\frac{\partial V_2}{\partial x_1}\right)^{(K)} - \left(\frac{\partial U_2}{\partial x_1}\right)^{(K)} \left(\frac{\partial V_2}{\partial P}\right)^{(K)}}{\left(\frac{\partial U_2}{\partial P}\right)^{(K)} \left(\frac{\partial V_2}{\partial x_2}\right)^{(K)} - \left(\frac{\partial U_2}{\partial x_2}\right)^{(K)} \left(\frac{\partial V_2}{\partial P}\right)^{(K)}}; \quad (20)$$

$$\left(\frac{dP}{dx_1}\right)_{K,T} = -\frac{\left(\frac{\partial U_2}{\partial x_1}\right)^{(K)} \left(\frac{\partial V_2}{\partial x_2}\right)^{(K)} - \left(\frac{\partial U_2}{\partial x_2}\right)^{(K)} \left(\frac{\partial V_2}{\partial x_1}\right)^{(K)}}{\left(\frac{\partial U_2}{\partial P}\right)^{(K)} \left(\frac{\partial V_2}{\partial x_2}\right)^{(K)} - \left(\frac{\partial U_2}{\partial x_2}\right)^{(K)} \left(\frac{\partial V_2}{\partial P}\right)^{(K)}}; \quad (21)$$

$$\left(\frac{dP}{dx_2}\right)_{K,T} = -\frac{\left(\frac{\partial U_2}{\partial x_2}\right)^{(K)} \left(\frac{\partial V_2}{\partial x_1}\right)^{(K)} - \left(\frac{\partial U_2}{\partial x_1}\right)^{(K)} \left(\frac{\partial V_2}{\partial x_2}\right)^{(K)}}{\left(\frac{\partial U_2}{\partial P}\right)^{(K)} \left(\frac{\partial V_2}{\partial x_1}\right)^{(K)} - \left(\frac{\partial U_2}{\partial x_1}\right)^{(K)} \left(\frac{\partial V_2}{\partial P}\right)^{(K)}}. \quad (22)$$

Анализ хода изотермической критической кривой можно провести совершенно так же, как и в случае изобарической критической кривой. Приведем основные формулы и выводы.

Связь между ходом изотермо-изобары сосуществования фаз в критической точке и ходом изотермической критической кривой дается следующим уравнением:

$$\frac{\left(\frac{\partial U_2}{\partial P}\right)^{(K)}}{\left(\frac{\partial U_2}{\partial x_2}\right)^{(K)}} \left(\frac{dP}{dx_1}\right)_{K,T} - \left(\frac{dx_2}{dx_1}\right)_{\text{сосущ., } P,T} + \left(\frac{dx_2}{dx_1}\right)_{K,T} = 0. \quad (23)$$

Если  $(\partial U_2 / \partial P)^{(K)} = 0$  получим равенство

$$\left(\frac{dx_2}{dx_1}\right)_{\text{сосущ., } P,T} = \left(\frac{dx_2}{dx_1}\right)_{K,T}.$$

Следовательно, в критических точках, где происходит изменение типа критической точки в отношении давления, изотермическая кривая на плоскости  $x_1 - x_2$  может касаться изотермо-изобар сосуществования фаз.

В критических точках, являющихся точками экстремумов давления на изотермической поверхности сосуществования фаз, ход изотермической критической кривой описывается следующими уравнениями:

$$\left(\frac{dP}{dx_1}\right)_{K,T}^0 = \left(\frac{dP}{dx_2}\right)_{K,T}^0 = 0, \quad \left(\frac{dx_2}{dx_1}\right)_{K,T}^0 = -\frac{a + bk^0}{b + ck^0}, \quad (15)$$

в которых значения величин  $a, b, c$  определены формулами (14), а определяется по формуле (10).

Можно показать, что в критических точках, являющихся точками экстремумов давления на изотермической поверхности сосуществования фаз, должно соблюдаться следующее правило: касательная к изотермической критической кривой на плоскости  $x_1 - x_2$  и прямая, характеризующая предельное положение касательной к изотермо-изобаре сосуществования фаз в критической точке, находятся всегда в различных секторах, границей между которыми дается уравнением

$$\frac{x_2 - x_2^0}{x_1 - x_1^0} = -\frac{a}{b}.$$

### Выводы

1. Выведены уравнения изобарической и изотермической критических кривых тройной системы.

2. Установлена связь между ходом изобарической и изотермической критических кривых и ходом изотермо-изобар сосуществования фаз.

3. Обсужден случай экстремума температуры (давления) на изобарической (изотермической) критической кривой тройной системы.

Ленинградский государственный  
университет им. А. А. Жданова

Поступила  
9.VII.1958

### ЛИТЕРАТУРА

1. А. И. Русанов, Вестник ЛГУ, № 22, 120, 1957.
2. А. И. Русанов, Вестник ЛГУ, № 4, 84, 1958.
3. А. В. Сторонкин и А. И. Русанов, Ж. физ. химии, 34, 530, 1960.
4. F. A. H. Schreinemaker, Z. phys. Chem., 33, 74, 1900; 39, 485, 1902; 40, 41902; 41, 331, 1902.
5. J. Prigogine, Bull. soc chim. Belg., 52, 115, 1943.
6. O. K. Rice, J. Phys. a. Coll. Chem., 54, 1293, 1950.
7. И. Р. Кричевский, Фазовые равновесия в растворах при высоких давлениях, Госхимиздат, М.—Л., 1952.

### THERMODYNAMIC THEORY OF CRITICAL PHENOMENA IN TRICOMPONENT SYSTEMS

#### IV. CRITICAL CURVES OF A TRICOMPONENT SYSTEM

A. V. Storonkin and A. I. Rusanov (Leningrad)

#### Summary

In the paper equations for the isobaric and isothermal critical curves of a tricomponent system have been derived and investigated. The relation between the shapes of curves and that of the isotherm-isobar of phase coexistence has been examined. Case of the appearance of a temperature and pressure triple point on the surfaces of phase coexistence and of the corresponding critical curves have been discussed.



# ОПРЕДЕЛЕНИЕ КИНЕТИЧЕСКИХ ХАРАКТЕРИСТИК ПОВЕРХНОСТНОЙ РЕАКЦИИ В ПРОЦЕССЕ ГОРЕНИЯ ГАЗОВ

Л. С. Соловьева

Ранее нами было показано [1], что имеется возможность методически разделить процессы поверхностного и объемного горения газов и определить кинетические характеристики поверхностной реакции горения. В данной работе методика определения кинетических характеристик поверхностной реакции конкретизирована на примере горения окиси углерода в узких каналах из кварца, платины и меди. Результаты, полученные при горении окиси углерода в кварцевом канале, в котором практически протекает только объемная реакция [1], показали хорошее соответствие кинетическими характеристиками, определенными другими исследователями [2—4]. На основании этого оказалось возможным определить кинетические характеристики поверхностной реакции горения окиси углерода на платине в пределах температур 300—650° и на меди при 400—750°.

## Экспериментальная часть

Горение окиси углерода в платиновом канале. Опыты в платиновом канале преследовали две цели — определение величины константы диффузии  $\beta_{\text{и}}$  кинетических характеристик поверх-

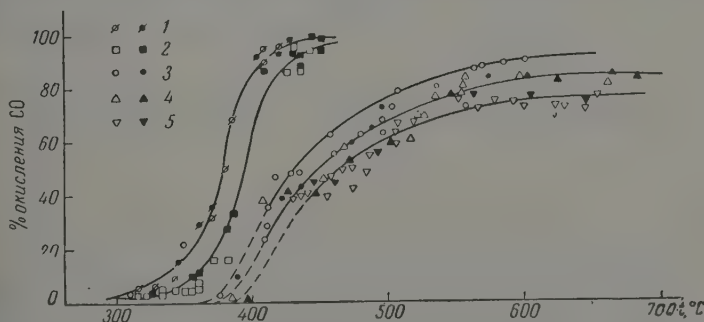


Рис. 1. Зависимость процента выгорания окиси углерода от температуры в платиновом канале: 1 — при  $w = 3$ ; 2 — при  $w = 6$ ; 3 — при  $w = 34$ ; 4 — при  $w = 55$ ; 5 — при  $w = 70$  мг/сек

стной реакции окисления окиси углерода на платине. Опыты проводились на ранее описанной установке [1]. Длина канала была также 150 мм, внутренний диаметр равнялся 2 мм. За температуру процесса принималась температура на наружной стенке канала, фиксируемая при помощи трех термопар, расположенных по длине канала. Отбор проб исходной смеси продуктов реакции, так же как и в кварцевом канале, осуществлялся в начале и в конце, после того как в канале устанавливалась постоянная температура. Гидродинамический режим потока в канале поддерживался ламинарным.

Концентрация окиси углерода в исходной газозоудшной смеси состав-

ляла от 3 до 5%, т. е. была в тех же пределах, что и в опытах с кварцевым каналом. Скорость потока смеси в канале изменялась от 3 до 70 м/сек, а температура, при которой при данных условиях протекал процесс, лежала в пределах 320—650°C.

Данные по зависимости процента окисления окиси углерода от температуры приведены на рис. 1. Как видно из этого рисунка, при небольших скоростях потока (3—6 м/сек) в интервале температур 370—420° проц

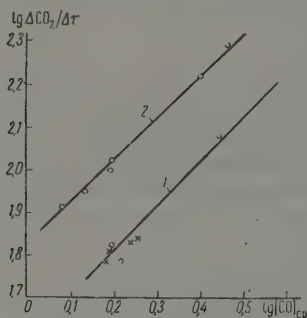


Рис. 2. Зависимость скорости горения окиси углерода в платиновом канале от ее начальной концентрации: 1 —  $w = 3$  м/сек при 415°; 2 —  $w = 6$  м/сек при 400°

окисления окиси углерода  $n$  изменяется с 10 до 90. При больших скоростях потока (34, 55 и 70 м/сек) процесс окисления окиси углерода начинается при 400° С, и при повышении температуры на 60—70° С процент окисления  $n$  уже достигает 50%. Дальнейшее повышение температуры на 100° С и более увеличивает процент окисления до постоянной величины, зависящей от скорости потока. Так, например, при скорости потока 34 м/сек в условиях наших опытов постоянное максимальное значение величины  $n_{\text{макс}}$  около 90%, при 55 м/сек  $n_{\text{макс}} = 83\%$  и при 70 м/сек  $n_{\text{макс}} = 75\%$ . Следовательно, в опытах с платиновым каналом, в отличие от результатов опытов в кварцевом канале, ход точек при высоких температурах в случае больших скоростей потока имеет тенденцию к более низкому предельному значению величины  $n$ .

Предварительно была произведена специальная проверка порядка реакции окисления окиси углерода на платине в принятых пределах изменения концентрации окиси углерода. Результаты при двух скоростях потока показали, что имеет место первый порядок по окиси углерода (рис. 2).

Для процесса окисления окиси углерода в платиновом канале величина степени окисления  $n$  может быть выражена следующим уравнением:

$$n = 1 - e^{-\frac{\kappa}{w} L} \cdot e^{-s_i \frac{\varphi}{1 + \frac{w}{k} \varphi} L} = 1 - e^{-\frac{\kappa}{w} L} \cdot e^{-\frac{s_i}{w} \frac{1}{\frac{1}{k} + \frac{1}{\beta}} L} = 1 - e^{-\frac{\kappa}{w} L - \frac{s_i k^*}{w} L},$$

где  $k^* = \frac{1}{(1/k) + (1/\beta)}$ , а  $L$  — расстояние вдоль потока (сантиметры);  $w$  — скорость потока (см/сек);  $\kappa$  — константа скорости объемного процесса (1/сек);  $k$  — константа скорости поверхностной реакции (см/сек);  $\varphi$  — функция переноса, которая равна отношению  $\beta/w$ ; константа диффузии  $\beta = \frac{D}{a} \text{Nu}_{\text{дифф}}$  (см/сек);  $s_i$  — удельная реакционная поверхность (1/см) в случае круглого канала  $s_i = 4/d$  ( $d$  — диаметр канала).

Объемный процесс горения характеризуется множителем  $e^{-\frac{\kappa}{w} L}$ , а процесс поверхностного горения  $e^{-\frac{s_i k^*}{w} L}$ .

На рис. 3 представлены данные по зависимости скорости процесса горения окиси углерода от температуры в платиновом канале в зависимости  $\lg K$  от  $1/T$ , где  $K$  — величина, характеризующая суммарную скорость процесса, имеет вид

$$K = \kappa + s_i k^* = -\frac{\ln(1-n)}{\tau}$$

В этом уравнении представляет интерес величина  $k^*$ , которая связана с константой скорости поверхностной реакции соотношением

$$k^* = \frac{1}{(1/k) + (1/\beta)}.$$

Для нахождения величины  $k^*$  на основании общего выражения  $n = 1 - e^{\frac{-x}{w}L} e^{\frac{-s_i k^*}{w}L}$  надо использовать значение  $x$ , полученное в опытах

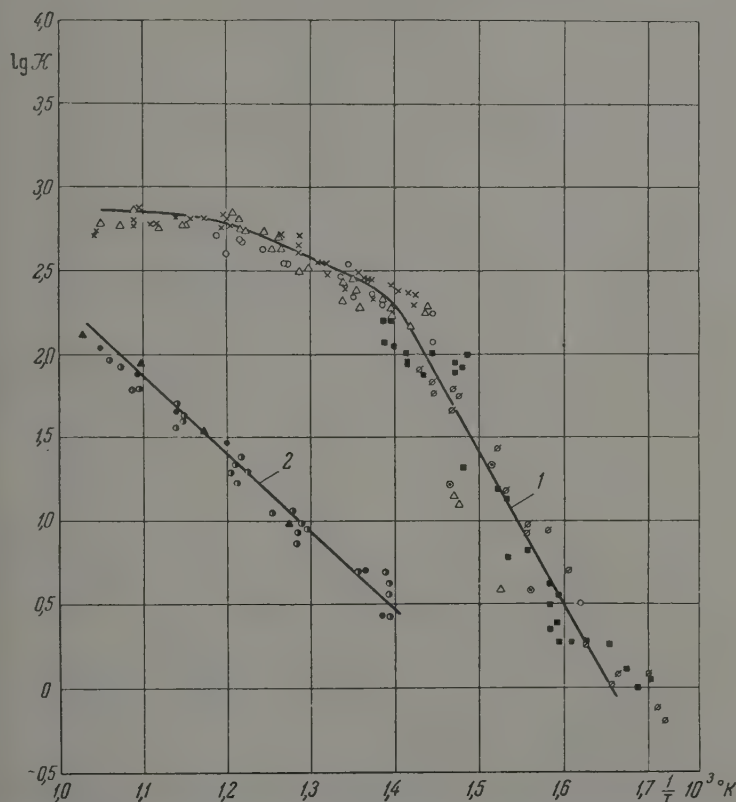


Рис. 3. Зависимость суммарной константы скорости горения окиси углерода от температуры: 1 — в платиновом канале; 2 — в медном канале

кварцевым каналом, где идет только объемный процесс. Поскольку при низких температурах скорости потока в случае платинового канала были во много раз больше, чем в кварцевом, то величина  $e^{\frac{-x}{w}L}$  оказалась близкой к единице, а величина  $K$  — практически близкой величине  $s_i k^*$ . Ответственно этому на рис. 4 показана зависимость  $\lg k^*$  от  $1/T$ , т. е. изменение с температурой константы скорости поверхностного чисто гетерогенного процесса горения окиси углерода. Анализ кривой, приведенной на рис. 4, показывает, что вначале ход зависимости  $\lg k^*$  от  $1/T$  характеризуется быстрым возрастанием  $k^*$  с ростом температуры. Эта зависимость передается уравнением Аррениуса, где значение энергии активации  $\sim 45000$  кал/моль; однако уже при  $420^\circ$  возрастание величины  $k^*$  замедляется и она стремится к некоторому пределу. Ход кривой в этой

области показывает торможение процесса горения диффузией реагентов к активной поверхности. Оценка этого предельного значения  $k^*$  по данным теплообмена [5, 6] дает близкое соответствие ожидаемого значения  $k^*$ , которое в этом случае равно  $\beta$ , и опытных точек. На рис. 4 изменение  $\beta$ , рассчитанное по данным теплообмена, показано пунктирной линией

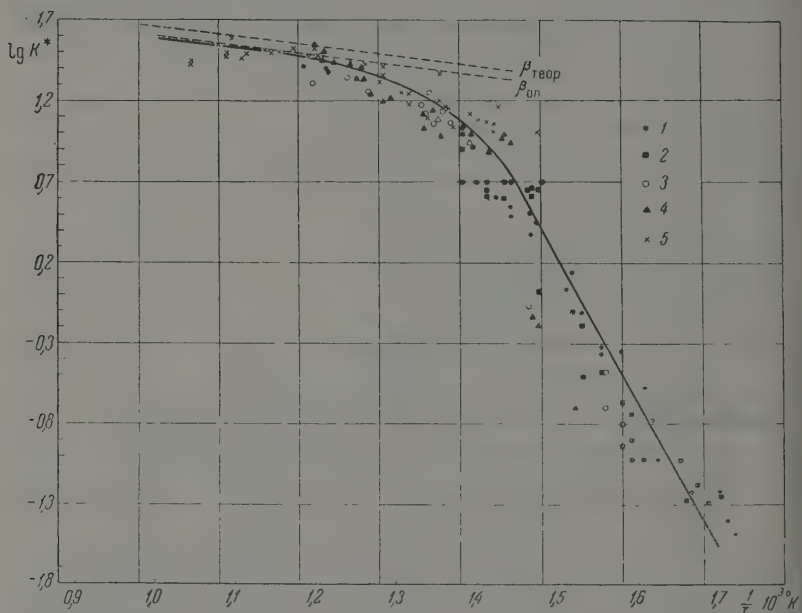


Рис. 4. Зависимость изменения константы скорости поверхностного процесса окисления окиси углерода от температуры в платиновом канале: 1 —  $w \approx 3$ , 2 —  $w \approx 3$ , 3 —  $w = 34$ , 4 —  $w = 50$ , 5 —  $w = 70$  м/сек

Отличаясь несколько по своему положению, пунктирная линия дает примерно тот же ход зависимости от  $1/T$ , как и ход опытных точек при на более высоких температурах опыта.

Как видно далее из рис. 4, начиная с  $450^\circ$ , процесс горения окиси углерода в платиновом канале достигает предельного диффузионного режима. В этих условиях процесс определяется отнюдь не кинетическими а физическими (диффузионными) факторами. Такое положение объясняет слабую зависимость скорости процесса от температуры в этой области. Является поэтому ошибочным трактовать процесс в этих условиях с численной точки зрения и указывать на небольшую величину энергии активации, как на признак особой активности катализатора. Из опыта следует, что благодаря большой энергии активации на платине, реакция при  $400^\circ$  быстро переходит в диффузионную область.

Полученные выводы позволяют определить  $k$ , т. е. константу скорости поверхностной реакции из значений  $k^* = f(1/T)$  и  $\beta$ .

Величину  $k$  можно определить на основании следующего соотношения так как

$$k^* = \frac{1}{(1/k) + (1/\beta)},$$

то

$$\frac{1}{k} = \frac{1}{k^*} - \frac{1}{\beta}.$$



Но это требует знания достаточно точных значений  $\beta$  при разных температурах. Теоретическое значение  $\beta$  (по теплообмену) недостаточно точно совпадает со значениями из опытных точек при высоких температурах. Ввиду этого нами был найден экспериментальный коэффициент  $a$ , который

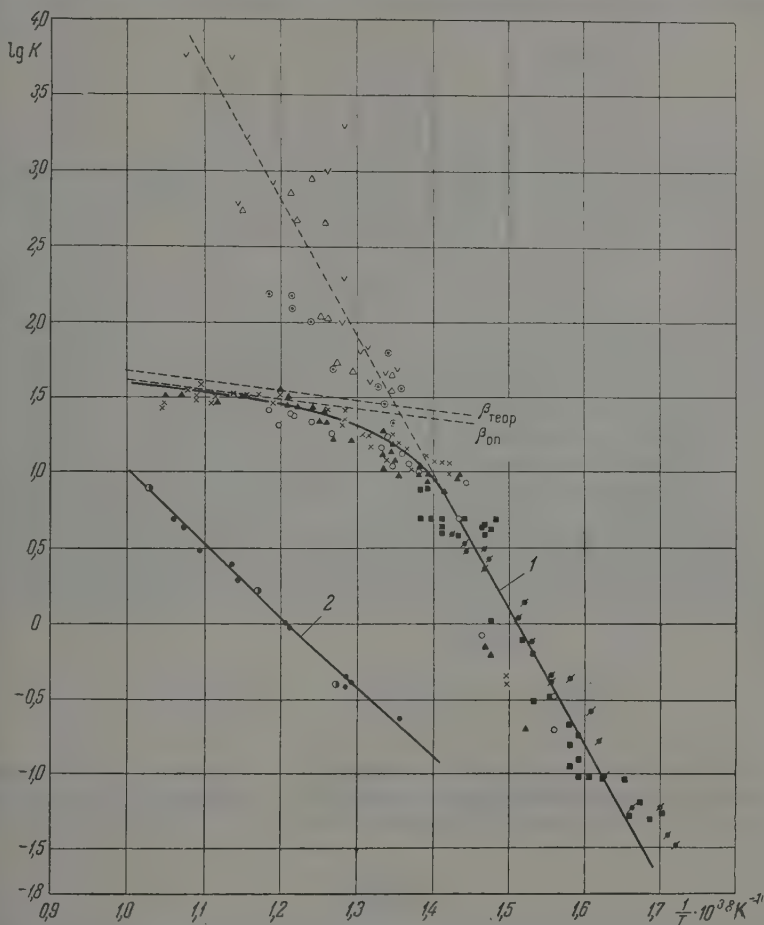


Рис. 5. Зависимость константы скорости поверхностной реакции окисления окиси углерода от температуры: 1 — в платиновом канале; 2 — в медном канале

вызывает значения  $\beta$ , отвечающие опыту, со значениями  $\beta$ , которые вычисляются из соответствующих данных для зависимости

$$Nu = f\left(Pe \frac{d}{L}\right)$$

в случае теплообмена [5, 6]. Этот коэффициент оказался равным 0,88. Используя коэффициент  $a$  и определяя  $\beta$  для каждой экспериментальной точки, из рис. 4 можно вычислить соответствующие значения  $k$ . Результаты представлены на рис. 5 пунктирной линией, передающей зависимость  $k$  от  $1/T$  для всей исследованной области температур. Расчетные точки имеют значительно больший разброс, чем исходные экспериментальные точки, что связано с характером расчетных соотношений (разность обрат-

ных величин  $k^*$  и  $\beta$ ). В силу этого в рассматриваемой части прямая проводится на пунктиром. Из данных следует, что величина энергии активации поверхностной реакции окисления окиси углерода на платине составляет  $E_k = 45\,000$  кал/моль; соответствующее значение  $k_0 = 10^{15}$ . Кинетическое уравнение при этом имеет вид

$$\frac{d[\text{CO}_2]}{dt} = 10^{15} [\text{CO}] e^{-45000/RT} \text{ моль / см}^2\text{сек},$$

где  $[\text{CO}]$  — молярная концентрация окиси углерода.

Горение окиси углерода в медном канале. Опыты проводились в области температур  $450\text{--}730^\circ$ , при скорости потока реагирующей смеси в канале  $6\text{--}15$  м/сек и при начальных концентрациях окиси углерода  $3\text{--}5\%$ . Остальные условия были аналогичны условиям опытов в платиновом канале.

Результаты опытов, представленные на рис. 5, показывают, что процесс окисления окиси углерода в медном канале при низких скоростях потока начинается при  $440^\circ$ ; при  $660\text{--}700^\circ$  окисление в медном канале достигает  $80\%$ . При более высокой температуре ( $800^\circ$ ) стенки канала покрывались слоем окиси меди, что заметно снижало степень окисления; например при  $760^\circ$  окисление составляло  $40\%$ .

Данные опытов, представленные, как и в случае платины, в координатах  $\lg K$ ,  $1/T$ , показаны на рис. 3. Используя ранее описанную методику учета объемного горения и расчет  $k^*$ , можно оценить роль гомогенного процесса и диффузии реагентов к стенке, а также определить значения  $k$  во всей области температур. Результаты подобных расчетов приведены на рис. 5. Из этих данных следует, что в случае медного канала энергия активации составляет  $E_k = 22\,000$  кал/моль и  $k_0 = 10^6$ . Диффузионный предел процесса расположен в области температур  $900^\circ$  С. Кинетическое уравнение в этом случае имеет вид.

$$\frac{d[\text{CO}_2]}{dt} = 10^6 [\text{CO}] e^{-22000/RT} \text{ моль / см}^2\text{сек}.$$

Автор выражает глубокую признательность чл.-кор. Л. Н. Хитрику за помощь в работе и благодарит проф. М. В. Равича и ст. научного сотрудника О. А. Цуханову за ценные советы.

### Выводы

1. Опыты в платиновом канале позволили исследовать гетерогенный процесс на платине в интервале температур  $320\text{--}650^\circ$  С и определить в условиях опыта константу диффузии. Показано, что процесс горения окиси углерода на платине характеризуется высокой энергией активации (около  $45\,000$  кал/моль) и большой величиной предэкспоненциального множителя. Соответственно этому даже в исследованном узком канале процесс гетерогенного горения окиси углерода на платине уже в области  $400^\circ$  С быстро переходит к предельному диффузионному режиму горения и в силу этого слабо зависит от температуры.

2. На основании полученных в опытах в кварцевом канале данных о константе объемного горения окиси углерода и значений константы диффузии оказалось возможным определить кинетические характеристики поверхностной реакции горения окиси углерода на платине и на медь.

## ЛИТЕРАТУРА

1. Л. С. Соловьева, Ж. физ. химии, 33, 1813, 8, 1959.
2. Н. А. Каржавина, Ж. физ. химии, 19, 551, 1945.
3. Г. И. Козлов, Инж.-тех. ж., I, № 11, 24, 1958.
4. Г. К. Соболев, Инж.-тех. ж., I, № 5, 34, 1958.
5. М. А. Михеев, Основы теплоотдачи, ГЭИ, 1947.
6. В. С. Яблонский и П. П. Шумилов, Практический курс по теории теплопроводности, ОНТИ, 1935.

## DETERMINATION OF THE KINETIC CHARACTERISTICS OF SURFACE REACTIONS IN THE COMBUSTION OF GASES

*L. S. Solov'eva (Moscow)*

## Summary

The use of platinum tube made it possible to investigate heterogeneous reactions on platinum at temperatures ranging from 320 to 650° and to determine the value of the diffusion constant under the experimental conditions. The combustion of carbon monoxide on platinum has been shown to possess a high activation energy (about 45000 cal/mole) and a high value for the frequency factor. In conformity with this already in the region of 400° C the heterogeneous combustion of carbon monoxide even in the narrow capillary used for the experiments becomes limited by diffusion and hence is only slightly dependent upon the temperature.

On the basis of data on the combustion constant of carbon monoxide in space and the values of the diffusion constants it was found possible to determine the kinetic characteristics of carbon monoxide combustion on platinum and copper.

## ПОЛЯРОГРАФИЧЕСКИЕ МАКСИМУМЫ 1-го РОДА

ЗАВИСИМОСТЬ ТОКА МАКСИМУМА ОТ КОНЦЕНТРАЦИИ ВОССТАНАВЛИВАЮЩЕГОСЯ ВЕЩЕСТВА И ЭЛЕКТРОПРОВОДНОСТИ РАСТВОРА

Т. И. Попова и Т. А. Крюкова

Причина появления на кривых сила тока — потенциал полярографических максимумов 1-го рода была установлена А. Н. Фрумкин и Б. П. Брунсом [1] еще в 1934 г.; затем максимумы 1-го рода изучались экспериментально и теоретически многими исследователями [2—10]. До последнего времени, однако, осталась невыясненной сложная зависимость тока максимума 1-го рода от концентрации восстанавливающегося вещества и электропроводности раствора. Неясными остались также и причины остановки движений при росте отрицательного заряда поверхности и форма отрицательного максимума, сильно отличающаяся от формы положительного максимума.

В вопросе о зависимости тока максимума 1-го рода от концентрации существуют большие разногласия. Ряд авторов [11—14] считает эту зависимость линейной; другие [15, 16] полагают, что высота максимума пропорциональна концентрации восстанавливающегося вещества в степени, большей чем единица. По данным [17] показатель степени 1,5, вычисленный из данных Кольтофа и Лингейна (если считать экстраполяцию значений тока правильной), он почти равен двум [18].

В теоретической работе А. Н. Фрумкина и В. Г. Левича [19] показано, что величина тока максимума в известных пределах должна быть пропорциональна квадрату концентрации и обратно пропорциональна корню квадратному из электропроводности раствора. Что касается этой последней зависимости, то давно было замечено, что величина максимума при одинаковой концентрации восстанавливающегося вещества сильно меняется с изменением электропроводности раствора, причем всеми исследователями отмечалось существование некоторых оптимальных условий (концентрации постороннего электролита), при которых максимум имеет наибольшую величину. Концентрация электролита указывается разная: 0,001  $N$   $KCl$  в случае восстановления кислорода [11, 17, 20] и равная концентрации самого восстанавливающегося вещества [21].

Из всех исследований вытекало, что максимум отсутствует при очень малой концентрации постороннего электролита, растет с увеличением последней до определенного предела, а затем падает, совершенно исчезая в концентрированных растворах. Более поздние исследования [22—24] показали неправильность последнего утверждения; в работах [22—24] были приведены примеры максимумов 1-го рода в 1—6  $N$  растворах посторонних электролитов, показано тем самым, что важно не абсолютное значение концентрации постороннего электролита, а соотношение между концентрациями последнего и восстанавливающегося вещества.

Причина сильных расхождений между данными различных исследователей кроется в различии условий проведения опытов и в неучтенных ими факторах: наличии примеси поверхностно-активных веществ в виде так называемых «естественных» полярографических загрязнений и наличии тангенциальных движений поверхности, вызванных вытеканием, действие которых может сильно искажать получаемые результаты.

В нашей работе была поставлена цель изучить зависимость максимумов 1-го рода от концентраций восстанавливающегося вещества и постороннего электролита в условиях, исключающих появление максимумов 2-го рода при практическом отсутствии поверхностно-активных веществ.

## Экспериментальная часть

Измерения с капельным электродом проводились нами в приборе, описанном ранее [25]. Для проведения опытов, в которых исключалось и радиальное движение поверхности капли, связанное с ее ростом, был сделан прибор, изображенный на рис. 1.

В средней части прибора на шлифе был укреплен катод 1, состоящий из капилля-



ра с внутренним диаметром 1 мм. Капилляр соединялся через кран с резервуаром для ртути 2, а последний через отвод 3 с грушей для создания давления. Ртуть при открытии крана 4 выдавливалась из капилляра, и, как только образовывалась капля нужной величины, кран закрывался. В качестве анода служил платиновый диск 5 диаметром 1 см, вводимый в электролитическую ячейку через крышку 6 с ртутным затвором. Поляризация неподвижного ртутного электрода и измерения тока осуществлялись таким же образом, как у обычного капельного электрода. Потенциал катода измерялся при помощи вспомогательного 0,01N каломельного электрода, сифон которого 8 через отвод соплифом 9 подводился к поверхности капли на расстоянии 0,1 мм. Кончик сифона путем поворота шлифа 9 можно было бы на время измерения силы тока отводить в сторону от ртутной капли.

Раствор заливался в прибор через крышку 6. При помощи U-образной трубки 10 соплифом 11 прибор присоединялся к аппарату для получения чистого водорода. Внутри U-образной трубки был впаян капилляр 12. К капилляру припаяна идущая от нижней части прибора отводная трубка 13. Раствор из нижней части прибора перекачивался в верхнюю по трубке 14, и таким образом осуществлялось перемешивание раствора. Водород выводился из прибора через трубку 15 с водяным затвором. Раствор выливался из прибора через трубку 16.

Размер капли не был одинаковым от опыта к опыту и потому в случае неподвижной капли везде даны плотности тока в  $A/cm^2$ , а не полный ток на каплю, как в случае капельного электрода.

Для изучения зависимости величины тока максимума от концентрации восстанавливающегося вещества были выбраны три существенно разные

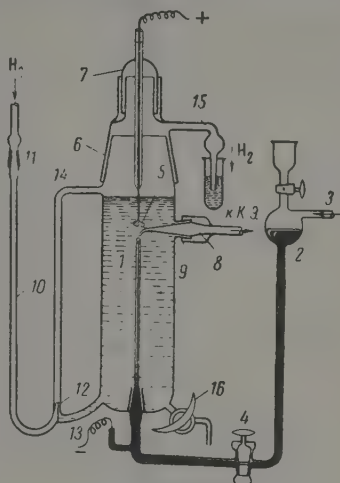


Рис. 1. Сосуд для измерений с неподвижной каплей ртути

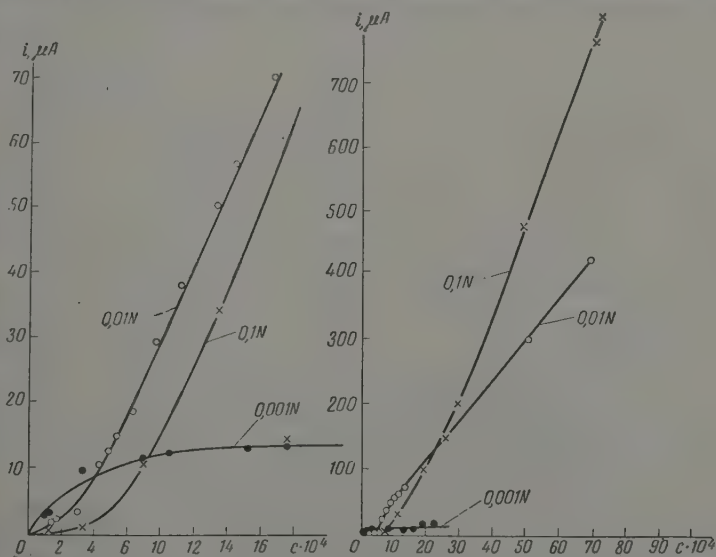


Рис. 2. Зависимость величины тока максимума от концентрации ртути в растворах KCl различной концентрации (капельный электрод)

концентрации постороннего электролита (KCl или  $KClO_4$ ): 0,1; 0,01; 0,001N. На рис. 2 приведены кривые, выражающие эту зависимость, полученные с капельным электродом. Из рисунка видно, что при малых кон-

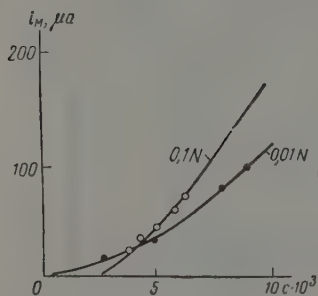


Рис. 3

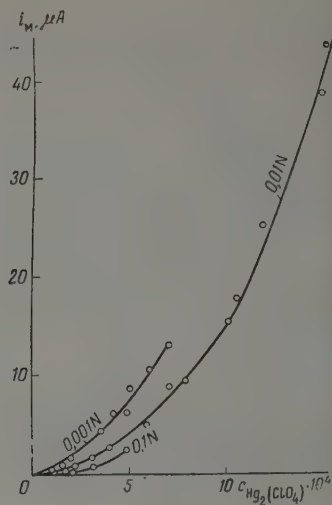


Рис. 4

Рис. 3. Зависимость величины тока максимума от концентрации цинка в растворах KCl различной концентрации (капельный электрод)

Рис. 4. Зависимость величины максимума от концентрации ртути ( $\text{Hg}_2(\text{ClO}_4)_2$ ) в растворах  $\text{KClO}_4$  различной концентрации (неподвижная ртутная капля)

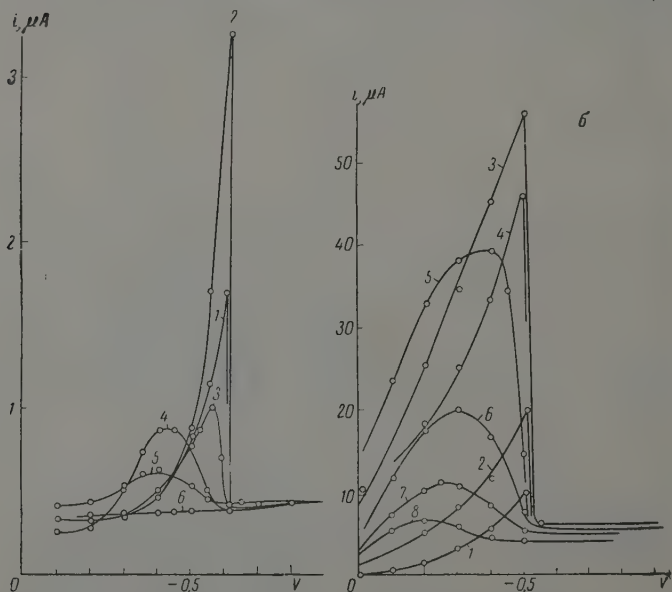


Рис. 5. Поляризационные кривые, снятые в растворах: а— $10^{-2} \text{N}$   $\text{Hg}_2(\text{ClO}_4)_2 + \text{KClO}_4$ . Концентрация  $\text{KClO}_4$ : 1— $2 \cdot 10^{-4}$ ; 2— $10^{-3}$ ; 3— $4 \cdot 10^{-3}$ ; 4— $6 \cdot 10^{-3}$ ; 5— $10^{-2}$  и 6— $1,5 \cdot 10^{-2} \text{N}$ ; б— $10^{-2} \text{N}$   $\text{Hg}_2(\text{ClO}_4)_2 + \text{KClO}_4$ . Концентрация  $\text{KClO}_4$ : 1— $2 \cdot 10^{-4}$ ; 2— $10^{-3}$ ; 3— $10^{-2}$ ; 4— $5 \cdot 10^{-2}$ ; 5— $10^{-1}$ ; 6— $5 \cdot 10^{-1}$ ; 7— $1 \text{N}$ , 8— $2 \text{N}$

центрациях ионов ртути положительный максимум не возникает. При увеличении концентрации ртути появляется максимум при тем меньшей концентрации, чем меньше электропроводность раствора.

Аналогичная зависимость тока максимума от концентрации восстанавливающегося вещества наблюдается, как видно из рис. 3, и в случае отрицательного максимума цинка (капельный электрод). Кривые  $i_m$  — с для разных электропроводностей электролита и в этом случае пересекаются.

Опыты, сделанные с неподвижной каплей ртути, показывают, что характер зависимости тока максимума от концентрации остается тем же самым, как и для капельного электрода (рис. 4).

Исследовалось изменение тока максимума в зависимости от электропроводности раствора. На рис. 5 приведены кривые, полученные на капельном электроде в растворах  $KClO_4$  при постоянных концентрациях ртути ( $10^{-4}$  и  $10^{-3}$  N). Как видно из рис. 5, при очень малой электропроводности раствора максимум отсутствует, при ее увеличении появляется острый максимум, возрастающий до некоторого наибольшего значения; при

дальнейшем увеличении электропроводности максимум приобретает все более округлую форму и постепенно уменьшается, пока, наконец, совсем не исчезает при определенной концентрации постороннего электролита, превышающей концентрацию восстанавливающегося вещества примерно в 200—250 раз. Типичная кривая изменения тока максимума с электропроводностью раствора приведена на рис. 6. Из приведенных выше данных

концентрация ионов ртути и цинка и соответствующие оптимальные электропроводности раствора (капельный электрод)

Концентр. ионов ртути, г-экв/л	Оптимальная электропроводн., $\Omega^{-1} \text{ см}^{-1}$	Концентрац. ионов цинка, г-экв/л	Оптимальная электропроводн., $\Omega^{-1} \text{ см}^{-1}$
$1,0 \cdot 10^{-4}$	$1,94 \cdot 10^{-4}$	$9,4 \cdot 10^{-4}$	$1,35 \cdot 10^{-3}$
$2,17 \cdot 10^{-4}$	$2,81 \cdot 10^{-4}$	$4,3 \cdot 10^{-3}$	$6,3 \cdot 10^{-3}$
$1,09 \cdot 10^{-3}$	$1,55 \cdot 10^{-3}$	$8,3 \cdot 10^{-3}$	$1,3 \cdot 10^{-2}$
$1,74 \cdot 10^{-3}$	$2,55 \cdot 10^{-3}$		

электропроводности как для ионов ртути, так и для ионов цинка.

В исследованном интервале концентраций оптимальная электропроводность связана линейной зависимостью с концентрацией восстанавливающегося иона:

$$\kappa_{\text{опт}} = 1,5c,$$

если  $c$  выражено в г-экв/л, а  $\kappa$  — в  $\Omega^{-1} \text{ см}^{-1}$ .

В случае неподвижного ртутного электрода оптимальная электропроводность связана с концентрацией иной зависимостью, например:

Концентрация ионов ртути, г-экв/л	Оптимальная электропроводность, $\Omega^{-1} \text{ см}^{-1} \cdot 10^4$
$1,0 \cdot 10^{-4}$	0,98
$4,9 \cdot 10^{-4}$	2,41
$1,2 \cdot 10^{-3}$	2,6

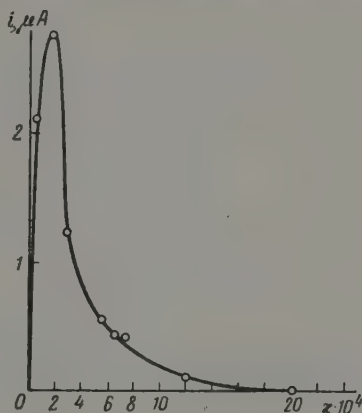


Рис. 6. Зависимость величины тока максимума от электропроводности при концентрации ртути  $10^{-4}$  N  $Hg_2(ClO_4)_2$

следует, что существует определенная электропроводность раствора, при которой ток максимума имеет наибольшее значение. Эту электропроводность мы в дальнейшем будем называть оптимальной электропроводностью. В таблице приведены значения оптимальной электро-

Форма отрицательных максимумов, получающихся, например, при разряде ионов цинка, сильно отличается от формы положительных максимумов (например, максимумов ртути). Отрицательный максимум проявляется только при потенциале полувольты, и ток начинается при потенциалах, при которых еще не достигнут предельный ток (рис. 7). Это особенно отчетливо видно на кривых  $i - \varphi$ , полученных с неподвижным каплевым электродом, но можно наблюдать и на обычном каплевым электроде при медленном изменении налагаемого напряжения.

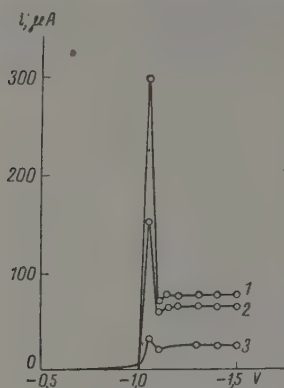


Рис. 7. Поляризационные кривые, снятые в 0,1 M KCl + ZnCl<sub>2</sub>. Концентрация Zn<sup>2+</sup>: 1—10<sup>-2</sup>; 2—8·10<sup>-3</sup>; 3—3,44·10<sup>-3</sup> N (капельный электрод)

(автоматическая запись поляризационных кривых, как правило, не дает возможности наблюдать эту особенность). Такие максимумы можно найти в работах [26, 27].

### Обсуждение результатов

Скорость тангенциального движения поверхности  $v_t$ , обуславливающего на кривой  $i - \varphi$  появление максимумов 1-го рода, согласно теории А. Н. Фрумкина и В. Г. Левича [19], определяется при прочих равных условиях величинами разности потенциалов вдоль капли  $\Delta\Phi$  и заряд поверхности  $\epsilon$ :

$$v_t = \frac{1}{2} \frac{\Delta\Phi\epsilon}{2\mu + 3\mu' + (\epsilon^2/\kappa)}, \quad (1)$$

где  $\Delta\Phi$ , в свою очередь, пропорционально напряженности электрического поля  $E$  и радиусу капли  $a$ :

$$\Delta\Phi = 3aE = 3a \frac{i_M}{\kappa}. \quad (2)$$

Величина  $\epsilon^2/\kappa$ , имеющая размерность вязкости, является в уравнении (1) количественным выражением эффекта торможения тангенциального движения. Величина тока, увеличенного тангенциальными движениями поверхности капли ртути, может быть представлена как функция соотношения скорости движения к напряженности поля при радиусе капли равном единице, т. е. величины  $Z$ , названной А. Н. Фрумкиным и В. Левичем удельной подвижностью поверхности:

$$Z = \frac{\epsilon}{2\mu + 3\mu' + (\epsilon^2/\kappa)}. \quad (3)$$

Рассматривая теоретическую зависимость тока максимума 1-го рода от электропроводности раствора, можно показать, что

$$i_M = k\kappa^{-0,5}. \quad (4)$$

Опыт показывает, что уменьшение тока максимума с возрастанием электропроводности при значениях  $\kappa > \kappa_{\text{опт}}$  может быть выражено уравнением:

$$i_M = k\kappa^{-\beta}, \quad (5)$$

где  $-0,6 > \beta > -0,7$ .

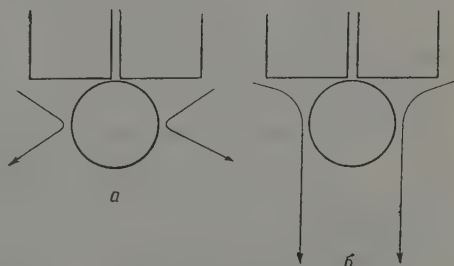


Эта формула выражает зависимость тока максимума от электропроводности раствора как для капельного, так и для неподвижного электродов. Из приведенных данных видно, что при электропроводностях больше оптимальной в случае положительных максимумов 1-го рода результаты опытов приблизительно совпадают с выводами теории. В случае отрицательных максимумов 1-го рода уменьшение тока с увеличением электропроводности в сторону значений, больших, чем оптимальное, происходит быстрее, чем по формуле (5).

Уменьшение тока максимума при уменьшении электропроводности в области малых ее значений и существование оптимальной электропроводности не вытекает непосредственно из указанной выше теории. Существование оптимальной электропроводности можно объяснить, рассматривая зависимость  $\Delta\Phi$  от электропроводности и  $Z$  от потенциала.

При электропроводности, меньшей чем оптимальная, на капле хотя и создается значительное падение потенциала вдоль поверхности, которое могло бы служить источником движения, но подвижность поверхности резко меняется с потенциалом [28]. В результате сильное движение возникает только на очень ограниченном участке поверхности капли, на котором значение потенциала близко к потенциалу наибольшей подвижности. На остальных участках поверхности капли, на которых из-за наличия большого  $\Delta\Phi$  могло бы возбудиться сильное движение, оно не развивается, так как поверхность является практически неподвижной вследствие сильного торможения движений зарядами двойного электрического слоя.

Рис. 8. Визуальные наблюдения движений раствора вблизи поверхности ртутного капельного электрода: — при электропроводности раствора меньше оптимальной; б — при оптимальной электропроводности раствора



Например, на капле с поверхностью  $S = 4 \cdot 10^{-2} \text{ см}^2$  при силе тока  $10^{-6} \text{ А}$  и  $\kappa = 5 \cdot 10^{-5} \text{ Ом}^{-1} \text{ см}^{-1}$ :

$$\Delta\Phi = \frac{3,6 \cdot 10^{-2} \cdot 2 \cdot 10^{-6}}{5 \cdot 10^{-5} \cdot 4 \cdot 10^{-2}} = 0,18 \text{ В.} \quad (6)$$

Подвижность поверхности в этом интервале значений потенциала может измениться более чем в четыре раза.

Визуальные наблюдения над движением раствора возле капли ртути показали, что, действительно, в указанном случае в движении находится лишь очень небольшая часть поверхности капли: движущаяся полоса имеет ширину около 0,1 мм при диаметре капли 1 мм. При увеличении электропроводности при условии сохранения прежней разности потенциалов вдоль капли полоса поверхности капли ртути, находящаяся в движении, сильно расширяется, как это видно из рис. 8.

Зависимость силы тока максимума от концентрации восстанавливаемого вещества может быть выражена эмпирическими уравнениями:

$$i_M = 2,8c_0^{1,6} \quad (\text{для } 0,01N \text{ KCl}); \quad (7)$$

$$i_M = 4,0c_0^{1,7} \quad (\text{для } 0,1N \text{ KCl}); \quad (8)$$

или выразить значение  $i_M$  в микроамперах и  $c_0$  в г-экв/л.

Кривые зависимости тока максимума от концентрации могут быть выражены удовлетворительно этими уравнениями лишь в сравнительно узкой области концентрации ионов ртути: от  $4,0 \cdot 10^{-4}$  до  $4 \cdot 10^{-3} N$  в первом случае и от  $5 \cdot 10^{-4}$  до  $5 \cdot 10^{-3} N$  во втором. Происходит это потому, что при перемене концентрации восстанавливающегося вещества меняется оптимальная электропроводность. Последнее является одной из причин расхождения данных разных исследователей по зависимости величины максимума от концентрации. При постоянной электропроводности зависимость тока максимума от концентрации восстанавливающегося вещества охватывается данным уравнением в интервале изменения концентрации в пределах не более одного порядка.

Указанная выше зависимость в случае восстановления ионов ртути на неподвижной капле может быть выражена аналогичным образом:

$$i_m = 1,5 c_0^{1,6} \quad (\text{для } 0,001N \text{ KCl}); \quad (9)$$

$$i_m = 7,0 c_0^{1,9} \quad (\text{для } 0,01N \text{ KCl}); \quad (10)$$

$$i_m = 7,8 c_0^2 \quad (\text{для } 0,1N \text{ KCl}). \quad (11)$$

Опыты эти, в особенности с растворами KCl 0,01 и 0,1  $N$ , показывают применимость в известной области концентраций восстанавливающегося вещества приближенной формулы А. Н. Фрумкина и В. Г. Левича [19]:

$$j_m = k D x^{-1/2} (2\mu + 3\mu')^{1/2} (n F c_0)^2, \quad (12)$$

где  $j_m$  обозначает плотность тока.

При выводе этого уравнения делалось допущение, что величины падения потенциала вдоль капли невелики. Из опыта видно, что ток максимум в условиях, когда это требование выполнено, действительно пропорционален концентрации в степени, близкой к двум.

Для изучения зависимости величины отрицательных максимумов от концентрации восстанавливающегося вещества были использованы опыты только с 0,01 и 0,1  $N$  растворами хлористого калия (капельный электрод). Отрицательные максимумы цинка появляются лишь при концентрациях значительно больших, чем положительные, и 0,01  $N$  растворы постороннего электролита не могли быть использованы.

Зависимость тока максимума от концентрации ионов цинка (капельный электрод) может быть выражена следующими уравнениями:

$$i_m = 0,3 c_0^{1,7} \quad (0,01N \text{ KCl}); \quad (13)$$

$$i_m = 0,65 c_0^{1,8} \quad (0,1N \text{ KCl}). \quad (14)$$

Зависимость тока максимума от концентрации в случае ионов цинка характеризуется меньшими значениями коэффициентов. Скорости движения поверхности ртутного электрода обычно в 20 раз меньше, чем в аналогичных случаях для положительных максимумов. Из практической полярографии тоже известно, что отрицательные максимумы, как правило, меньше положительных. Причины этого явления разобраны в работе А. Фрумкина и В. Г. Левича [19].

### Выводы

1. Дано объяснение существования оптимальной электропроводности при которой ток максимума имеет наибольшее значение.

2. Зависимость величины положительного максимума 1-го рода электропроводности раствора, при возрастании последней, от оптимального значения выражается уравнением с показателем степени при  $x$  — 0,6 до — 0,7, что близко к теоретическому значению — 0,5.

3. Зависимость величины тока максимума от концентрации восстанавливающегося вещества выражается степенным уравнением с показателем степени при концентрации, равным 1,6—1,8 в случае капельного электрода в условиях обычной полярграфии, и показателем 2, соответствующим теоретическому значению, в случае неподвижной капли ртути.

Академия наук СССР  
Институт электрохимии  
Москва

Поступила  
16.VII.1958

#### ЛИТЕРАТУРА

1. A. Frumkin und B. Bruns, Acta phys.-chim. URSS, 1, 232, 1934.
2. В. П. Брунс, А. Н. Фрумкин, З. А. Иофа, А. В. Ванкова и С. Золотаревская, Ж. физ. химии, 13, 786, 1939.
3. З. А. Иофа и А. Н. Фрумкин, Докл. АН СССР, 20, 293, 1938.
4. Т. А. Крюкова, Б. Н. Кабанов, Ж. физ. химии, 13, 1454, 1939; 15, 475, 1941.
5. Т. А. Крюкова, Ж. физ. химии, 21, 365, 1947.
6. H. Antweiler, Z. Elektrochem., 44, 831, 888, 1938.
7. M. Stackelberg, C. Antweiler und Kieselbach, Z. Elektrochem., 44, 663, 1938.
8. W. Hans u. M. Stackelberg, Z. Elektrochem., 54, 65, 1950; 55, 43, 1951.
9. M. Stackelberg, Naturwissenschaften, 37, 68, 1950; Sbornik I mezinar. polarogr. Sjezdu, 6, 1, 359, 1951. Praha: Fortschr. chem. Forsch., 132, 42, 229, 1951.
10. H. Strehlow, M. Stackelberg, Z. Elektrochem., 54, 51, 1950.
11. P. Herasymenko, Chem. listy, 19, 172, 1925; Trans. Faraday Soc., 24, 267, 1928.
12. Z. Swaer a. K. Suchy, Coll. czechoslov. chem. commun., 7, 25, 1935.
13. Н. Я. Хлопин, Н. А. Рафалович, Г. П. Аксенова, Ж. аналит. химии, 3, 16, 1948; Ж. общ. химии, 18, 1009, 1948.
14. J. Vavru ch, Polarograficke maxime v theorii a praxi, Praha, 1949, Coll. czechoslov. chem. commun., 15, 217, 1950.
15. W. Emelianova, J. Neuyrovsky, Trans. Faraday Soc., 24, 257, 1928.
16. R. Podrouzek, Recueil trav. chim., 44, 591, 1925.
17. P. Herasymenko, J. Neuyrovsky, K. Tančakovsky, Trans. Faraday Soc., 25, 152, 1929.
18. И. М. Кольтгоф и Дж. Лингейн, Полярграфия, Госхимиздат, М.— Л., 1948.
19. А. Фрумкин и В. Левич, Ж. физ. химии, 19, 576, 1945; 21, 1335, 1947.
20. R. Šimunek, Philos. Mag., 7, 951, 1929.
21. M. Dillinger, Coll. czechoslov. chem. commun., 1, 638, 1929.
22. H. Antweiler, Z. Elektrochem., 44, 888, 1938.
23. K. E. Schwarz, H. G. Schröder, M. Stackelberg, Z. Elektrochem., 48, 6, 1942.
24. М. А. Лешкарев и А. А. Крюкова, Ж. физ. химии, 26, 731, 1952.
25. Т. А. Крюкова, Заводск. лаборатория, 14, 765, 1948; Т. А. Крюкова и Б. Н. Кабанов, Ж. общ. химии, 15, 294, 1945; Т. А. Крюкова и А. Н. Фрумкин, Ж. физ. химии, 23, 819, 1949; Т. И. Попова и Т. А. Крюкова, Ж. физ. химии, 25, 283, 1951.
26. V. Cagliotti, G. Sartori, Bianchi, Gazz. chim. ital., 72, 63, 1942.
27. J. Vavru ch, Coll. czechoslov. chem. commun., 15, 217, 1950.
28. Т. А. Крюкова, Ж. физ. химии, 30, 1792, 1956.

#### POLAROGRAPHIC PEAKS OF THE FIRST ORDER. THE DEPENDENCE OF THE PEAK CURRENT ON THE CONCENTRATION OF THE REDUCIBLE SUBSTANCE AND ON THE ELECTROCONDUCTIVITY OF THE SOLUTION

*T. I. Popova and T. A. Kryukova (Moscow)*

#### Summary

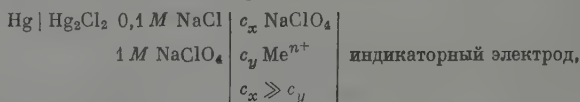
The dependence of the peak current on the concentration of the reducible substance has been determined. This has been found to be expressed by an exponential function with the concentration exponent equal to 1.6—1.8 in the case of the dropping electrode under conditions of conventional polarography and to 2, corresponding to the theoretical value, in the case of a motionless drop.

The optimum electroconductivity of the solution (linearly related to the reducible substance concentration) has been found, at which the current of the first order peak has the greatest value. The dependence of the height of the positive first order peak on the electroconductivity of the solution on increase of the latter from its optimum value is expressed by an equation with the electroconductivity exponent ranging from —0.6 to —0.7, which approaches the theoretical value of —0.5.

## ПОЛЯРОГРАФИЧЕСКОЕ ОПРЕДЕЛЕНИЕ КОЭФФИЦИЕНТА АКТИВНОСТИ ИОНА КАДМИЯ

Я. И. Турьян, Ю. С. Милевский и Б. П. Жанталай

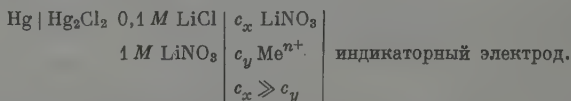
Как известно, при электрохимическом определении коэффициента активности отдельных ионов в широком интервале ионной силы необходим учет диффузионного потенциала на границе с электродом сравнения. Подобная задача может быть достаточно точно решена при помощи следующей гальванической цепи [1]:



использованной [2] для полярографического определения коэффициента активности иона свинца. Диффузионный потенциал на границе с указанным электродом сравнения вычисляется по уравнению:

$$-\varphi_d = 0,059 \frac{U-V}{U+V} \lg \frac{1}{c_x}.$$

В нашем полярографическом исследовании, наряду с гальванической цепью (1), использовалась также цепь:



В отличие от растворов  $\text{NaClO}_4$ , где присутствуют только простые ионы  $\text{Cd}^{2+}$ , в растворе  $\text{LiNO}_3$  возможно образование  $[\text{Cd}(\text{NO}_3)]^+$  [3], что должно быть учтено в расчетах коэффициента активности  $f_{\text{Cd}^{2+}}$ .

Для нахождения  $f_{\text{Cd}^{2+}}$  в  $\text{NaClO}_4$  при различных ионных силах  $\mu$  применялось уравнение [2]:

$$\lg(f_{\text{Cd}^{2+}})_\mu = \frac{[(\varphi_{1/2})_s]_\mu - [(\varphi_{1/2})_s]_{\mu=0}}{0,0295} + \lg \frac{(i_s)_\mu}{(i_s)_{\mu=0}},$$

полученное из известного уравнения Гейровского — Ильковича. Здесь  $[(\varphi_{1/2})_s]_\mu$  — потенциал полуволны  $\text{Cd}^{2+}$  при ионной силе  $\mu$ ,  $[(\varphi_{1/2})_s]_{\mu=0}$  — то же при  $\mu = 0$ ,  $(i_s)_\mu$  — диффузионный ток  $\text{Cd}^{2+}$  при ионной силе  $\mu$ ,  $(i_s)_{\mu=0}$  — то же при  $\mu = 0$ .

При определении  $f_{\text{Cd}^{2+}}$  в растворе  $\text{LiNO}_3$  использовалось уравнение

$$\lg \frac{(f_{\text{Cd}^{2+}})_\mu}{1 + K_1^0(f_{\text{Cd}^{2+}})_\mu c_{\text{NO}_3^-}} = \frac{[(\varphi_{1/2})_c]_\mu - [(\varphi_{1/2})_c]_{\mu=0}}{0,0295} + \lg \frac{(i_c)_\mu}{(i_c)_{\mu=0}},$$

полученное нами из уравнения ДеФорда и Юма [4] при учете, наряду с ионами  $\text{Cd}^{2+}$ , также  $[\text{Cd}(\text{NO}_3)]^+$  и принимая  $f_{\text{NO}_3^-} = f_{[\text{Cd}(\text{NO}_3)]^+}$ ,  $K_1^0$  — термодинамическая константа устойчивости  $[\text{Cd}(\text{NO}_3)]^+$ , равная 2, [3],  $c_{\text{NO}_3^-}$  — концентрация  $\text{LiNO}_3$  в моль/л.



Остальные величины обозначают то же, что и в уравнении (4), но относятся к раствору  $\text{LiNO}_3$ .

Полярографические характеристики кадмия и рассчитанные  $f_{\text{Cd}^{2+}}$  при различной концентрации  $\text{NaClO}_4$  и  $\text{LiNO}_3$  представлены в таблице ( $m^{1/2}t^{1/2} = 1,35 \text{ мг}^{1/2}\text{сек}^{-1/2}$ ,  $c_{\text{Cd}^{2+}} \approx 1 \cdot 10^{-4} \text{ моль/л}$ ,  $t = 25^\circ$ ).  $\varphi_{1/2}$  выражены относительно соответствующего электрода сравнения (1) (3) и исправлены на

$\mu$ , моль/л	$\text{NaClO}_4$				$\text{LiNO}_3$			
	$-\varphi_{1/2}$ , V	$i_d$ , $\mu\text{A}$	$f_{\text{Cd}^{2+}}$	$f_{\text{Cd}^{2+}}[10]$	$-\varphi_{1/2}$ , V	$i_d$ , $\mu\text{A}$	$f_{\text{Cd}^{2+}}$ без учета комплекс- сообразов.	$f_{\text{Cd}^{2+}}$ с учетом комплекс- сообразов.
0,000	0,6345	0,62	1	1	0,6505	0,61	1	1
0,010	0,6430	0,74	0,615	0,657*	—	—	—	—
0,020	—	—	—	—	0,6596	0,62	0,500	0,513
0,025	0,6454	0,78	0,537	—	—	—	—	—
0,030	—	—	—	0,549	0,6607	0,64	0,473	0,492
0,035	0,6484	0,80	0,434	—	0,6605	0,64	—	—
0,050	0,6496	0,76	0,376	—	—	—	—	—
0,060	—	—	—	0,473	—	—	—	—
0,100	0,6547	0,77	0,256	0,417	0,6680	0,64	0,267	0,286
0,200	0,6561	0,77	0,230	—	—	—	—	—
0,300	0,6564	0,79	0,230	0,352	0,6719	0,65	0,197	0,232
0,600	0,6570	0,76	0,211	0,304	0,6753	0,67	0,156	0,205
1,000	0,6524	0,72	0,286	—	0,6755	0,63	0,147	0,235
2,000	0,6452	0,68	0,475	—	0,6707	0,59	0,200	—
3,000	0,6374	0,66	0,850	—	0,6625	0,55	0,354	—
4,000	0,6151	0,53	3,89	—	0,6501	0,50	0,849	—

\*  $\mu = 0,012$ .

ическое падение напряжения, а также на величину диффузионного потенциала.

$(i_s)_{\mu=0}$  и  $(i_c)_{\mu=0}$  находились экстраполяцией кривой  $(i)_{\mu} - \mu$  к  $\mu = 0$  (с. 1).  $(i_s)_{\mu}$  в  $\text{LiNO}_3$  незначительно изменялся с концентрацией фона (с. 1), что дало возможность определить с достаточной точностью и  $(i_c)_{\mu=0}$  ( $\text{NaClO}_4$ ), так как  $(i_s)_{\mu=0} = (i_c)_{\mu=0}$ .  $(i_s)_{\mu}$  и  $[(\varphi_{1/2})_c]_{\mu=0}$  определялись же экстраполяцией к  $\mu = 0$ . При этом предварительно вычислялись

$$(\varphi_{1/2})_{\text{испр}} = (\varphi_{1/2})_{\mu} + 0,0295 \lg \frac{(i)_{\mu}}{(i)_{\mu=0}}, \quad (6)$$

строились графики  $(\varphi_{1/2})_{\text{испр}} - \sqrt{\mu}$  (с. 1), из которых следует наличие линейной зависимости  $(\varphi_{1/2})_{\text{испр}} - \sqrt{\mu}$  от  $\mu = 0,05 - 0,1$  с наклоном 0, что согласуется с предельным законом Дебая. Дебаевская область концентраций показана также пунктирной прямой на рис. 2.

Из рис. 2 видно, что зависимость  $f_{\text{Cd}^{2+}} - \mu$ , как и зависимость  $f_{\text{Pb}^{2+}} - \mu$  [2], идет через минимум, находящийся при  $\mu = 0,3 - 0,6$ . При  $\mu \approx 3$  приближается к единице и при дальнейшем увеличении  $\mu$  становится значительно больше единицы. Как и следовало ожидать, при малых  $\mu$

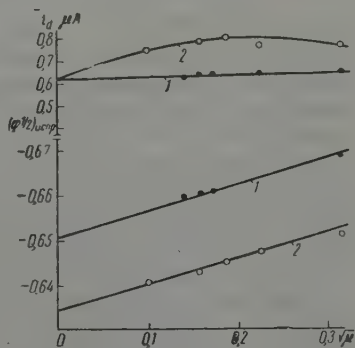


Рис. 1. Зависимости  $i_d - \sqrt{\mu}$  и  $(\varphi_{1/2})_{\text{испр}} - \sqrt{\mu}$ : 1— $\text{LiNO}_3$ ; 2— $\text{NaClO}_4$ .

(до 0,05),  $f_{\text{Cd}^{2+}} \approx f_{\text{Pb}^{2+}}$  (рис. 2), а при больших  $\mu$   $f_{\text{Pb}^{2+}}$  несколько больше  $f_{\text{Cd}^{2+}}$ . Прохождение кривой  $f_{\text{Cd}^{2+}} - \mu$  через минимум объясняет уже наблюдавшийся в литературе [5] минимум на кривой зависимости  $(\varphi_{1/2})_{\text{Cd}}$  от концентрации фона.

$f_{\text{Cd}^{2+}}$  в  $\text{LiNO}_3$ , рассчитанные с учетом и без учета комплексообразования (таблица), при  $c_{\text{NO}_3^-} \leq 0,1 \text{ M}$  практически совпадали. При больших  $c_{\text{NO}_3^-}$  необходим учет комплексообразования. Интересно отметить,

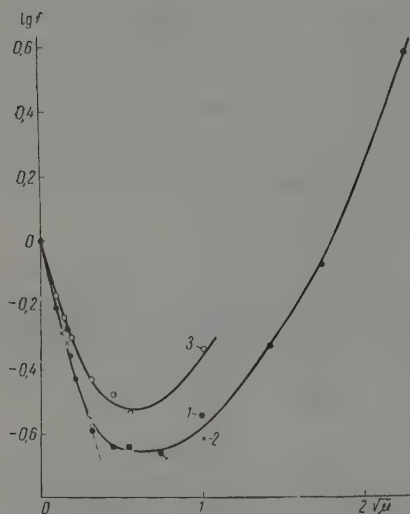


Рис. 2. Зависимость  $\lg f - \sqrt{\mu}$ : 1 —  $\text{Cd}^{2+}$  в  $\text{NaClO}_4$ ; 2 —  $\text{Cd}^{2+}$  в  $\text{LiNO}_3$ ; 3 —  $\text{Pb}^{2+}$  в  $\text{NaClO}_4$

найденные с учетом комплексообразования  $f_{\text{Cd}^{2+}}$  в  $\text{LiNO}_3$  при  $\mu \leq 0,1$  оказались близкими к соответствующим  $f_{\text{Cd}^{2+}}$  в  $\text{NaClO}_4$  (таблица). Аналогичные расчеты для  $c_{\text{NO}_3^-} > 1 \text{ M}$  привели к физически нереальным  $f_{\text{Cd}^{2+}}$ , что, по-видимому, объясняется нарушением равенства  $f_{\text{NO}_3^-} = f_{[\text{Cd}(\text{NO}_3)]^+}$ .

Следует отметить, что это равенство нарушается в какой-то мере и в случае хлористых и роданистых комплексов кадмия, видно из следующего сопоставления ( $K_{[\text{CdX}]^+}$  — стехиометрическая константа устойчивости  $[\text{CdX}]^+$ )

$$\frac{(K_{\text{CdCl}})_{\mu=2}}{(K_{\text{CdCl}})_{\mu=1}} = 1,2 [6] \quad \text{и} \quad \frac{(f_{\text{Cd}})_{\mu=2}}{(f_{\text{Cd}})_{\mu=1}} =$$

$$\frac{(K_{\text{CdCl}})_{\mu=3}}{(K_{\text{CdCl}})_{\mu=2}} = 1,3 [6] \quad \text{и} \quad \frac{(f_{\text{Cd}})_{\mu=3}}{(f_{\text{Cd}})_{\mu=2}} =$$

$$\frac{(K_{\text{Cd}(\text{CNS})})_{\mu=3}}{(K_{\text{Cd}(\text{CNS})})_{\mu=2}} = 2,0 - 2,2 [7 - 9]$$

$$\frac{(f_{\text{Cd}})_{\mu=3}}{(f_{\text{Cd}})_{\mu=2}} = 1,8.$$

Тем не менее, анализ изменения как первой, так и последующих стехиометрических констант устойчивости хлористых и роданистых комплексов кадмия и свинца с изменением  $\mu$  (в области больших  $\mu$ ) показывает, главную роль в этом играет изменение  $f_{\text{Me}^{2+}}$  с изменением  $\mu$ .

В таблице приводятся для сравнения  $f_{\text{Cd}^{2+}}$ , найденные [10] потенциометрическим методом в растворах  $\text{Cd}[\text{CCl}_3\text{COO}]_2$ . При малых  $\mu$  ( $\leq 0,1$ ) наши результаты хорошо согласуются с данными [10]. При больших  $\mu$  различие в соответствующих значениях  $f_{\text{Cd}^{2+}}$  объясняется, по-видимому, значительным различием в природе электролитов  $\text{NaClO}_4$  и  $\text{Cd}[\text{CCl}_3\text{COO}]_2$ .

В заключение отметим, что использование нашей величины  $(f_{\text{Cd}^{2+}})_{\mu=0,1} = 0,256 - 0,286$  для расчета  $(\varphi_{1/2})_{\text{Cd}}$  [5] вместо несколько большего  $(f_{\text{Cd}^{2+}})_{\mu=0,1} = 0,41$  [5] дает лучшее совпадение  $(\varphi_{1/2})_{\text{расч}}$  с  $(\varphi_{1/2})_{\text{эксп}}$ .

### Выводы

1. Полярографическим методом с применением специальной гальванической цепи, позволившей достаточно точно рассчитать диффузионный потенциал, определены коэффициенты активности простого иона кадмия в отсутствие комплексообразования (растворы  $\text{NaClO}_4$ ) и при частичном образовании комплекса  $\text{CdNO}_3^+$  (растворы  $\text{LiNO}_3$ ) в широком интервале ионной силы ( $\mu$ ).

2. Показано, что потенциал полуволны кадмия, исправленный на изменение диффузионного тока, линейно меняется с  $\sqrt{\mu}$  вплоть до  $\mu = 0,05 - 0,1$ , что связано с изменением коэффициента активности по ределльному закону Дебая.

3. Зависимость  $f_{\text{Cd}^{2+}} - \mu$  проходит через минимум при  $\mu = 0,3 - 0,6$ . При  $\mu \cong 3 f_{\text{Cd}^{2+}}$  приближается к единице и при дальнейшем увеличении  $\mu$  становится значительно больше 1.

4.  $f_{\text{Cd}^{2+}}$  в  $\text{LiNO}_3$ , рассчитанные с учетом и без учета комплексообразования, при  $C_{\text{NO}_3^-} \leq 0,1 M$  практически совпадали между собой и с  $f_{\text{Cd}^{2+}}$  в  $\text{NaClO}_4$ . При  $C_{\text{NO}_3^-} > 0,1 M$  вплоть до  $1 M$  учет комплексообразования приводит к таким же значениям  $f_{\text{Cd}^{2+}}$ , что и в растворах  $\text{NaClO}_4$ .

Кишиневский государственный  
университет

Поступила  
21.VII.1958

#### ЛИТЕРАТУРА

- H. M. Hershenson, M. E. Smith a. D. N. Hume, J. Amer. Chem. Soc., 75, 507, 1953.  
P. Papoffe M. Caliumi, Gazz. chim. ital., 84, 1006, 1954.  
E. C. Righellato a. C. W. Davies, Trans. Faraday Soc., 26, 592, 1930.  
D. D. DeFord a. D. N. Hume, J. Amer. Chem. Soc., 73, 5321, 1951.  
D. D. DeFord a. D. L. Andersen, J. Amer. Chem. Soc., 72, 3918, 1950.  
C. E. Vanderzee a. H. J. Dawson, J. Amer. Chem. Soc., 75, 5659, 1953.  
I. Zeden, Z. phys. Chem., A188, 160, 1941.  
D. N. Hume, D. D. DeFord a. G. C. B. Cave, J. Amer. Chem. Soc., 73, 5323, 1951.  
Я. И. Турьян, Н. И. Бондаренко, Ж. неорган. химии, 4, 1070, 1959.  
F. Kertesz, J. chim. phys., 35, 367, 1938.

#### POLAROGRAPHIC DETERMINATION OF THE ACTIVITY COEFFICIENTS OF CADMIUM

Ya. I. Tur'yan, Yu. S. Milyavskiy and B. P. Zhantalai (Severodonetsk)

#### Summary

The activity coefficients of the simple cadmium ion in the absence of complexation ( $\text{NaClO}_4$  solutions) and in the partial formation of the  $\text{CdNO}_3^+$  complex ( $\text{LiNO}_3$  solution) have been determined over a wide range of ionic strengths ( $\mu$ ) by a polarographic method, employing a special galvanic circuit that permitted calculation of the diffusion potential with sufficient accuracy.

The half wave potential of cadmium corrected for the changes in the diffusion current has been shown to vary linearly with  $\sqrt{\mu}$  all the way up to  $\mu = 0.05 - 0.1$ , a fact that is connected with change in the activity coefficient according to Debye's law. The  $f_{\text{Cd}^{2+}} - \mu$  relation passes through a minimum at  $\mu = 0.3 - 0.6$ . At a value of  $\mu \cong 3 f_{\text{Cd}^{2+}}$  approaches unity, becoming considerably more than unity on further increase  $\mu$ .

The values of  $f_{\text{Cd}^{2+}}$  in  $\text{LiNO}_3$  calculated with and without account of complexation  $C_{\text{NO}_3^-} \leq 0.1 M$  practically coincided with each other and with  $f_{\text{Cd}^{2+}}$  in  $\text{NaClO}_4$ . For  $C_{\text{NO}_3^-} > 0.1 M$  up to  $1 M$  correction for complexation leads to the same values of  $f_{\text{Cd}^{2+}}$  as the case of  $\text{NaClO}_4$  solutions.

## СВОЙСТВА МЕТАЛЛИЧЕСКИХ РАСТВОРОВ

## VI. ВЛИЯНИЕ ПРИМЕСЕЙ ИНДИЯ И ГЕРМАНИЯ НА ПОВЕРХНОСТНОЕ НАТЯЖЕНИЕ, И МИКРОСТРУКТУРУ ОЛОВА

Н. Л. Покровский и Д. С. Тиссен

Уже неоднократно отмечался [1—3] как теоретический, так и практический интерес изучения влияния малых примесей на поверхностное натяжение ( $\sigma$ ) жидких металлов, а при их переходе в твердое состояние действия на микроструктуру, микротвердость, температуру рекристаллизации и другие свойства. В нашей работе была поставлена задача получить новые экспериментальные данные, характеризующие поведение примесей на жидкой и твердой поверхности олова. На этот раз при выборе примесей были приняты во внимание не только их возможные активные и инактивные свойства [1], но также были учтены растворимость примесей как в твердом, так и в жидком олове, их значения  $\sigma$  в чистом виде, температуру плавления и другие свойства. Нас интересовали примеси, обладающие, во-первых, близкими значениями  $\sigma$  по сравнению с таковым для олова; во-вторых, примеси с резко различными температурами плавления, по сравнению с чистым оловом, и растворимые в нем как в жидком, так и в твердом состоянии. Оказалось, что всем этим условиям вполне отвечают примеси индия и германия (таблица).

Физико-химические данные для олова, индия и германия

Элемент	Т. пл., °C	Плотность, г/см <sup>3</sup> при 20°	$\sigma$ вблизи точки плавления, дн/см	Растворимость в твердом состоянии, ат. %
Олово	231,9	7,30	544	
Индий	156,4	7,30	559 [4]	6 [5]
Германий	959	5,36	600 [6]	>0,5 [7,8]

## Экспериментальная часть

Измерения поверхностного натяжения олова и его растворов с индием и германием проводились по методу максимального давления в капле в приборе, конструкция которого уже подробно описана в одной из наших работ [9]. Там же приведено описание всей установки в целом, техники постановки опытов, приготовления растворов и т. п. В качестве дополнения здесь мы остановимся на одном методическом вопросе, который, по нашему мнению, имеет существенное значение. Выяснилось, что при подготовке для наших опытов, изготавливавшиеся из стекла марки № 46 (так называемого «либденового» стекла), после окончательного промывания дистиллированной водой нельзя сушить при нагревании. При этом влага действует на стекло, образуя на поверхности налеты. Особенно от этого страдают стенки капилляра, представляющие собой наиболее важную деталь прибора, так как на его горизонтальном срезе и происходит образование металлических капель. По нашим наблюдениям в приборе, такими капиллярами в некоторый момент после 15—20 согласующихся измерений капли жидкого металла начинали срываться, не достигая среза капилляра. По-видимому, происходило смачивание жидким металлом разъемных стенок капилляра и обычное образование металлических капель на срезе капилляра прекращалось. Подобное явление было описано в работе [4], посвященной измерениям капиллярным методом поверхностного натяжения олова, свинца и индия, авторы которой сушили свои кварцевые капилляры в пламени горелки.



Поверхностное натяжение олова, неоднократно определявшееся различными авторами, изучено достаточно полно, и литературные данные находятся в удовлетворительном согласии. Тем не менее, представляло интерес измерить  $\sigma$  олова, очищенного зонной плавкой, содержавшего суммарное количество примесей меньше, чем  $2 \cdot 10^{-4}$  вес. %. Мы впервые получили возможность работать с оловом такой чистоты. Отсутствие в нем значительных количеств примесей давало повод предположить, что такое олово должно обладать наиболее высоким  $\sigma$ . Однако это не подтвердилось. Значение  $\sigma$  для олова, очищенного зонной плавкой, оказалось совпадающим с таковым для олова, очищенного нагреванием при  $1000^\circ$  в вакууме (рис. 1). Это можно объяснить тем, что примеси с малой пружистостью пара (железо, медь и др.), удаляемые зонной плавкой, неактивны на поверхности жидкого олова. Для таких технологических примесей, как свинец, висмут и сурьма, активных по отношению к жидкому олову, оба метода очистки оказываются одинаково эффективными [10].

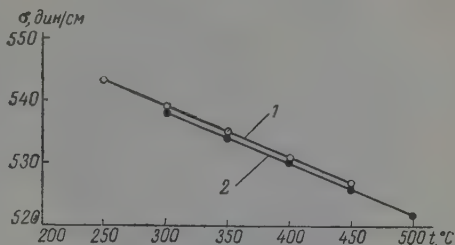


Рис. 1. Зависимость поверхностного натяжения олова от температуры: 1 — олово, очищенное зонной плавкой; 2 — олово, очищенное высокотемпературным прогревом в вакууме

Поверхностное натяжение растворов олово — индий изучалось в интервале температур  $250$ — $500^\circ$  с концентрациями индия от  $0,34$  до  $2,42$  ат. %. Содержание примесей в применявшемся индии было не выше  $1 \cdot 10^{-3}$  вес. %. Благодаря близким значениям плотности олова и индия изучение  $\sigma$  этих растворов облегчалось, так как не было необходимости в измерениях их плотности. Для вычисления  $\sigma$  этих растворов пользовались соответствующими значениями плотности чистого олова.

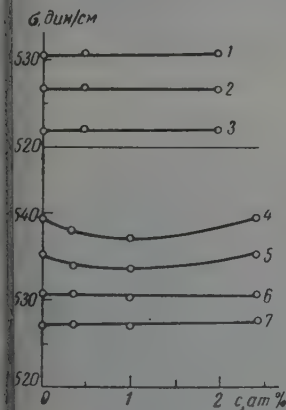


Рис. 2. Влияние на поверхностное натяжение олова примесей германия: 1 —  $400^\circ$ , 2 —  $450^\circ$ , 3 —  $500^\circ$ ; индия: 4 —  $300^\circ$ , 5 —  $350^\circ$ , 6 —  $400^\circ$ , 7 —  $450^\circ$

Результаты измерений представлены на рис. 2. Оказывается, что для менее концентрированных растворов в интервале температур  $300$ — $350^\circ$  наблюдается слабое понижение  $\sigma$  олова. В дальнейшем, с ростом концентрации индия и повышением температуры  $\sigma$  олова увеличивается. Обнаруженный эффект выражен очень слабо и лишь слегка превышает ошибку опыта ( $\pm 1$   $\text{дин/см}$ ). Пожалуй, более правильно считать, что индий ведет себя нейтрально на жидкой оловянной поверхности.

Поверхностное натяжение растворов олово — германий изучалось в интервале температур  $400$ — $500^\circ$  и концентраций от  $0,5$  до  $2$  ат. %. Для приготовления растворов был использован очищенный зонной плавкой высокоомный германий. Из данных, представленных на рис. 2, следует, что германий в этой области концентраций совершенно не изменяет  $\sigma$  олова. Различие в плотностях олова и германия (см. таблицу) потребовало дополнительных измерений плотности исследуемых растворов. Они проводились при соблюдении определенной последователь-

ности параллельно с измерениями  $\sigma$  растворов в одном и том же приборе. До 0,5 ат. % германий практически не изменяет плотности олова; при содержании германия до 2 ат. % плотность олова слегка уменьшается (на более, чем на 0,3%).

Исследование микроструктуры сплавов обнаружил, что примеси индия и германия по сравнению с их поведением в жидком олове оказывают более определенное действие на его структуру и кинетику кристаллизации. Нами исследовались сплавы, содержащие примеси индия и германия в пределах их полной растворимости в твердом олове, а именно от 0,005 до 0,4 ат. %. Образцы для опытов готовились в стеклянных ампулах под вакуумом ( $1 \cdot 10^{-5}$  мм рт. ст.). После тщательного перемешивания жидкий расплав фильтровался через капилляр и стекал в приемник, на дне которого находилась круглая стеклянная пластинка. Получавшиеся цилиндрической формы образцы с диаметром 6—8 мм благодаря стеклянной пластинке \* имели на одном конце ровную горизонтальную поверхность и были вполне пригодны для электролитической полировки [11].

Следующий этап приготовления образцов заключался в химическом травлении его поверхности 10 %-ным раствором персульфата аммония после продолжительной электролитической полировки, во время которой снимался слой (2—3 мм) с тем, чтобы исключить возможное влияние стеклянной пластинки на структуру исследуемых сплавов. Примененный травитель во всех случаях оказывался вполне пригодным, кроме сплавов олово-германий с содержанием германия 0,4 ат. %. При их травлении наблюдались отдельные недостаточно протравленные участки поверхности образца, что затрудняло получение четких микрофотографий, хотя визуально под микроскопом все детали структуры образцов были вполне различимы.

Очень существенно, что при этом способе приготовления образцов совершенно исключалась их механическая обработка, как, например, распиловка, заторцовывание на станке и т. п. Известно, что для металлов, рекристаллизующихся при комнатной температуре (олово, свинец), совершенно непригодна механическая шлифовка и полировка образцов для металлографического анализа. Установлено [12], что образцы олова, шлифованные и полированные механическим путем, имели рекристаллизованный слой около 30 м. Структура этого слоя не имела ничего общего со структурой всего оловянного образца. Это подтверждается также нашими собственными опытами. На рис. 3, а представлена структура такого механически наклепанного и рекристаллизованного слоя олова. Заметно, что механически не напряженный литой образец олова имеет на поверхности шлифа не больше двух-трех зерен. В одной из наших прежних работ [3] применялся механический способ приготовления шлифов олова и сплавов. Хотя при этом они подвергались глубокому травлению, возможно снимавшему наклепанный слой. Несмотря на это, полученные результаты все-таки требуют дальнейшего уточнения и проверки. В этой связи нам хотелось бы указать на работу В. И. Карпова [31], содержащую указанные недостатки; вместе с тем результаты этой работы подробно суждаются с соответствующими выводами в монографии В. Д. Кузнецова [1].

Для выяснения характера влияния примесей на микроструктуру олова существенное значение имела скорость охлаждения в процессе кристаллизации расплавов. В нашей работе мы имели две серии образцов, полученных в режиме быстрого и медленного охлаждения. Соответственно скорости охлаждения были 7 и 0,7° в минуту. В режиме медленного и быстрого охлаждения для чистого олова и олова, содержащего индий и германий в количествах 0,05 и 0,005 ат. %, наблюдается крупнозернистая структура. На поверхности шлифа видно не больше 2—3 зерен. Во всех этих случаях наблюдается структура, представленная микрофотографией рис. 3, б. В

\* Метод стеклянной пластинки был применен [в работе [2]].

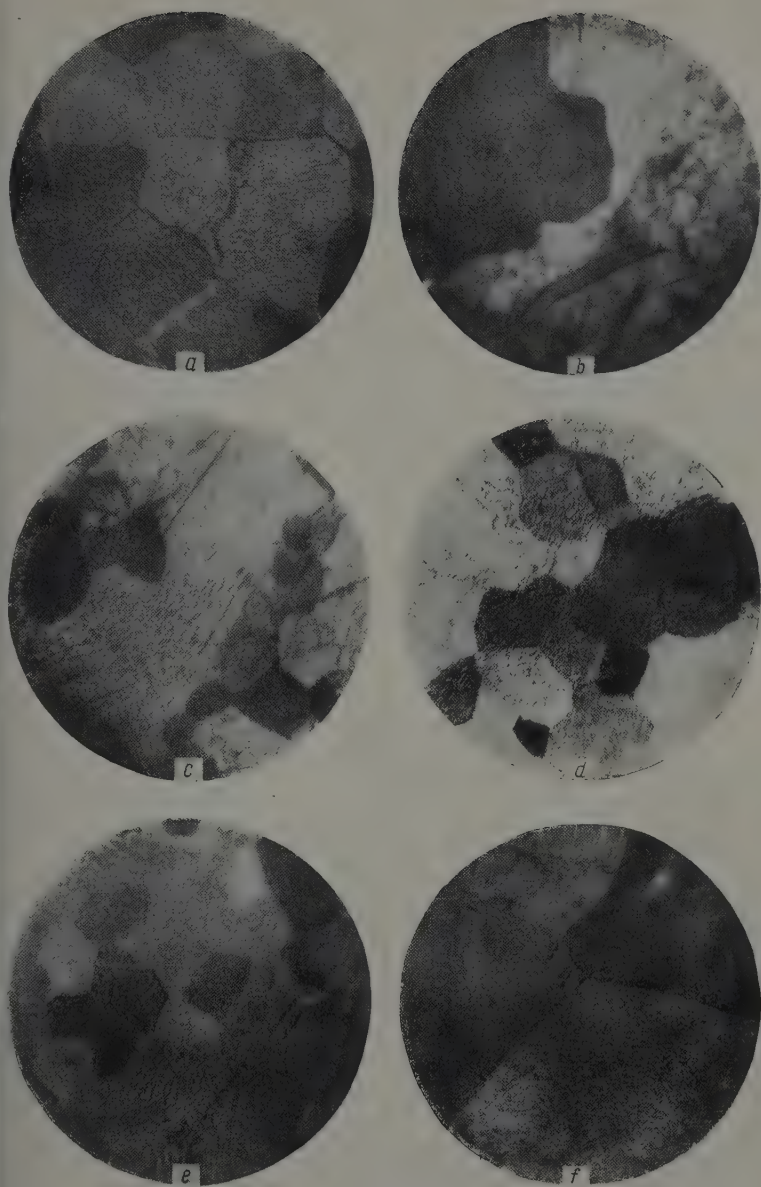


Рис. 3. Влияние примесей германия и индия на структуру олова:  
*a* — олово после механической полировки,  $\times 150$ ; *b* — олово — германий (0,05 ат. %),  $\times 15$ ; *c* и *d* — олово — германий (0,4 ат. %) при скорости охлаждения 7 и 0,7° в минуту,  $\times 25$ ; *e* и *f* — олово — индий (0,4 ат. %) при скорости охлаждения 7 и 0,7° в минуту,  $\times 25$





можно, что в этой области концентраций примеси германия и индия ведут себя подобно инактивным добавкам, которые не должны вызывать увеличения степени дисперсности структуры первичной кристаллизации [1].

Условия кристаллизации усложняются при переходе к сплавам с концентрацией примесей около 0,4 ат. %. Здесь в зависимости от скорости охлаждения расплавов олова германий и индий по-разному влияли на его структуру. Для примесей германия, независимо от скорости охлаждения олова, наблюдается значительное увеличение его степени дисперсности (рис. 3, с и д), тогда как действие примесей индия на литую структуру олова зависело от скорости его охлаждения. Германий в результате его крайне ограниченной растворимости в твердом олове вытеснялся на поверхность растущих зерен олова и затруднял их рост. Кроме того, благодаря высокой температуре плавления, по сравнению с оловом, германий был в состоянии образовывать дополнительные центры кристаллизации. Именно вследствие этих двух причин наблюдается заметное измельчение структуры олова.

Индий, несмотря на то что его концентрация далека от насыщения, при быстром охлаждении, очевидно, не успевал продиффундировать в растущие зерна олова. Это тормозило рост зерен олова, приводя к образованию мелкозернистой структуры. В этом случае индий действовал аналогично плохо растворимой примеси (рис. 3, е). При медленном охлаждении олова условия для растворения индия в нем улучшались, и в результате получалась крупнозернистая структура (рис. 3, ф). Возможно, что если охлаждать такие сплавы в равновесных условиях, то это привело бы к образованию структуры чистого олова.

Из наших наблюдений выяснилось, что примеси германия и индия при своем нейтральном поведении на жидкой оловянной поверхности оказывают существенное влияние на литую структуру и кинетику кристаллизации олова.

### Выводы

1. Измерено в интервале температур 250—500° поверхностное натяжение олова, очищенного зонной плавкой и длительным прогревом при 1000° вакууме. Оба сорта олова имели в пределах ошибки опыта одинаковые значения поверхностного натяжения.
2. Измерено поверхностное натяжение растворов олова с индием и германием в области концентраций 0,5—2,4 ат. % и в интервале температур 00—500°. Установлено, что индий и германий в пределах ошибки опыта изменяют поверхностного натяжения олова.
3. Примеси индия и германия в количествах 0,005—0,05 ат. % не влияют на литую структуру олова.
4. Примеси индия и германия в количестве 0,4 ат. % заметно влияют на степень дисперсности олова. Германий примерно одинаково измельчает структуру олова, закристаллизованного как в быстром, так и в медленном режиме охлаждения. Напротив, влияние индия на структуру олова зависит от скорости охлаждения. При скорости охлаждения олова 0,7° минуту его структура получается крупнозернистой; при скорости 7° минуту она оказывается мелкозернистой.

Московский государственный  
университет им. М. В. Ломоносова

Поступила  
22.VII.1958

### ЛИТЕРАТУРА

1. В. К. Семенченко, Поверхностные явления в металлах и сплавах, Гостехизд., М., 1957.
2. Н. Л. Покровский, Н. Д. Галанина, Ж. физ. химии, 23, 224, 1949.
3. Н. Л. Покровский, М. Саидов, Ж. физ. химии, 29, 1601, 1955.
4. M. A. Melford, T. P. Hoar, J. Inst. Metals, 85, 197, 1956.
5. J. C. Blade, E. C. Ellwood, J. Inst. Metals, 85, 30, 1956.

6. P. H. Keck, W. van Horn, Phys. Rev., **91**, 512, 1953.
7. H. Stöhr, W. Klemm, Z. anorgan. Chem., **241**, 305, 1939.
8. W. Guertler, M. Pirani, International Tin Research and Development Council, № 50, 1937.
9. Н. Л. Покровский, М. Сандов, Физ. металлов и металловедение, **2**, 547, 1956.
10. Б. Н. Александров, Б. И. Веркин, Б. Г. Лазарев, Физ. металлов и металловедение, **2**, 100, 1956.
11. P. A. Jaconet, International Tin Research and Development Council, № 50, 1939.
12. L. Capdesomme, Métaux (Corros-ind.), **16**, 77, 1941.
13. В. И. Карпов, Тр. Сибирск. физ-техн. ин-та при Томском ун-те, **5**, 1939.
14. В. Д. Кузнецов, Кристаллы и кристаллизация, Гостехизд., М., 1954, стр. 255—256.

## THE PROPERTIES OF METALLIC SOLUTIONS

### [VI. THE EFFECT OF INDIUM AND GERMANIUM ADMIXTURES ON [THE SURFACE] TENSION AND MICROSTRUCTURE] OF TIN

*N. L. Pokrovskii and D. S. Tissen (Moscow)*

#### Summary

The surface tension of tin and its solutions with indium and germanium of concentrations ranging from 0.4 to 2.4 at.% has been studied over the temperature range 250–500° by means of the maximum bubble pressure method. Two specimens of tin were employed. One was obtained by zone melting purification, the other by prolonged heating in vacuum at 1000°. Both types were found to have the same values for the surface tension within the limits of experimental error. Indium and germanium admixtures did not change the surface tension of liquid tin, but they affected its microstructure and the kinetics of its crystallization. The effect depended primarily upon the solubility of the admixtures in the solid tin.

## РАДИАЦИОННАЯ ХИМИЯ ХЛОРОКИСЛОРОДНЫХ СОЕДИНЕНИЙ

I. ДЕЙСТВИЕ РЕНТГЕНОВСКИХ ЛУЧЕЙ НА ВОДНЫЕ РАСТВОРЫ  
ХЛОРИТА НАТРИЯ*Л. Т. Бугаенко, Е. П. Калязин и Н. А. Бах*

В реакциях радиационного окисления или восстановления в водных растворах мы часто сталкиваемся со случаями глубокого превращения растворенного вещества, как, например, восстановление  $\text{Cr}_2\text{O}_7^{2-}$  до  $\text{Cr}^{3+}$  [1],  $\text{MnO}_4^-$  до  $\text{Mn}^{2+}$  [2], окисление  $\text{S}^{2-}$  до  $\text{SO}_4^{2-}$  [3]. Естественно считать, что такое превращение с передачей многих электронов происходит через промежуточные ступени, как это и было показано в случае восстановления иона перманганата:  $\text{Mn(VII)} \rightarrow \text{Mn(VI)} \rightarrow \text{Mn(IV)} \rightarrow \text{Mn}^{2+}$  (II) [4]. Для большинства химических систем такую последовательность проследить не удается, так как соединения промежуточной валентности нестойки или не идентифицированы.

Для выяснения закономерности последовательных превращений, вызванных действием ионизирующих излучений, целесообразно выбрать такую химическую систему, в которой были бы известны все промежуточные соединения. Таким объектом может явиться группа соединений хлора, в которой известны соединения всех валентных состояний хлора (от  $-1$  до  $+7$ ):  $\text{Cl}^-$ ,  $\text{Cl}_2$ ,  $\text{ClO}^-$ ,  $\text{ClO}$ ,  $\text{ClO}_2^-$ ,  $\text{ClO}_2$ ,  $\text{ClO}_3^-$ ,  $\text{ClO}_3$ ,  $\text{ClO}_4^-$ . Химия этих соединений изучена достаточно полно, однако данных по их радиационным превращениям очень мало.

Известно, что в водном растворе ион перхлората [5] восстанавливается при облучении до хлората и хлорида, хлорат восстанавливается до хлорида [6], а хлорид в концентрированном растворе окисляется до гипохлорита [7]. Твердый перхлорат [6, 8] восстанавливается до хлорида и хлората, твердый хлорат восстанавливается до хлорида [6] и окисляется до перхлората [9]. Появление хлорида при облучении перхлората и хлората позволяет предположить, что различные хлорокислородные соединения испытывают под действием излучения глубокие превращения, включающие несколько промежуточных ступеней.

Проводящиеся в лаборатории радиационной химии МГУ исследования радиационно-химических превращений хлорокислородных соединений имеют целью выяснение общих закономерностей этих процессов. В настоящей статье приведены данные по превращению иона  $\text{ClO}_2^-$  под действием рентгеновского излучения в нейтральном водном растворе хлористокислого натрия и дано качественное объяснение наблюдаемым явлениям.

## Экспериментальная часть

**Методика.** Хлорит натрия готовился из хлората натрия в две стадии [10] — восстановлением хлората калия щавелевой кислотой в сернокислой среде до двуокиси хлора и последующим восстановлением двуокиси хлора цинком до хлорита цинка. Хлорит цинка переводился в хлорит натрия подщелачиванием гидроксида натрия. Исследуемый хлорит содержал меньше 1% примесей — хлората и хлорида натрия.

В качестве источника излучения использовалась рентгеновская трубка типа РЦ-3А [11], работавшая в режиме 65 kV и 200 mA. Определенная по ферросульфату мощность дозы имела величину  $1,4-2 \cdot 10^{16}$  eV/мл сек. Выход окисления железа принимался равным 15,6 иона/100 eV [12].

Облучение производилось в ячейках из молибденового стекла с тонкой передней стенкой при  $20 \pm 1^\circ$ . Перед облучением раствор насыщался в течение получаса азотом, водородом или кислородом. Для очистки от кислорода азот пропускался при  $300^\circ$  через трубку с медью, осажденной на силикагеле, и трубку с активированным углем. Кислород и водород, полученные электролизом, очищались обычными методами.

В облучаемых растворах определялось содержание хлорида, гипохлорита, хлорита, двуокиси хлора, хлората и перекиси водорода. Анализ выделяющегося газа не производился.

Для определения хлорита, двуокиси хлора и перекиси водорода использовался спектрофотометр СФ-4 с кюветой 10 мм. Концентрация хлорита определялась по поглощению при 260 мμ [13]. В интервале концентраций  $5 \cdot 10^{-6} - 1 \cdot 10^{-3}$  моль/л оптическая плотность подчиняется закону Ламберта—Бера. Молярный коэффициент поглощения равен 150. Концентрация двуокиси хлора определялась при 350 мμ [13]. В интервале концентраций  $5 \cdot 10^{-6} - 1 \cdot 10^{-4}$  моль/л оптическая плотность также подчиняется закону Ламберта—Бера. Молярный коэффициент поглощения равен 1300. Концентрация перекиси водорода определялась по величине оптической плотности титанового комплекса [14] при 410 мμ.

Для определения хлорида, гипохлорита и хлората использовался фотоэлектронный колориметр ФЭК-1. Концентрация гипохлорита определялась по выделению йода в бикарбонатной среде. Двуокись хлора предварительно вытеснялась воздухом. Хлорит определялся нефелометрически после образования хлорида серебра в нейтральной среде. Вместе с хлоридом при этом определяется и гипохлорит. Концентрация хлората находилась по разности.

Для анализа хлората была применена видоизмененная методика определения окислителей (гипохлорита) метилоранжем [7]. Перед анализом все прочие окислители (гипохлорит, хлорит, двуокись хлора и перекись водорода) разрушались сульфитом натрия в слабокислой среде. Избыток сульфита окислялся воздухом. Анализируемый образец (объемом 2 мл) подкислялся 3,5 мл концентрированной соляной кислоты, после чего прибавлялся метилоранж до появления окраски. Затем раствор разбавлялся водой до общего объема 25 мл. По оптической плотности полученной окраски рассчитывалась концентрация хлората. Точность метода  $\sim 5\%$ .

Баланс по хлору для всех продуктов превращения хлорита сводится в пределах  $\sim 5\%$ .

Полученные результаты. На рис. 1, 2 и 3 представлены кривые убыли иона  $\text{ClO}_2^-$  и кривые накопления продуктов радиолитической зависимости от поглощенной энергии в  $0,001\text{ M}$  нейтральном водном растворе  $\text{NaClO}_2$ , насыщенном соответственно азотом, водородом и кислородом. Во всех случаях наблюдается окисление иона хлорида до двуокиси хлора и хлората, а также восстановление до хлорида. В растворах, насыщенных азотом и водородом, наблюдается, кроме того, образование гипохлорита. Перекись водорода образуется во всех случаях, но в растворах

Выходы продуктов превращения, рассчитанные для дозы  $5 \cdot 10^{18}$  eV/мл

Насыщающий газ	Выходы, молекулы/400 eV		
	$\text{N}_2$	$\text{H}_2$	$\text{O}_2$
Расход $\text{ClO}_2^-$	2,3	2,3	0,4
Образование $\text{ClO}^-$	0,4	0,4	0,0
» $\text{Cl}^-$	0,6	0,6	0,3
» $\text{ClO}_2$	1,1	1,1	0,02
» $\text{ClO}_3^-$	0,2	0,2	0,07
» $\text{H}_2\text{O}_2$	0,0	0,0	0,6

насыщенных  $\text{H}_2$  и  $\text{N}_2$ , она появляется после некоторой дозы облучения. Радиационное поведение хлорита в растворах, насыщенных азотом и водородом, очень сходно. В отличие от этих растворов, в которых выходы превращения быстро изменяются по мере возрастания дозы, в растворах, насыщенных кислородом, наблюдается плавный ход концентрации продуктов радиолитической зависимости от поглощенной энергии с почти постоянным выходом в исследованной области доз.

В таблице приведены величины выходов всех проанализированных продуктов радиолитической зависимости от поглощенной энергии, рассчитанные для дозы  $5 \cdot 10^{18}$  eV/мл.



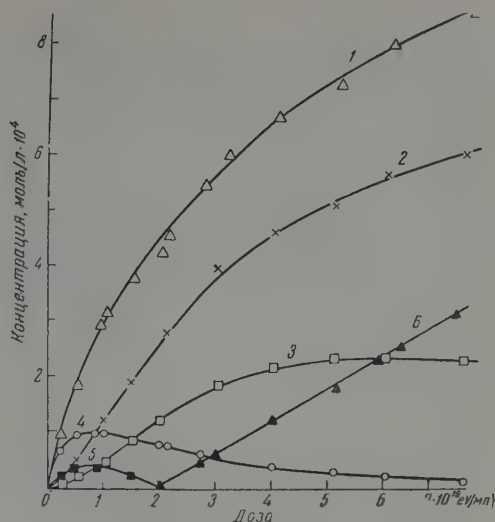


Рис. 1. Радиационное превращение иона хлорита в растворе, насыщенном азотом: 1—расход иона  $\text{ClO}_2^-$ ; 2—образование иона  $\text{Cl}^-$ ; 3—образование иона  $\text{ClO}_3^-$ ; 4—образование  $\text{ClO}_2$ ; 5—образование иона  $\text{ClO}^-$ ; 6—образование  $\text{H}_2\text{O}_2$

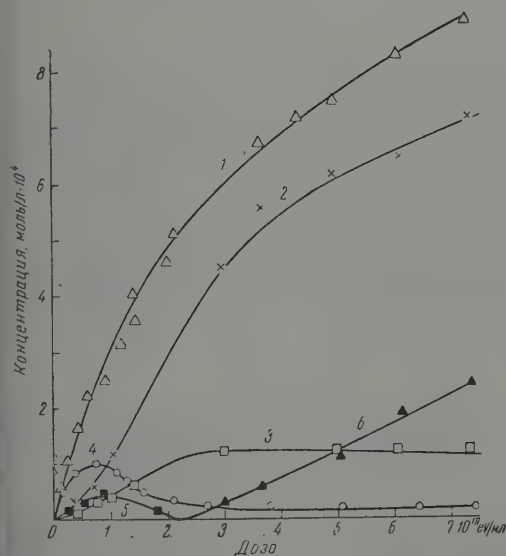


Рис. 2. Радиационное превращение иона хлорита в растворе, насыщенном водородом: 1—расход иона  $\text{ClO}_2^-$ ; 2—образование иона  $\text{Cl}^-$ ; 3—образование иона  $\text{ClO}_3^-$ ; 4—образование  $\text{ClO}_2$ ; 5—образование иона  $\text{ClO}^-$ ; 6—образование  $\text{H}_2\text{O}_2$

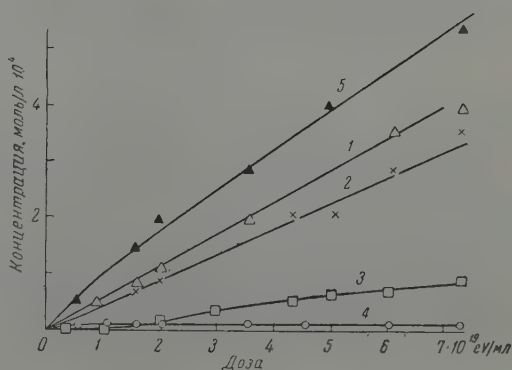
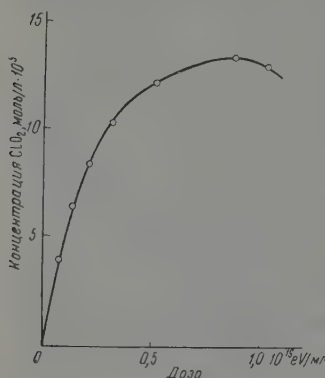


Рис. 3. Радиационное превращение иона хлорита в растворе, насыщенном кислородом: 1—расход иона  $\text{ClO}_2^-$ ; 2—образование иона  $\text{Cl}^-$ ; 3—образование иона  $\text{ClO}_3^-$ ; 4—образование  $\text{ClO}_2$ ; 5—образование  $\text{H}_2\text{O}_2$

Естественно ожидать, что при быстром падении выходов с дозой, которое наблюдается в растворах, насыщенных азотом и водородом (рис. 1 и 2), полученные нами значения выходов для дозы  $5 \cdot 10^{18}$  eV/мл заметно ниже начальных. Это действительно имеет место, как видно из кривой накопления двуокиси хлора, полученной при малых дозах облучения (рис. 4).



Выход, рассчитанный по касательной к начальному участку кривой, составляет 2,6 молекулы/100 eV, в то время как рассчитанный для дозы  $5 \cdot 10^{18}$  eV/мл — 1,1 молекулы/100 eV. К сожалению, примененные аналитические методы не позволяют определить начальные выходы других продуктов при столь же малых дозах.

Рис. 4. Кривая накопления двуокиси хлора в растворе, насыщенном азотом, при малых дозах облучения

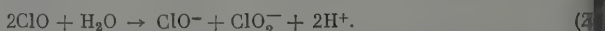
### Обсуждение результатов

Радиационно-химические превращения растворенного вещества в разбавленных водных растворах, к которым относится исследуемый раствор, происходят в результате реакций с продуктами радиолитизации воды — радикалами  $\text{OH}$  и  $\text{H}$ , молекулярным водородом и перекисью водорода. Ни  $\text{H}_2$ , ни  $\text{H}_2\text{O}_2$  не взаимодействуют в нейтральной среде с ионом хлорита; следовательно, наблюдаемые процессы восстановления и окисления иона  $\text{ClO}_2^-$  вызываются радикалами  $\text{H}$  и  $\text{OH}$ .

По аналогии с другими реакциями радиационного восстановления взаимодействия иона  $\text{ClO}_2^-$  с атомом водорода можно представить следующей схемой:



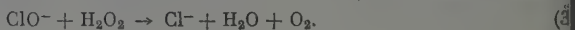
с образованием нестойкого радикала  $\text{ClO}$ , определить который непосредственно не удастся. Существование такого радикала доказано спектроскопически в газовой фазе при фотолизе двуокиси и моноокиси хлора, фотоокислении хлора и др. [15].  $\text{ClO}$  — очень нестойкое соединение; время его жизни — сотые доли секунды [16]. Поведение его в водной среде не изучалось, но следует ожидать, что он будет вести себя так же, как и другие четновалентные окислы хлора:  $\text{ClO}_2$  и  $\text{ClO}_3$ , т. е. диспропорционировать, давая соединения хлора, имеющие валентность на единицу меньше и на единицу больше исходной молекулы:



Боуен и Чонг [17], исследовавшие фотолиз двуокиси хлора в водной среде, также предполагают диспропорционирование радикала  $\text{ClO}$ .

Ион гипохлорита не является конечным продуктом восстановления хлорита; в растворе накапливается и хлорид. Кривые накопления иона  $\text{ClO}^-$  (рис. 1 и 2) имеют максимум, совпадающий по дозе с точкой перегиба кривых накопления хлорида. Из этого можно заключить, что ион  $\text{ClO}^-$  является промежуточным продуктом восстановления иона  $\text{ClO}_2^-$  до иона  $\text{Cl}^-$ .

Гипохлорит реагирует с перекисью водорода в нейтральной среде по реакции [18]



В связи с этим, до тех пор пока в растворе имеется ион  $\text{ClO}_2^-$ , мы не наблюдаем появления перекиси водорода (рис. 1 и 2), хотя она и образуется по «молекулярному» механизму. Другие хлорокислородные соединения с перекисью водорода в данных условиях не реагируют. Начальный выход иона  $\text{Cl}^-$  в растворах, насыщенных водородом и азотом, равен 0,6 иона/100 еВ. Эта величина близка к найденным другими исследователями значениям величины «молекулярного» выхода перекиси водорода в чистой воде [19]. В растворах, насыщенных кислородом, мы не наблюдаем образования гипохлорита, в то время как перекись водорода появляется с начала облучения (рис. 3). Кривая накопления иона  $\text{Cl}^-$  соответственно не имеет перегиба. Все вышеизложенное заставляет нас предположить, что реакция (3) является основным путем превращения иона гипохлорита в исследуемых условиях.

Окисление иона  $\text{ClO}_2^-$  радикалами  $\text{OH}$  происходит по реакции:



образующийся радикал  $\text{ClO}_2$  в нейтральной среде не реагирует ни с перекисью водорода, ни с другими соединениями хлора. При  $\text{pH} = 7$  он также не диспропорционирует, так что образование хлората из двуокиси хлора возможно только путем окисления двуокиси хлора радикалом  $\text{OH}$  по реакции:



Точка перегиба кривой накопления иона  $\text{ClO}_3^-$  в зависимости от дозы совпадает с максимумом кривой накопления  $\text{ClO}_2$  (рис. 1—3), что подтверждает образование хлората по реакции (5).

Таким образом  $\text{ClO}_2$  является промежуточным продуктом окисления ионов  $\text{ClO}_2^-$  до  $\text{ClO}_3^-$ . Подобные двухэлектронные переходы изучались в радиационной химии водных растворов, например окисление нитрита до нитрата [20], фосфита до фосфата [21], но из-за неустойчивости промежуточного соединения его не удавалось обнаружить.

В атмосфере кислорода (рис. 3) мы наблюдаем значительно меньшие выходы продуктов окисления и восстановления хлорита. Из этого следует, что радикал  $\text{HO}_2$ , образующийся в присутствии молекулярного кислорода по реакции:



более эффективно восстанавливает ион  $\text{ClO}_2^-$ , чем атом  $\text{H}$ . Одновременно происходит образование перекиси водорода по реакции



Однако наблюдаемый выход перекиси водорода в растворах, насыщенных кислородом, составляет всего 0,6 молекулы, вместо ожидаемых 1,5—1,8 молекулы/100 еВ. Это заставляет предположить, что значительная часть радикалов  $\text{HO}_2$  расходуется по какой-то иной реакции. Таким процессом может быть реакция взаимодействия с двуокисью хлора:



В результате этого большая часть двуокиси хлора восстанавливается до хлорита, и выход образования  $\text{ClO}_2$  сильно снижается, как это и видно из рис. 3.

Малой эффективностью реакции радикала  $\text{HO}_2$  с ионом  $\text{ClO}_2^-$  объясняется также быстрое уменьшение расхода хлорита при увеличении поглощенной энергии в растворах, насыщенных азотом и водородом, так как в соответствии с реакцией (3) в облучаемых растворах накапливается кислород. При больших дозах, когда концентрация  $\text{O}_2$  становится значитель-

ной, величина выхода превращения хлорита в растворах, первоначально не содержащих кислорода, становится почти равной величине выхода превращения в растворе, насыщенном кислородом.

Образование кислорода по реакции (3) в растворе, насыщенном азотом и водородом, может также объяснить наличие максимума на кривой накопления гипохлорита в зависимости от дозы (рис. 1 и 2): по мере накопления кислорода по реакции (7) возрастает выход перекиси; следовательно, по увеличению выход хлорида и уменьшается выход гипохлорита.

Одинаковые выходы продуктов превращения хлорита в растворах, насыщенных азотом и водородом, позволяют предположить, что в этих условиях реакция



играет малую роль, что указывает на высокую эффективность взаимодействия радикалов  $\text{OH}$  с другими компонентами раствора. Сравнительно низкие значения наблюдаемых выходов конечных продуктов, соответствующие расходованию заметно менее трех пар радикалов  $\text{H}$  и  $\text{OH}$  на 100 eV поглощенной энергии, обусловлены легкостью обратных реакций на промежуточных стадиях как окисления, так и восстановления.

### Выводы

1. Исследовано превращение иона  $\text{ClO}_2^-$  в нейтральном водном растворе хлорита натрия под действием рентгеновского излучения.
2. Показано, что происходит окисление иона хлорита до двуокиси хлора и иона хлората, а также восстановление до ионов гипохлорита и хлорида, причем ион гипохлорита и двуокись хлора являются промежуточными продуктами превращения.
3. Предложен механизм радиационного превращения иона хлорита в водном растворе.

Московский государственный  
университет им. М. В. Ломоносова

Поступила  
2.VIII.1958

### ЛИТЕРАТУРА

1. H. Fricke, E. Brownscombe, J. Amer. Chem. Soc., 55, 2358, 1933.
2. G. Z. Clark, W. S. Coe, J. Chem. Phys., 5, 97, 1937.
3. Е. М. Нанобашвили, Л. П. Берущавили, Тр. I Всесоюзного съезда по радиационной химии, Изд-во АН СССР, М., 1958, стр. 78.
4. Б. А. Гвоздев, В. Н. Шубин, Сб. действий ионизирующих изменений неорганические и органические системы, Изд-во АН СССР, М., 1958, стр.
5. M. Cottin, J. chim. phys., 55, 918, 1956.
6. А. С. Баберкин, Диссертация. Физ.-хим. ин-т им. Л. Я. Карпова, 1958.
7. А. М. Кабакчи, Ж. физ. химии, 30, 1906, 1956.
8. H. G. Neal, Canad. J. Chem., 31, 91, 1953.
9. S. Sharma, K. J. McCallum, J. Chem. Phys., 23, 597, 1955.
10. В. В. Штудер, А. С. Чернышев, Научно-исследовательские труды Моск. текст. ин-та, 13, 112, 1954.
11. В. И. Затуловский, Д. И. Нарядчиков, Действие ионизирующего излучения на неорганические и органические системы, Изд-во АН СССР, 1958, стр. 406.
12. J. Saldick, A. O. Allen, J. Chem. Phys., 22, 438, 1954.
13. W. Buser, H. Hanish, Helv. chim. acta, 35, 2547, 1952.
14. P. Bonet-Mauray, C. R., 218, 117, 1944.
15. Z. S. Szabo, Acta chim. Acad. scient. hung., 3, 139, 1953.
16. R. S. W. Norrish, Z. Elektrochem., 56, 705, 1952.
17. E. J. Bowen, W. M. Cheung, J. Chem. Soc., 1200, 1932.
18. R. E. Connick, J. Amer. Chem. Soc., 69, 1509, 1947.
19. A. O. Allen, Rad. Research, 1, 85, 1954.
20. G. Schwarz, A. O. Allen, J. Amer. Chem. Soc., 77, 1324, 1955.
21. M. Cottin, J. chim. phys., 53, 923, 1956.



## THE RADIATION CHEMISTRY OF OXYCHLORINE COMPOUNDS

## I. THE ACTION OF X-RAYS ON AQUEOUS SOLUTIONS OF SODIUM CHLORITE

*L. T. Bugaenko, E. P. Kalyazin and N. A. Bakh (Moscow)*

## S u m m a r y

The effects of 65 kV peak X-rays on  $10^{-3}$  M aqueous  $\text{NaClO}_2$  solutions have been investigated. In solutions saturated with nitrogen and with hydrogen oxidation of the  $\text{ClO}_2^-$  ion to  $\text{ClO}_2$  and  $\text{ClO}_3^-$  ion as well as reduction to  $\text{ClO}^-$  and  $\text{Cl}^-$  ions takes place. Hydrogen peroxide appears only after the  $\text{ClO}^-$  ions are completely decomposed. The yields of chlorite oxidation and reduction products have much lower values. In this case hypochlorite does not appear and hydrogen peroxide forms from the beginning of the radiation. A mechanism has been proposed in which  $\text{ClO}_2$  is considered as an intermediate in the oxidation of  $\text{ClO}_2^-$  to  $\text{ClO}_3^-$  and  $\text{ClO}$  and  $\text{ClO}^-$  as intermediates in the reduction of  $\text{ClO}_2^-$  to  $\text{Cl}^-$ .

---

## КРИТИЧЕСКИЕ ЯВЛЕНИЯ В СИСТЕМЕ ГЕКСАМЕТИЛЕНИМИН — ВОДА

### III. ДИФФУЗИЯ ВЕЛИЗИ КРИТИЧЕСКОЙ ТОЧКИ

*И. Р. Кричевский, Н. Е. Хазанова и Ю. В. Цеханская*

Прекращение диффузии в критической области двойного раствора, являющееся следствием превращения в критической точке в нуль градиента химического потенциала компонента, было впервые экспериментально показано на примере двух жидких систем [1, 2].

Подробно исследуя систему гексаметиленимин — вода в критической области, авторы изучили и скорость диффузии. Исследование диффузии в этой системе было интересно еще и потому, что относительно высокая нижняя критическая температура (68,1°) дает возможность выяснить, как далеко в гомогенной области распространяется влияние критической точки.

Измерение скорости диффузии в системе гексаметиленимин — вода было проведено методом капилляра на экспериментальной установке, примененной в предыдущих исследованиях [1, 2]. Были введены лишь незначительные изменения методики эксперимента, вызванные тем, что упругость пара гексаметиленимина при температурах исследования уже значительна. Потребовалась герметизация не только всего прибора в целом, но и стаканчика, в котором протекает диффузия.

Анализ растворов на содержание гексаметиленимина производили также, как и на содержание триэтиламина [2]. После опыта в капилляре определяли среднюю концентрацию гексаметиленимина. Средняя абсолютная ошибка титрования составляла 0,18 мг гексаметиленимина.

Парциальные удельные объемы гексаметиленимина и воды в их двойных растворах почти не зависят (до ~40 вес. % гексаметиленимина) от состава раствора [3]. Поэтому коэффициент диффузии для обоих компонентов одинаков, и диффузию в этой системе, так же как в системе триэтиламин — вода, можно характеризовать одним общим коэффициентом  $D_{12}$  [2].

Коэффициент диффузии вычисляли по экспериментальным данным начальной ( $c_{\text{кап}}^0$ ) и конечной ( $c_{\text{кап}}$ ) объемных концентрациях растворов в капилляре и по концентрации раствора в стакане ( $c_{\text{ст}}^0$ ), остававшейся неизменной в течение опыта. Расчет  $D_{12}$  производили по уравнению [4], выведенному в предположении о независимости коэффициента диффузии от состава раствора:

$$\frac{c_{\text{кап}} - c_{\text{кап}}^0}{c_{\text{ст}}^0 - c_{\text{кап}}^0} = 1 - \frac{8}{\pi^2} \sum_{n=0}^{n=\infty} \frac{1}{(2n+1)^2} \exp \left[ -\frac{(2n+1)^2 \pi^2 D_{12} t}{4L^2} \right],$$

$t$  — продолжительность диффузии,  $L$  — длина капилляра.

Так как для системы гексаметиленимин — вода  $D_{12}$  зависит от состава раствора, то необходимо учитывать, что в процессе диффузии раствор в капилляре меняет свой состав по длине капилляра, значительно увеличивая концентрацию гексаметиленимина на границе с раствором, находящимся в стакане. Поэтому для нахождения истинного коэффициента диффузии в растворе данного состава ( $c_{\text{кап}}^0$ ) нужно, как было указано в [1,

измерить скорость диффузии в такой раствор из растворов различного состава, различных  $c_{\text{ст}}^0$ . Вычислив по этим данным значения  $D_{12}$  по уравнению (1), нужно экстраполировать их на значение  $c_{\text{ст}}^0 = c_{\text{кап}}^0$ , при котором и будет истинное значение коэффициента диффузии.

Этот метод был проверен специальными опытами, причем было определено истинное значение коэффициента диффузии для случая, когда в капилляре находилась чистая вода (табл. 1).

Данные, приведенные в табл. 1, мы экстраполировали на нулевую концентрацию гексаметиленимина и нашли истинное значение  $D_{12}$ , равное  $4 \cdot 10^7$  см<sup>2</sup>/сек.

В работе [5] коэффициент диффузии  $D_{12}$  был определен по уравнению неэквививной диффузии В. Г. Левича [6] из данных для плотности диффузионного потока гексаметиленимина в растворах вращающегося диска из терефталевой кислоты в 2%-м растворе гексаметиленимина в воде. Полученное при 67,6° значение  $D_{12}$ , равное  $228 \cdot 10^7$  см<sup>2</sup>/сек, находится в хорошем согласии со значением, найденным нами методом капилляра.

Определение истинных значений коэффициентов диффузии при работе методом капилляра — очень трудная задача. Из приведенных в табл. 1

данных видно, что истинное значение  $D_{12}$  в чистой воде примерно в два раза больше того значения коэффициента диффузии, которое мы определили в градиенте концентраций между растворами в капилляре и в стакане г/см<sup>3</sup>. Так как ошибки такого порядка в значениях  $D_{12}$  не могут помешать выяснению влияния критической точки на скорость диффузии (коэффициент диффузии в критической области падает, как это будет показано ниже, в сотни раз), то не производили таких определений для других концентраций растворов. Однако следует подчеркнуть, что методом капилляра можно определять истинные значения коэффициента диффузии в том случае, когда он зависит от концентрации.

Таблица 1

Коэффициент диффузии  $D_{12}$  в системе гексаметиленимин — вода при 67,6°С

$c_{\text{кап}}^0$ г/мм <sup>3</sup>	$c_{\text{ст}}^0 \cdot 10^2$ г/мм <sup>3</sup>	Время, часы	$D_{12} \cdot 10^7$ , см <sup>2</sup> /сек, среднее из 4 опытов
0,000	3,9	24	215±3
0,000	4,7	24	214±7
0,000	8,6	38	158±7
0,000	10,4	24	112±3
0,000	11,6	24	77±2

Таблица 2

Коэффициент диффузии  $D_{12}$  в системе гексаметиленимин — вода при 67,6°

$c_{\text{кап}}^0 \cdot 10^2$ , мг/мм <sup>3</sup>	Время	$D_{12} \cdot 10^7$ , см <sup>2</sup> /сек			$\bar{D}_{12} \cdot 10^7$ , см <sup>2</sup> /сек
Ист. значение, найденное экстрапол. табл. 1					
0,0					234
2,6	25 час.	57±11	57±12	64±11	60±1
5,7	35 ч. 15 м.	8±3	9±4	7±3	8±0,3
8,7	22 ч. 35 м.	5±3	6±3	5±3	5±0,2
13,9	64 час. 40 м.	1±0,8	1±0,8	1±0,8	1±0,1
20,9	66 час.	0,4±0,5	0,6±0,6	0,4±0,5	0,4±0,04
23,4	71 ч. 25 м.	0	0	0	0
24,6	72 ч. 30 м.	0	0	0	0
35,5	72 ч. 30 м.	0,3±0,4	0,2±0,3	0,2±0,4	0,2±0,02
39,5	70 ч. 15 м.	15±3	10±3	9±3	11±1
41,5	56 ч. 30 м.	12±4	8±3		10±1

исследование скорости диффузии в системе гексаметиленимин — вода проведено при двух температурах. При 67,6°, температуре, близкой к критической (68,1°), коэффициент диффузии был измерен в интервале концентраций от 0 до 40 вес. % гексаметиленимина (табл. 2, рис. 1).

В табл. 2 приведены значения  $D_{12}$  (с вероятной ошибкой единичного измерения) и средние значения  $D_{12}$  (с вероятной ошибкой его измерения), численные из трех или четырех измерений.

Из анализа кривой на рис. 1 видно, что, как и в исследованных ранее системах, скорость диффузии в критической точке (24 вес. % гексаметиленимина) падает до нуля.

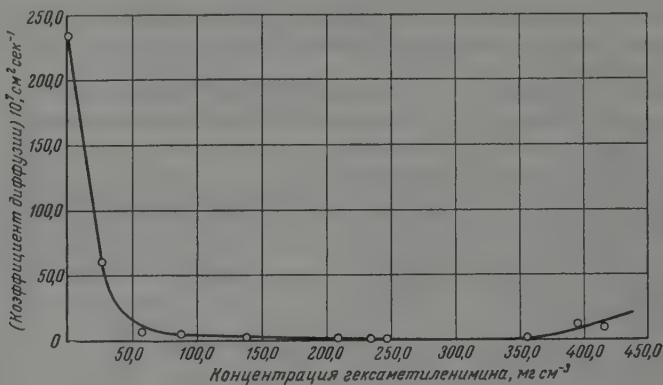


Рис. 1. Коэффициент диффузии  $D_{12}$  в системе гексаметиленимин—вода при 67,6° С

Рассматривая более подробно опыты с растворами концентраций, близких к критической, видим, что в пределах погрешности измерений за время более 70 час. концентрация гексаметиленимина в капилляре остается неизменной.

1 опыт; продолжительность 71 ч. 25 м.

$$c_{\text{нап}}^0 = 0,240 \text{ мг / мм}^3, \quad c_{\text{ст}}^0 = 0,317 \text{ мг / мм}^3;$$

$$c_{\text{нап}} = 0,248; 0,236; 0,240; 0,228 \text{ мг / мм}^3;$$

2 опыт; продолжительность 72 ч. 30 м.

$$c_{\text{нап}}^0 = 0,246 \text{ мг / мм}^3, \quad c_{\text{ст}}^0 = 0,328 \text{ мг / мм}^3;$$

$$c_{\text{нап}} = 0,249; 0,246; 0,246; 0,247 \text{ мг / мм}^3.$$

Влияние критической точки распространяется на широкую область составов. Резкое уменьшение коэффициента диффузии начинается уже разбавленных растворах. Значение  $D_{12}$  для растворов с концентрацией гексаметиленимина порядка 10 вес. % уже в 230 раз меньше, чем в чистой воде. При концентрациях растворов, значительно превышающих критическую, скорость диффузии, как и следовало ожидать, снова возрастает. Интересно подчеркнуть примерное совпадение концентраций, при которых начинается область почти нулевой скорости диффузии и при которой начинается горизонтальный участок критической изотермы парциального давления.

Влияние критической точки распространяется не только на широкую область составов, но и на широкую область температур. При снижении температуры, например до 50°, на изотермах парциального давления состав сохраняется почти горизонтальный участок в широкой области концентраций, где, следовательно, скорость диффузии будет, несмотря на наличие градиента концентраций, очень мала.

Распространение влияния критической точки на такую широкую область температур и составов не представляет собой ничего неожиданного и имеет свое термодинамическое объяснение.



Мы измерили скорость диффузии в системе гексаметиленимин — вода при значительном удалении от критической точки — при  $0,2^\circ$  (табл. 3, рис. 2).

Таблица 3

Коэффициент диффузии  $D_{12}$  в системе гексаметиленимин — вода при  $0,2^\circ$

$c_{\text{нап}}^\circ$ мг/мм <sup>3</sup>	Время	$D_{12} \cdot 10^7$ , см <sup>2</sup> /сек				$\bar{D}_{12} \cdot 10^7$ , см <sup>2</sup> /сек
0,000	73 ч. 30 м.	29±5	31±5	20±4	43±6	29±3
0,000	46 ч. 30 м.	33±6	25±5	18±6		25±3
0,110	70 ч. 35 м.	7±2	6±2	11±2	10±2	8,1±2
0,246	49 час.	8±2	10±2	6±2	5±1,5	7±0,7
0,266	93 ч. 10 м.	7±1	13±2	7±1	9±2	8±1

Для разбавленных растворов коэффициент диффузии приблизительно обратно пропорционален вязкости растворов. Для оценки правильности полученных нами результатов мы вычислили для случая чистой воды значение  $D_{12}$  при  $0^\circ$  по формуле

$$D_{12t=0^\circ} = D_{12t=67,6^\circ} \frac{\eta_{t=67,6^\circ}}{\eta_{t=0^\circ}} \quad (2)$$

нашли его равным  $32 \cdot 10^{-7}$  см<sup>2</sup>/сек, что удовлетворительно совпадает с данными табл. 3.

Из рис. 2 видно, что хотя диффузия вблизи критического состава смеси при  $0^\circ$  не прекращается, но скорость ее в этой области концентраций резко падает. Значение коэффициента диффузии уменьшается почти в четыре раза. Таким образом особенности поведения веществ в критической точке проявляются даже на значительном удалении от нее.

### Выводы

Измерена скорость диффузии в системе гексаметиленимин — вода при температурах  $0,2^\circ$  и  $67,6^\circ$  С и в широком интервале составов.

Показано, что при температуре, близкой к критической, диффузия практически прекращается в значительном интервале составов, прилегающих к критическому.

Влияние критической точки распространяется на широкую область температур. Скорость диффузии при  $0^\circ$  резко падает при увеличении концентрации гексаметиленимина в растворе от нулевой до критической.

Показано, что методом капилляра можно определять истинные значения коэффициентов диффузии и в том случае, когда они являются функциями составов.

Институт азотной  
промышленности

Поступила  
4.VIII.1958

### ЛИТЕРАТУРА

- И. Р. Кричевский, Н. Е. Хазанова, Л. Р. Линшиц, Докл. АН СССР, 99, 113, 1954.  
И. Р. Кричевский, Ю. В. Цеханская, Ж. физ. химии, 30, 2315, 1956.  
Н. Е. Хазанова, Л. Р. Линшиц, Ж. физ. химии, 33, 1811, 1959.  
W. Jost, Diffusion in Solids, Liquids and Gases, New York, 1952.  
И. Р. Кричевский, Ю. В. Цеханская, Ж. физ. химии, 33, 2331, 1959.  
В. Г. Левич, Физико-химическая гидродинамика, Изд-во АН СССР, М., 1952.

CRITICAL PHENOMENA IN THE SYSTEM HEXAMETHYLENIMINE — WATER  
DIFFUSION IN THE VICINITY OF THE CRITICAL POINT*I. R. Kricherskiĭ, N. E. Khazanova and Yu. V. Tsekhanskaya (Moscow)*

## S u m m a r y

The rate of diffusion in the system hexamethylenimine — water has been measured at temperatures 0.2° and 67.6° C over a large range of compositions.

It has been shown that in the vicinity of the critical temperature diffusion practically ceases over a considerable range of compositions in the neighborhood of the critical.

The effect of the critical point extends over a broad region of temperatures. The rate of diffusion at 0° sharply falls with increase in concentration from zero to the critical.

It has been shown that the true values of the diffusion coefficients may be determined by the capillary method also for the case when the coefficients are functions of the composition.

---

РОЛЬ ПАССИВИРОВАНИЯ В ПРОЦЕССЕ ЭЛЕКТРООСАЖДЕНИЯ  
МЕТАЛЛОВ

*А. Т. Ваграмян, А. И. Красовский, Ю. С. Петрова  
и З. А. Соловьева*

Исследование роста отдельных кристаллов на поверхности электрода показывает, что поверхность твердого электрода весьма неоднородна, и скорость осаждения металлов на активных и пассивных участках резко различна [1]. В зависимости от природы осаждаемого металла, а также от условий электролиза, поверхность металла пассивируется в процессе электролиза с большей или меньшей скоростью. В зависимости от скорости пассивирования и соотношения ее со скоростью осаждения металлы выделяется либо лишь на активных участках, которые не успевают пассивироваться, либо на пассивных, но с большим перенапряжением.

Скорость пассивирования поверхности некоторых металлов настолько высока, а выделение металла на пассивной поверхности настолько затруднено, что без создания специальных депассивирующих условий осаждение этих металлов на катоде невозможно. В качестве характерных примеров можно привести электроосаждение марганца и совместное осаждение молибдена с никелем.

## Экспериментальная часть

Известно, что для электролитического получения металлического марганца слоя значительной толщины из растворов хлористых или сернокислых солей необходимым условием является присутствие в электролите соответствующих солей аммония. Однако относительно роли аммонийных солей существуют различные и противоречивые мнения.

За последние годы значительно увеличилось число работ, посвященных исследованию процесса электроосаждения марганца, среди которых особенно следует отметить работы Р. И. Агладзе и сотрудников [2]. Однако ясного представления о роли аммонийных солей при электроосаждении марганца до сих пор не существует.

Одной из основных трудностей при исследовании электроосаждения марганца является весьма плохая воспроизводимость экспериментальных результатов, вызванная, с одной стороны, неравномерностью распределения тока на поверхности марганцевого электрода, которая меняется с изменением состава электролита и температуры при одинаковых геометрических условиях (форма и размер электролитической ячейки и электродов и расположение их), и, с другой стороны, саморастворением марганца в условиях осаждения, происходящим в различной степени на разных участках в зависимости от поляризуемости электрода, которая неодинакова вследствие экранирования поверхности электрода при измерении потенциала, что в различной степени искажает измерение потенциала.

Для улучшения распределения тока по поверхности катода использовалось приспособление, представляющее собой стеклянную трубку с диаметром, равным диаметру катода, которая помещалась между электродами таким образом, что направляла силовые линии от анода к поверхности катода и ограничивала прохождение тока через боковые слои электролита. Для устранения экранирования нами применялся электрод особой конструкции, в котором капилляр подводился с обратной стороны электрода и спаивался в него таким образом, что расстояние между ним и поверхностью электрода было минимальным и строго фиксированным. Только применение

таких устройств дало возможность получить довольно хорошо воспроизводимые данные.

Исследование проводилось в растворе сернокислого марганца, с добавками и без добавок сульфата аммония, при pH 8,2 и 25°. На рис. 1 представлена зависимость скорости саморастворения марганца от концентрации сульфата аммония. Как видно из этих данных, в отсутствие сульфата аммония не происходит саморастворения марганца. Это указывает на его пассивное состояние. Если в качестве критерия активного состояния марганца взять его скорость саморастворения, то, как видно

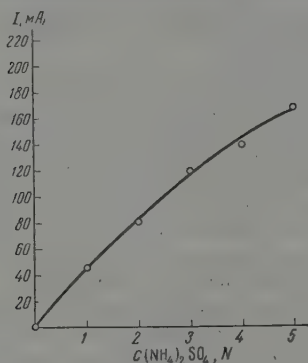


Рис. 1

Рис. 1. Изменение скорости саморастворения марганца в 1 N растворе  $\text{MnSO}_4$  в зависимости от концентрации  $(\text{NH}_4)_2\text{SO}_4$

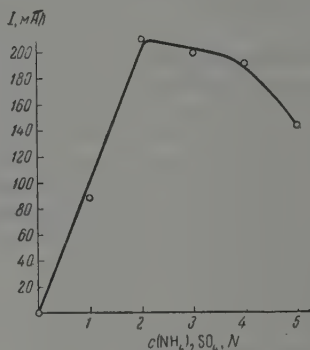


Рис. 2

Рис. 2. Изменение скорости осаждения металлического марганца в 1 N растворе  $\text{MnSO}_4$  в зависимости от концентрации  $(\text{NH}_4)_2\text{SO}_4$ .  $S = 2,0 \text{ см}^2$

из приведенных данных, по мере увеличения содержания сульфата аммония скорость саморастворения увеличивается, а следовательно, увеличивается и активность электрода.

К аналогичным выводам можно прийти, изучая процесс электроосаждения марганца в зависимости от концентрации сульфата аммония. На рис. 2 представлена зависимость скорости осаждения металлического марганца от концентрации сульфата аммония. Как видно из рис. 2, скорость восстановления ионов металла увеличивается с возрастанием концентрации сульфата аммония до определенной величины. Дальнейшее прекращение увеличения скорости осаждения металла связано с тем, что ток, идущий на разряд ионов металла, становится соизмеримым с током растворения.

То, что увеличение выхода по току марганца с увеличением концентрации сульфата аммония связано с активированием поверхности, видно и из поляризационных измерений (таблица).

Из таблицы видно, что в отсутствие сульфата аммония стационарный потенциал марганцевого электрода значительно более положительный, чем

Состав раствора	Стационарн. потенциал, вольты (н. к. в.)	Потенциал поляризованного электрода, вольты (н. к. в.)
1N $\text{MnSO}_4$	-1,191	-1,714
1N $\text{MnSO}_4 + 2\text{N}(\text{NH}_4)_2\text{SO}_4$	-1,39	-1,628
1N $\text{MnSO}_4 + 3\text{N}(\text{NH}_4)_2\text{SO}_4$	-1,34	-1,52
1N $\text{MnSO}_4 + 4\text{N}(\text{NH}_4)_2\text{SO}_4$	-1,3442	-1,435



указывает на пассивное состояние поверхности. Добавки сульфата аммония активируют поверхность марганца и смещают потенциал электрода в отрицательную сторону.

Из таблицы также видно, что потенциал выделения марганца и водорода становится более положительным по мере увеличения концентрации сульфата аммония, что указывает на облегчение процесса восстановления ионов  $Mn^{2+}$  и  $H^+$ . Следует отметить, что если в отсутствие сульфата аммония марганец не выделяется даже при значительно более отрицательных потенциалах, то в присутствии сульфата аммония катодный процесс при более положительном потенциале сопровождается преимущественным выделением марганца. Таким образом, восстановление ионов марганца происходит в условиях активирования поверхности сульфатом аммония.

Вторым примером, показывающим возможность восстановления ионов металла преимущественно по активной поверхности электрода, может служить совместное осаждение молибдена с никелем из лимонно-аммиачных растворов. На рис. 3

представлена зависимость скорости выделения молибдена, никеля и водорода от состава раствора. Как видно из рис. 3, с увеличением концентрации молибдата натрия до определенного значения происходит возрастание как скорости выделения молибдена, так и скорости выделения никеля. На катоде при этом выделяется сплав молибден — никель с постепенно возрастающим содержанием молибдена. При дальнейшем увеличении концентрации молибдата натрия скорости выделения молибдена и никеля начинают уменьшаться и при определенной концентрации молибдата выделения прекращаются, и на катоде выделяется лишь водород. Этой наивысшей концентрации молибдата натрия, при которой еще возможно осаждение сплава молибден — никель, соответствует образование сплава с 33% молибдена.

Как известно, сплав указанного состава (33% Mo + 67% Ni) являясь одним из коррозионностойких сплавов, обладающих прочной пассивной пленкой. Естественно, можно предполагать, что прекращение осаждения молибдена и никеля при таком составе сплава связано с пассивированием поверхности, на которой разряд ионов молибдена и никеля слишком затрудняется по сравнению с разрядом ионов водорода.

Еще одним примером, показывающим, как пассивирование в процессе электролиза может уменьшить скорость осаждения металла, хотя и прекращает его полностью, является электроосаждение никеля из лимоннокислых растворов с добавками аммиака.

На рис. 4 дана зависимость скорости выделения никеля от концентрации аммиака в электролите. Как видно из кривой 1, с увеличением концентрации аммиака увеличивается скорость выделения никеля. Эти результаты нельзя объяснить изменением концентрации ионов никеля вследствие комплексообразования, так как при этом происходило бы затруднение выделения металла. Данная зависимость может быть объяснена активированием поверхности никелевого электрода с увеличением концентрации аммиака. Это подтверждают опыты по растворению никеля в электролитах без тока (кривая 2), скорость которого с увеличением концентрации аммония увеличивается. Таким образом электроосаждение никеля,

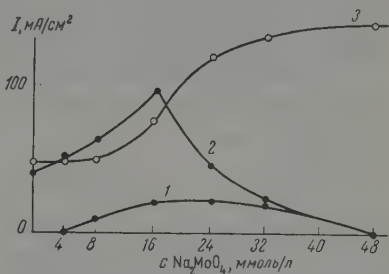


Рис. 3. Изменение скорости выделения: 1 — молибдена, 2 — никеля и 3 — водорода при совместном выделении их в лимонноаммиачном растворе в зависимости от концентрации  $Na_2MoO_4$ . Постоянный катодный потенциал — 1200 мВ

так же как марганца и молибдена, показывает, что активирование поверхности электрода способствует восстановлению ионов металла.

Приведенные примеры показывают, что одной из основных трудностей восстановления ионов металла на твердой поверхности является склонность металла к пассивированию, которая в зависимости от условий электролиза может быть изменена в некоторой степени. Металлы с большой склонностью к пассивированию с трудом подвергаются восстановлению на катоде.

По степени трудности восстановления ионов на электроде все металлы можно разделить условно на три группы.

К первой группе следует отнести металлы, выделение которых протекает с низким перенапряжением. К их числу относятся Sn, Cd, Zn, Cu, Ag и другие. Характерным для этой

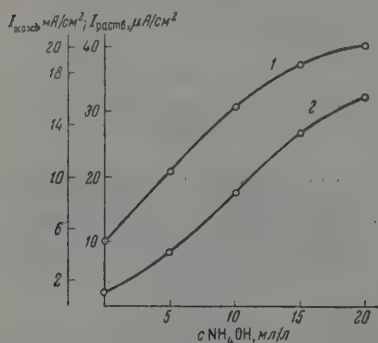


Рис. 4. Изменение: 1 — скорости выделения никеля в лимоннокислом растворе при постоянном катодном потенциале — 1250 mV и 2 — скорости саморастворения никеля в зависимости от концентрации аммиака в электролите

группы является то, что пассивирование поверхности протекает медленно, выделение металла происходит в основном на активных участках электрода и, как показали исследования, не сопровождается заметной химической поляризацией. Электролитическое выделение этих металлов можно осуществить сравнительно легко из растворов их различных солей, поскольку процесс пассивирования протекает значительно медленнее, чем осаждение. В связи с этим указанные металлы получают в чистом виде, без заметного включения в осадок посторонних примесей.

Ко второй группе обычно относятся металлы, выделение которых сопровождается высоким перенапряжением: а) Fe, Ni, Co; б) Cr, Mn

и другие. Эти металлы, как известно, имеют большую склонность к пассивированию. Наличие на поверхности электрода быстро образующейся пленки из чужеродных частиц в значительной степени затрудняет дальнейший разряд этих ионов. Выделение металлов этой группы, из-за большой скорости пассивирования, возможно только в ограниченных условиях электролиза из растворов некоторых солей. При этом осадки не отличаются высокой чистотой и содержат некоторые количества примесей в виде окиси, гидроокиси, водорода и т. д. [3].

К третьей группе следует отнести те металлы, которые не удается выделить из водных растворов в чистом виде [4]. Сюда относятся Mo, W, Nb, Ti, Ta. Для металлов третьей группы характерна повышенная реакционная способность по отношению к среде. Они легко образуют повсеместные соединения. В силу этого металлы этой группы выделяются на катоде в виде тонкого слоя сплава с подкладкой или же в виде окиси или гидроокиси. На окисленной поверхности дальнейшее восстановление металла резко затрудняется, и значительно облегчается восстановление ионов водорода. Поэтому эти металлы электролитически не удается выделить в чистом виде.

Анализ работ по электролитическому восстановлению металлов показывает, что большая склонность металлов к пассивированию является одним из основных препятствий при электроосаждении ряда металлов. Для осуществления процесса восстановления ионов металла необходимо создание условий, устраняющих или значительно уменьшающих скорость пассивирования поверхности электрода в процессе электролиза.

## Выводы

1. Показано, что при электрохимическом восстановлении ионов металла скорость восстановления зависит от скорости пассивирования. При малой скорости пассивирования металл выделяется с низким перенапряжением, а при большой скорости пассивирования осаждение металла резко затруднено и сопровождается высоким перенапряжением.

2. Высказано мнение, что невозможность осаждения ряда металлов в обычных условиях электролиза связана с большой скоростью пассивирования поверхности металла из-за взаимодействия со средой.

Академия наук СССР  
Институт физической химии  
Москва

Поступила  
6.VIII.1958

## ЛИТЕРАТУРА

1. Н. Т. Ваграмян, А. Т. Ваграмян, Ж. физ. химии, **23**, 78, 1949; А. Т. Ваграмян, Электроосаждение металлов, М., 1950; А. Т. Ваграмян, З. А. Соловьева, Методы исследования процессов электроосаждения металлов, М., 1955.
2. Р. И. Агладзе, А. Э. Легран, Ж. физ. химии, **24**, 1122, 1950; Электрохимия марганца, Изд-во АН Грузинской ССР, Тбилиси, 1957.
3. D. J. Macnaughton, G. E. Gardam, R. A. F. Hammond, Trans. Faraday Soc., **29**, 729, 1933; D. J. Macnaughton, A. W. Hotherhall, Trans. Faraday Soc., **31**, 1163, 1935; A. W. Hotherhall, G. E. Hammond, Trans. Electrochem. Soc., **73**, 449, 1938; A. W. Hotherhall, G. E. Gardam, J. Electrodep. Tech. Soc., **12**, 81, 1937; **15**, 127, 1939.
4. W. Clark, M. Lietzke, J. Electrochem. Soc., **99**, 245, 1952.

## THE ROLE OF PASSIVATION IN THE ELECTRODEPOSITION OF METALS

*A. T. Vagramyan, A. I. Krasovskii, Yu. S. Petrova  
and Z. A. Solov'eva (Moscow)*

## Summary

The rate of electrochemical reduction of metal ions has been investigated in relation to the state of the electrode surface in the aqueous solution. In the case of electrodeposition of Mn the activity of the electrode surface and the rate of deposition have been found to increase with increasing concentration of ammonium sulfate. In the case of deposition of Mo—Ni alloys the rate of reduction of the metal ions also depends on the state of the electrode surface.

It has been suggested that the difficulty in the deposition of a number of metals such as Mo, W, Nb, Ta, Ti, etc. is connected with the high rate of passivation of the surface of these metals due to interaction with the electrolyte. On a passive surface discharge of the metal ions is much more difficult than discharge of H<sup>+</sup> ions.

## ИССЛЕДОВАНИЕ ОБМЕНА СУЛЬФАТ-ИОНОВ НА АНИОНИТЕ Н-О В ДИНАМИЧЕСКИХ УСЛОВИЯХ НА ХЛОРИД- И ЙОДИД-ИОНЫ

*Ю. А. Толмачева и А. Т. Давыдов*

Ионнообменные смолы — аниониты — получили большое распространение сравнительно недавно. В настоящее время наша промышленность выпускает достаточное число этих сорбентов, обладающих разнообразными свойствами. Многие из анионитов нашли применение в аналитической химии, технологии и в научных исследованиях.

Изучение обмена анионов на анионитах в статических и динамических условиях показало, что эти процессы в общем подчиняются закономерностям, установленным для обмена катионов. В связи с этим в настоящее время механизм обмена ионов на ионитах рассматривается с единой точки зрения как для обмена катионов, так и для обмена анионов [1—5].

Однако в ряде работ [2, 3, 5] справедливо отмечается, что необходимы дальнейшие экспериментальные исследования, посвященные изучению механизма обмена различных анионов на анионитах различной природы. Необходимо, в частности, расширить исследования динамики обмена анионов, так как это имеет не только теоретическое, но и большое практическое значение.

В последние годы нами проведены были систематические исследования обмена анионов на анионитах отечественного производства. С целью сравнительной характеристики десяти образцов анионитов (ДН, АН-9, ЭД-10П, АВ-16, АН-2Ф, АН-9Ф, ТН, ММГ-1, Н-О и ТМ) были определены константы обмена хлорид-ионов на ряд неорганических и органических ионов, рассчитаны емкости поглощения сорбентов и проведено относительное сравнение их силы основности [6]. Кроме того, был исследован обмен сульфат-ионов на галогенид-ионы в статических условиях на анионитах ТН и Н-О [7, 8], а также изучена кинетика обмена этих ионов [9]. Как показали экспериментальные данные, обмен анионов в общем подчиняется закономерностям обмена катионов, однако уравнение изотерм обмена оказывается справедливым в более узком интервале концентраций [7, 8], чем при обмене катионов. Скорость обмена анионов заметно меньше скорости обмена катионов [9].

В продолжение этих работ мы исследовали обмен сульфат-ионов на хлорид- и йодид-ионы в динамических условиях на анионите Н-О. В частности, было изучено влияние скорости потока, дисперсности ионита, начальной концентрации раствора и величины константы обмена на процесс формирования рабочего слоя и перемещения его вдоль колонны. Результаты этих исследований изложены ниже.

### Экспериментальная часть

Опыты проводились на анионите Н-О с удельным весом, в воздушном сухом состоянии, равным 1,51. Анионит был насыщен сульфат-ионами. Выходные кривые были получены по методу переменных высот слоя сорбента в динамической колонке с диаметром 12 мм. Колонки, наполненные анионитом, промывались растворами солей КСl и КJ. В выходных р



творях, в отдельных порциях по 50 мл, определялось содержание галогенид-ионов. Скорость потока контролировалась по времени вытекания каждой порции раствора.

Как известно, характер формирования и перемещения фронта сорбции в работающей хроматографической колонке, при прочих равных условиях, определяется формой изотермы ионного обмена. В случае выпуклой изотермы по входящему иону образуется стационарный фронт, перемещающийся вдоль колонки с постоянной скоростью. При обмене разновалентных ионов выпуклая изотерма наблюдается в том случае, если величина

$$B = K^{z_1} h^{(1-z_1)/z_2} < 1, \quad (1)$$

где  $h$  — ионное отношение, а  $z_1$  — заряд вытесняемого иона [10]. В наших опытах  $z_1 = 2$ ,  $z_2 = 1$ , следовательно,

$$B = K^2 / h. \quad (2)$$

Значения параметра  $B$  были определены нами для четырех различных условий, в которых работали наши динамические колонки: при двух значениях дисперсности анионита и двух начальных концентрациях раствора. Для расчета  $h$  был определен объем пор в ряде трубок с сорбентом различной дисперсности. Емкость сорбента,  $S_m$ , принята равной 2,4 мг-экв/г [7, 8], а константы обмена сульфат-ионов на йодид- и хлорид-ионы соответственно 0,6 и 2,8 [7, 8]. В табл. 1 приведены результаты измерений и расчетов параметра  $B$ . Как видно, во всех случаях  $B > 1$ , что свидетельствует о вогнутой изотерме сорбции.

Таблица 1

Характеристика динамических колонок (расчет значений  $h$  и  $B$ )

$r$ , см	$C_0$ , моль/л	Вес, г	$N_0$	Объем пор, мл	$n_0$	$h$	$B_{J^-}$	$B_{Cl^-}$
0,012	0,010	8	19,2	17	0,17	0,0089	40	870
	0,025	8	19,2	17	0,42	0,022	16	354
0,075	0,010	6	14,4	14	0,14	0,0097	37	805
	0,025	6	14,4	14	0,35	0,024	15	325

В первой серии опытов было исследовано влияние степени дисперсности анионита на процесс формирования рабочего слоя. Изучался обмен сульфат-ионов на йодид-ионы. Динамические трубки промывались 0,025 М раствором КJ, объемная скорость потока  $\dot{V} = 10$  мл/мин. Анионит имел дисперсность, соответствующую радиусу зерна 0,012 и 0,075 см. Полученные выходные кривые приведены на рис. 1. Из этого рисунка видно, что увеличение зерна сорбента (пунктирные кривые) приводит к расширению фронта сорбции и тормозит его формирование.

В следующей серии опытов были получены выходные кривые при начальной концентрации раствора, равной 0,01 М, т. е. меньшей, чем в первом случае. Радиус зерна сорбента 0,012 см. При этих условиях были изучены две системы  $SO_4^{2-} - Cl^-$  и  $SO_4^{2-} - J^-$ .

На рис. 2 приведены полученные выходные кривые. Прежде всего необходимо отметить огромное влияние параметра  $B$  на характер выходных кривых. Как видно из табл. 1, параметр  $B$  для системы  $SO_4^{2-} - Cl^-$  почти 20 раз больше, чем для системы  $SO_4^{2-} - J^-$ . Соответственно с этим процесс формирования рабочего слоя при обмене йодид-ионов заканчивается значительно раньше, чем при обмене хлорид-ионов, и мы наблюдаем пересечение фронта вдоль колонки. Сравнение данных рис. 1 и 2 показывает, что ширина рабочего слоя больше в том случае, если для промывания колонки используется раствор с меньшей начальной концентрацией

(0,01 вместо 0,025 М). Это находится в соответствии с критерием обострения фронта сорбции [11], согласно которому понижение концентрации вводимого иона, если его валентность меньше валентности вытесняемых ионов, приводит к размытию фронта сорбции.

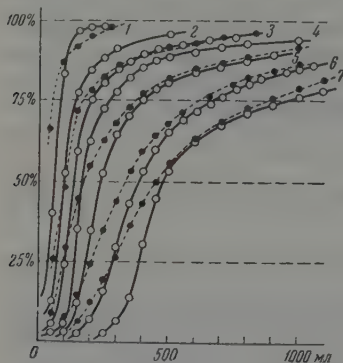


Рис. 1

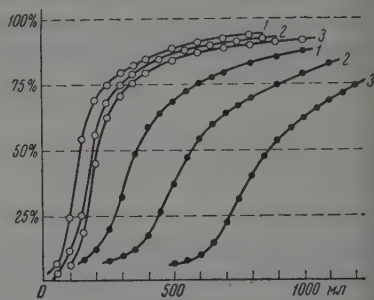


Рис. 2

Рис. 1. Выходные кривые при различных высотах слоя сорбента: 1—4 см; 2—7 см; 3—11 см; 4—14,5 см; 5—19,5 см; 6—33 см; 7—43 см. Обмен  $\text{SO}_4^{2-}$ -ионов на J-ионы. Величина зерна 0,012 см (светлые кружки) и 0,075 см (черные кружки)

Рис. 2. Влияние величины константы обмена на выходные кривые. Высота слоя: 1—18 см; 2—29 см; 3—45 см. Обмен в системах  $\text{SO}_4^{2-} - \text{Cl}^-$  (светлые кружки),  $\text{SO}_4^{2-} - \text{J}^-$  (черные кружки)

Данные рис. 1 и 2 можно использовать также для вычисления скоростей движения различных точек фронта сорбции. На рис. 3 приведены графики движения точек фронта, соответствующие 25, 50 и 75% максимальной концентрации раствора. График представляет собой прямые линии, что, в соответствии с теорией [12], говорит о постоянстве скорости движения каждой из точек фронта сорбции. Однако для разных точек фронта скорости различны, причем во времени наблюдается расширение фронта сорбции. Из рис. 3 также видно, что скорость движения фронта больше в случае использования более концентрированных растворов для промывания колонн (сплошные линии). При этом, как уже отмечалось выше, уменьшается также ширина фронта.

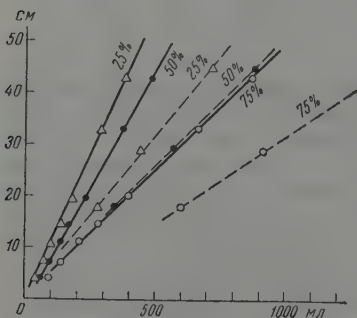


Рис. 3. Графики движения фронта сорбции при обмене в системе  $\text{SO}_4^{2-} - \text{J}^-$  по данным рис. 1 и 2

Колонки промывались 0,025 М растворами солей KCl или KJ. Объемная скорость потока раствора была равна 10; 3,3 и 0,55 мл/мин. На основании полученных выходных кривых составлена табл. 2, где приведены для двух систем следующие данные:  $V_{\text{ср}}$  — объем выходного раствора в миллилитрах, соответствующий средней точке (50%) выходной кривой, и  $\Delta V$  — условная ширина рабочего фронта, выраженная в объемных единицах

ам же приведены значения скорости движения рабочего фронта, рассчитанные по формуле:

$$v = \frac{x}{V_{\text{ср}}}, \quad (3)$$

где  $x$  — высота слоя сорбента в колонке, равная в наших опытах 37 см.

Таблица 2

Влияние скорости потока на скорость движения фронта и его ширину.  
Высота слоя  $x = 37$  см

Скорость потока, мл/мин	Система $\text{SO}_4^{2-} - \text{Cl}^-$			Система $\text{SO}_4^{2-} - \text{J}^-$		
	$V_{\text{ср}}$	$\Delta V$	скорость движе- ния фронта	$V_{\text{ср}}$	$\Delta V$	скорость движе- ния фронта
0,55	170	165	0,218	380	230	0,0985
3,3	140	170	0,264	330	250	0,112
10,0	90	175	0,413	280	270	0,132

Как видно из таблицы, с ростом скорости потока увеличиваются ширина фронта и скорость его движения в соответствии с закономерностями, известными для обмена катионов.

Таким образом, проведенные эксперименты не оставляют сомнения в том, что обмен анионов и катионов в динамических условиях качественно подчиняется одним и тем же закономерностям.

### Выводы

1. Исследован обмен  $\text{SO}_4^{2-}$ -ионов на  $\text{J}^-$  и  $\text{Cl}^-$ -ионы в динамических условиях в зависимости от изменения степени дисперсности анионита, скорости потока раствора, его начальной концентрации и константы обмена.
2. Опыты показали, что уменьшение дисперсности анионита, увеличение скорости потока, уменьшение начальной концентрации раствора и увеличение константы обмена приводят к замедлению процесса формирования рабочего слоя и к его расширению.
3. В соответствии с вогнутым характером изотермы сорбции при обмене  $\text{SO}_4^{2-}$ -ионов на галогенид-ионы наблюдается расширение фронта сорбции при движении его вдоль динамической колонки.

Харьковский государственный университет  
им. А. М. Горького  
Институт химии

Поступила  
6.VIII.1958

### ЛИТЕРАТУРА

- А. Т. Давыдов, Тр. Ин-та химии ХГУ, 6, 23, 139, 1946.  
Б. П. Никольский, В. И. Парамонова, Уч. зап. ЛГУ, № 163, сер. хим., вып. 12, 112, 121, 1953.  
Б. П. Никольский, В. И. Парамонова, Н. Ф. Богатова, Хроматография, Изд-во ЛГУ, 1956, стр. 121.  
Б. П. Никольский, см. [3], стр. 5.  
В. И. Парамонова, Р. К. Карпова, см. [3], стр. 29.  
А. Т. Давыдов, Ю. А. Толмачева, Ж. прикл. химии, 32, 1979, 1959.  
А. Т. Давыдов, Ю. А. Морозова, К. Я. Левина, Тр. хим. факульт. ин-та химии ХГУ, 15, 19, 1956.  
А. Т. Давыдов, Ю. А. Морозова, К. Я. Левина, см. [7], стр. 23.  
Ю. А. Толмачева, А. Т. Давыдов, Тр. Всес. совещания по хроматографии 3—6 февраля 1958 г., Изд-во АН СССР, М., 1960.  
В. В. Рачинский, см. [9].  
В. В. Самсонов, Сб. «Хроматография». Изд-во ЛГУ, 1956, стр. 22.  
О. М. Тодес, В. В. Рачинский, Ж. физ. химии, 29, 1909, 1955.

INVESTIGATION OF THE EXCHANGE OF SULFATE FOR CHLORIDE AND  
IODIDE IONS ON THE ANION EXCHANGER N-O UNDER FLOW  
CONDITIONS

*Yu. A. Tolmacheva, A. T. Davydov (Kharkov)*

S u m m a r y

The exchange of  $\text{SO}_4^{2-}$  for  $\text{I}^-$  and  $\text{Cl}^-$  on the anion exchanger N-O under flow conditions has been investigated. Decrease in the exchanger dispersity and initial solution concentration and increase in the exchange coefficient lead to a broadening of the sorption front. In conformity with the concave shape of the sorption isotherm, broadening of the front is observed on its movement in the flow column.

---



## ТЕРМОДИНАМИЧЕСКИЕ ФУНКЦИИ ВОЗДУХА ПРИ ВЫСОКИХ ТЕМПЕРАТУРАХ

*Е. В. Ступоченко, Е. В. Самуйлов, А. С. Плешанов  
и И. Б. Рождественский*

В последнее время получил важное значение вопрос о термодинамических свойствах воздуха при высоких температурах в широком интервале давлений. Непосредственное экспериментальное определение термодинамических величин в этих условиях затруднительно, однако задача может быть с достаточной точностью решена методами статистической термодинамики с использованием обширных экспериментальных, главным образом спектроскопических, данных.

В работе [1] изложены метод и результаты расчета термодинамических величин воздуха для температур от 1000 до 12000° К и давлений от 0,001 до 1000 атм. В [2] опубликованы подробные таблицы термодинамических функций воздуха для температур от 6000 до 12000° К и давлений от 0,001 до 1000 атм. В работе [3] приводятся данные о термодинамических функциях при температурах выше 20000° К.

Цель настоящей работы — исследование термодинамических свойств воздуха и его компонентов в температурном интервале от 12000 до 20000° К. Новыми обстоятельствами, появляющимися при расчетах для этого интервала температур, являются необходимость внесения поправок на кулоновское взаимодействие заряженных частиц газа и необходимость учета нейтральных размеров атомов в возбужденных электронных состояниях. Для вычисления достаточно точных значений термодинамических свойств воздуха его можно считать состоящим из азота, кислорода и аргона, пренебрегая остальными примесями. При значительном повышении температуры воздуха в нем происходит диссоциация кислорода и азота, также реакция образования окиси азота и при дальнейшем увеличении температуры ионизация атомов и молекул. Таким образом при высоких температурах воздух является смесью реагирующих газов. Задача вычисления термодинамических свойств такой смеси расчленяется на следующие этапы:

- 1) расчет термодинамических функций компонентов воздуха и вычисление констант равновесия для реакций диссоциации и ионизации;
- 2) вычисление состава воздуха при различных температурах и давлениях;
- 3) расчет термодинамических свойств воздуха.

### Метод расчета термодинамических функций компонентов воздуха

Расчет термодинамических функций компонентов воздуха при высоких температурах сводится к вычислению соответствующих статистических сумм для внутренних степеней свободы частиц газа. Наиболее простой вид имеют статистические суммы для атомов

$$Q = \sum_i g_i e^{-\epsilon_i/kT}, \quad (1)$$

где  $g_i$ ,  $\epsilon_i$  — статистический вес и энергия  $i$ -го состояния, отсчитываемая от невозбужденного состояния атома;  $k$  — постоянная Больцмана;  $T$  — температура в  $^{\circ}\text{К}$ .

Теоретически число электронных энергетических уровней атомов, молекул и их ионов при значениях энергий, близких к энергии ионизации, бесконечно велико. Поэтому статистические суммы вида (1) являются расходящимися рядами, и возникает вопрос о разумном способе ограничения числа членов этих рядов. Такое ограничение можно провести различными способами. В частности, можно, следуя [4, 5], рассматривать каждое возбужденное состояние как отдельный сорт частиц и в выражении свободной энергии смеси учитывать размеры частиц каждого сорта. Такой прием фактически означает учет уменьшения вероятности высоковозбужденных состояний, связанного с возмущающим действием окружающих частиц и, таким образом, устраняет расходимость сумм вида (1).

Оценку размеров возбужденных атомов можно провести следующим образом. Возбужденное состояние атома с  $\epsilon_i \sim I$  ( $I$  — энергия ионизации атома) представляет собой систему из электрона и атомного остатка, взаимодействующих по закону кулоновских сил.

Полная энергия такой системы равна

$$E_m = -\frac{Ze^2}{2r}, \quad (2)$$

где  $Z$  — целое число, равное заряду атомного остатка в единицах заряда электрона,  $e$  — заряд электрона,  $r$  — расстояние между электроном и атомным остатком. Из (2) имеем

$$r_m = -\frac{Ze^2}{2E_m}, \quad (3)$$

где  $E_m$  — полная энергия  $m$ -го уровня.

Значения  $E_m$  для исследованных серий уровней известны из спектроскопических данных часто до  $n \sim 10$  ( $n$  — главные квантовые числа серии).  $E_m$  может быть вычислено также по серийной формуле:

$$E_m = -\frac{Z^2 R}{(m+a)^2}, \quad (4)$$

где  $R$  — постоянная Ридберга,  $m$  — номер уровня серии,  $a$  — постоянная данной серии уровней.  $a$  может быть найдено для данной серии уровней, если известны положение одного из энергетических уровней серии и предел ионизации для данной серии, или если известно положение крайней мере двух энергетических уровней серии. Постоянная  $a$  учитывает зависимость энергии данного уровня атома от значения орбитального момента электрона. Пользуясь (4), получим

$$v_m = 0,62 \cdot 10^{-24} \frac{(m+a)^6}{Z^3} \text{ см}^3.$$

Совершенно аналогично может быть проведена оценка размеров возбужденных электронных состояний молекул. Молекулы в нормальном или одном из первых возбужденных электронных состояний (в этих состояниях меядерное расстояние имеет порядок размеров молекул) имеют различные размеры для различных колебательных и вращательных состояний в пределах одного электронного состояния. Однако изменение этих размеров от нижних колебательных или вращательных состояний до высших невелико, и им можно пренебречь, считая размер молекулы в данном электронном состоянии постоянным.

Свободную энергию моля газа с учетом размеров частиц можно писать в виде:

$$F = - \sum_i N_i kT \ln \left\{ \left( \frac{2\pi mkT}{h^2} \right)^{3/2} g_i e^{-\epsilon_i/kT} \frac{V_e}{N_i} \right\} + \sum_{ij} \frac{kT}{V} N_i N_j \frac{v_{ij}}{2},$$

где  $N_i$  — число частиц  $i$ -го сорта в моле газа;  $m$  — масса частицы;  $V$  — объем газа;  $e$  — основание натуральных логарифмов;  $v_{ij}$  — эффективный объем частиц  $i$  и  $j$ , определяемый с помощью (2);  $h$  — постоянная Планка.

Рассматривая газ как систему, в которой могут происходить реакции  $A_i \rightleftharpoons A_0 + \epsilon_i$ , где  $A_i, A_0$  — химические символы возбужденного и нормального состояния атома, и пользуясь условиями термодинамического равновесия, получим

$$\frac{N_i}{N_0} = \frac{g_i}{g_0} \exp \left\{ -\frac{\epsilon_i}{kT} - \frac{1}{V} \sum_j (v_{ji} - v_{j0}) \right\}, \quad (7)$$

где  $N = \sum_i N_i$ ,  $N_0$  — число частиц в нормальном состоянии.

Для сортов частиц с  $\epsilon_i \sim I$  из (3), (5) имеем

$$\sum_j N_j v_{j0} \ll \sum_j N_j v_{ji} \approx N v_{0i} \approx N v_i.$$

Для сортов частиц с  $\epsilon_i \ll I$  имеем

$$\frac{1}{V} \sum_j N_j (v_{ji} - v_{j0}) \sim 0.$$

Поэтому показатель при экспоненте в (7) можно заменить на

$$-\frac{\epsilon_i}{kT} - \frac{N}{V} v_i \quad \text{или} \quad -\frac{\epsilon_i}{kT} - \frac{p}{kT} v_i.$$

В (7) для отношения числа частиц  $i$ -го сорта в моле газа, рассчитанного с учетом размеров возбужденных частиц, к числу частиц  $i$ -го сорта  $N_{i(0)}$ , рассчитанного без учета размеров возбужденных частиц, получим

$$\frac{N_i}{N_{i(0)}} = e^{-(p/kT) v_i}. \quad (8)$$

Отсюда следует, что учет размеров возбужденных частиц в условиях термодинамического равновесия приводит к уменьшению числа частиц в данном возбужденном состоянии по сравнению с числом частиц в этом состоянии без учета размеров.

Средний объем, приходящийся на одну частицу в газе,  $\bar{v} = kT/p$ . Поэтому для возбужденных состояний частиц с линейными размерами, сравнимыми среднему расстоянию между частицами в газе,  $(p/kT) v_i \sim 1$ . Формулы (7), (8) получены в предположении  $(p/kT) v_i \ll 1$ . Однако, как следует из вышеизложенного, учет в членах ряда статической суммы множителей вида  $e^{-(p/kT) v_i}$  без ограничений на значение  $(p/kT) v_i$  привел к тому, что состояния частиц с линейными размерами порядка или превосходящими среднее расстояние между частицами в газе практически не учитывались бы, как не реализующиеся, что физически вполне оправдано. Исходя из этого, в качестве расчетных формул для внутренней энергии, теплоемкости при постоянном объеме  $C_V$ , энтропии  $S$  на моль компонентов воздуха при высоких температурах мы будем пользоваться следующими формулами:

$$U = \frac{3}{2} RT + R \frac{Q'}{Q''} + \text{const}; \quad (9)$$

$$C_V = \frac{3}{2} R + 2R \frac{Q'}{Q} + R \frac{Q''}{Q} - R \left( \frac{Q'}{Q''} \right)^2; \quad (10)$$

$$S = R \ln \left\{ \frac{ekT}{p} \left( \frac{2\pi mkT}{h^2} \right)^{3/2} Q \right\} + \frac{3}{2} R + RQ'; \quad (11)$$

где

$$Q = \sum_i g_i e^{-(\epsilon_i/kT) - (p/kT)v_i}, \quad (12)$$

$$Q' = \sum_i g_i \frac{\epsilon_i}{kT} e^{-(\epsilon_i/kT) - (p/kT)v_i}; \quad (13)$$

$$Q'' = \sum_i g_i \frac{\epsilon_i}{kT} \left( \frac{\epsilon_i}{kT} - 2 \right) e^{-(\epsilon_i/kT) - (p/kT)v_i}, \quad (14)$$

$p$  — давление;  $R$  — газовая постоянная;  $(p/kT)v_i$  может принимать любые значения.

Помимо отмеченных выше работ [4, 5], вопрос о расчете термодинамических функций при высоких температурах обсуждался рядом авторов [6—8].

В работе [8] в статистических суммах предлагается учитывать в конечном счете только те состояния атомов и ионов, в которых радиус атома не превышает радиуса Дебая. При температурах от 12000 до 20000° К и давлениях от  $10^{-3}$  до  $10^3$  атм  $r_d \approx r_{\text{ср}}$ , где  $r_d$  — радиус Дебая и  $r_{\text{ср}}$  — среднее расстояние между частицами в газе. Вследствие этого способы ограничения рядов статистических сумм, предложенные в работах [4, 5] и [8], практически совпадают в указанном выше интервале температур и давлений.

#### Расчетные формулы для термодинамических функций атомарных и молекулярных газов с учетом размеров возбужденных состояний частиц

Для атомов и их ионов все уровни, которые оказывают влияние на значение статистических сумм при вычислении  $Q$ ,  $Q'$ ,  $Q''$ , можно разделить на две группы. К первой группе относится небольшое число уровней  $\epsilon_i < 50\,000$  см $^{-1}$ . Собственный объем атомов в этих состояниях мал, и влиянием его на величины  $Q$ ,  $Q'$ ,  $Q''$  можно пренебречь. Эти уровни дают главный вклад в значения статистических сумм и должны быть учтены наиболее точно.

Ко второй группе можно отнести большое число энергетических уровней со значениями  $\epsilon_i \sim I$ . Значения  $\epsilon_i$  этих уровней с большой точностью могут быть вычислены по сериальным формулам:

$$\epsilon_{sm} = I_s - \frac{Z^2 R}{(m + a_s)^2}, \quad (15)$$

где индексом  $s$  отмечены номера серий; индексом  $m$  — номер уровня в серии. В экспоненте в статистических суммах входят величины  $(\epsilon_i/kT)$  и  $(p/kT)v_i$ . При помощи сериальных соотношений первую из этих величин можно представить в виде:

$$I_{sm} = 1,43883 \left[ I_s - \frac{109678 Z^2}{(m + a_s)^2} \right] \frac{1}{T}, \quad (16)$$

и вторую — в виде:

$$S_{sm} = 0,448 \cdot 10^{-2} \frac{(m + a_s)^3}{Z^3} \frac{p}{T}, \quad (17)$$

где  $I_s$  в см $^{-1}$ ,  $p$  в атмосферах,  $T$  в °К.

Уровни с  $\epsilon_i \sim I$  дают поправки к значениям статистических сумм, поэтому могут быть учтены менее точно, чем первая группа уровней. Анализ взаимного расположения уровней второй группы показывает, что уровни некоторых серий с одинаковыми  $m$  без потери необходимости в  $Q$ ,  $Q'$ ,  $Q''$  могут быть объединены в один уровень с соответствующим изменением статистического веса уровня. Объем вычислений при этом значительно сокращается. В качестве значений  $a_s$  при этом можно взять средние из  $a_s$  из объединенных серий. Расчетные формулы для



$Q'$ ,  $Q''$  для атомов и их ионов с учетом изложенного выше, например, приобретают вид:

$$Q = \sum_i g_i e^{-\varepsilon_i/kT} + \sum_{s, m} g_s e^{-(L_{sm} + S_{sm})'}; \quad (18)$$

$$Q' = \sum_i g_i \frac{\varepsilon_i}{kT} e^{-\varepsilon_i/kT} + \sum_{s, m} g_s L_{sm} e^{-(L_{sm} + S_{sm})'}, \quad (19)$$

где суммирование по  $i$  ведется по всем уровням первой группы, суммирование по  $s$  — по всем «объединенным» сериям и суммирование по  $m$  — по всем уровням «объединенной» серии. Расчетные формулы для статистических сум молекул имеют вид, изложенный в [1].

### Метод расчета состава и термодинамических функций воздуха при различных $T$ и $p$

Молярные доли компонентов воздуха могут быть найдены из системы уравнений закона действующих масс, который, например, для случая реакции ионизации  $N^+ + e \rightleftharpoons N$  имеет вид:

$$\frac{x_{N^+} x_e}{x_N} = \frac{K_p^*}{p}, \quad (20)$$

где  $x_N$ ,  $x_{N^+}$ ,  $x_e$  — молярные доли  $N$ ,  $N^+$  и электронов,  $K_p^*$  — константа равновесия двух уравнений материальных балансов, учитывающих следующий состав воздуха по объему при нормальных условиях:  $N_2$  — 3,08%,  $O_2$  — 20,95%,  $Ar$  — 0,97%, условия нормировки  $\sum_i x_i = 1$  и уравнения закона сохранения заряда.

При высоких температурах воздух ионизируется даже при сравнительно высоких давлениях. В таких условиях при вычислении состава воздуха и термодинамических функций необходимо учитывать кулоновское взаимодействие частиц. Приближенный метод учета кулоновского взаимодействия частиц в термодинамике разработан Дебаем и Хюккелем [9]. Этот метод применим при условии малости средней энергии кулоновского взаимодействия по сравнению со средней кинетической энергией теплового движения:

$$\frac{e^2}{r} \ll kT, \quad (21)$$

где  $\bar{r}$  — среднее расстояние между заряженными частицами в газе. При учете кулоновского взаимодействия частиц  $K_p^*$  в (20) отличается от  $K_p$  для идеального газа.

$K_p^*$  для реакции  $\sum_i \nu_i A_i = 0$  можно получить из условия минимума термодинамического потенциала системы. При этом

$$K_p^* = K_p e^{\sum_i \nu_i \left( \frac{\theta_d Z_i^2}{\bar{q}^2} - \theta_p \right)}, \quad (22)$$

$$\theta_d = \frac{e^2 \sqrt{\pi p} (\bar{q}^2)^{1/2}}{(kT)^2}; \quad \theta_p = \frac{\theta_d}{3}; \quad \bar{q}^2 = \sum_i x_i Z_i^2.$$

Удельные термодинамические функции: внутренняя энергия  $u$ , энтальпия  $h$ , энтропия  $s$ , теплоемкости при постоянном давлении  $c_p$  и постоянном объеме  $c_v$ , скорость звука  $a$  с учетом кулоновского взаимодействия выражаются следующим образом:

$$u = \frac{1}{\mu} \sum_i U_i x_i - \frac{R}{\mu} T \theta_d; \quad (23)$$

$$h = \frac{1}{\mu} \sum_i H_i x_i - \frac{R}{\mu} T (\theta_d + \theta_p); \quad (24)$$

$$s = \frac{1}{\mu} \sum_i (S_i x_i - R x_i \ln x_i) + \frac{R}{\mu} \theta_p; \quad (25)$$

$$c_p = \frac{1}{\mu} \sum_i \left[ C_{pi} x_i + H_i \left( \frac{\partial x_i}{\partial T} \right)_p + H_i x_i \sigma_p \right] + \frac{R}{\mu} (\theta_d + \theta_p) \varepsilon_p; \quad (26)$$

$$c_v = \frac{1}{\mu} \sum_i \left[ C_{vi} x_i + H_i \frac{1}{N} \left( \frac{\partial N_i}{\partial T} \right)_v \right] - \frac{R}{\mu} T \sigma_v + \frac{R}{\mu} \theta_d \varepsilon_v; \quad (27)$$

$$a^2 = \frac{c_p}{c_v} \frac{p}{p} \frac{1 + T \sigma_v \frac{1 + 2\theta_p}{1 + \theta_p} + \frac{\theta_p}{1 + \theta_p} (1 + \varepsilon_v)}{1 + T \sigma_p + \frac{\theta_p}{1 + \theta_p} (1 + \varepsilon_p)}. \quad (28)$$

В формулах (23) — (28)  $\mu$  — молекулярный вес воздуха,  $\mu = \sum_i \mu_i x_i$ , где  $\mu_i$  — молекулярный вес  $i$ -го компонента;  $N$  — число молей смеси;  $N_i$  — число молей  $i$ -го компонента;

$$\varepsilon_p = 1 - \frac{3}{2} T \left( \frac{\partial \ln \bar{q}^2}{\partial T} \right)_p; \quad \varepsilon_v = \frac{1}{2} - \frac{3}{2} T \left( \frac{\partial \ln N \bar{q}^2}{\partial T} \right)_v;$$

$$\sigma_v = \frac{1}{N} \sum_i \left( \frac{\partial N_i}{\partial T} \right)_v; \quad \sigma_p = - \frac{1}{\mu} \sum_i \mu_i \left( \frac{\partial x_i}{\partial T} \right)_p.$$

При расчетах термодинамических функций воздуха при температурах от 12000 до 20000° К и давлений от 0,001 до 1 атм учитывались следующие компоненты N, O, Ar, N<sup>+</sup>, O<sup>+</sup>, Ar<sup>+</sup>, N<sup>(2+)</sup>, O<sup>(2+)</sup>, Ar<sup>(2+)</sup> и электроны при давлениях от 1 до 1000 атм учитывались N<sub>2</sub>, O<sub>2</sub>, NO, N, O, Ar, N<sup>+</sup>, O<sup>+</sup>, Ar<sup>+</sup> и электроны. Таким образом во всем интервале температур для отыскания молярных долей воздуха при каждом  $T$  и  $p$  решалась система из четырех линейных и шести трансцендентных алгебраических уравнений. Система решалась методом Ньютона в комбинации с методом последовательных приближений. Для расчета  $c_p$  и  $c_v$  необходимо вычислить производные по температуре от молярных долей компонентов воздуха при постоянном объеме и при постоянном давлении. Систему уравнений десяти производных по температуре от молярных долей компонентов воздуха при постоянном давлении можно получить дифференцированием системы десяти уравнений для молярных долей компонентов воздуха по температуре при постоянном давлении.

Надежность расчетов термодинамических функций и состава воздуха изложенным методом в основном определяется надежностью расчетов термодинамических функций компонентов воздуха и констант равновесия. Надежность учета поправок к составу и термодинамическим функциям за счет кулоновского взаимодействия частиц определяется соблюдением критерия (21).

Величина  $\beta = e^2 / (rkT)$  оказывается очень малой при давлениях  $\sim 10^{-2}$  до  $10^{-1}$  атм. При 20000° К и давлениях от  $10^{-2}$  до 10 атм  $\beta$  изменяется от 0,01 до 0,1 и для давлений  $10^2$ — $10^3$  атм достигает значений 0,2—0,3, т. е. при давлениях выше 10<sup>2</sup> атм метод Дебая — Хюккеля дает лишь поправку величины поправочного члена. Как показывают оценки,  $\beta$  слабо зависит от температуры. Поэтому надежность расчета поправок на ку-

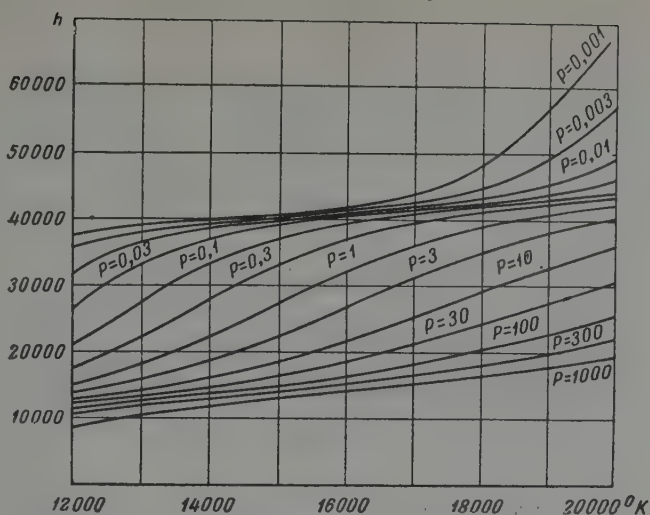


Рис. 1. Энтальпия воздуха  $h$  кал/г. Числами на кривых обозначено давление в атмосферах

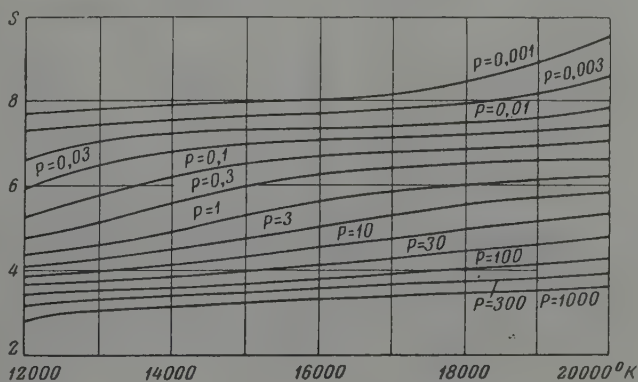


Рис. 2. Энтропия воздуха  $s$ , кал/г·град. Числами на кривых обозначено давление в атмосферах

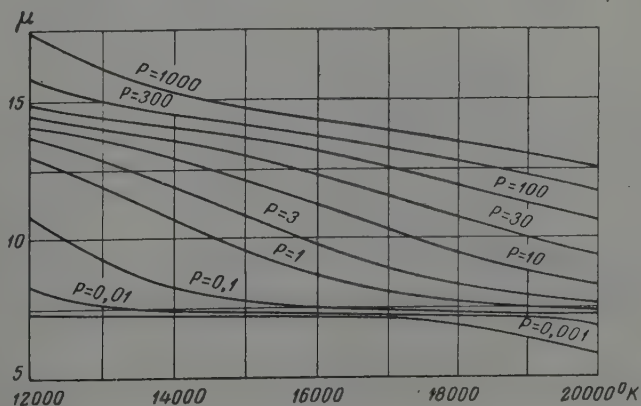


Рис. 3. Молекулярный вес воздуха  $\mu$ , г/моль. Числами на кривых обозначено давление в атмосферах

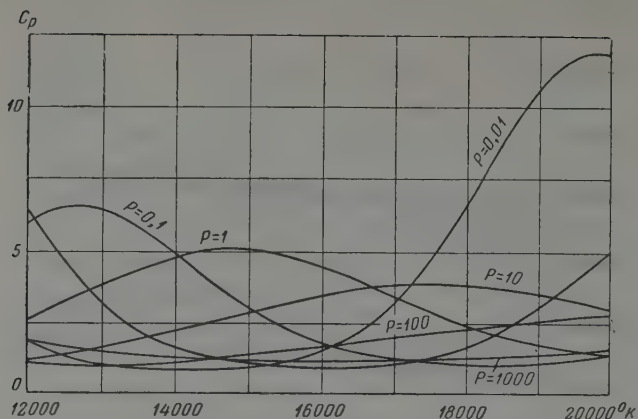


Рис. 4. Теплоемкость воздуха при постоянном давлении  $c_p$ , кал/г·град. Числами на кривых обозначено давление в атмосферах

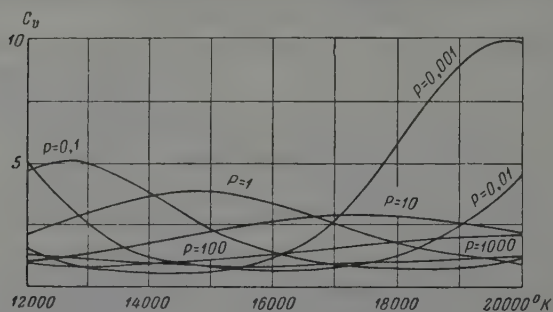


Рис. 5. Теплоемкость воздуха при постоянном объеме  $c_v$ , кал/г·град. Числами на кривых обозначено давление в атмосферах

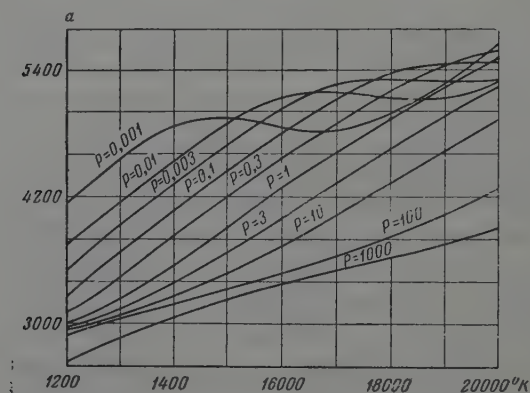


Рис. 6. Скорость звука  $a$ , м/сек



овское взаимодействие во всем интервале температур при определенном давлении приблизительно одинакова. Однако роль поправок в выражениях для термодинамических функций различна при различных  $T$  и  $p$ , так как величины поправок существенным образом зависят от степени ионизации газа. Учитывая это, можно сказать, что лишь при температурах около  $10000^\circ\text{K}$  и давлениях около  $1000\text{ атм}$  полученные результаты по термоди-

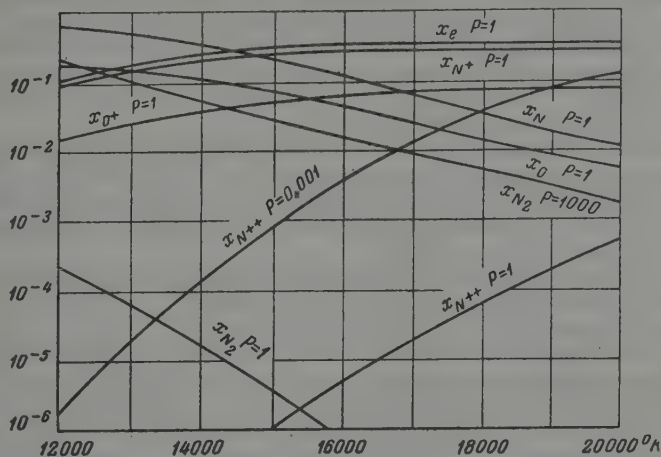


Рис. 7. Состав воздуха при  $p = 1\text{ атм}$ . Концентрации  $x_{N^{++}}$  при  $p = 0,001\text{ атм}$  и  $p = 1\text{ атм}$ ,  $x_{N_2}$  при  $p = 1\text{ атм}$

мическим функциям воздуха могут содержать ошибку в несколько процентов. Величина же ошибки в молярных долях ионизованных компонентов в воздухе может быть порядка нескольких процентов при давлениях около  $1000\text{ атм}$  во всем интервале температур от  $12000$  до  $20000^\circ\text{K}$ .

Следует также иметь в виду, что степень термической ионизации рассчитана методами статистической теории равновесных систем, и, следовательно, при расчетах кинетических свойств ионизованного воздуха, например, проводимости или при рассмотрении вопросов излучения не-

Функция и размерность	$0^\circ\text{C}$	$17^\circ\text{C}$
$h$ , кал/г	65,4	69,48
$u$ , кал/г	46,67	49,58
$s$ , кал/г·град.	1,735	1,750

ходимо учитывать конкретные возможные механизмы процессов, которым может отвечать эффективная степень ионизации, отличная от даваемой в таблицах (см. обсуждение этого вопроса, например, в [8]).

Все вычисления по компонентам воздуха, по составу и термодинамическим функциям воздуха были с большой степенью точности проведены единой программой на быстродействующей электронной счетной машине ВЦ АН СССР.

Небольшая часть результатов вычисления термодинамических функций и состава воздуха для температур от  $12000$  до  $20000^\circ\text{K}$  и давлений от  $0,01$  до  $1000\text{ атм}$  приводится ниже в виде рисунков. Энтальпия, внутренняя энергия и энтропия при  $0^\circ\text{C}$  ( $273,16^\circ\text{K}$ ) и  $17^\circ\text{C}$  ( $290,16^\circ\text{K}$ ) даны в приложении.

Значения энтропии на графике включают член  $\frac{R}{\mu} \ln p$ . Энтропия для  $17^\circ\text{C}$  дана для  $p = 1\text{ атм}$ .

Спектроскопические и прочие постоянные, использованные в расчетах, приведены в [2] и [10].

Настоящая работа поставлена в связи с циклом исследования свойств газов при высоких температурах, проводимых в Энергетическом институте АН СССР и на физическом факультете Московского государственного университета под общим руководством проф. А. С. Предводителя.

### Выводы

1. Установлено, что в интервале температур от 12000 до 20000° К и давлений от 0,001 до 1000 *атм* термодинамические функции воздуха достаточной точностью могут быть рассчитаны методами статистической физики с учетом кулоновского взаимодействия заряженных частиц по методу Дебая — Хюккеля и с учетом линейных размеров возбужденных частиц по методу Ферми и Эйри.

Максимальная ошибка в рассчитанных таким образом термодинамических функциях воздуха достигает при  $p = 1000$  *атм* и  $T = 20000^\circ$  порядка процента. В составе ионизованных компонентов воздуха ошибки такой величины может иметь место при  $p = 1000$  *атм* во всем интервале температур от 12000 до 20000° К.

2. Выведены расчетные формулы, пригодные для расчета термодинамических функций воздуха в интервале температур от 12000 до 20000° К и интервале давлений от 0,001 до 1000 *атм*.

3. В интервале температур от 12000 до 20000° К рассчитаны термодинамические функции и состав воздуха с учетом кулоновского взаимодействия заряженных частиц по методу Дебая — Хюккеля и с учетом линейных размеров атомов и их ионов. Для давлений от 0,001 до 1 *атм* расчеты производились с учетом диссоциации  $N_2$ ,  $O_2$  однократной и двукратной ионизации  $N$ ,  $O$ ,  $Ar$ ; для давлений от 1 до 1000 *атм* с учетом диссоциации  $N_2$ ,  $O_2$ , образования  $NO$  и однократной ионизации  $N$ ,  $O$ ,  $Ar$ . Результаты расчетов приведены в виде графиков.

Академия наук СССР  
Энергетический институт  
Московский государственный  
университет им. М. В. Ломоносова

Поступила  
8.VIII.1958

### ЛИТЕРАТУРА

1. Е. В. Ступоченко, Е. В. Самуйлов, И. П. Стаханов, А. С. Плешанов, И. Б. Рождественский, Термодинамические функции воздуха в интервале температур от 1000 до 12000° К. Сб. работ ЛФГ ЭНИН АН СССР. — Физическая газодинамика и некоторые вопросы горения.
2. А. С. Предводителев, Е. В. Ступоченко, Е. В. Самуйлов, И. П. Стаханов, А. С. Плешанов, И. Б. Рождественский. Таблицы термодинамических функций воздуха для температур от 6000 до 12000° К и давлений от 0,001 до 1000 атмосфер, М., 1957.
3. В. В. Селиванов и И. Я. Шляпникох, Ж. физ. химии, 22, 670, 1948.
4. E. Fermi, Z. Phys., 26, 54, 1924.
5. F. Urey, Astrophys. J., 59, 1, 1924.
6. G. Baumann, Z. phys. Chem., B, 14, 1958.
7. A. Z. Unsold, Z. Astrophys., 24, 355, 1948.
8. G. Escker, W. Weizel, Ann. Physik, 6, 17, 1956.
9. Л. Ландау и Е. Лифшиц, Статистическая физика, Москва — Ленинград, 1949.
10. А. С. Предводителев, Е. В. Ступоченко, Е. В. Самуйлов, И. Б. Рождественский, Отчет ЛФГ ЭНИН АН СССР, Термодинамические функции компонент воздуха в интервале температур от 12000 до 20000° К и интервале давлений от 0,001 до 1000 *атм*, 14, 1956.

### THERMODYNAMIC FUNCTIONS OF AIR AT HIGH TEMPERATURES

E. V. Stupochenko, E. V. Samuilov, A. S. Pleshanov and  
I. B. Rozhdestvenskii (Moscow)

#### Summary

In the paper the method and results are presented of the calculation of the thermodynamic functions of air for temperatures from 12000 to 20000° K and pressures from 0.001 to 1000 atm. In the calculation account was made of the Coulomb interaction between gas particles and of the linear dimensions of the atoms in the excited state.

ПРИМЕНЕНИЕ МАСС-СПЕКТРОМЕТРОВ С НЕОДНОРОДНЫМ  
МАГНИТНЫМ ПОЛЕМ ДЛЯ ГАЗОВОГО АНАЛИЗА*Н. Е. Алексеевский, А. В. Дубровин и Г. Э. Карстенс*

Применение неоднородного магнитного поля в масс-спектрометрии имеет ряд особенностей [1—3]:

1. Благодаря увеличению дисперсии имеется возможность получить высокую разрешающую силу без увеличения радиуса прибора и без снижения чувствительности.

2. При заданном радиусе магнита можно, не снижая разрешающей силы, существенно повысить чувствительность прибора за счет применения более широких щелей источника и приемника.

3. При заданных параметрах значительно уменьшается длина пути ионов и их рассеяние в приборе.

Указанные преимущества приборов с неоднородным полем расширяют возможности масс-спектрометрии в области газового анализа, особенно анализа малых количеств и малых примесей газа.

Приборы высокой разрешающей способности позволяют проводить анализы, которые недоступны или затруднительны при использовании обычных масс-спектрометров. Это, прежде всего, анализы смесей компонентов с одинаковым массовым числом, причем линии масс-спектра этих компонентов соответствуют ионам, отличающимся по массе на разность энергий связи нуклонов в ядре, и образуют мультиплеты. Например, при анализе смеси окиси углерода, азота и этилена необходимо разрешать триплет  $\text{CO}^+ - \text{N}_2^+ - \text{C}_2\text{H}_4^+$ , при анализе смеси гелия и гетерия — дублет  $\text{He}^+ - \text{D}_2^+$  и т. п.

Необходимость в разрешении мультиплетов возникает также, когда в результате процессов в источнике образуются ионы с одинаковым отношением массового числа к заряду. Например, при анализе неона-аргоновых смесей требуется разрешать дублет  $^{20}\text{Ne}^+ - ^{40}\text{Ar}^{2+}$ , при анализе воздуха и смеси углекислого газа и азота — дублет  $\text{CO}^+ - \text{N}_2^+$ , при анализе фото-водородных смесей — дублет  $\text{N}_2^+ - \text{C}_2\text{H}_4^+$ , при анализе гелия на смеси водорода — дублет  $\text{He}^{2+} - \text{H}_2^+$  и т. п.

В практике газового анализа часто приходится сталкиваться со случаями, когда в масс-спектре остаточного газа имеются линии, совпадающие по массовому числу с линиями масс-спектра исследуемого газа. Линии остаточного масс-спектра часто мешают проведению анализа малых количеств или малых примесей газа, например  $\text{N}_2$ ,  $\text{He}^3$ ,  $\text{Ar}$  и т. п. В ряде случаев реальная чувствительность прибора ограничивается не светосилой ионного источника и масс-анализатора, а именно линиями масс-спектра остаточного газа. При этом, если ионы фона отличаются по массе и образуют мультиплеты с ионами анализируемого газа, то высокая разрешающая сила увеличивает реальную чувствительность масс-спектрометра.

Сокращение длины пути в масс-спектрометрах с неоднородным магнитным полем снижает рассеяние ионов и, следовательно, уменьшается фон [4]. Поэтому для приборов с неоднородным полем доступен измерение более широкой диапозон концентраций, чем для приборов с однородным полем.

При помощи масс-спектрометров с неоднородным магнитным полем проводились различные газовые анализы, например анализировались

чистые газы: гелий, водород, аргон на примесь азота  $\sim 0,001\%$ , аргон на примесь гелия  $\sim 0,0001\%$  и ряд других смесей с малыми концентрациями. При этом использовалась следующая методика.

Была разработана простая система напуска, удобная во многих случаях газового анализа (рис. 1). Основной деталью системы напуска является биметаллический капилляр. Биметаллический капилляр представляет собой трубку 1 из жаростойкой стали ЭЖ-69 или ЭИ-3С с высоким температурным коэффициентом расширения, в которую запрессован цилиндр 2 из инвара или другого материала с малым температурным коэф-

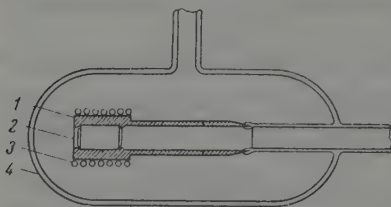


Рис. 1. Система напуска газа с биметаллическим капилляром

фициентом. Снаружи трубка окружена вольфрамовым или нихромовым подогревателем 3. Изменяя температуру трубки, можно изменять ширину кольцевого зазора и, таким образом, регулировать поток газа, пропускаемого капилляром. Как показали проведенные исследования, эта система напуска является молекулярной в широком интервале давлений в баллоне по крайней мере до 100 мм рт. ст.

В ряде случаев рациональнее использование двойной системы напуска, при помощи которой можно поочередно пускать в прибор либо анализируемый газ, либо эталонную смесь. Применение двойной системы напуска повышает точность анализа газа за счет быстрого сравнения двух смесей, так и за счет более точного учета спектра остаточных газов. Эталонные смеси составлялись следующим образом. Одним из газов заполнялась стеклянная, легко разбивающаяся ампула точно измеренного объема. Ампула помещалась в стеклянный калиброванный баллон, который заполнялся другим компонентом смеси. После этого ампула разбивалась, и полученная смесь перепускалась в систему напуска. Такой способ составления смесей, во-первых, дает высокую точность и широкий диапазон концентраций вплоть до  $1:10^5$ — $1:10^{10}$ , во-вторых, обеспечивает полное перемешивание и исключает возможность случайных загрязнений, которые иногда могут иметь место, например, при использовании ртутных бюреток.

Весьма малые количества газа можно анализировать при помощи построенного нами отпайваемого стеклянного прибора [2]. Полученные результаты показывают, что таким прибором возможно обнаруживать  $10^{-10}$ — $10^{-11}$  н. см<sup>3</sup> инертных газов, в частности гелия.

Использование масс-спектрометра весьма полезно при определении содержания газов в металлах и полупроводниках. Нами были проведены исследования предельно чистых образцов висмута, золота, германия, цинка, а также лантана и технической бескислородной, электролитической и проводниковой меди на содержание в них газов. Анализ выделившихся газов проводился при помощи стеклянного масс-спектрометра с радиусом 50 мм и металлического масс-спектрометра с радиусом 152 мм. Стеклянный прибор [2] имеет следующие параметры: коэффициент неоднородности магнитного поля  $n = 0,783$ , ширина щелей источника и приемника соответственно 0,8 и 2 мм, разрешающая способность (по полуширинам линий)  $\sim 120$ , ионный ток на коллектор в рабочем режиме  $10^{-8}$  А. Параметры металлического прибора: коэффициент неоднородности  $n = 0,85$ , ширина щелей источника и приемника по 0,1 мм, разрешающая способность по полуширине  $\sim 7500$ , ионный ток на коллектор в рабочем режиме  $10^{-9}$  А.

Масс-спектры на стеклянном приборе регистрировались при помощи самопишущего электронного потенциометра ЭПП-09, включенного на вход электрометрического усилителя ЭМУ-2П.



Использовалась электростатическая развертка по массам, разбитая на три диапазона. Время регистрации масс-спектра от массы 2 до массы 46 не превышало 5 мин. Прибор снабжен двумя стеклянными системами напуска известного объема, которые могут откачиваться диффузионными насосами и прогреваться до температуры  $200^{\circ}\text{C}$ .

Давления в них измерялись манометром Мак-Леода и термопарным вакуумметром.

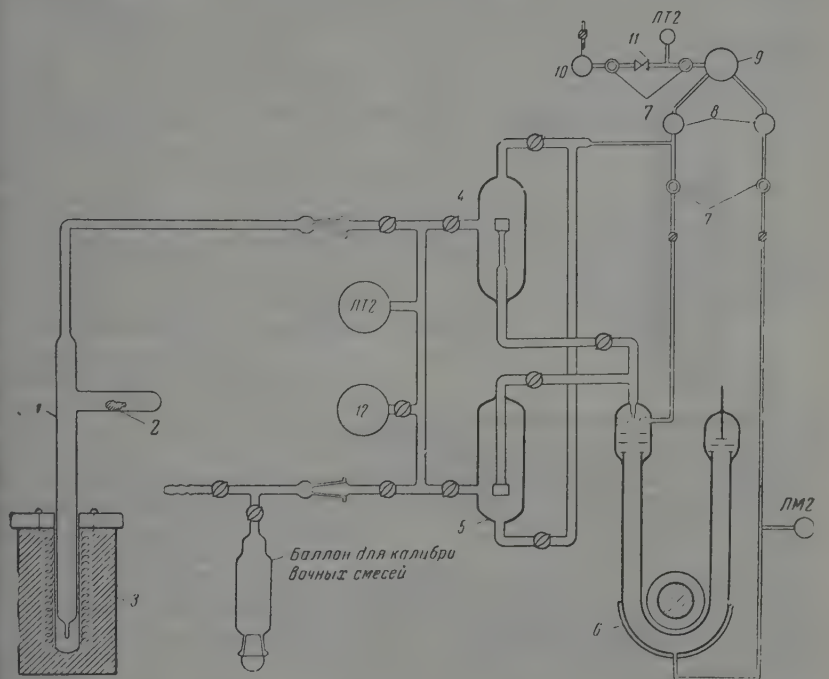


рис. 2. Схема установки для исследования газов, выделяющихся из твердых веществ: 1 — ампула для плавления образцов; 2 — образец; 3 — электропечь; 4 — напускное устройство № 2; 5 — напускное устройство № 1; 6 — масс-спектрометр; 7 — диффузионные насосы; 8 — форвакуумный баллон; 9 — форвакуумный насос; 10 — форвакуумный кран; 11 — манометр Мак-Леода

Масс-спектрометр калибровался по водороду, азоту, окиси углерода, кислороду, углекислому и сернистому газу, т. е. по всем газам, которые обычно выделялись из исследуемых образцов. Проведенная калибровка дает возможность по полученной масс-спектрограмме определить парциальное давление каждого из компонентов газовой смеси, находящегося в баллоне системы напуска.

Для полного выделения газа, содержащегося в образце, применялось быстрое извлечение в вакууме при температуре выше температуры плавления \*. Плавление образцов проводилось в кварцевых ампулах, которые обжигались при  $1000\text{--}1200^{\circ}$ . Ампулы были снабжены специальным ростком, в который помещался образец для предварительного прогрева в вакууме при  $200\text{--}400^{\circ}$  с целью удаления адсорбированных на его поверхности газов (рис. 2).

\* Естественно, что при этом методе не могли быть полностью выделены газы, химически связанные с данным элементом, например кислород в окислах, азот в нитридах и т. п. Однако необходимость сохранить образцы для дальнейших исследований не позволила нам применить химические методы для выделения этих газов.

В зависимости от температуры плавления и количества газа, содержащегося в образцах, применялись различные методы извлечения газа.

Для чистых образцов с температурой плавления до  $1100^{\circ}$  (Bi, Au, Cu и также техническая медь), не реагирующих при нагреве с кварцем, извлечение производилось в кварцевой ампуле, подогреваемой трубчатой электрической печью, соединенной непосредственно с системой напуска масс-спектрометра.

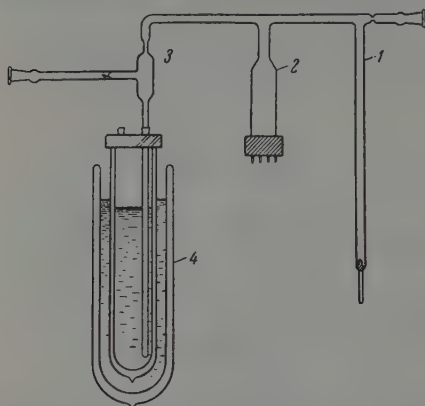


Рис. 3. Прибор для вымораживания выделяющихся газов в жидком гелии: 1 — кварцевая часть ампулы (для плавки образца); 2 — лампа ЛТ-2; 3 — ампулы из химического стекла (для конденсации газов); 4 — сосуд Дьюара с жидким гелием

Для металлов с высокой температурой плавления, реагирующих при нагреве с кварцем (Zr, Ti), использовалась безгелиевая плавка, при этом образец подвешивался на вольфрамовой нити и нагревался с помощью высокочастотной печи ЛГЗ-10. Выделившиеся газы собирались в калиброванную ампулу, которая затем присоединялась к системе напуска.

Для металлов с большим содержанием газа, например La, независимо от температуры плавления, образец нагревался при помощи высокочастотной печи до температуры, близкой к температуре кипения (для ускорения процесса извлечения), причем выделяющиеся газы

вымораживались в ампуле, помещенной в жидкий гелий (рис. 3). Контроль за газоотделением производился термопарным вакуумметром. По окончании газоотделения ампула с вымороженным газом отпаивалась и присоединялась к системе напуска масс-спектрометра. Этот метод позволяет полностью собрать все выделившиеся из образца газы с большой степенью чистоты в небольшом объеме ампулы.

Образец	Степень чистоты по паспорту, данным в %	Навеска, г	Выделилось газа, см <sup>3</sup> (норм. условия)	Выделилось газа, вес. %	Состав газа, %						Примечания
					H <sub>2</sub>	N <sub>2</sub>	CO	CO <sub>2</sub>	Ar	SO <sub>2</sub>	
Bi марки № 5	$\sim 10^{-4}$	27,445	$8,5 \cdot 10^{-2}$	$6,7 \cdot 10^{-4}$	—	5,0	—	95	—	—	Чистый
Bi » 2-II	$\sim 10^{-5}$	5,94	$1,15 \cdot 10^{-2}$	$3,6 \cdot 10^{-4}$	—	13	—	87	—	—	Рафинированный
Bi » 2-I	$\sim 10^{-5}$	5,20	$8,6 \cdot 10^{-3}$	$3,0 \cdot 10^{-4}$	—	25	—	75	—	—	Дважды рафинированный
Au	$9 \cdot 10^{-5}$	6,88	$5,6 \cdot 10^{-3}$	$1,6 \cdot 10^{-4}$	—	—	3,0	97	—	—	Рафинированный в ИОН
Ge		1,492	$2,4 \cdot 10^{-2}$	$2,0 \cdot 10^{-3}$	—	14	56	30	—	—	Йодидный
Ti		1,712	$6,7 \cdot 10^{-2}$	$4,8 \cdot 10^{-4}$	95	5	—	—	—	—	»
Zr		2,458	$3,5 \cdot 10^{-2}$	$3,3 \cdot 10^{-4}$	88	11,9	—	—	0,1	—	На 1 г — 147,5 см <sup>3</sup> (норм. условия)
La	$1,0 \cdot 10^{-3}$	2,235	330,0	1,33	96	4,0	—	—	—	—	
Cu, проводниковая	—	18,77	$4,1 \cdot 10^{-2}$	$5 \cdot 10^{-4}$	9,0	—	1,0	90	—	—	
Cu, электролитическая	$1,0 \cdot 10^{-3}$	12,98	$2,4 \cdot 10^{-1}$	$1,6 \cdot 10^{-4}$	86	—	14	—	—	—	
Cu, бескислородная		12,92	$6,7 \cdot 10^{-2}$	$2,33 \cdot 10^{-4}$	67	—	32,8	—	—	0,2	

Результаты измерений сведены в таблицу. Из таблицы видно, что действительно чистые образцы выделяют при плавлении от  $10^{-3}$  до  $10^{-4}\%$  газов.

Существенно отметить, что определение малых количеств газа в образцах, легко осуществимое при помощи масс-спектрометра, не может быть толь просто и быстро проведено при помощи других методов газового анализа. Для этих целей масс-спектрометр является, пожалуй, единственным прибором, дающим надежные результаты. Следует также отметить, то содержание газа в исследованных нами образцах было столь большим, то чувствительность масс-спектрометра полностью не использовалась; при помощи масс-спектрометра возможно анализировать значительно енные количества газа. Для этого можно, например, помещать образец непосредственно в печной источник масс-спектрометра или в отпаянный прибор.

### Выводы

Показано, что применение масс-спектрометров с неоднородным магнитным полем расширяет возможности газового анализа. Описывается методика исследования чистых материалов на содержание газов. Установлено, что в ряде случаев содержание газов в этих материалах существенно превышает количество других примесей.

Академия наук СССР  
Институт физических  
проблем

Поступила  
8.VIII.1958

### ЛИТЕРАТУРА

- Н. Е. Алексеевский, Г. П. Прудковский, Г. И. Косоуров, С. И. Филимонов, Докл. АН СССР, **100**, 229, 1955.  
Н. Е. Алексеевский и др. Использование масс-спектрометров с неоднородным магнитным полем для изотопного анализа легких элементов. Всесоюзная научно-техническая конференция по применению радиоактивных и стабильных изотопов и излучений в народном хозяйстве и науке, 4—12 апреля 1957 г., Получение изотопов, 73, Изд-во АН СССР, Москва, 1958.  
Н. Е. Алексеевский, Масс-спектрометр высокой разрешающей силы с неоднородным магнитным полем. Доклад на заседании Президиума АН СССР, Вестник АН СССР, № 6, 67, М., 1958.  
M. G. Ingram, R. J. Hayden, Mass-spectroscopy., Wachington, D. C., 1954.

### THE APPLICATION OF MASS SPECTROMETERS WITH INHOMOGENEOUS MAGNETIC FIELDS FOR GAS ANALYSIS

*N. E. Alekseevskii, A. V. Dubrovin and G. E. Karstens (Moscow)*

#### Summary

In the paper it had been shown that the use of mass spectrometers with inhomogeneous magnetic fields extends the potentialities of gas analysis. A method is described for determining the gaseous contamination of pure materials. It has been found that in some cases materials contain considerably more gaseous than any other impurities.

ДЕЙТЕРОВОДОРОДНЫЙ ОБМЕН И РЕАКЦИЯ КРЕКИНГА  
КУМОЛА НА АЛЮМОСИЛИКАТНЫХ КАТАЛИЗАТОРАХ

Г. М. Панченков и З. В. Грязнова

Алюмосиликатные катализаторы играют важную роль в промышленности и поэтому привлекают к себе внимание большого числа исследователей. Всестороннее изучение свойств этих катализаторов позволило обратиться во многих вопросах алюмосиликатного катализа. Однако проблема активных центров и кислотности алюмосиликатных катализаторов, влияние воды, содержащейся в катализаторе и добавленной различными способами, на их активность остаются не вполне выясненными.

Данному вопросу в последние годы посвящен ряд работ.

Хонсфорд [1] изучал влияние высушивания катализатора в токе сухого воздуха на его каталитическую активность в реакции крекинга *n*-бутана. Позднее этим автором с сотрудниками [2] была исследована зависимость активности другой реакции — дейтероводородного обмена изобутана — от количества содержащейся в катализаторе воды.

Хиндин, Миллз, Облад [3], исследуя дейтероводородный обмен с бутанами, показали, что активность катализатора по дейтероводородному обмену бутана с катализатором определяется не столько содержанием окиси дейтерия в катализаторе, сколько условиями, в которых катализатор приобрел то или иное количество воды.

М. А. Калико [4] изучал влияние условий удаления и добавления воды в условиях вакуума на активность алюмосиликатного катализатора в реакции крекинга кумола.

В работах [5, 6] изучались одновременно и изомеризация, и дейтероводородный обмен, и были найдены различные оптимальные количества воды, необходимые для протекания реакций изомеризации и дейтероводородного обмена.

В работах [7, 8] подробно рассмотрен дейтероводородный обмен паров окиси дейтерия с алюмосиликатным катализатором и изучен дейтероводородный обмен дейтерированного катализатора с изобутаном. Показано, что отравленные катализаторы почти не ведут реакции дейтероводородного обмена с углеводородами.

Параллельно с названными работами, с 1953 г. нами проводилось исследование дейтероводородного обмена в процессе крекинга и изомеризации углеводородов.

Так как большинство исследователей связывает активность алюмосиликатных катализаторов с их кислотностью, представлялось интересным заменить способные к обмену атомы водорода алюмосиликатного катализатора на дейтерий и изучить дейтероводородный обмен при каталитических превращениях углеводородов. Нами были выбраны хорошо следованные реакции: крекинг кумола [9—12] и изомеризация циклогексана [13, 14].

## Экспериментальная часть

Работа проводилась с дейтерированными окисью алюминия, окисью кремния, двумя алюмосиликатными катализаторами, один из которых состава 32,7% окиси алюминия и 67,3% окиси кремния готовился смешением гидроксидов кремневой кислоты и гидроокиси алюминия [15], а второй, содержащий 14% окиси алюминия, промышленным.

Опыты на дейтерированных катализаторах проводились в потоке в кварцевом приборе на шлифах. Подача углеводородов в реактор осуществлялась автоматически, продукты реакции конденсировались в холодильнике и собирались в колбу Фанского, к которой был присоединен второй холодильник и эвдиометр для сбора газа. После окончания опыта производилась разгонка катализата в той же колбе с холодильником, а катализатор регенерировался в токе сухого воздуха при 550°. На каждом опыте катализатор дейтерировался. Продукты реакции сжигались в токе сухого воздуха над окисью меди при 700° и очищались в кварцевом приборе по методу Шонхеймера и Риттенберга [16].



Полученные результаты опубликованы [17, 18] и доложены на Конференции по применению изотопов в катализе [19], поэтому приведем только основные данные. На дейтерированном алюмосиликатном катализаторе, содержащем 190 *м-экв* дейтерия на 100 г катализатора, было найдено, что кинетика изомеризации циклогексена подчиняется уравнению Г. М. Панченкова [20—23]. При 350° изомеризация циклогексена происходит в 100 раз быстрее, чем дейтериеводородный обмен между катализатором и углеводородами как мономерной, так и полимерной фракций. С увеличением объемной скорости 0,13 до 3,00 *мл* циклогексена на 1 *мл* катализатора в час, т. е. в 23 раза, глубина изомеризации уменьшается в два раза, а глубина обмена мономерной и полимерной фракции в 20 и 30 раз, соответственно. Дейтериеводородный обмен с алюмосиликатным катализатором прекращается при такой объемной скорости подачи циклогексена, при которой глубина изомеризации равна 50%.

Можно предположить, что при увеличении объемной скорости в 20 раз замедление реакции обмена могло быть обусловлено значительным уменьшением содержания дейтерия в катализаторе по мере протекания реакции из-за большого увеличения количества вещества, протекающего в единицу времени через заданное сечение. Но произведенный расчет показал, что если бы на самой большой объемной скорости глубина обмена была такой же, как на самой малой скорости, то в катализаторе все еще оставалось бы в семь раз больше дейтерия, чем это необходимо для обмена при максимальной из наблюдавшихся глубине обмена.

Следовательно, может быть сделан вывод, что не существует простой связи между каталитическим превращением и обменом.

С еще большей ясностью этот вывод следует из результатов изучения крекинга кумола на дейтерированных катализаторах.

Изменение объемной скорости подачи кумола только в два раза практически не меняет процента превращения по крекингу, а обмен при этом падает до нуля.

При пропуске продуктов реакции в условиях крекинга кумола через дейтерированный алюмосиликатный катализатор реакция обмена протекает в той же степени, как и в процессе крекинга кумола.

С повышением температуры от 350 до 500° глубина крекинга кумола увеличивается почти в три раза, а глубина дейтериеводородного обмена кумола и продуктов его превращения с катализатором почти не изменяется.

Все эти данные говорят о независимости реакций превращения углеводородов на алюмосиликатных катализаторах и обмена водородов на дейтерий катализатора.

Аналогичный результат был получен в работе [24], в которой изучалась изомеризация *n*-бутана на дейтерооксидбромиде алюминия, полученном при взаимодействии окиси дейтерия с трехбромистым алюминием: при изменении глубины изомеризации от 21 до 3,7% обмен имел одинаковое значение 5,4%. Авторы предполагают, что изомеризация протекает без участия дейтерия комплекса  $\text{DOAlBr}_2$ .

Хиндин, Миллз и Облад [6], изучавшие дейтериеводородный обмен парафинов с дейтерированным алюмосиликатным катализатором крекинга, отмечают, что общее число молекул, претерпевших водородный обмен, всегда гораздо больше, чем изомеризовавшихся. Данный результат отличается от нашего по соотношению реакций изомеризации и обмена из-за малой реакционной способности парафинов. Несмотря на это, он также приводит к выводу о независимости этих двух реакций друг от друга.

Изложенные ранее результаты были получены нами с катализатором, который был прокален в токе сухого воздуха в течение 5 час. при 550°, затем насыщен оксидом дейтерия и прогрет в течение 2 час. при температуре реакции 450°. При этом в катализаторе содержалось ~2 вес.% воды, в том числе 1,0—1,2% адсорбированной. В дальнейшем катализатор прокаливается перед опытом при 700° в течение 2 час., до удаления боль-

шей части адсорбированной воды. После этого остается небольшое количество прочно адсорбированной воды, выделяющейся при более высокой температуре. Было специально изучено влияние температуры и длительности прокаливания на количество воды, выделяющейся из промышленного алюмосиликатного катализатора, содержащего 14%  $\text{Al}_2\text{O}_3$ . Результаты приведены в табл. 1.

Таблица 1

Влияние температуры и длительности прокаливания на количество воды, выделяющейся из промышленного катализатора состава 14,6%  $\text{Al}_2\text{O}_3$ , 80,5%  $\text{SiO}_2$

Навеска катализатора, г	Темп прокаливания, °C	Время прокаливания, часы	Выделилось воды, г на 1 г катализатора	Время дополнит. прокалив. при 700°, часы	Выделилось воды, г на 1 г катализатора
34,1220	550	2	0,1425	14	0,0031
28,10	550	25	0,1479	—	—
34,0110	550	28	0,1474	2	—
33,9000	700	3	0,1490	14	—
34,0277	700	3	0,1470	17	—
34,0800	700	11	0,1482	22	—

Катализатор, прокаленный при 700° и использовавшийся в дальнейшей работе, содержал 0,8—0,9% воды. С этим катализатором были получены результаты, представленные в табл. 2.

Таблица 2

Зависимость глубины крекинга кумола и дейтериеводородного обмена от температуры прокаливания дейтерированного катализатора

Общее содерж. воды в катализаторе, вес. %	Темп. предварит. прокалив. дейтерир. катализатора в теч. 2 час.	Условия крекинга		Глубина крекинга, %	Утяжеленность воды, получ. при сжиган.		
		t, °C	Объемн. скорость		непро-реак. кумола	пропан-пропилен	бензол
1,9	450	450	0,13	62	1,64	1,13	1,29
0,8	700	458	0,13	89	—	2,77	7,62
1,9	450	400	0,19	30	0,85	0,96	0,67
0,8	700	404	0,19	43	0,15	11,8	—
0,8	700	405	0,86	39	0,36	4,2	2,2

Так как количество структурно-связанной воды соответствует приблизительно 0,7%, то остальную воду нужно рассматривать как адсорбированную.

Из табл. 2 видно, что понижение содержания адсорбированной воды до 0,1—0,2% увеличивает активность катализатора как по крекингу кумола, так и по дейтериеводородному обмену. При увеличении объемной скорости почти в пять раз (до  $v_{об} = 0,86$ ), когда на более гидратированном катализаторе обмен уже не был замечен, на менее гидратированном катализаторе крекинг прошел на 38,7%, дейтериеводородный обмен с газом на 4,2, с бензолом на 2,2 и с кумолом на 0,36%.

В работах [1—8] показано, что добавление небольших количеств воды к прокаленному алюмосиликатному катализатору повышает его активность, но у разных авторов для изучаемой ими реакции получается свой оптимальный уровень содержания воды. По-видимому, это определяется свойствами используемого углеводорода и типом реакции. Например, для окисления [25] оптимальные содержания воды для двух одновременно протекающих реакций дегидратации и этерификации этилового спирта не со-

падают. Такое же различие в оптимумах по воде наблюдали для изомеризации парафина и дейтериеводородного обмена на алюмосиликатном катализаторе [5].

Хэлдеман и Эмметт [8], изучая дейтериеводородный обмен изобутана с дейтерированным алюмосиликатным катализатором, получили результат, аналогичный нашему: избыток воды, даже на десятые доли процента, по сравнению с оптимальным содержанием, резко снижает скорость водородного обмена.

Вода, выделенная из катализатора после указанного опыта ( $v_{об} = 0,86$ ), не была утяжелена, т. е. весь введенный в катализатор дейтерий

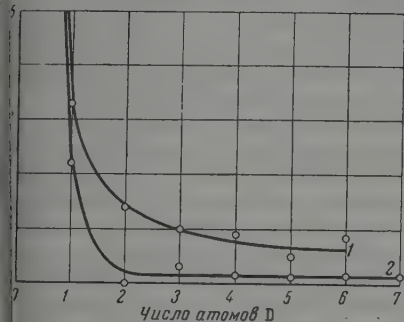


Рис. 1. Кривые распределения атомов дейтерия в молекулах бензола и кумола после обмена с дейтерированным алюмосиликатным катализатором

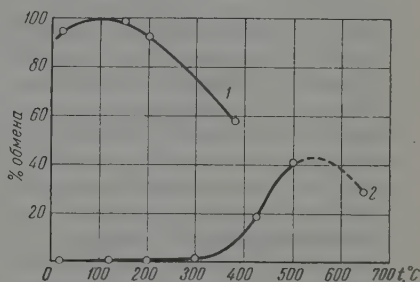


Рис. 2. Зависимость глубины обмена структурной воды алюмосиликатных катализаторов от температуры опыта для окиси дейтерия (1) и газообразного дейтерия (2)

перешел в углеводород. Сопоставляя этот факт с данными о том, что доведение 0,05%  $H_2O$  к дейтерированному катализатору, слабо ведущему обмен, заметно повышает скорость реакции обмена [5], по-видимому, можно сделать вывод, что добавленная вода хемосорбируется на люewisовских кислотных центрах, благодаря чему в воде ослабляется связь кислорода с водородом, который быстро обменивается с дейтерием гидроксильных групп и затем передает его молекулам углеводорода. О том, что обмен происходит в основном на алюмосиликатных центрах, говорит присутствие и крекинга, и обмена кумола на дейтерированном силикателе, более слабый обмен кумола на окиси алюминия, чем на алюмосиликате: 1,6% против 1,64% на алюмосиликате в аналогичных условиях. Масс-спектрометрическое исследование кумола и бензола, полученных при крекинге кумола на дейтерированном катализаторе, показало, что имеются продукты всех степеней дейтерирования. Соответствующие данные приведены на рис. 1 (кривая 1 — для бензола, кривая 2 — для кумола). Глубокое дейтерирование могло произойти либо потому, что скорость обмена сравнительно велика и времени пребывания молекулы на активном центре достаточно для обмена нескольких водородов углеводорода на дейтерий, либо молекула несколько раз оказывается в контакте с активным центром.

Для выяснения характера дейтериеводородного обмена с алюмосиликатными катализаторами нами были изучены обмен с окисью дейтерия и с газообразным дейтерием. Полученные данные о зависимости утяжеленной структурной воды промышленного алюмосиликатного катализатора, содержащего 14% окиси алюминия, от температуры дейтерирования, представлены на рис. 2. Кривая 1 этого рисунка показывает, что при позиции окиси дейтерия можно заместить на дейтерий почти все атомы водорода структурной воды катализатора. Если же использовать газообразный дейтерий, то по данным, полученным в нашей лаборатории В. С. Крав-

ченко, можно обменять не более 50% водорода структурной воды (кривая 2). Для газообразного дейтерия полностью отпадают стерические затруднения, так что можно было ожидать больших эффектов, чем они получены на опыте. Различие в характере зависимости обмена с окисью дейтерия и дейтерием от температуры, по-видимому, говорит о различном характере взаимодействия воды и водорода с алюмосиликатным катализатором. В случае взаимодействия с полярными молекулами воды, которые частично распадаются на ионы, обмен идет легче, а в случае газообразного дейтерия обмен идет с нейтральной молекулой, причем осложняется необходимостью диссоциации молекул дейтерия. Переход на более высокие колебательные уровни и увеличение степени диссоциации с повышением температуры приводят к усилению обмена, но при температурах выше 600° происходит прочная адсорбция водорода без обмена. Следует заметить, что на катализаторах, при повышенных температурах, водород и дейтерий равноценны по своей реакционной способности [26].

Гораздо большая скорость и глубина обмена алюмосиликатного катализатора с окисью дейтерия, по сравнению с дейтерием, как уже указывалось выше, обусловлена, вероятно, ослаблением связи водорода с кислородом воды за счет смещения электронов кислорода к алюминию при хемосорбции воды на прокаленном алюмосиликатном катализаторе. Это позволяет предположить, что скорость обмена различных углеводородов с дейтерированным алюмосиликатным катализатором будет расти с усилением тенденции к смещению электрона от атома водорода к атому углерода молекуле углеводорода, находящейся на активном центре катализатора.

Авторы выражают глубокую благодарность Л. Н. Горохову за масс-спектрометрические измерения углеводородов.

### Выводы

1. Исследование крекинга кумола и изомеризации циклогексена дейтерированных катализаторах показало, что превращение углеводородов происходит независимо от процессов дейтериеводородного обмена и с гораздо большей скоростью.
2. Показано, что наибольшая глубина крекинга кумола и дейтериеводородного обмена продуктов крекинга с катализатором наблюдается при адсорбции прокаленным алюмосиликатным катализатором 0,1—0,2 воды.
3. Газообразный дейтерий обменивается с атомами водорода катализатора слабее, чем окись дейтерия.

Московский государственный  
университет им. М. В. Ломоносова

Поступила  
18.VIII.1958

### ЛИТЕРАТУРА

1. R. C. Hansford, *Industr. and Eng. Chem.*, **39**, 849, 1947.
2. R. C. Hansford, P. G. Waldo, L. C. Drake, R. E. Honig, *Industr. and Eng. Chem.*, **44**, 1108, 1952.
3. S. G. Hindin, G. A. Mills, A. G. Oblad, *J. Amer. Chem. Soc.*, **73**, 215, 1951.
4. М. А. Калико (в соавторстве с М. Н. Первушиной), сборник «Поверхностно-химические соединения и их роль в явлениях адсорбции», Изд-во МГУ, 1958, стр. 155.
5. S. G. Hindin, A. G. Oblad, G. A. Mills, *J. Amer. Chem. Soc.*, **77**, 1955.
6. S. G. Hindin, G. A. Mills, A. G. Oblad, *J. Amer. Chem. Soc.*, **77**, 1955.
7. R. G. Haldemann, P. H. Emmett, *J. Amer. Chem. Soc.*, **78**, 2917, 1956.
8. R. G. Haldemann, P. H. Emmett, *J. Amer. Chem. Soc.*, **78**, 2922, 1956.
9. К. В. Топчиева, Г. М. Панченков, *Вестн. МГУ*, № 11, 133, 1957.
10. К. В. Топчиева, Г. М. Панченков, *Докл. АН СССР*, **74**, 1109, 1958.
11. C. L. Thomas, *J. Amer. Chem. Soc.*, **10**, 1694, 1944.



2. T. E. Corrigan, Chem. Eng. Progr., 49, 603, 1953.
3. А. А. Петров, В. В. Шекин, Докл. АН СССР, 78, 913, 1951.
4. К. В. Топчиева, А. И. Баллод, И. В. Пацевич, И. Ртищева, Изв. АН СССР, Отд. хим. н., № 3, 478, 1954.
5. Г. М. Панченков, К. В. Топчиева, Вестн. МГУ, № 2, 39, 1946.
6. D. Rittenberg, R. Schoenheimer, J. Biol. Chem., 111, 169, 1935.
7. Г. М. Панченков, З. В. Грязнова, В. М. Емельянова, Докл. АН СССР, 109, 325, 1956.
8. Г. М. Панченков, З. В. Грязнова, Л. Г. Ганиченко, Докл. АН СССР, 109, 546, 1956.
9. Г. М. Панченков, З. В. Грязнова, В. М. Емельянова, Л. Г. Ганиченко, «Проблемы кинетики и катализа. IX. Изотопы в катализе», Изд-во АН СССР, М., 1957, стр. 145.
10. Г. М. Панченков, Ж. физ. химии, 22, 209, 1948.
11. Г. М. Панченков, Вестн. МГУ, № 6, 105, 1948.
12. Г. М. Панченков, Уч. зап. МГУ, в. 174, 53, 1955.
13. Г. М. Панченков, «Гетерогенный катализ в химической промышленности», М., 1955, стр. 291.
14. H. Pines, R. C. Wacker, J. Amer. Chem. Soc., 68, 2518, 1946.
15. W. A. Alexander, R. W. Horn, L. A. Munro, Canad. J. Res., 16, 438, 1937.
16. A. Farkas, L. Farkas, J. Amer. Chem. Soc., 60, 22, 1938.

## DEUTEROHYDROGEN EXCHANGE AND THE CRACKING OF CUMENE ON ALUMOSILICATE CATALYSTS

*G. M. Panchenkov and Z. V. Gryaznova (Moscow)*

### Summary

At present many investigators associate the activity of aluminosilicate catalysts with the presence in them of protonic acids of the Brönsted type. In order to ascertain the part played by the proton in cracking reactions we substituted the hydrogen of the catalyst for deuterium and studied the cracking of cumene.

It was found that cumene cracking on deuterated aluminosilicate catalysts proceeds independently of and at considerably greater rates than deuterohydrogen exchange.

The extent of the cracking and exchange reactions has been shown to be strongly dependent upon the amount of water contained in the catalyst and that the greatest extent of both reactions is observed on adsorption of 0.1—0.2% by weight of water by the heat-treated catalyst.

Deuterohydrogen exchange has been found to be intensive on aluminosilicate catalysts, less vigorous on alumina and not to take place at all on silica, which leads to the conclusion that the aluminosilicate centers play a predominate part in the process. It has been established that deuterium exchanges less with the hydrogen of the catalyst than does deuterium oxide.

# ПРИМЕНЕНИЕ ТРИТИЯ ДЛЯ ОПРЕДЕЛЕНИЯ ОТНОСИТЕЛЬНЫХ КОНСТАНТ СКОРОСТЕЙ ОТРЫВА АТОМОВ ВОДОРОДА ОРГАНИЧЕСКИХ СОЕДИНЕНИЙ

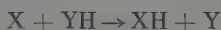
РЕАКЦИОННАЯ СПОСОБНОСТЬ УГЛЕРОД-ВОДОРОДНЫХ СВЯЗЕЙ  
И-ГЕПТАНА

*В. Л. Антоновский и И. В. Березин*

Определение констант скоростей элементарных реакций отрыва атомов водорода имеет большое значение при исследовании кинетики сложных химических превращений и для установления количественной связи между строением и реакционной способностью органических соединений в радикальных и ионных процессах. Применение для этих целей дейтерия позволило измерить константы скоростей и изучить механизм ряда реакций [1—4].

В последние годы стал широко доступен радиоактивный изотоп водорода — тритий. Использование трития для кинетических исследований открывает ряд новых возможностей и позволяет ввести серьезные методические упрощения. Это связано с высокой удельной радиоактивностью трития, позволяющей ограничиваться для пометок исчезающе малыми количествами изотопа.

Рассмотрим реакции отрыва водорода реагентом X в системе, содержащей несколько сортов УН-связей, принадлежащих одному или разным соединениям. X, взаимодействуя с атомами водорода связей УН, образует ХН по уравнению:



со скоростью

$$\frac{d[\text{ХН}]}{dt} = \sum_{i=1}^r k_i^{\text{H}} [\text{У}_i\text{Н}] [\text{X}],$$

где  $r$  — число сортов УН-связей (к одному сорту относим структурно равноценные связи),  $[\text{У}_i\text{Н}]$  и  $[\text{X}]$  соответственно концентрации  $i$ -го сорта УН-связей и реагента X. Если  $j$ -й сорт УН-связей помечен частичной заменой водорода на тритий, то наряду с ХН будет образовываться и тритированное соединение ХТ со скоростью

$$\frac{d[\text{ХТ}]}{dt} = k_j^{\text{T}} [\text{У}_j\text{T}] [\text{X}],$$

и отношение скоростей образования ХТ и ХН будет равно

$$\frac{d[\text{ХТ}]}{d[\text{ХН}]} = \frac{k_j^{\text{T}} [\text{У}_j\text{T}]}{\sum_{i=1}^r k_i^{\text{H}} [\text{У}_i\text{Н}]}.$$

При малых глубинах превращения, т. е. когда общее количество реагента X, вступившего в реакцию, много меньше количества УН-связей в системе, концентрации  $\text{У}_i\text{Н}$  и  $\text{У}_j\text{T}$  можно считать постоянными, то

отношение выходов определится согласно (3)

$$\frac{[XT]}{[XH]} = \frac{k_j^T [Y_j T]}{\sum_{i=1}^r k_i^H [Y_i H]} \quad (4)$$

Удельная радиоактивность  $I$  связана с изотопным составом вещества соотношением

$$I = \gamma \frac{[YT]}{[YH] + [YT]},$$

где  $\gamma$  — коэффициент пропорциональности, зависящий только от конструкции счетчика. Вследствие высокой удельной активности трития замещение Н на Т по связи  $Y_j H$  можно произвести в такой малой мере, чтобы  $[YT]$  была много меньше  $[YH]$  и соответственно  $[XT]$  — много меньше  $[XH]$ . Тогда с необходимой в измерениях точностью можно считать

$$I_{XH} = \gamma \frac{[XT]}{[XH]} \quad \text{и} \quad I_{YH} = \gamma \frac{[YT]}{[YH]} \quad (5)$$

согласно (4) и (5)

$$I_{XH} = \frac{k_j^T I_{Y_j H} [Y_j H]}{\sum_{i=1}^r k_i^H [Y_i H]} \quad (6)$$

Уравнение (6) связывает константы скоростей элементарных реакций отрыва атома трития ( $k_j^T$ ) и атомов водорода ( $k_i^H$ ) с определяемыми из опыта величинами удельных активностей исследуемого сорта связей системы ( $I_{Y_j H}$ ) и образующегося ( $I_{XH}$ ) вещества. Это позволяет в зависимости от условий эксперимента определять отношения констант скоростей отрыва атомов трития или водорода различных  $YT$ - или  $YH$ -связей.

Сопоставление констант скоростей отрыва атомов трития не может количественно характеризовать реакционную способность атомов водорода вследствие большого кинетического изотопного эффекта ( $k^H/k^T$ ), однако позволяет выявить закономерности влияния строения на реакционную способность элемент-водородных связей органических соединений. Особый интерес представляет сопоставление относительных констант реакций Т-связей, принадлежащих различным соединениям. При этом методика эксперимента может быть значительно упрощена, если использовать маркированные соединения высокой удельной активности. При проведении реакции реагента X в смеси двух веществ: А, меченного по связи  $j$ -го сорта, и В немеченого удельная активность образующегося XH

$$I_{XH}^j = \frac{k_j^T I_A \cdot [A]}{[A] \sum_{i=1}^r k_i^H n_i + [B] \sum_{l=1}^p k_l^H n_l}, \quad (7)$$

где  $n$  — число связей данного сорта.

Если взять меченое вещество А высокой активности и в количестве, настолько меньшем количества В в смеси, чтобы XH, образующимся при реакции X с YH-связями А, можно было пренебречь, то удельная активность XH будет равна

$$I_{XH}^j = \frac{k_j^T I_A [A]}{[B] \sum_{l=1}^p k_l^H n_l} \quad (8)$$

Проводя реакцию реагента X с рядом бинарных смесей, состоящих из большого избытка одного и того же помеченного вещества В и малых добавок различных веществ, помеченных тритием по исследуемым связям УН, получим, поскольку при расчетах по формуле (8) знаменатель во всех случаях одинаков, уравнение для определения отношения констант скоростей реакций связей исследуемых соединений:

$$\dots : k_j^T : k_{j+1}^T : \dots = \dots : \left( \frac{I_{XH}}{I_A [A]} \right)_j : \left( \frac{I_{XH}}{I_A [A]} \right)_{j+1} : \dots \quad (9)$$

Точность результатов, получаемых по уравнениям (6)–(9), в значительной степени определяется характером реагента, отрывающего водород. Необходимо, чтобы соединение ХН легко отделялось от остальных соединений и могло быть точно проанализировано на содержание трития. Этим требованиям хорошо удовлетворяют метильные и этильные радикалы, некоторые радикалы со свободной валентностью на кислороде и др.

Используя вышеописанную схему, мы измерили величины относительных констант скоростей отрыва атомов трития свободным метильным радикалом для всех сортов связей *n*-гептана в качестве примера нормального парафинового углеводорода. Отношение скоростей отрыва водорода различных связей нормальных углеводородов ранее определялось сравнением суммарных скоростей реакций различных радикалов с рядом гомологов [1] или по составу изомерных продуктов сложных реакций [5–9].

Генерирование метильных радикалов производилось путем термического распада перекиси ацетила. Проводя этот распад в среде гептана пометками отдельно в 1, 2, 3 и 4-м положениях и измеряя удельную радиоактивность образующегося метана, получаем согласно (9) отношение констант скоростей отрыва трития:

$$k_1^T : k_2^T : k_3^T : k_4^T = \left( \frac{I_M}{I_T} \right)_1 : \left( \frac{I_M}{I_T} \right)_2 : \left( \frac{I_M}{I_T} \right)_3 : \left( \frac{I_M}{I_T} \right)_4 \quad (10)$$

При распаде перекиси ацетила в углеводородной среде образуются только три газообразных продукта  $\text{CH}_4$ ,  $\text{C}_2\text{H}_6$  и  $\text{CO}_2$  [10, 11] по реакциям:



Метан можно отделить, вымораживая остальные продукты при температуре жидкого азота.

### Экспериментальная часть

**Методика.** Перекись ацетила готовилась из уксусного ангидрида и перекиси бария [12]. Растворы в гептане содержали 0,015–0,020 М перекиси. Раствор перекиси ацетила в меченом гептане наливался в ампулу (рис. 1) через воронку В. Раствора удаляли воздух, для чего ампулу шлифом В присоединяли к вакуумной системе и откачивали при одновременном охлаждении раствора в смеси ацетон — твердая  $\text{CO}_2$  до  $10^{-4}$  мм рт. ст. Затем кран А перекрывали, раствор размораживали и вновь охлаждали до  $-80^\circ$  и откачивали. Эта процедура повторялась трижды, после чего ампула запаивалась под вакуумом при охлаждении жидким азотом.

Разложение перекиси производили, нагревая ампулу в термостате, температура которого поддерживалась с точностью  $\pm 0,05^\circ$ . Затем ампулу охлаждали в холодной воде и шлифом Г присоединяли к установке (рис. 2). Вся система откачивалась  $10^{-4}$  мм рт. ст., после чего перемычка ампулы разбивалась бойком при помощи леноида 2. Гептан, жидкие продукты реакции,  $\text{CO}_2$  и  $\text{C}_2\text{H}_6$  перемораживались в ловушку 3, охлаждаемую жидким азотом, а метан ртутным диффузионным насосом 5 и насосом Тейлера 6 перекачивался через ловушку 4 и змеевик 7, охлаждаемые жидким азотом в счетчик внутреннего наполнения Гейгера — Мюллера 9.



Давление метана в счетчике измерялось по манометру 10 катетометром с точностью  $\pm 10^{-3}$  мм рт. ст. и приводилось к  $20^\circ\text{C}$ . При измерении вводили поправку на высоту менисков в обоих коленях манометра. После этого закрывали кран счетчика, откачивали коммункацией и дополнительно вводили в счетчик бутан для получения самосвещающейся смеси. Смесь оставляли в счетчике для перемешивания на 6—8 час., затем держивали около 1 часа под напряжением для дождения стабильного состояния нити анода и измеряли активность метана при помощи стандартной измерительной аппаратуры.

Активность тритированных гептанов определялась тем же счетчике. Для этого исходные образцы развляли в 20—40 раз неактивным гептаном, помещали палец 11 и после откачки из него воздуха (при этом палец охлаждался смесью ацетон — твердая углекислота) пары углеводорода вводили в счетчик. Во избежание адсорбции углеводорода на стенках измерения производилось при относительных давлениях паров ( $P_{\text{насыщ}}$ ), меньших 0,05. Отсутствие влияния адсорбции проверялось по постоянству удельной активности углеводорода при ряде давлений его паров в счетчике.

Синтез гептанов, меченных тритием. Все исходные, промежуточные и конечные вещества подвергались после химической очистки перегонке на колонке четкой ректификации. Этановая кислота («х. ч.») превращена в этиловый эфир с т. кип.  $4,5-185,5^\circ$  при 736 мм рт. ст. ([13],  $188,5^\circ$  при 760 мм рт. ст.), который восстановлен до гептанола-1.

Действием *n*-бромистого бутанола (т. кип.  $99,5^\circ$  при 728 мм рт. ст.) на натрийацетатный эфир получен этиловый эфир  $\alpha$ -ацетилкапроновой кислоты с т. кип.  $114-117^\circ$  при 16 мм рт. ст. [14], который действием ортофосфорной кислоты [15] был подвергнут кетонному гидролизу до гептанола-2 (т. кип.  $147^\circ$  при 733 мм рт. ст.). Гептан-2 алюмогидридом лития восстановлен до гептанола-2.

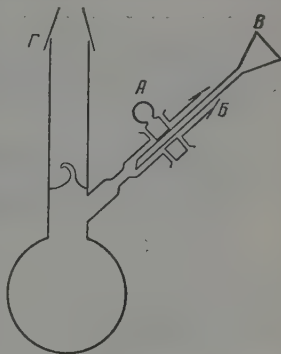


Рис. 1. Ампула для разложения перекиси в *n*-гептане

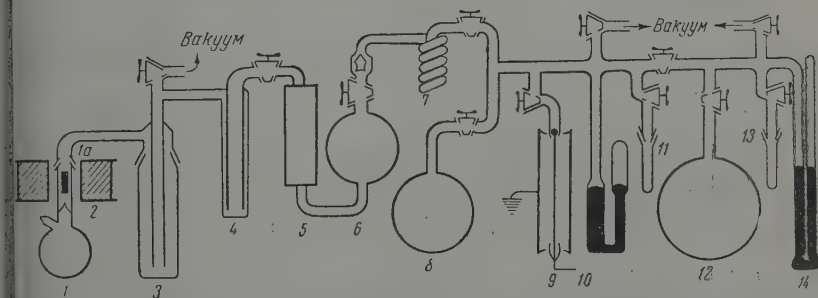


Рис. 2. Установка для разделения продуктов реакции и определения удельной активности метана и гептана

*n*-Пропиловый спирт, чистый, т. кип.  $96,8^\circ$  при 748 мм рт. ст. ([16]  $97,2^\circ$  при мм рт. ст.),  $n_D^{20} 1,3855$ ,  $n_D^{23,6} 1,41842$  ([17]  $n_D^{23,6} 1,3840$ ) окислен хромовой смесью пропионового альдегида (т. кип.  $48-50^\circ$  при 745 мм рт. ст.). Из 1-бромбутана пропионового альдегида магниорганическим синтезом получен гептанола-3. Из бромистого пропила, т. кип.  $69,6^\circ$  при 737 мм рт. ст. ([16]  $71,0^\circ$  при 760 мм рт. ст.) и этилформиата, т. кип.  $52,9-53,2^\circ$  при 745 мм рт. ст. ([16]  $54,15^\circ$  при 760 мм рт. ст.) магниорганическим синтезом получен гептанола-4.

Гептанолаи действием газообразного  $\text{HBr}$  [18] превращены в соответствующие бромиды. Свойства спиртов и бромидов приведены в табл. 1. Пометка тритием производилась путем разложения магниорганических соединений соответствующих бромидтригидридной водой.

Этанолный *n*-гептан был перегнан с дефлегматором, обработан многократным олеумом, концентрированной серной кислотой, прокипячен с раствором  $\text{H}_2\text{O}_2$  и разогнан на колонке четкой ректификации.

Выше приведенные формулы справедливы, если метан образуется только при реакции  $\text{CH}_3$ -радикалов с гептаном, а метаном, образующимся при взаимодействии с продуктами реакции и перекисью ацетила, можно пре-

Таблица 1

Соединение	Температура кипения, °C		$n_D^{20}$	
	получено	литер. [19—21]	получено	литер. [19—21]
Гептанол-1	174,5—174,7/747 мм	175,9/759,5 мм		
Гептанол-2	157,5/734 мм	157,8/740,5 мм	1,4214	1,4210
Гептанол-3	65,5/20 мм	65,8/20 мм	1,4221	1,4222
Гептанол-4	65,0/17 мм	63,8/16 мм	1,4200	1,4205
				1,4199
1-Бромгептан	70,5/19 мм	70,6/19 мм	1,4507	1,45052
2-Бромгептан	66—67/24 мм	66,2/24 мм	1,4476	1,4476
3-Бромгептан	61,5/17 мм	62,0/18 мм	1,4505	1,4503
4-Бромгептан	60—61/18 мм	60/18 мм	1,4499	1,4507
				1,4495
n-Гептан	97,5/745 мм	98,4/760 мм	1,3879	1,3876

небрежь. Независимость удельной активности метана от глубины, как это видно из данных табл. 2, показывает, что в пределах точности эксперимента побочными реакциями образования метана можно пренебречь.

Таблица 2

Гептан- <i>t</i>	Температура опыта, °C	Глубина распада перекаси, %	Число опытов	Удельная активность метана, имп/мин.мм
Гептан-2- <i>t</i>	85,0	20	3	208±2
		80	3	214±2
Гептан-3- <i>t</i>	75,0	20	1	44±1
		63	1	42,5±0,7

Результаты опытов\* с гептанами-1-, -2-, -3- и -4-*t* при 55—85° приведены в табл. 3.

Таблица 3

°C	Гептан- <i>t</i>	Уд. активн. гептана $I_T$ : импульсы мин. мм давления в счетчике	Уд. активн. метана $I_M$ : импульсы мин. мм давления в счетчике	$I_M/I_T$ среднее	$k_i^T/k_2^T$
85,0	-1-	85100±3000	40,6; 35,7	0,45 (1±0,06)	0,103±0,01
	-2-	48500±600	212,1; 209,0; 211,1	4,35 (1±0,016)	1
	-3-	11230±260	48,5; 48,4; 48,3	4,31 (1±0,028)	0,99±0,01
75,0	-3-	11230±260	44; 42	3,85 (1±0,03)	—
	-1-	85100±3000	28,4; 29,0	0,337 (1±0,04)	0,098±0,01
70,0	-2-	48500±600	166,0; 167,7; 164,3	3,43 (1±0,014)	1
	-3-	11230±260	39,8; 41,0	3,60 (1±0,03)	1,05±0,01
65,0	-3-	11230±260	37; 36; 36	3,23 (1±0,02)	—
	-1-	85100±3000	20,6; 18,4; 17,9	0,223 (1±0,05)	0,081±0,01
55,0	-2-	48500±600	133; 139; 128	2,74 (1±0,025)	1
	-3-	11230±260	31,6; 32,4	2,85 (1±0,035)	1,04±0,01
	-4-	21000±600	62,3; 58,5; 59,8	2,86 (1±0,04)	1,04±0,01

В последнем столбце даны средние величины отношений констант скоростей, вычисленные по формуле (10), при этом константа скорости реакции метильного радикала с СТ-связью гептана-2-*t* была принята единицу. Согласно (6), для логарифма отношения удельной активности метана  $I_M$  и гептана  $I_T$  имеем,

$$\lg \frac{I_M}{I_T} = \lg \frac{k_j^T}{k_\sigma^H} = \lg \frac{A_j^T}{A_\sigma^H} - (E_j^T - E_\sigma^H) \frac{0,2186}{T}, \quad (11)$$

\* В опытах с гептанами-2 и -3-*t* принимала участие О. Б. Месинева.

де  $A_{\sigma}^H$  и  $E_{\sigma}^H$  — предэкспоненциальный фактор и эффективная энергия активации суммарной константы

$$k_{\sigma}^H = \sum_{i=1}^4 n_i k_i^H \quad (12)$$

реакции  $\text{CH}_3\cdot$  с  $\text{CH}$ -связями  $n$ -гептана. Как видно из рис. 3 и 4, зависимость  $\lg(I_M/I_T)$  от обратной температуры для гептанов-1-, -2- и -3-ти линейна, что позволяет найти величины  $A_j^T/A_{\sigma}^H$  и  $E_j^T - E_{\sigma}^H$ . Значения этих величин и их погрешности, вычисленные методом наименьших квадратов по исходным неусредненным экспериментальным результатам, приведены в табл. 4, в которой даны также отношения предэкспонентов и разности энергий активации по сравнению с константой скорости  $k_2^T$ .

Таблица 4

Углеводород	$\lg \frac{A_j^T}{A_{\sigma}^H}$	$E_j^T - E_{\sigma}^H$ , кал/моль	$\lg \frac{A_j^T}{A_2^T}$	$E_j^T - E_2^T$ , кал/моль
Гептан-1-т	$-0,22 \pm 0,29$	$5120 \pm 460$	$-0,02 \pm 0,30$	$1570 \pm 480$
Гептан-2-т	$-0,20 \pm 0,07$	$3550 \pm 110$	—	—
Гептан-3-т	$-0,36 \pm 0,09$	$3280 \pm 150$	$0,16 \pm 0,11$	$270 \pm 190$

Так как ошибки отношений предэкспонентов и разностей энергий активации не независимы, можно показать, что при максимально допустимой разности энергий активаций  $E_2 - E_3$  абсолютные величины констант скоростей реакции  $\text{CH}_3\cdot$  с  $\text{CT}$ -связями во втором и третьем положении будут практически (в пределах различия не более 10%) одинаковы в интервале температур 35—145°. Если взять среднюю величину  $E_2 - E_3$  и соответствующее ей значение  $A_3/A_2$ , то равенство сохранится в интервале 10—220°.

С этим результатом согласуются данные Азингера [5—7], Бентона [8] и А.Н. Ашкирова [9], которые нашли при хлорировании, сульфохлорировании, сульфокислении и окислении молекулярным слородом нормальных парафинов, что и вторичные  $\text{CH}$ -связи в этих радикальных реакциях практически одинаково акционноспособны. Стили, Бечард и Ротман-Диккенсон [2], сравнивая скорости реакции с  $\text{CH}_3\cdot$  ряда  $n\text{-C}_n\text{H}_{2n+2}$  в жидкой фазе, также нашли, что, начиная с  $n$ -бутана и выше, у всех нормальных углеводородов вторичные  $\text{CH}$ -связи обладают одинаковыми константами скорости отрыва  $\text{H}$ -атома метильными радикалами, при этом разность энергий активации реакций с первичными и вторичными  $\text{CH}$ -связями равна 1,8 ккал, а энергии активации реакций со всеми вторичными  $\text{CH}$ -связями одинаковы с точностью до 300—400 кал/моль. Согласно правилу Поляни — Семенова [23] разность энергий активации одноступенчатых реакций с одним и тем же радикалом пропорциональна разности тепловых эффектов этих реакций  $\Delta E = \alpha \Delta Q$ . Для реакций отрыва  $\text{H}$ -атомов метильным радикалом от углеводорода, согласно В. В. Воробскому [24],  $\alpha$  равно 0,27.  $\Delta Q$  находим, рассчитав энергии диссоциации связей по полуэмпирической формуле В. И. Веденеева [25]. Получаем  $\Delta E_{1,2} = 1070$  кал/моль,  $\Delta E_{2,3} = 410$  кал/моль и  $\Delta E_{3,4} = 100$  кал/моль.

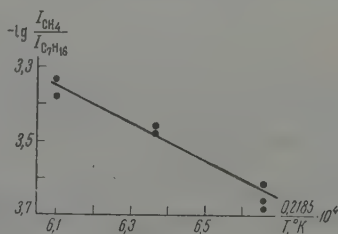


Рис. 3. Зависимость логарифма отношения удельной активности метана к удельной активности гептана-1-т  $[\lg(I_M/I_T)]$  от температуры

Расчетная величина разности энергий активации реакций углерод-водородных связей в первом и втором положениях  $\Delta E_{1,2}$  заметно меньше значений, полученных в настоящей работе и в работе Стиси.

Рассчитанное значение  $\Delta E_{2,3}$  находится на пределе точности этой величины для СТ-связей, определенной нами, и для СН-связей, полученной Стиси.

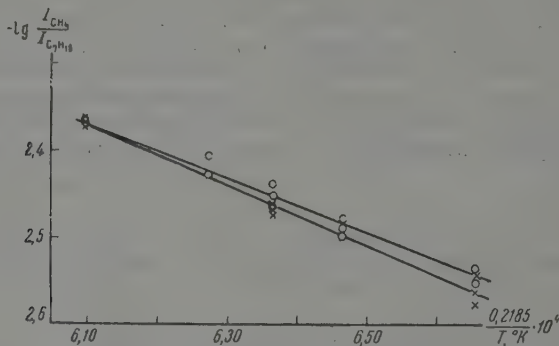


Рис. 4. Зависимость логарифмов отношений удельных активностей метана к удельным активностям: х — гептана-2-*t*; о — гептана-3-*t* от температуры

Знание относительных констант реакций для всех связей *n*-гептана позволяет рассчитать по нашим данным среднюю величину изотопного эффекта. Согласно (6) и (12)

$$(I_M / I_T)_i = k_i^T / k_\sigma^H \quad (1)$$

Вторичные СТ-, а следовательно, и СН-связи, имеют практически одинаковую реакционную способность. Первичные СТ-связи в 10—12 раз менее реакционноспособны, чем вторичные. Близкое соотношение должно быть и для связей СН, что подтверждается данными Стиси, согласно которому для 55—85°С  $k_{\text{втор}}^H / k_{\text{перв}}^H$  равно 12—14. Заменяя в выражении (12)  $k_{\text{перв}}^H = 1/12 k_{\text{втор}}^H$ , получаем  $k_\sigma^H = 10,5 k_{\text{втор}}^H$ . Тогда

$$\left( \frac{k^H}{k^T} \right)_{\text{втор сред}} = \frac{A_{\text{втор}}^H}{10,5 A_{\text{втор}}^T} e^{(E_{\text{втор}}^T - E_{\text{втор}}^H) / RT}$$

Используя для расчета одновременно все значения  $I_M / I_T$ , полученные с гептанами-2-, 3- и 4-*t*, или беря средние значения отношений предэкспонентов и разностей энергий активаций для связей во втором и третьем положении (см. табл. 4), получаем совпадающий результат

$$(k^H / k^T)_{\text{втор сред}} = 0,20 e^{3400 / RT}$$

Найденное значение совпадает с величиной кинетического изотопного эффекта для циклогептана-*t* [26].

### Выводы

1. Показана возможность использования трития, и выведены формулы для определения отношения констант скоростей отрыва атомов водорода (трития) элемент-водородных связей одного и различных органических соединений.



2. Определены относительные константы отрыва свободным метильным радикалом атомов трития в 1, 2, 3 и 4-ом положениях *n*-гептана при 85—95°.
3. Показано, что все вторичные СТ-связи *n*-гептана имеют в интервале 0—220° практически одинаковую реакционную способность. Первичные СТ-связи в 10—12 раз (85—55°) менее реакционноспособны, чем вторичные.
4. Определена величина водород — тритий кинетического изотопного эффекта реакции метильного радикала со вторичными связями *n*-гептана.

Московский государственный  
университет им. М. В. Ломоносова

Поступила  
15.VIII.1958

# ЛИТЕРАТУРА

- E. W. R. Steacie, *Atomic and free radical reactions*, 2 ed., N. Y., 1954.  
 K. B. Wiberg, *Chem. Rev.*, **55**, 713, 1955.  
 С. З. Рогинский, *Теоретические основы изотопных методов изучения химических реакций*, Изд-во АН СССР, М., 1956.  
 А. И. Бродский, *Химия изотопов*, 2-е изд., 1957.  
 F. Asinger, *Ber.*, **77B**, 191, 1944; *Chem. Abstrs.*, **39**, 3252, 1945.  
 F. Asinger, *Ber.*, **75B**, 668, 1942; *Chem. Abstrs.*, **36**, 6136, 1942.  
 F. Asinger, G. Geiseler, H. Eckoldt, *Ber.*, **89**, 1037, 1956.  
 J. L. Benton, M. M. Wirth, *Nature*, **171**, 269, 1953.  
 А. Н. Башкиров, В. В. Камзолкин, К. М. Сокова, Т. П. Андреева, *Докл. АН СССР*, **119**, 705, 1958.  
 M. Levy, M. Steinberg, M. Szwarc, *J. Amer. Soc., Chem.*, **76**, 5978, 1954.  
 M. Levy, M. Szwarc, *J. Amer. Chem. Soc.*, **76**, 5981, 1954.  
 C. Price, H. Morita, *J. Amer. Chem. Soc.*, **75**, 3686, 1953.  
 R. Bilterys, J. Gisseleire, *Bull. Soc. chim. belges*, **44**, 567, 1935.  
 Синтезы органических препаратов, т. I, стр. 544, М., 1949.  
 W. M. Dehn, K. E. Jackson, *J. Amer. Chem. Soc.*, **55**, 4284, 1933.  
 J. Timmerman, *Physico-chemical constants of pure organic compounds*, N. Y., 1950.  
 W. J. G. Beynon, *Philos. Mag.*, (7), **31**, 1, 1941.  
 Ruhoff, Burnett, Reid, *J. Amer. Chem. Soc.*, **56**, 2784, 1934.  
 M. L. Sherrill, *J. Amer. Chem. Soc.*, **52**, 1982, 1930.  
 R. T. Dillon, H. J. Lucas, *J. Amer. Chem. Soc.*, **50**, 1711, 1928.  
 A. F. Forziati, A. R. Glasgow, Jr., C. B. Willingham, F. D. Rossini, *J. Research Nat. Bur. Standards*, **36**, 129, 1946.  
 A. F. Trotman-Dickenson, J. R. Birchard, E. R. W. Steacie, *J. Chem. Phys.*, **19**, 163, 1951.  
 Н. Н. Семенов, О некоторых проблемах химической кинетики и реакционной способности, 2-е изд., Изд-во АН СССР, М., 1958.  
 Н. Н. Тихомирова, В. В. Воеводский, *Докл. АН СССР*, **79**, 993, 1951.  
 В. И. Веденеев, *Докл. АН СССР*, **114**, 571, 1957.  
 В. Л. Антоновский, И. В. Березин, *Научн. докл. высш. школы, Химия и химическая технология*, **1**, 731, 1958.

## THE APPLICATION OF TRITIUM IN DETERMINING THE RELATIVE RATE CONSTANTS OF CLEAVAGE OF ORGANIC HYDROGEN. THE REACTIVITY OF THE HYDROGEN-CARBON BONDS OF *N*-HEPTANE

V. L. Antonovskii<sup>1</sup>, I. V. Berezin (Moscow)

### Summary

The possibility of using tritium has been shown and formulas have been derived for determining the ratios of the rate constants of removal of hydrogen (tritium) from element-hydrogen bonds of a single or different organic compounds.

With the aid of this method the relative rate constants of the removal by a free methyl radical of a tritium atom from the 1,2 and 3 positions of *n*-heptane over temperatures ranging from 55—85° C and the 4 position at 55° C have been determined. The results show that for secondary C—T bonds over the temperature range 10—220° the rate constants differ by not more than 10%. The primary C—T bonds at 55—85° react about 11 times slower than the secondary.

The value of the hydrogen-tritium kinetic isotopic effect for the secondary bonds  $k^T/k^H$  equals  $0.20 \exp 3400/RT$ , which coincides with the isotopic effect for cycloheptane.

## КИНЕТИКА РЕАКЦИЙ ХЛОРИДОВ СТРОНЦИЯ, БАРИЯ И СВИНЦА С ПАРАМИ БРОМА

В. А. Хромова

Взаимодействие твердых хлоридов с бромом относится к типу мало изученных топохимических реакций замещения. Наиболее известные реакции данного типа (восстановление окислов металлов газообразными восстановителями) получили в работах разных авторов различное толкование, что объясняется отсутствием единой теории топохимических реакций замещения. Для разработки же последней в литературе имеется недостаточно экспериментального материала.

Учитывая это, автор предпринял попытку изучить кинетику мало известного процесса взаимодействия твердых хлоридов с бромом.

Еще А. Л. Потылицин [1—3] установил, что при температурах выше  $200^{\circ}$  происходит вытеснение хлора бромом из хлоридов кальция, стронция, бария, свинца и других элементов, и показал, что в указанных системах устанавливается динамическое равновесие. Количественные соотношения веществ в равновесной смеси зависят от температуры и массы брома, введенного в систему. А. Л. Потылицин исследовал со стороны равновесия реакции в указанных системах преимущественно при высоких температурах ( $400$ — $500^{\circ}$ ) и эквивалентных количествах брома, создающих в реакционной системе значительную упругость его паров.

Цель данной работы — выявить наличие взаимодействия хлоридов стронция, бария и свинца с парами брома при малых парциальных давлениях последнего и более низких температурах ( $250$ ,  $300$  и  $350^{\circ}$ ) и темпоральности, которым подчиняется процесс бромирования в этих условиях.

## Экспериментальная часть

В качестве объектов исследования были избраны хлориды стронция, бария и свинца, обладающие малой упругостью паров. При изучении реакций бромирования указанных хлоридов использовалась та же методика исследования, что и в работе [4], с той лишь разницей, что в системах хлоридом свинца после удаления брома из реакционного сосуда проводилось продувание азотом вместо воздуха. Изменение веса твердого вещества регистрировалось при помощи пружинных кварцевых весов, также при изучении каждой системы анализ твердого продукта реакции проводился потенциометрически.

Проведенное исследование показало, что при температурах  $250$ ,  $300$  и  $350^{\circ}$  при малых парциальных давлениях паров брома ( $35$ — $76$  мм рт. ст.) имеет место химическое взаимодействие твердых хлоридов стронция, бария и свинца с парами брома, приводящее в конечном итоге к частичному вытеснению хлора бромом. Потенциометрическим титрованием установлено для всех систем, что суммарная концентрация хлор- и бром-ионов в продукте реакции эквивалентна концентрации хлор-иона в навеске исходного хлорида.

При всех изученных температурах реакция начинается с момента впуска брома. Меньшую активность по отношению к бромоводороду при данных условиях проявил  $\text{SrCl}_2$ , большую —  $\text{BaCl}_2$ , наивысшую —  $\text{PbCl}_2$ . С

вательно, реакционная способность хлорида по отношению к бромю тем же, чем больше атомный вес металла хлорида. Ход процесса бромирования представлен на рис. 1 и 2.

Кроме природы исходных хлоридов на процесс бромирования оказывает влияние температура: скорости реакций и проценты превращения хлоридов в бромиды имеют при 350° более высокие значения, чем при 300°, видно из данных табл. 1.

Константы скоростей реакций  $k$  считывались по хорошо удовлетворяющему опытным данным уравнению:

$$k = x / \sqrt{t},$$

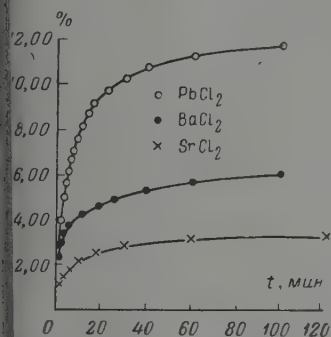


Рис. 1. Превращение хлоридов в бромиды при 300°: 1—  $\text{PbCl}_2$ ; 2—  $\text{BaCl}_2$ ; 3 —  $\text{SrCl}_2$

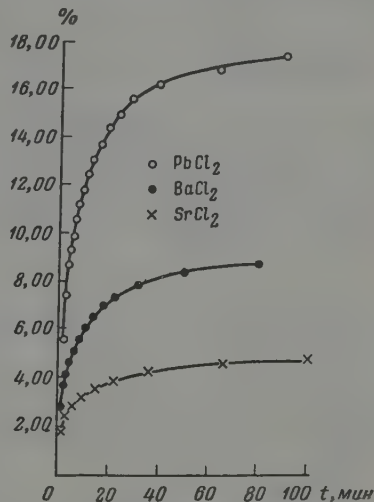


Рис. 2. Превращение хлоридов в бромиды при 350°; нумерация та же, что на рис. 1

—  $x$  количество хлорида, превращенное в бромид ко времени  $t$ . В одной же системе они возрастают с повышением температуры, а в разных системах при одной и той же температуре от  $\text{SrCl}_2$  к  $\text{PbCl}_2$ , т. е. с повышением атомного веса металла хлорида.

Таблица 1

Хлорид	Атомный вес металла	Константа скорости реакции $k$		% превращения хлорида в бромид	
		300°	350°	300°	350°
$\text{SrCl}_2$	87,6	0,634	0,978	3,57	4,99
$\text{BaCl}_2$	137,4	1,333	1,898	6,14	8,90
$\text{PbCl}_2$	207,2	2,411	3,832	11,80	17,51

Графически зависимость констант скоростей реакций от атомных весов катионов хлоридов изображается параболой, не проходящими через начало координат (рис. 3). Эти параболы могут быть представлены уравнением:

$$k = bA^2 + C, \quad (1)$$

где  $A$  — атомный вес металла,  $b$  и  $C$  — постоянные величины.

Разница в величинах  $k$  (табл. 2), вычисленных по вышеприведенной формуле, и экспериментальных составляет от 5,4 до —9 %.

Постоянные  $b$  и  $C$  рассчитаны из опытных данных по методу наименьшей средней ошибки. Величина их, одинаковая для всех изученных систем, зависит от температуры. С повышением температуры от 300 до 350° константы  $b$  и  $C$  увеличиваются в 1,5 раза. Это увеличение имеет тот же порядок, как и температурный коэффициент изученных реакций. Послед-

Таблица

Хлорид	A <sup>2</sup> катиона	b = 6·10 <sup>-6</sup>		C = 0,154		b = 9·10 <sup>-6</sup>		C = 0,2	
		k <sub>300</sub>		Δ	% откл.	k <sub>350</sub>		Δ	от
		экспер.	вычисл.			экспер.	вычисл.		
SrCl <sub>2</sub>	7673,76	0,634	0,615	0,019	+3,0	0,978	0,925	0,053	+
BaCl <sub>2</sub>	18878,76	1,333	1,286	0,047	+3,5	1,898	1,932	0,034	—
PbCl <sub>2</sub>	42931,84	2,411	2,730	0,219	—9,1	3,832	4,097	2,265	—

ний рассчитывался по формуле  $k_1 = \sqrt{k_{350}/k_{300}}$  и в среднем оказался равным 1,1. Такое совпадение указанных величин говорит об определенности роли диффузионных факторов в реакции бромирования. Хлориды стронция, бария и свинца начинают реагировать с бромом с момента соприкосновения даже при самой низкой из изученных температур, т. е. при 23°.

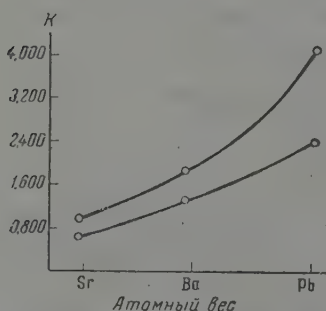


Рис. 3. Зависимость константы скорости реакции от величины атомного веса катиона при 350°

равны 1,16; 1,15; 1,13, во-вторых, благодаря наличию защитной пленки затрудняется диффузия брома к поверхности непрореагировавшего хлорида, а также выход вытесненного хлора в объем. Последнее обстоятельство способствует обратимости реакции и тем самым уменьшению наблюдаемой скорости суммарного процесса.

Резкое уменьшение скоростей реакций в первые минуты при высоких температурах объясняется тем, что в этих условиях быстрее образуется защитная пленка, и процесс переходит постепенно из области кинетической в диффузионную.

Увеличение скорости реакции и процента превращения с повышением парциального давления паров брома подтверждает правильность выдвинутого предположения. Установлено, что изменение  $p_{Br_2}$  в узком интервале не влияет на характер кинетических кривых. Зависимость процента превращения хлорида в бромид от  $p_{Br_2}$  может быть выражена эмпирической формулой

$$x = ap_{Br_2},$$

где  $x$  — процент превращения хлорида в бромид,  $a$  — коэффициент пропорциональности.

Графически эта зависимость представлена на рис. 4. Коэффициент, являющийся тангенсом угла наклона прямой, характеризует активность хлорида по отношению к бромоводороду. Значения  $a$  при 350° для хлоридов стронция, бария и свинца соответственно равны: 0,110; 0,194; 0,385. Вели-

Реакции во всех системах начинаются с максимальной скоростью, затем в первые же минуты скорость процесса взаимодействия уменьшается и при этом быстрее, чем выше температура опыта. Это представлено графиками процента превращения — время (рис. 1 и 2). Резкий спад скоростей реакции в первые минуты взаимодействия во всех системах связан с торможением процесса бромирования, которое объясняется тем, что, во-первых, на поверхности исходных кристаллов хлоридов образуется пленка продукта реакции — бромида, которая по Л. Д. Данкову [5] обладает хорошими защитными свойствами, так как отношения объема бромида к объему хлорида для систем с катионами:  $Pb^{2+}$ ,  $Ba^{2+}$ ,  $Sr^{2+}$  соответственно



коэффициента  $\alpha$  увеличивается с ростом атомного веса металла, входящего в хлорид. При  $p_{Br_2}$ , большем чем 50 мм рт. ст., опытный процент превращения отстает от вычисленного по найденной формуле тем больше, чем больше  $p_{Br_2}$ .

Сопоставляя вышесказанное о влиянии  $p_{Br_2}$  на кинетику процесса бромирования, можно прийти к заключению, что это влияние связано с явлениями диффузии, а, следовательно, постоянные  $b$  и  $C$  в найденном автором уравнении, выражающем зависимость константы скорости реакции от величины атомного веса катиона хлорида, имеют определенную связь с диффузионными процессами и парциальным давлением паров брома.

С целью выявления диффузионных факторов в изученных реакциях проведен анализ опытных данных с помощью обобщенного уравнения кинетики Ерофеева, примененного в форме, предложенной П. И. Бельчиным [6], и уравнения Дроздова и Ивникова [7]. Величина показателя  $\beta$  оказалась для систем с  $SrCl_2$  и  $BaCl_2$  равной 0,55, а для системы с  $PbCl_2$  она равна 0,52. Коэффициент  $\beta$  также имеет различную величину: именно: для первых двух систем равен 0,44, а для  $PbCl_2$ ,  $\beta = 0,46$ .

Результаты анализа свидетельствуют о том, что процесс бромирования хлоридов начинается в кинетической области, затем переходит в диффузионно-кинетическую и, наконец, в диффузионную. Этот переход связан, как было показано ранее, с уменьшением скорости диффузии газообразных реагентов системы через пленку бромидов, а также с обратимостью реакции. Автор приносит глубокую благодарность проф. А. П. Бунтину за ценные советы, использованные при выполнении данной работы.

### Выводы

1. Доказано, что при температурах 250, 300 и 350° и парциальных давлениях паров брома, превышающих 35 мм рт. ст., происходит частичное превращение хлоридов стронция, бария и свинца в соответствующие бромиды.
2. Показано, что скорость реакции при превращении хлоридов вышеуказанных металлов в бромиды зависит от величины атомного веса катиона, содержащегося в хлориде, и, по-видимому, от условий равновесия.
3. Показано, что зависимость константы скорости реакции от величины атомного веса катиона может быть выражена эмпирической формулой (1).
4. Показано влияние температуры на ход и результаты процесса бромирования твердых хлоридов.
5. Показано, что имеет место зависимость процента превращения хлоридов в бромид от  $p_{Br_2}$ , которая в узком интервале парциальных давлений паров брома может быть выражена эмпирической формулой (2).
6. Проведен анализ экспериментальных данных при помощи двух кинетических уравнений.

Красноярский педагогический институт

Поступила  
15.VIII.58

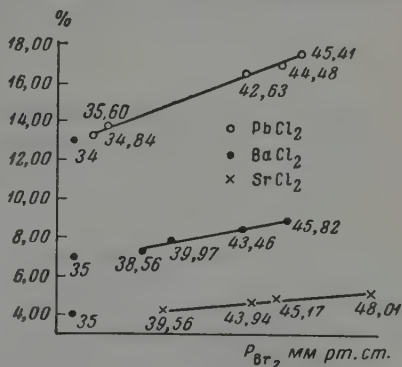


Рис. 4. Зависимость процента превращения хлорида в бромид от давления паров брома при 350°: а —  $PbCl_2$ ; б —  $BaCl_2$ ; в —  $SrCl_2$

## ЛИТЕРАТУРА

1. А. Л. Потылицин, ЖРФ-ХО, **6**, 274, 1874.
2. А. Л. Потылицин, ЖРФ-ХО, **8**, 193, 1876.
3. А. Л. Потылицин, ЖРФ-ХО, **11**, 413, 1879.
4. А. П. Бунтин и В. А. Хромова, Уч. зап. Томск. ун-та, Вопросы химии, **29**, 7, 1959.
5. П. Д. Данков, Изв. АН СССР, № 5—6, 1250, 1938.
6. П. И. Белькевич, Изв. АН БССР, № 3, 145, 1950.
7. А. Л. Ротнян, Ж. прикл. химии, **21**, 802, 1948.

## REACTION KINETICS OF STRONTIUM, BARIUM AND LEAD CHLORIDES WITH BROMINE VAPOR

*V. A. Khromova (Krasnoyarsk)*

### Summary

A study has been made of the interaction of solid strontium, barium and lead chlorides with bromine and it has been found that at 250, 300 and 350° and low bromine vapor pressures, partial conversion of the chlorides to the respective bromides takes place.

The rate of the bromination process depends upon the atomic weight of the chloride cation, the temperature and probably upon the equilibrium conditions.

The temperature coefficient of reaction rate for all the systems is on an average equal to 1.1.

The dependence of the rate constant of reaction  $K$  on the atomic weight of the chloride  $A$  may be expressed by the empirical formula:  $K = bA^2 + C$ , where  $b$  and  $C$  are constants of equal value for all the systems.

An empirical expression  $X = a P_{\text{Br}_2}$  has been found, expressing the dependence of the percentage conversion  $X$  of the chloride to the bromide upon the bromine vapor pressure  $P_{\text{Br}_2}$  over the pressure range 35—100 mm Hg. The value of  $a$  increases with increase in the atomic weight of the chloride cation.

РЕЛАКСАЦИОННЫЙ МЕХАНИЗМ РАСПРОСТРАНЕНИЯ  
ГОРЕНИЯ В ГЕТЕРОГЕННЫХ ЭКЗОТЕРМИЧЕСКИХ  
СИСТЕМАХ. II

З. И. Фур

В предыдущей статье [1] предложена физическая модель релаксационного механизма распространения горения и приведено уравнение для скорости распространения горения. Здесь мы рассмотрим влияние давления начальной температуры на скорость распространения горения, а также некоторые особенности процесса воспламенения.

Зависимость скорости распространения горения от давления. Для того чтобы скорость распространения горения зависела от давления, необходимо, чтобы от него зависели какие-то параметры в уравнении (2) статьи [1]. Такими параметрами могут быть только температуры  $T_v$  и  $T_r$ , причем первая из них не может сильно зависеть от давления. Поэтому причину зависимости скорости распространения горения от давления следует искать главным образом в зависимости  $T_r$  от давления.

Наиболее просто представить эту связь так, как это изображено на рис. 1. При давлении  $P_1$  распределение температуры показано сплошной линией. При большем давлении  $P_2$  газовая фаза и, соответственно, реакционный слой должны стать тоньше. Вследствие уменьшения толщины тепловое сопротивление газовой фазы должно уменьшиться, в то время как у конденсированной фазы оно остается неизменным (поскольку всегда прогревается до температуры воспламенения один элементарный слой). Это должно привести к перераспределению температуры между газовой и конденсированной фазами в сторону увеличения перепада температуры на последней, и поэтому должно установиться распределение, примерно показанное пунктирной линией. Следовательно, при повышении давления от  $P_1$  до  $P_2$  температура на поверхности раздела реакционного слоя и конденсированной фазы должна возрасти от  $T_{r1}$  до  $T_{r2}$ .

Описанное изменение температуры  $T_r$  с изменением давления возможно лишь до тех пор, пока  $T_r$  меньше температуры испарения. Как только эта температура будет достигнута, дальнейшее увеличение давления перестает влиять на  $T_r$ , но будет влиять на толщину прогреваемого слоя, так как последняя будет уменьшаться за счет испарения и тем больше, чем выше давление. Это будет, как указывалось, переходным режимом между горением по описанной выше схеме [1] и схемой Я. Б. Зельдовича. При статочном давлении горение полностью перейдет в режим по схеме Я. Б. Зельдовича.

Для установления количественной связи между  $T_r$  и давлением нужно использовать какие-то известные соотношения, пригодные в случае описанной картины явлений. Однако это оказалось затруднительным и было сделано предположение, что температура  $T_r$  газообразных продуктов реакции в реакционном слое связана с давлением уравнением Пуассона. Принимая такую связь, мы должны допустить, что тепло, выделяющееся в первичной реакции, передается продуктам этой реакции при постоянном объеме и давлении, большем внешнего, и лишь потом продукты реакции расширяются до давления, равного внешнему. В противном случае, при изобарном образовании и сгорании газообразных продуктов, урав-

нение Пуассона не применимо, так как температура продуктов не зависит от давления. Это предположение дало возможность получить уравнения для зависимости скорости распространения горения от давления, хорошо совпадающее во многих случаях с опытными данными.

Пока не удалось предложить гипотезу о таком механизме превращения конденсированной фазы в газовую, при котором могло бы иметь место указанное расширение продуктов реакции. Поэтому и гипотеза о зависи-

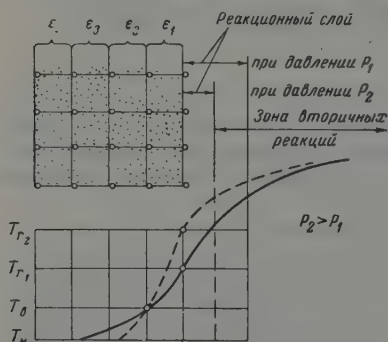


Рис. 1. Схема влияния давления на скорость распространения горения

мости температуры продуктов от давления является физически необоснованной\*, а полученные уравнения — эмпирическими. Возможно, что этим уравнениям соответствует какое-либо физическое содержание (например, по рис. 1), остающееся пока неизвестным.

В дальнейшем мы будем для удобства изложения говорить о зависимости температуры  $T_r$  от давления, понимая под этим некий неизвестный физический процесс или комплекс процессов, математически эквивалентный связи температуры с давлением по уравнению Пуассона. При этом все операции с температурой давлением являются чисто формальными.

Кроме того, будем предполагать процесс горения адиабатным и продукты горения, обладающими свойствами идеального газа, что собственно вытекает из предположения о справедливости уравнения Пуассона.

При этих условиях из формулы (3) статьи [1] получаем

$$\frac{u_1}{u_0} = C \left\{ A \left[ \left( \frac{P_1 + \Delta P_1}{P_0 + \Delta P_0} \right)^v - 1 \right] + B \right\};$$

$$C = \frac{T_{v0} - T_H + \frac{\eta}{c} + \frac{4\omega}{c\gamma d}}{T_{v1} - T_H + \frac{\eta}{c} + \frac{4\omega}{c\gamma d}}; \quad A = \frac{T_{r0} + 273}{T_{r0} - 0,4T_{v0} - 0,6T_H};$$

$$B = \frac{T_{r0} - 0,4T_{v1} - 0,6T_H}{T_{r0} - 0,4T_{v0} - 0,6T_H}; \quad v = \frac{C_p - C_v}{C_p},$$

где  $u_0$  и  $u_1$  — скорость распространения горения при давлениях  $P_0$  и соответственно;  $\Delta P_0$  и  $\Delta P_1$  — разности между давлением в реакционном слое и внешним давлением (падение давления в газоотводном канале, которые будем именовать дополнительным давлением (для не очень точных расчетов  $\Delta P_0 \approx \Delta P_1$ );  $T_{r0}$  — температура  $T_r$  при давлении  $P_0$ ;  $T_H$ ,  $T_{v1}$  — температура воспламенения при давлениях  $P_0$  и  $P_1$  соответственно;  $C_p$  и  $C_v$  — теплоемкости газообразных продуктов в реакционном слое для одноатомных газов  $v = 0,38$ , для двухатомных  $v = 0,29$ , для трехатомных и более  $v = 0,25$ .

Для тех систем, у которых температура воспламенения слабо зависит от давления, либо, если  $(\eta/c) + (4\omega/c\gamma d) \gg T_{v0} - T_H$ , коэффициенты  $B$  мало отличаются от единицы и в этих случаях без большой ошибки можно принять

$$\frac{u_1}{u_0} = A \left[ \left( \frac{P_1 + \Delta P_1}{P_0 + \Delta P_0} \right)^v - 1 \right] + 1.$$

\* При условии независимости хода химических реакций и, соответственно, лорийности от давления.



Как оказалась, эта упрощенная формула дает во многих случаях удовлетворительное согласие с опытными данными.

Следует иметь в виду, что и формула (1) является приближенной, поскольку получена при постоянных значениях коэффициентов  $k_1$ — $k_6$  (трудно получить точную, но более громоздкую формулу, если воспользоваться уравнением (2), статьи [1], однако в этом нет здесь нужды).

У обыкновенного дымного пороха газообразные продукты сгорания являются в основном двухатомными. Коэффициент  $A \approx 1,42$ , как в этом можно убедиться подстановкой. Кроме того, примем в первом приближении:  $P = 0$ . При этих условиях

$$\frac{u_1}{u_0} = 1,42 \left[ \left( \frac{P_1}{P_0} \right)^{0,29} - 1 \right] + 1. \quad (3)$$

Если носителями тепла в реакционном слое являются не только газообразные продукты, но и твердые частицы, то очевидно, что при прочих равных условиях изменение давления будет меньше влиять на температуру, так как не окажет влияния на температуру этих твердых частиц.

Следовательно, в этом случае показатель  $\nu$  должен иметь меньшую величину, чем меньшую, чем больше доля тепла, содержащегося в твердых частицах. В частности, может быть  $\nu < 0,25$ . В пределе, когда носителями тепла являются только твердые частицы,  $\nu = 0$ . В этом случае формула (2) дает  $u_1/u_0 = 1$ , т. е. скорость распространения горения не зависит от давления. Сравнение опытных и расчетных значений функции  $u_1/u_0 = f(P_1/P_0)$  для дымных порохов приведено на рис. 2 и в табл. 1, а для термитов — табл. 2.

Опытная зависимость для трубчатого пороха [2] показана на рис. 2 кривой 1 ( $P_0 = 1$  атм). Расчетная зависимость, полученная по формуле (3), показана кривой 2. Кривая 3 построена для сравнения по известному уравнению  $u_1/u_0 = (P_1/P_0)^\nu$  при  $\nu = 0,7$  (этим значением пользуется автор [2]). Если ввести поправку на дополнительное давление ( $\Delta P \approx 0,5$  атм), кривые 1 и 2 еще сближаются.

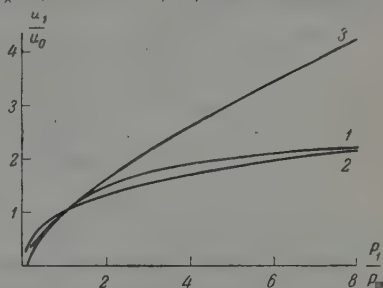


Рис. 2. Зависимость скорости распространения горения дымного пороха от давления

Таблица 1

$P_0 = 1$  атм

атм	Ружейный порох					Бурый призматический порох		
	по Брунsvигу		по Вьелю		расчетные	по Брунsvигу		расчетные
	$u$ , см/сек	$\frac{u_1}{u_0}$	$u$ , см/сек	$\frac{u_1}{u_0}$		$u$ , см/сек	$\frac{u_1}{u_0}$	
1	0,80	1	0,80	1	1	0,90	1	1
500	6	7,5	6,4	8	8,2	4	4,45	4,8
1000	8	10	8	10	10,1	4,5	5	5,7
1500	9	11,3	9,2	11,5	11,4	5	5,55	6,3
2000	10	12,5	10,1	12,6	12,5	6	6,7	6,7
2500	—	—	10,9	13,7	13,4	6,5	7,2	7,1
3000	—	—	—	—	—	7	7,8	7,4

Опытные данные в табл. 1 заимствованы у автора [3]. Расчетные значения для ружейного пороха получены по формуле (3). Расчетные значения для бурого пороха получены по той же формуле, но при  $A = 1,1$  и  $\nu = 0,24$ . Эти величины  $A$  и  $\nu$  получены подбором. Причину того, что для

бурого пороха требуются несколько иные значения  $A$  и  $v$ , чем для ружейного, можно видеть в том, что он имеет другое соотношение компонент и уголь другой степени обжига.

Опытные данные для термитов, помещенные в табл. 2, заимствованы из работы [4] и получены измерением ординат на кривых, так как авторы не приводят числовые значения. Расчетные данные получены по формуле (2) при значениях  $A$ ,  $v$  и  $\Delta P$ , указанных в табл. 2.

Таблица 2

Марганцево-алюминиевый термит			Железо-алюминиевый термит		
$\frac{P_1}{P_0}$	$u_1/u_0$		$\frac{P_1}{P_0}$	$u_1/u_0$	
	опытные	расчетные: $A = 1,8$ $v = 0,32$ $\Delta P = 1 \text{ атм}$		опытные	расчетные: $A = 1,1$ $v = 0,28$ $\Delta P = 1,1 \text{ атм}$
4,3	1,8	1,5	8,2	1,53	1,51
12,6	2,7	2,1	24,9	2,29	2,02
37	3,7	3,1	40	2,54	2,32
60	4,0	3,6	60	2,79	2,74
80	4,1	4,0	80	2,95	2,99
100	4,2	4,3	100	3,02	3,01
120	4,3	4,5	120	3,08	3,15
140	4,4	4,7			

Указанные значения  $A$ ,  $v$  и  $\Delta P$  получены подбором, но они имеют вполне разумные величины, так как  $A > 1$  и  $v < 0,38$ , а  $\Delta P > 0$  (потому что газообразные продукты первичных реакций движутся по капиллярным каналам, представляющим значительное сопротивление движению газов).

Кроме термитов, указанных в табл. 2, авторы [4] исследовали еще два термита. Один из них (хромо-алюминиевый) горит с одинаковой скоростью при всех давлениях (испытан до 100 атм). Это значит, согласно указанному выше, что у него  $v = 0$  и обмен кислородом в реакционном слое происходит в жидкой фазе. У другого термита (хромо-магниевого) скорость распространения горения возрастает с ростом давления до 40 атм, а затем уменьшается (испытан до 160 атм). Относительно этого термита приходится предположить, что до давления 40 атм обмен кислородом идет при участии газовой фазы, а при большем давлении переходит постепенно в жидкую фазу.

Таким образом, формула (2) правильно описывает наблюдаемую в ряде случаев зависимость скорости распространения горения от давления. Вопрос о причине и границах ее справедливости требует, разумеется, дальнейшего исследования.

Уместно будет заметить, что формула (2) принципиально может быть справедливой лишь до давления, при котором температура  $T_g$  достигает величины, равной частному от деления калорийности на теплоемкость соответствующих продуктов реакций. При большем давлении его влияние на скорость распространения горения должно иметь иную физическую природу, например может определяться химической кинетикой (Я. Б. Зельдовичу).

Влияние начальной температуры на скорость распространения горения. Из теории Я. Б. Зельдовича [5] следует, что изменение начальной температуры должно влиять на скорость распространения горения путем увеличения температуры горения на ту же величину, на которую возрастает начальная температура \*. Однако экспериментальные данные противоречат выводам, которые можно сделать из указанной теории, а именно:

\* Влиянием начальной температуры на энергию активации можно, по-видимому, пренебречь.

а) Преобразуя формулу Я. Б. Зельдовича для скорости распространения горения, можно вычислить относительные изменения скорости распространения горения для заданного изменения начальной температуры. Для получения расчетных значений, равных тем опытным, которые тогда наблюдаются, приходится принимать нереально большие величины энергии активации, как на это указывает и К. К. Андреев [6].

б) Известны системы, у которых в определенных условиях наблюдается уменьшение скорости распространения горения с повышением начальной температуры. С точки зрения теории, связывающей скорость распространения горения с кинетикой химических реакций, это явление естественное и не имеет объяснения.

в) Известно, что температурная зависимость не является неизменным свойством системы, а у многих систем является особой, качественно одиовой, функцией давления.

Данные о влиянии давления на температурную зависимость приводит, например, К. К. Андреев [6].

С точки зрения теории Я. Б. Зельдовича, это явление необъяснимо, так температура горения, только от которой должно зависеть влияние начальной температуры на скорость распространения горения, сама не может зависеть от давления. Некоторое объяснение этому явлению можно дать лишь для тех случаев, когда с изменением давления изменяется направление химических реакций, и, соответственно, изменяется калорийность и температура горения. Однако это — иной случай, и он не может объяснить существо указанного противоречия.

г) Наконец, некоторыми опытами других авторов (например, [6]) была установлена нелинейность температурной зависимости. Оказалось, что температурный коэффициент (см. ниже) возрастает с ростом температуры быстрее, чем выше температура. Это явление также нельзя объяснить с точки зрения указанной теории, так как согласно ей температурный коэффициент должен уменьшаться с ростом начальной температуры. Теперь рассмотрим описанные особенности температурной зависимости с точки зрения релаксационного механизма горения.

Влияние начальной температуры на скорость распространения горения при неизменном давлении удобно оценить величиной:

$$\theta = \frac{(u_1 - u_0) / u_0}{T_{H_1} - T_{H_0}}, \quad (4)$$

$u_1$  и  $u_0$  — скорость распространения горения при начальной температуре  $T_{H_1}$  и  $T_{H_0}$  соответственно.

Величину  $\theta$  назовем температурным коэффициентом. Он указывает осительное изменение скорости распространения горения, вызываемое изменением начальной температуры на  $1^\circ$ . Мы ограничимся тем простейшим случаем, когда можно полагать параметры формулы (3) работы [1] зависящими от начальной температуры. Тогда

$$\theta = \frac{T_r - T_b - 0,6 \left( \frac{\eta}{c} + \frac{4\omega}{c\gamma d} \right)}{\left( T_b - T_{H_1} + \frac{\eta}{c} + \frac{4\omega}{c\gamma d} \right) (T_r - 0,4T_b - 0,6T_{H_0})}. \quad (5)$$

Для упоминавшихся в статье [1] двух систем, отличавшихся дисперсностью, в интервале температур  $T_{H_0} = -50^\circ$  и  $T_{H_1} = 50^\circ$  было получено по формуле (5):  $\theta = 0,0012^\circ \text{C}^{-1}$ , т. е. скорость распространения горения должна изменяться на 0,12% на каждый градус изменения температуры или же 12% в интервале  $\pm 50^\circ$ . В действительности же она изменяется на 13% в зависимости от условий опыта, т. е. оказалось хорошее совпадение расчета с опытом.

Для дымного пороха, принимая  $T_r = 1300^\circ$ ,  $T_v = 400^\circ$ ,  $\eta = 0$ ,  $\omega = T_{n_0} = -50^\circ$  и  $T_{n_1} = 50^\circ$ , получаем:  $\theta = 0,0022^\circ \text{C}^{-1}$ . Величина  $\theta$ , определенная по экспериментальным данным, приведенным в работе [6], равна  $0,0007^\circ \text{C}^{-1}$  в одном случае и  $0,0018^\circ \text{C}^{-1}$  в другом.

Следует, кроме того, иметь в виду, что значение  $\eta = 0$  было принято произвольно. Если  $\eta > 0$ , то разница между расчетом и опытом будет меньше. Так, при  $\eta/c = 300$  (что является небольшой величиной, так как  $c = 0,1 \text{ кал/г}$ ) получаем:  $\theta = 0,00095^\circ \text{C}^{-1}$ .

Таким образом, приближенная формула (5) дает в общем удовлетворительные результаты.

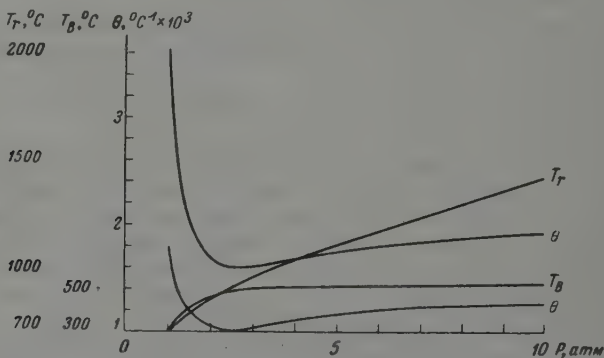


Рис. 3. Влияние давления на температурный коэффициент

Как видно из формулы (5) при  $\eta/c + (4\omega/c\gamma\alpha) > (T_r - T_v)/0,6$  температурный коэффициент становится отрицательным, и, следовательно, при выполнении этого условия скорость распространения горения будет уменьшаться с увеличением начальной температуры. Таким образом, дается ясное и простое объяснение явлению, которое невозможно объяснить с точки зрения теорий горения, связывающих скорость горения только с кинетикой химических реакций.

Влияние давления на температурную зависимость вытекает из формулы (5). Мы должны принять, как делали это выше, что температура  $T_r$  связана с давлением уравнением Пуассона. На рис. 3 приведены кривые этой зависимости для двухатомного газа. Кроме того, не будем пренебрегать влиянием давления на температуру воспламенения. Естественно допустить, что влияние давления на  $T_v$  уменьшается с его ростом. Примерная кривая зависимости  $T_v$  от давления показана на рис. На нем же показаны две кривые зависимости  $\theta$  от давления, вычисленные по формуле (5) при  $\eta = 0$ ,  $\omega = 0$ , значениях  $T_r$  и  $T_v$ , взятых из указанных двум кривым и при двух значениях температурного интервала:  $T_{n_1} = 100^\circ$ ;  $T_{n_0} = 50^\circ$  (верхняя кривая) и  $T_{n_1} = -50^\circ$ ;  $T_{n_0} = -100^\circ$  (нижняя кривая).

Полученные кривые имеют характерную седлообразную форму, т. е. при некотором давлении, большем атмосферного, достигается минимальная величина температурного коэффициента, дальнейшее увеличение давления вызывает увеличение температурного коэффициента. Именно такого типа кривые наблюдаются в ряде случаев на опыте. В зависимости от изменения соотношения параметров седловина может вырождаться в левую или правую (чаще последняя) часть кривой может стать практически параллельной оси абсцисс.

Зависимость температурного коэффициента от начальной температуры видна из рис. 3 и табл. 3. В ней даны величины температурного коэффициента, вычисленные по формуле (5) при тех же значениях параметров



которым соответствуют кривые на рис. 3 при давлении 1 атм. Из таблицы видим, что температурный коэффициент возрастает с ростом начальной температуры и тем быстрее, чем выше последняя.

Из формулы (5) видно, что температурный коэффициент должен возрастать с увеличением диаметра  $d$ . Именно это и наблюдается во многих случаях на опыте.

Таким образом, видим, что релаксационный механизм позволяет вполне удовлетворительно объяснить влияние начальной температуры на скорость распространения горения как качественно, так, во многих случаях, и количественно.

**Воспламенение.** Рассмотрим процесс воспламенения с учетом существования элементарного очага, показавшего, что воспламенение гетерогенных систем должно происходить не на всей воспламеняемой поверхности, а в отдельных точках, удаленных друг от друга на относительно значительные расстояния. Из каждой такой точки фронт горения должен распространяться послойно, в виде полусферы с увеличивающимся радиусом до слияния полусфер, после чего постепенно образуется плоский фронт горения.

Далее оказывается, что если прекратить подвод тепла от внешнего источника в начальный очаг воспламенения ранее, чем последний достигнет некоторой определенной величины, то горение в этом очаге должно прекратиться. Наименьший очаг воспламенения, обеспечивающий самостоятельное горение, назовем критическим очагом воспламенения. Для воспламенения необходимо, чтобы хотя бы один из начальных очагов на воспламеняемой поверхности достиг критического размера.

Величина критического очага, а следовательно, и условие безотказного воспламенения определяются выражением:

$$\frac{0,55(T_r - T_v)}{0,35(T_v - T_n) + \eta/c} > \frac{3n^2 + 3n + 1}{3n^2 - 3n + 1}, \quad (6)$$

где  $n$  — число элементарных слоев в критическом очаге. Абсолютная величина радиуса критического очага равна  $r = n\lambda$ .

Как показал расчет, скорость распространения горения в начальном очаге значительно меньше установившейся скорости распространения горения. Последняя достигается позднее упомянутого выше слияния начальных очагов. В связи с этим обстоятельством время сгорания образца длиной  $l$  равно:

$$t = \frac{l}{u} + t_d, \quad (7)$$

где  $l$  — длина образца;  $u$  — установившаяся скорость распространения горения;  $t$  — время сгорания образца;  $t_d$  — время, названное, дополнительным временем воспламенения.

Наши опыты показали, что критический очаг и дополнительное время воспламенения действительно существуют.

Акад. Н. Н. Семенову, предоставившему возможность обсуждения этой работы, Я. Б. Зельдовичу, О. М. Тодесу, А. Ф. Беляеву, О. И. Лейпунскому, П. Ф. Похилу, А. С. Компанейцу, принявшим участие в обсуждении, а также К. К. Андрееву и В. Г. Павлышину, приношу благодарность за внимание и ценные замечания.

## Выводы

Предлагаемая гипотеза, связывающая скорость распространения горения с теплопередачей в конденсированной фазе и лишь косвенно учитывающая кинетику химических реакций через температуру воспламенения  $T_B$  и температуру  $T_r$  продуктов реакции, позволила систематически объяснить явления, наблюдаемые при горении некоторых гетерогенных экзотермических систем, в том числе явления, необъяснимые теориями связывающими скорость распространения горения только с кинетикой химических реакций. Расчеты, произведенные по полученным формулам, дали удовлетворительное совпадение с опытными данными. Все это дает основание ожидать, что предложенная модель механизма горения, по крайней мере частично, соответствует реальным физическим процессам горения указанных систем.

Наряду с этим гипотеза содержит некоторые предположения, недостаточно физически обоснованные. Это значит, что она требует дальнейшей разработки и некоторой осторожности при использовании полученных результатов.

Вероятно, наиболее правильный путь дальнейшей разработки, подсказанный О. М. Тодесом, состоял бы в учете кинетики химических реакций и скорости теплопередачи в конденсированной фазе. Из такой более общей гипотезы вытекали бы, как частные случаи, гипотеза Я. Б. Зельдовича и предлагаемая гипотеза.

Поступила  
15.VIII.1958

## ЛИТЕРАТУРА

1. З. И. Фур, Ж. физ. химии, **34**, 611, 1960.
2. Я. М. Шапиро, Внешняя баллистика, Оборонгиз, 1946.
3. Я. А. Шиллинг, Курс дымных порохов, Оборонгиз, 1940.
4. А. Ф. Беляев и Л. Д. Ромкова, Ж. физ. химии, **24**, 1302, 1950.
5. Я. Б. Зельдович, Ж. эксперим. и теор. физ., **12**, 498, 1942.
6. К. К. Андреев, Термическое разложение и горения взрывных веществ, Госэнергоиздат, 1957.

## MECHANISM OF PROPAGATION OF BURNING IN HETEROGENEOUS EXOTHERMAL SYSTEMS. II

Z. I. Fur (Leningrad)

## Summary

The hypothesis proposed, relating the velocity of propagation of burning with the heat transfer in the condensed phase and only indirectly accounting for the kinetics of the chemical reactions via the temperature of combustion  $T_B$  and the temperature of the reaction products  $T_r$  made it possible to give a systematic explanation of the phenomena observed during the burning of some heterogeneous exothermal systems, including phenomena that did not lend themselves to interpretation by theories relating the velocity of propagation of burning only with chemical reaction kinetics. Calculations carried out with the aid of the formulas obtained showed satisfactory agreement with experimental data. All this gives grounds to expect that the proposed model for the burning mechanism corresponds partially at any rate to the actual physical processes taking place in the systems.

At the same time the hypothesis contains a number of assumptions that do not possess sufficient physical backing. That means that it requires further development and certain precaution in applying the results obtained.

Probably the most correct approach to further development of the hypothesis, indicated by O. M. Todes, would be in accounting for the reaction kinetics and rate of heat transfer in the condensed phase. From such a generalized concept would follow, as particular cases, as it were, the Zeldovich hypothesis and the hypothesis proposed here.

## КИНЕТИКА РЕАКЦИИ ОБМЕНА ХЛОРА В ИЗОМЕРНЫХ $\beta$ -ХЛОРКРОТОНОВЫХ КИСЛОТАХ

### IV. РЕАКЦИЯ ОБМЕНА ХЛОРА С БЕНЗИЛАТОМ НАТРИЯ В ЭФИРАХ ЦИС- $\beta$ -ХЛОРКРОТОНОВОЙ КИСЛОТЫ

*Т. А. Кудрявцева и Н. М. Чирков*

Изучение кинетики реакции замещения хлора, находящегося при углероде с двойной связью, дает нам возможность выяснить причины большей или меньшей подвижности такого хлора в зависимости от строения молекулы в целом.

В предыдущих наших работах [1—3] изучена скорость реакции замещения хлора в солях изомерных  $\beta$ -хлоркродоновых кислот, и показано, что энергия активации этих реакций остается постоянной и равной для каждой пары изомеров. Из этого следует, что разные константы скорости реакций замещения хлора в изомерах обусловлены не энергетическими факторами, а только величинами предэкспоненциального множителя, т. е. энтропией активации.

В настоящей работе, в целях изучения влияния строения молекул на скорость реакции замещения, проводилось исследование кинетики этой реакции не в солях, а в эфирах  $\beta$ -хлоркродоновой кислоты. Предполагалось выяснить влияние различных алкильных радикалов в эфирах на скорость реакции замещения хлора.

Был синтезирован ряд эфиров цис- $\beta$ -хлоркродоновой кислоты, и изучались скорости реакций замещения хлора в этих эфирах при взаимодействии их с бензилатом натрия.

Чтобы избежать возможной переэтерификации эфиров, реакции проводились в среде соответствующих абсолютных спиртов. Предполагалось, что влияние растворителя не настолько велико, чтобы изменить порядок реакционной способности для различных групп.

### Экспериментальная часть

Эфиры цис- $\beta$ -хлоркродоновой кислоты синтезировались путем длительного пропускания тока сухого газообразного хлористого водорода в раствор этой кислоты в соответствующем абсолютном спирте. Таким образом были получены метиловый, этило-

Таблица 1

Константы эфиров цис- $\beta$ -хлоркродоновой кислоты

Название эфира	Найдено		Литературные данные [4, 5]	
	Т. кип.	$n_D^{20}$	Т. кип.	$n_D^{20}$
Метиловый	46—47/7*	1,456	42—43/13	1,457
Этиловый	55/13	1,453	50/10	1,455
n-Пропиловый	70/14	1,449	175—117	
Изопропиловый	99/25	1,455		
n-Бутиловый	108/40	1,452		
Изобутиловый	82—83/18	1,447	187	

\* Чертой отделено давление, при котором (в мм рт. ст.) получена указанная температура кипения.

вый, *n*-пропиловый, *n*-бутиловый и изобутиловый эфиры. Изопропиловый эфир был получен кипячением раствора цис- $\beta$ -хлоркротоновой кислоты в изопропиловом спирте с небольшим количеством концентрированной серной кислоты. Константы полученных эфиров приведены в табл. 1.

Были приготовлены точно 0,2 *N* растворы эфиров в соответствующих спиртах. Концентрация растворов проверялась путем проведения контрольных опытов с избытком бензилата натрия при 50° таким образом, чтобы получить 100% замещения хлора.

Раствор бензилата натрия в бензиловом спирте был концентрирован, чтобы избежать разбавления реакционной смеси бензиловым спиртом.

Растворы брались в таких количествах, чтобы соотношение реагентов было моля на моль, а общая концентрация 0,025 *N* (при больших концентрациях константа скорости получается ниже, так как, по-видимому, в этом случае не достигается полная диссоциация бензилата натрия на ионы).

Опыты проводились в ультратермостате, сохраняющем температуру с точностью  $\pm 0,1^\circ$ . В случае, если нужна была температура ниже 0°, к термостату, заполненный метиловым спиртом, присоединялась холодильная камера с твердой углекислотой.

Изученные реакции необратимы и бимолекулярны. Кинетические кривые сняты для температур от  $-15$  до  $25^\circ$ . Часть из них приведена на рис. 1.

Константы скорости вычислялись по уравнению для необратимой бимолекулярной реакции

$$\frac{dx}{dt} = K(A_0 - x)(B_0 - x).$$

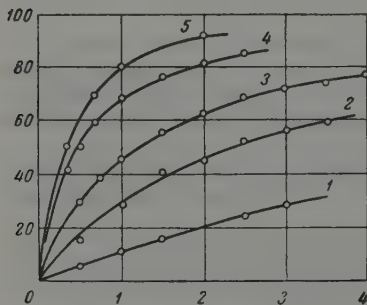


Рис. 1

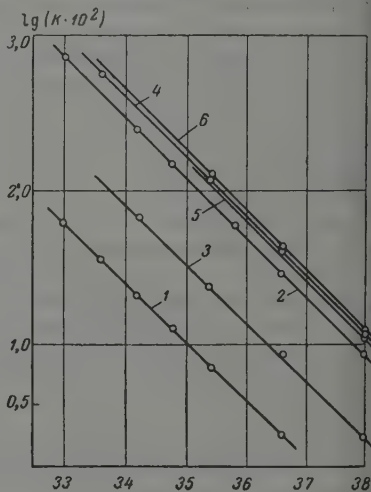


Рис. 2

Рис. 1. Кинетические кривые реакции замещения атома хлора в этиловом эфире цис- $\beta$ -хлоркротоновой кислоты при его взаимодействии с бензилатом натрия в среде абсолютного этилового спирта при различных температурах.

Рис. 2. Зависимость логарифмов констант скорости реакций различных эфиров цис-хлоркротоновой кислоты с бензилатом натрия от обратной температуры.

Но в нашем случае  $A_0 = B_0$  и  $dx/dt = K(A_0 - x)^2$ , откуда

$$K = \frac{1}{t} \frac{1}{A_0} \frac{\alpha}{1 - \alpha},$$

где  $\alpha = x/A_0$ ,  $A_0$  — начальная концентрация.

Зависимость полученных констант скоростей реакций замещения хлора в различных эфирах цис- $\beta$ -хлоркротоновой кислоты на группу  $C_6H_5-CH_2$  от температуры, а также величины энергий активации, вычисленные из этих констант, приведены в табл. 2 и на рис. 2.

По трудности протекания реакций замещения атома хлора эфиры, полученные в соответствующих спиртах, располагаются в следующем порядке: наиболее медленно реакция идет с метиловым, быстрее с этиловым, затем с *n*-пропиловым и *n*-бутиловым эфирами. С увеличением длины



Таблица 2

Зависимость констант ( $k \cdot 10^{-2}$ ) скорости реакций замещения атома хлора в эфирах цис-β-хлоркротоновой кислоты от температуры

t, °C	Эфиры цис-β-хлоркротоновой кислоты					
	метиловый	этиловый	n-пропиловый	изопропиловый	n-бутиловый	изобутиловый
25	360		570			
20	21,4	240		65,8		
15	12,5	141				
10	7,3		130	23,9	123	115
7		54,2				
0	2,5	27,0	43,8	8,4	42,3	35,3
-10		8,4	12,3	2,38	12,15	11,1
$E_{cp}$	17,7	17,6	17,8	17,4	17,6	17,6
$K$	$3,55 \cdot 10^{10}$	$3,2 \cdot 10^{11}$	$4,0 \cdot 10^{11}$	$8,8 \cdot 10^{10}$	$6,65 \cdot 10^{11}$	$6,25 \cdot 10^{11}$

ильного радикала разница в скоростях уменьшается, и между двумя последними она уже почти не заметна.

Изопропиловый эфир в изопропиловом спирте реагирует значительно медленнее, чем n-пропиловый, а изобутиловый только немного медленнее, чем n-бутиловый.

Известно, что диэлектрические постоянные спиртов располагаются в порядке, обратном реакционной способности соответствующих эфиров.

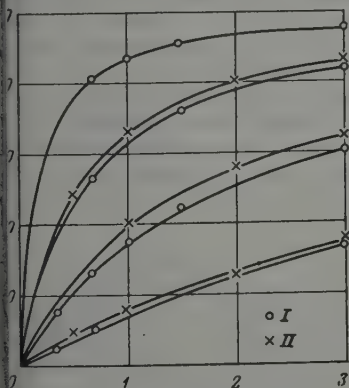


Рис. 3

Рис. 3. Кинетические кривые реакции замещения атома хлора: I — в метиловом и II — в n-бутиловом эфире цис-β-хлоркротоновой кислоты при взаимодействии с бензилатом натрия в среде метилового спирта

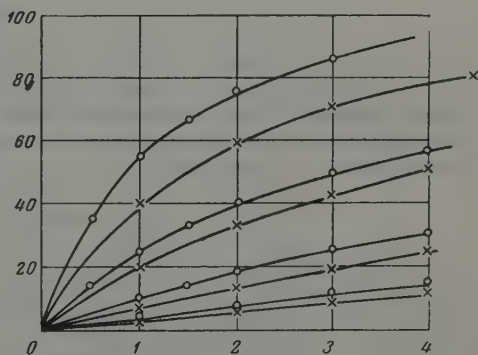


Рис. 4

Рис. 4. То же в среде n-бутилового спирта

Ввиду явного соответствия между диэлектрической постоянной среды и скоростью реакции замещения хлора, а также равенства энергий активации для всех эфиров, встал вопрос о том, не является ли только среда фактором, определяющим скорость реакции, и сказывается ли вообще влияние алкильных групп на скорости замещения хлора, поскольку они слишком удалены от реакционного центра.

Для проверки этого предположения был поставлен ряд опытов по определению скорости реакции замещения хлора на бензилат в бутиловом эфире  $\beta$ -хлоркротоновой кислоты, растворенном в метиловом спирте. Эти опыты показали, что скорости реакции метилового и бутилового эфиров в метиловом спирте почти совпадают.

Было показано также, что совпадают скорости реакций замещения хлора у этих двух эфиров, растворенных в бутиловом спирте (см. табл. рис. 3).

Таким образом, было установлено, что в случае эфиров  $\beta$ -хлоркротоновых кислот скорость реакции замещения в них хлора определяется почти исключительно влиянием среды.

Соответствие между реакционной способностью соединения и диэлектрической постоянной среды может служить косвенным свидетельством

того, что в данном случае мы имеем дело с истинным замещением, а не с последовательным присоединением и отщеплением по двойной связи, как иногда представляется механизм подобных реакций, так как обычно уменьшение скорости реакции с увеличением диэлектрической постоянной среды наблюдается при взаимодействии иона с нейтральной молекулой.

Интересно отметить, что найденные здесь энергии активации для эфиров (17,6 ккал/моль) меньше, чем энергии активации, найденные нами ранее для аналогичных реакций замещения хлора в солях  $\beta$ -хлоркротоновых кислот (23 ккал/моль).

В эфирах реакция протекает между ионом и нейтральной молекулой в солях — между двумя отрицательными ионами. Таким образом из этих данных можно сделать интересный вывод о том, что на преодоление отталкивания между двумя отрицательными ионами в данном случае требуется около 5,5 ккал/моль.

### Выводы

1. Исследована кинетика реакции обмена хлора на бензилат ион в реакции различных эфиров  $\beta$ -хлоркротоновой кислоты с бензилатом натрия в средах различных спиртов. Кинетика изучалась в пределах температур от  $-15$  до  $25^\circ$ . Показано, что это необратимые, простые бимолекулярные реакции. Энергии активации для всех эфиров одинаковы и равны  $17,6 \pm 0,2$  ккал/моль.

2. Эфиры реагируют с разной скоростью в разных средах. Медленнее всего реакция идет в метиловом спирте, затем в этиловом, *n*-пропиловом и *n*-бутиловом. Изопропиловый спирт занимает положение между метиловым и этиловым спиртами.

3. Установлено, что предэкспоненты констант скоростей, найденные в различных средах, уменьшаются с ростом диэлектрической постоянной среды.

Таблица 3

Зависимость констант ( $k \cdot 10^2$ ) скоростей реакций замещения хлора в метиловом и бутиловом эфирах  $\beta$ -хлоркротоновой кислоты от температуры в метиловом и *n*-бутиловом спиртах

Растворитель	$t, ^\circ\text{C}$	Метиловый эфир	<i>n</i> -Бутиловый эфир
<i>n</i> -Бутиловый спирт	20	427	
	10	112	123
	0	35,2	42,3
	$-10$	11,0	12,1
Метиловый спирт	20	214	136
	10	73	42
	0	29	18,3
	$-10$		5,5

## ЛИТЕРАТУРА

1. Т. А. Кудрявцева и Н. М. Чирков, Ж. физ. химии, 32, 2236, 1958.
2. Т. А. Кудрявцева и Н. М. Чирков, Ж. физ. химии, 33, 255, 1959.
3. Т. А. Кудрявцева и Н. М. Чирков, Ж. физ. химии, 34, 374, 1960.
4. K. V. Auwers, Ber., 45, 2807, 1912.
5. E n k e, Ann, 256, 204

KINETICS OF CHLORINE EXCHANGE IN ISOMERIC  $\beta$ -CHLOROCROTONIC ACIDSIV. EXCHANGE OF CHLORINE IN THE ESTERS OF CIS- $\beta$ -CHLOROCROTONIC ACID  
WITH SODIUM BENZYLATE

*T. A. Kudryavtseva, N. M. Chirkov (Moscow)*

## S u m m a r y

A study has been made of the exchange of chlorine for the benzylate ion on reaction of esters of cis- $\beta$ -chlorocrotonic acid with sodium benzylate in various alcohol media. The kinetics were investigated over the temperature range — 15—25° C. It has been shown that these are simple, irreversible bimolecular reactions. The activation energies are the same for all the esters and equal to  $17.6 \pm 0.2$  kcal/mole.

The esters have been shown to react at different rates in different media. The reaction is the slowest in methyl alcohol, followed by ethyl, *n*-propyl and *n*-butyl alcohols. Isopropyl alcohol assumes a position between methyl and ethyl alcohols.

The frequency factor of the rate constants has been shown to diminish with increasing value of the dielectric constant of the medium.

# ТЕРМОДИНАМИЧЕСКИЕ ИССЛЕДОВАНИЯ ПРИ НИЗКИХ ТЕМПЕРАТУРАХ

IX. ТЕПЛОЕМКОСТЬ БРОМИДА КАДМИЯ МЕЖДУ 1,5 И 300° К,  
ЭНТАЛЬПИЯ И ЭНТРОПИЯ  $\text{CdBr}_2$  ПРИ 298, 15° К

*Е. С. Ицкевич и П. Г. Стрелков*

Безводные  $\text{CdCl}_2$ ,  $\text{CdBr}_2$  и  $\text{CdI}_2$  образуют изоморфные слоистые кристаллы, поэтому сравнение термодинамических характеристик членов этого ряда представляет особый интерес. Энтропия и энтальпия  $\text{CdCl}_2$  и  $\text{CdI}_2$  при стандартной температуре уже были определены на основании измерений, доведенных в сторону низких температур до 1,6° К [1, 2]. Теплоемкость  $\text{CdBr}_2$  тоже была измерена от 1,5 до 83° К [1]. Предметом настоящей работы является измерение теплоемкости  $\text{CdBr}_2$  от 80 до ~300° К и вычисление энтропии и энтальпии при стандартной температуре.

## Экспериментальная часть

Для измерений мы использовали тот же препарат  $\text{CdBr}_2$ , тот же платиновый термометр и ту же аппаратуру, которыми мы пользовались при исследованиях ниже 83° К [1, 3].

Величина теплоемкости пустого калориметра составляла от ~37% измеряемой величины при 80° К до ~43% при 300° К.

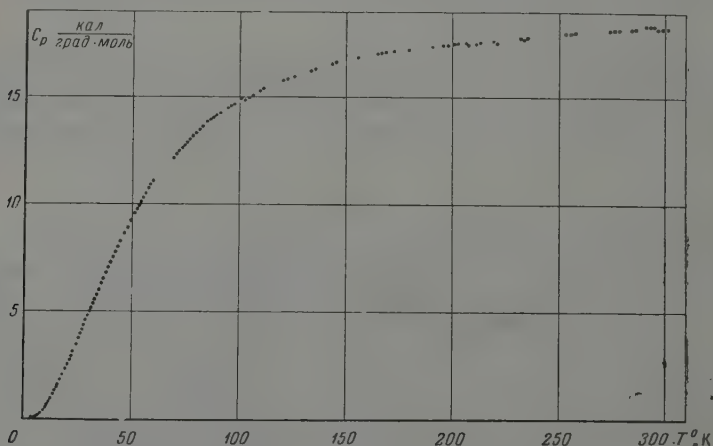


Рис. 1. Теплоемкость  $\text{CdBr}_2$  от 0 до 300° К

Мы сделали 58 измерений между 79,99 и 301,39° К. Два значения при 81,4 и 82,9° К — из числа измеренных ранее [1] подтвердили хорошую сходимость данных на концах интервалов измерений. Исходя из гладкости кривой теплоемкости  $\text{CdBr}_2$  и из отсутствия особенностей  $C_p$  у  $\text{CdCl}_2$  и  $\text{CdI}_2$ , мы не держались системы непрерывного измерения, как можно видеть на рис. 1.



Всего от 1,53 до 301,39° K было проделано 272 измерения теплоемкости. табл. 1 мы приводим лишь графически сглаженные значения  $C_p(T)$  \*. По нашей оценке эти сглаженные значения могут содержать ошибку меньше 1%.

Таблица 1

Молярная теплоемкость  $\text{CdBr}_2$   
(выравненные данные)

$T, ^\circ\text{K}$	$C_p, \frac{\text{кал}}{\text{град} \cdot \text{моль}}$	$T, ^\circ\text{K}$	$C_p, \frac{\text{кал}}{\text{град} \cdot \text{моль}}$	$T, ^\circ\text{K}$	$C_p, \frac{\text{кал}}{\text{град} \cdot \text{моль}}$
2	0,0038	48	8,91	180	17,23
3	0,0128	50	9,30	185	17,30
4	0,0312	55	10,19	190	17,35
5	0,064	60	10,98	195	17,40
6	0,118	65	11,67	200	17,45
7	0,198	70	12,28	205	17,50
8	0,298	75	12,84	210	17,56
9	0,422	80	13,33	215	17,60
10	0,566	85	13,77	220	17,65
12	0,90	90	14,15	225	17,70
14	1,27	95	14,49	230	17,75
16	1,67	100	14,79	235	17,79
18	2,10	105	15,07	240	17,84
20	2,54	110	15,32	245	17,88
22	2,99	115	15,54	250	17,92
24	3,46	120	15,75	255	17,97
26	3,94	125	15,95	260	18,01
28	4,42	130	16,13	265	18,05
30	4,90	135	16,30	270	18,10
32	5,38	140	16,45	275	18,14
34	5,85	145	16,59	280	18,18
36	6,34	150	16,72	285	18,23
38	6,81	155	16,84	290	18,26
40	7,25	160	16,94	295	18,30
42	7,68	165	17,03	298,15	18,32
44	8,09	170	17,11	300	18,33
46	8,51	175	17,17		

Нам не известны какие-либо другие данные о теплоемкости бромида кадмия в этом интервале температур.

Для вычисления энтропии и энтальпии  $\text{CdBr}_2$  при стандартной температуре мы исходили выше 1,5° K из сглаженной зависимости  $C_p(T)$ . Ниже 1,5° K кривая была экстраполирована по закону  $T^3$  [1]. Значения  $S_{298,15}^\circ - H_0$  были получены каждое из двух независимых численных интегрирований  $C_p(T)/T$  и  $C_p(T)$ :

$$S_{298,15}^\circ = 33,18 \pm 0,08 \text{ кал/град} \cdot \text{моль};$$

$$H_{298,15}^\circ - H_0 = 4235,3 \pm 12,7 \text{ кал/моль}.$$

Полученное значение  $S_{298,15}^\circ$  бромистого кадмия, вместе с ранее вычисленными значениями энтропии  $\text{CdCl}_2$  и  $\text{CdJ}_2$  позволяет сделать сопоставление экспериментальных величин с вычисленными при помощи эмпирических методов расчета.

Как уже было упомянуто, безводные  $\text{CdCl}_2$ ,  $\text{CdBr}_2$  и  $\text{CdJ}_2$  представляют собой изоморфные слоистые кристаллы. Слои в них одинаковы и образованы из двух сеток плотно упакованных атомов галоида и сетки атомов кадмия, расположенных в октаэдрических пустотах между ними. Эти слои связаны силами Ван-дер-Ваальса, связь в слоях в основном ионная. Взаимное расположение слоев несколько отличается в разных

\* Полная таблица экспериментальных значений может быть предоставлена обобщенным в Институт физико-технических и радиотехнических измерений.

солях, но это не может существенно сказываться, так как энергия слоистой решетки  $\text{CdX}_2$  определяется главным образом энергией связей внутри слоев и лишь в малой степени зависит от взаимодействия слоев. Э. Г. Пискер [4] оценивает энергию взаимодействия между слоями в 1% от общей энергии решетки.

Теплоемкость  $\text{CdCl}_2$ ,  $\text{CdBr}_2$  и  $\text{CdJ}_2$  не имеет магнитной или электронной составляющей и целиком определяется решеткой. Такой ряд предос-

$C_p, \text{ кал/град}^\circ\text{моль}$

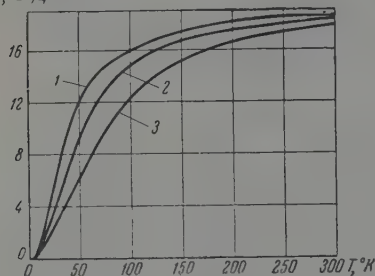


Рис. 2. Теплоемкость слоистых галоидных солей кадмия от 0 до 300° К (сплошные кривые проведены по экспериментальным точкам): 1 —  $\text{CdJ}_2$ ; 2 —  $\text{CdBr}_2$ ; 3 —  $\text{CdCl}_2$

$S_k^i$  — энтропия элемента в состоянии идеального одноатомного газа при тех же  $T$ ;  $v_k$  — стехиометрический коэффициент. Проанализировав данные для 260 соединений, В. А. Киреев нашел, что  $\Delta S_f^a$  зависит главным образом от числа атомов в молекуле и от структуры молекул, но мало изменяется внутри группы соединений, обладающих одинаковым числом атомов в молекуле и одинаковой структурой. Им было указано на влияние энергии связи, увеличение которой в ряду соединений с одинаковой структурой приводит к увеличению абсолютной величины  $\Delta S_f^a$  и к уменьшению  $S_D$ . На основании анализа В. А. Киреев предложил метод вычисления энтропии по величине  $\Delta S_f^a$ , вычисленной для ряда однотипных соединений по данным известным для нескольких его членов, и по величинам  $S_k^i$ . Рассчитанные для 16 соединений значения  $S_D$  [5] позволили оценить величину ошибки, которая оказалась лежащей в пределах 0,3–1,5 э. ед. (1–12% определяемой величины).

Применив метод Киреева к частному случаю вычисления энтропии слоистых решеток  $\text{CdCl}_2$ ,  $\text{CdBr}_2$  и  $\text{CdJ}_2$ , мы получили результаты, приведенные в табл. 2 (в кал/град·моль).

Таблица 2

Соединение	$S_{298,15}^\circ$ , экпер.	$\Delta S_f^a$	$S_{298,15}^\circ$ , расч.	$\delta S$	$\frac{\delta S}{S} \cdot 100$
$\text{CdJ}_2$	37,67	—88,77	36,20	1,47	3,9%
$\text{CdBr}_2$	33,48	—90,50	33,45	0,27	0,8%
$\text{CdCl}_2$	27,55	—91,43	28,75	1,20	4,4%
$\Delta S_f^a$ средн. = —90,23					

Из табл. 2 видно, что при вычислении энтропии на основании значений  $\Delta S_f^a$ , среднего для всего ряда соединений, мы получаем ошибку до

Таким образом, значения энтропии членов исследованного ряда, полученные по правилу Киреева, показали неуверенность, лежащую в пределах, указанных автором. Эта неуверенность превышает экспериментальную больше, чем на порядок.

ляет удачную возможность проверки эмпирических методов оценки значений энтропии его членов; к сожалению, ряд недостаточно длинный. Мы сравнили наши экспериментальные данные с оценками по В. А. Кирееву [5] и М. Х. Карапетьянцу [6].

В. А. Киреев [7] ввел величину  $\Delta S_f^a$  энтропию образования неорганических соединений из элементов, взятых в гипотетическом состоянии идеального одноатомного газа, определяемую при помощи соотношения:

$$\Delta S_f^a = S_D - \sum_k v_k S_k^i,$$

где  $S_D$  — энтропия соединения в нормальном состоянии при стандартных  $p$  и  $T$ .

Мы не смогли применить к ряду галоидных солей  $\text{Cd}$  другой способ приближенного вычисления значений энтропии, предложенный В. А. Киреевым [7], так как не нашли достаточно надежных экспериментальных данных, относящихся к трехатомным соединениям.

М. Х. Карапетьянц [6] предложил для расчета энтропии одноатомных соединений формулу:

$$S_{298,15}^{\circ} = a + bC_p(298,15),$$

где коэффициенты  $a$  и  $b$  определяются из экспериментальных данных для двух веществ, и на основании анализа 50 примеров заключил, что ошибка энтропии, вычисленной по его методу, не превышает 0,4 э. ед.

Найдя коэффициенты  $a$  и  $b$  в формуле Карапетьянца по данным для  $\text{CdJ}_2$  и  $\text{CdCl}_2$ , мы получили для  $\text{CdBr}_2$ :

$$S_{298,15}^{\circ} = 14,67C_p(298,15) - 234,17 = 34,58,$$

что отличается от экспериментального значения на 1,4 э. ед. (4,2%).

### Выводы

1. Измерена теплоемкость безводного бромида кадмия в области температур от 80,0 до 301,4° K в дополнение к прежним измерениям между 5 и 80° K.

2. Получены значения энтропии и энтальпии бромида кадмия при стандартной температуре:

$$S_{298,15}^{\circ} = 33,18 \pm 0,08 \text{ кал/град} \cdot \text{моль};$$

$$H_{298,15}^{\circ} - H_0 = 4235,3 \pm 12,7 \text{ кал/моль}.$$

3. Применение к  $\text{CdCl}_2$ ,  $\text{CdBr}_2$  и  $\text{CdJ}_2$  эмпирического правила расчета энтропии по В. А. Кирееву [5] дает результаты, отличающиеся от экспериментальных в пределах, ожидаемых автором.

Расчет значения энтропии по М. Х. Карапетьянцу [6] дал погрешность такого же порядка (1,4 э. ед.), несколько большую, чем ожидал тор.

Институт физико-технических  
и радиотехнических измерений

Поступила  
18.VII.1958

### ЛИТЕРАТУРА

- Е. С. Ицкевич, П. Г. Стрелков, Ж. эксперим. и теор. физ., 32, 467, 1957.
- Е. С. Ицкевич, П. Г. Стрелков, Ж. физ. химии, 33, 1575, 1959.
- Е. С. Ицкевич, П. Г. Стрелков, Докл. АН СССР, 106, 805, 1956.
- З. Г. Пинскер, Изв. АН СССР, Сер. хим., № 5, 359, 1943; № 6, 415, 1943.
- В. А. Киреев, Сборник работ по физ. химии, Изд-во АН СССР, 1947, стр. 181.
- М. Х. Карапетьянц, Ж. физ. химии, 27, 775, 1953.
- В. А. Киреев, Ж. общ. химии, 16, 1199, 1946.

### THERMODYNAMIC STUDIES AT LOW TEMPERATURES

IX. HEAT CAPACITY OF CADMIUM BROMIDE BETWEEN 1.5 and 300° K.

ENTHALPY AND ENTROPY OF  $\text{CdBr}_2$  AT 298.15° K

E. S. Itskevich and P. G. Strelkov (Moscow)

### Summary

The heat capacity of  $\text{CdBr}_2$  between 80.0 and 301.4° K has been measured with objective of obtaining data on the entropy and enthalpy of this compound at standard temperature. Measurements between 1.5 and 80.0° K have been described by the authors earlier. The following values have been obtained for the entropy and enthalpy:  $S_{298,15}^{\circ} = 33.18 \pm 0.08 \text{ cal. deg}^{-1} \text{ mole}^{-1}$  and  $H_{298,15}^{\circ} - H_0 = 4235.3 \pm 12.7 \text{ cal. mole}^{-1}$ . The data on the entropy of  $\text{CdBr}_2$  together with those determined earlier for  $\text{CdCl}_2$  and  $\text{CdJ}_2$  have been applied in the testing of some empirical methods of calculating the entropy of inorganic compounds.

## КВАРЦЕВЫЕ ВЫСОКОВАКУУМНЫЕ ПЕЧИ С ВРАЩАЮЩЕЙСЯ ДИАФРАГМОЙ ДЛЯ ОПРЕДЕЛЕНИЯ ПОВЕРХНОСТНОГО НАТЯЖЕНИЯ ПРИ ВЫСОКИХ ТЕМПЕРАТУРАХ И ДРУГИХ ИССЛЕДОВАНИЙ

*В. И. Смирнова и Б. Ф. Ормонт*

В работах [1, 2] нами описан метод исследования поверхностного натяжения твердых тел в точке плавления, в том числе и при высоких температурах, и аппаратура для измерения поверхностного натяжения до 60–700°. Нагревательная аппаратура, которая применялась нами при измерении поверхностного натяжения до 2000°, за недостатком места была описана в [2] лишь схематически.

Ниже мы остановимся на этой части работы, выделенной в отдельную статью, потому что примененные нами приборы представляют, как нам кажется, самостоятельный интерес и для целого ряда других физико-химических исследований при высоких температурах (определение энергии атомизации твердых тел, синтез в атомном или молекулярном пучке и др.). В этом направлении имеется обширная литература (см., например, [3]). Методики определения поверхностного натяжения при высоких температурах описаны [4]. Однако все они далеко не претендуют на точность.

В [2] была показана возможность устранить ряд расчетных неточностей обычных методик. Однако необходимо обеспечить не только специфические для данных методик экспериментальные условия, но и правильное измерение температур.

По мере подъема температуры, т. е. достижения условий, при которых возникает интенсивное испарение материала из горячей зоны, запятого кварцевую стенку, трудности измерения температур оптическим пирометром в подобных печах сильно возрастают. Поэтому, например, в некоторых из разработанных в нашей лаборатории конструкций, для уменьшения напыления, кварцевое окошко внаивается на значительном расстоянии от нагретых деталей [5, 6].

С этой целью нами были сконструированы высоковакуумные печи другого типа: с вращающейся диафрагмой, с использованием как омического, так и индукционного нагрева, которые будут ниже описаны.

Печь с индукционным нагревом для определения поверхностного натяжения твердых тел до 2000° в условиях малых упругостей пара из расплавленных веществ. Эта печь (рис. 1) состояла из двух кварцевых деталей, вставленных одна в другую: а) собственно печи, заканчивающейся сверху вакуумным шлифом, в который вставлялась припаянная полая пробка с крючком 1; б) вращающейся диафрагмы 2 со щелью 3.

Собственно печь состояла из кварцевой рубашки 4, в которую внаивались трубки для впуска и выпуска охлаждающей воды. Из внутренней камеры печи было сделано два вывода: один боковой для подключения к вакууму, второй снизу — коаксиальный с припаянной к нему вакуумной пробкой 5, снабженной ручкой для ее поворота. На пробку наживалась кварцевая диафрагма 2 со щелью 3, необходимая при измерении температуры оптическим пирометром. Печь помещалась в индуктор В



Образец металла 6 подвешивался на нити внутри прибора в зоне индуктора ВЧП 7. Чтобы создать необходимый перепад температуры на концах образца, ему придавалась определенная форма: верхняя частьержня была меньшего диаметра, чем нижняя, из которой происходило течение капли, а следовательно, она имела более низкую температуру. Температура капли измерялась оптическим микропирометром. При проведении опыта щель диафрагмы устанавливалась таким образом, чтобы ось оптического микропирометра не была перпендикулярной прорезу диафрагмы (отверстие диафрагмы направлено в сторону от оси микропирометра). При необходимости измерения температуры диафрагма вращалась до тех пор, пока щель диафрагмы не становилась перпендикулярно оси пирометра. Затем в течение нескольких секунд проводились отсчеты, после чего щель диафрагмы вновь отводилась в сторону.

За короткое время измерения температур пылением на стенку печи против оси пирометра можно было пренебречь. Целесообразно впаять в стенку кварцевое стекло с плоскопараллельными стенками, во избежание снижения точности измерения температур.

В ряде случаев нами вместо диафрагмы был применен вертикальный лепесток, который также посажен на пробку 5 и может перемещаться. Во время опыта лепесток закрывает часть печи против пирометра, а во время измерения температуры отводится в сторону. В этой аппаратуре нами было проведено, в частности, определение поверхностного напряжения Ni и Fe (см. [2]) в атмосфере Ar  $\approx 0,2$  атм.

Печи того же типа могут быть использованы для решения других физико-химических задач (см. следующие разделы).

Печь с индукционным нагревом и пружинными весами для определения скорости реакции о потере веса, в частности, для определения энергии атомизации. Эта печь (рис. 2) отличалась от печи, изображенной на рис. 1, тем, что в нее вместо пришлифованной пробки ставилась пришлифованная кварцевая труба 11 длиной 300—400 мм. Вспирали пружинных весов Мак-Бена. Спираль 1 подвешивалась при помощи, например, танталовой проволоки или кварцевого крючка к крючку, впаянному в пробку с вакуумным шлифом. В среднюю часть кварцевой трубы 3 впаивался кварцевый холодильник 2, имеющий сквозное отверстие в центре для пропускания танталовой, вольфрамовой или кварцевой нити. На нити подвешивался в поле индуктора исследуемый образец, который мог быть использован для получения атомного пучка и в этом случае должен иметь соответствующую форму.

Вместо него может быть также подвешена «пушка» из тугоплавкого материала с небольшим отношением отверстия к длине канала, приближающаяся к абсолютно черному телу и содержащая навеску исследуемого или реагирующего в пучке материала. Собственно печь имела ту же конструкцию, как описано выше (рис. 1), но существенно отличалась тем, что труба-насадка входила в пространство нагревателя и имела щель на уровне нагреваемого тела.

При проведении опыта щель устанавливалась перпендикулярно оси

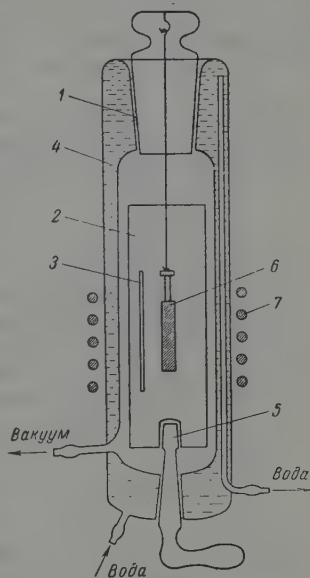


Рис. 1

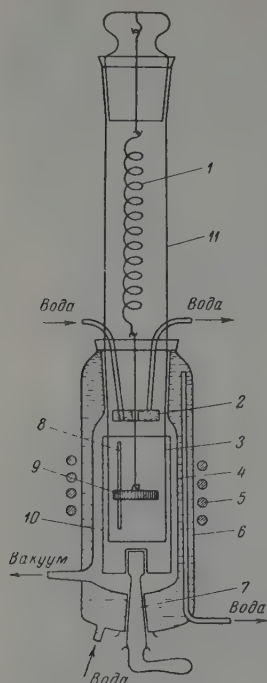


Рис. 2

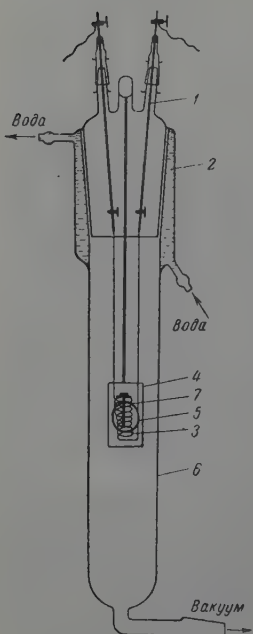


Рис. 3

пирометра. Атомный пучок, проходящий через щель, конденсировался на стенке вращающейся диафрагмы. При проведении измерений температур диафрагма поворачивалась настолько, чтобы против щели оказывалось совершенно незапыленное место. Такое устройство позволяло осуществить 20 и более измерений температур с неподвижно установленным микропирометром и через совершенно чистую стенку диафрагмы. Потеря веса определялась при помощи катетометра по калибровочной кривой.

Если при проведении опыта надобность в насосах Мак-Бена отсутствует, трубка-насадка может быть заменена пробкой с трубкой-отростком, входящим внутрь нагревателя.

В некоторых случаях мы впаивали в печь для измерения температур трубку, в торцевое отверстие которой было впаено кварцевое стекло с плоскопараллельными стенками. Выходы индуктора при этом слегка раздвигались вместе впаивая трубки.

В этой аппаратуре, в частности, нами была проведена проверка зависимости упругости пара тантала от температуры по методу Лэнгмюра ввиду расхождений литературных данных Лэнгмюра и Молтера [7] (183 ккал/г-атом), Фиске [8] (147 ккал/г-атом) и обзорных книги Зейца [9] (>97 ккал/г-атом). Нами было получено 184 ккал/г-атом, что оказалось очень хорошим совпадением с данными вышешей в то время работы [10] (185,5 ккал/г-атом).

Печь с омическим нагревом в частности, для получения неплавленых слоев полупроводников. Один из вариантов прибора, предназначенного для омического нагрева, показан на рис. 3. Этот вариант предусматривает охлаждение только вакуумного шлифа (печь — без водяной рубашки), что удешевляет и облегчает ее изготовление. Печь состоит из кварцевой трубы 6 с припаянной к ней рубашкой-холодильником 2 для шлифа. Сбоку в печь впаивается кварцевый отросток с плоскопараллельной кварцевой пластинкой 5 для измерения температур. Снизу впаивался отросток для присоединения к вакууму, сверху вставлялась кварцевая пробка.

В кварцевую пробку были впаены два отростка со шлифами, на которые насаживались контакты из молибденового стекла со впаянными в них молибденовыми электродами 1. В пробку впаивались также кварцевая палочка с припаянной к ней кварцевой ширмой, имеющей вертикальную щель 4.

В течение опыта щель отводилась поворотом диафрагмы в сторону и лишь во время измерения температур устанавливалась против плоскопараллельного окошка.

Во всех этих приборах возникающий в условиях высокого вакуума пыльный или молекулярный пучок, проходя через щель, проектирует пятно сублимированного материала на стенки прибора. Поэтому печи этого типа позволяют использование прореза в диафрагме для напыления тонкого слоя материала на пластинку, находящуюся около охлаждаемой стенки печи. В этих случаях на пластинке появляется мостик из напыленного материала переменной толщины, спадающей от центра к краям. Если необходим мостик постоянной толщины, то напыляемая пластинка может помещаться на внутренней поверхности диафрагмы, обращенной к источнику пучка, который в данном случае может иметь форму цилиндра или пластинки, длинная ось которых параллельна напыляемой пластинке изолятора, например кварца.

В процессе сублимации вполне возможно проведение, как обычно, химических реакций в газовой фазе, с напылением на пластинку слоя синтезируемого соединения, в том числе слоев полупроводниковых материалов (термисторы и др.)

### Выводы

В публикации описаны высоковакуумные печи с вращающейся диафрагмой, работающие с использованием как омического, так и индукционного нагрева. Печи этого типа позволяют избежать значительных ошибок при измерении температур оптическим пирометром (ибо применение вращающихся диафрагм предотвращает запыление окошка парами нагреваемых веществ) и могут иметь самое разнообразное применение в физической химии высоких температур.

Физико-химический  
институт им. Л. Я. Карпова

Поступила  
19.VIII.1958

### ЛИТЕРАТУРА

- В. И. Смирнова и Б. Ф. Ормонт, Докл. АН СССР, 82, 751, 1952.  
В. И. Смирнова и Б. Ф. Ормонт, Ж. физ. химии, 33, 771, 1959.  
С. А. Векшинский, Новый метод металлографического исследования сплавов; Гостехиздат, 1944.  
Л. Л. Кунин, Поверхностные явления в металлах, Металлургиздат, 1955.  
В. С. Куцев, Б. Ф. Ормонт, В. А. Эпельбаум, Заводск. лаборатория, № 2, 244, 1956. Докл. АН СССР, 104, 567, 1955.  
Е. И. Смагина, В. С. Куцев, Б. Ф. Ормонт, Заводск. лаборатория, вып. 2, 244, 1956.  
D. B. Langmuir, L. Molther, Phys. Rev., 55, 748, 1939.  
M. D. Fiske, Phys. Rev., 61, 513, 1942.  
F. Seitz, Modern theory of solids, 1940, стр. 3.  
J. W. Edwards, H. L. Johnston, P. E. Blackburn, J. Amer. Chem. Soc., 73, 172, 1951.

### HIGH VACUUM QUARTZ OVEN WITH ROTATING MEMBRANE FOR HIGH TEMPERATURE SURFACE TENSION AND OTHER INVESTIGATIONS

*V. I. Smirnova and B. F. Ormont (Moscow)*

#### Summary

In the communication a description has been given of a high vacuum oven with rotating membrane operating by either ohmic or inductive heating. Ovens of such type eliminate the considerable errors associated with temperature measurements by means of optical pyrometers (because the use of a rotating membrane prevents fogging of the window by vapors of the substance undergoing heating) and may find a most varied application in the physical chemistry of high temperatures.

## ОБ УНИПОЛЯРНЫХ ЗАРЯДАХ АЭРОЗОЛЕЙ

В. Д. Решетов

В коллоидной химии хорошо изучены электрокинетические свойства гидрозолей; т. е. коллоидных систем, в которых дисперсионной средой является вода. В частности, установлено, что в гидрозолях имеет место электрофорез — перенос частиц заряженного гидрозоля соответственно к аноду или катоду (в зависимости от их заряда) без электролиза.

Установлено также, что заряд частиц гидрозоля тесным образом связан с рН среды, т. е. с концентрацией в ней ионов водорода. При незначительных изменениях рН меняется знак и величина зарядов частиц гидрозоля. Заряд частиц гидрозоля объясняется обычно избирательной адсорбцией ими анионов или катионов. Вследствие избирательной адсорбции ионов вокруг частиц гидрозоля образуется двойной электрический слой. Ближе к частице располагаются преимущественно более адсорбируемые ионы. Ионы другого знака (так называемые противоионы) располагаются преимущественно во внешнем слое.

Вследствие такого разделения ионов и противоионов частица приобретает определенный электрический заряд и потенциал по отношению к дисперсионной среде.

Представляет интерес установить, насколько электрокинетические явления, присущие гидрозолям, свойственны также и аэрозолям. С этой целью нами были поставлены опыты с некоторыми аэрозолями.

### Экспериментальная часть

Установка представляла собою металлическую камеру размером  $50 \times 50 \times 70$  см с двумя изолированными электродами из нержавеющей стали размером  $36 \times 14$  см, установленными на расстоянии 1,6 см друг от друга.

На электроды подавался постоянный потенциал 840 В. Средняя точка батареи, соединенная при помощи потенциометра, соединялась с корпусом камеры. При помощи пульверизатора, головка которого также соединялась с корпусом камеры, в последнем создавался туман, представляющий собою сложный аэрозоль. Давление воздуха, подводимого к пульверизатору, составляло около 3 атм. Размеры образующихся капель, измеренные при помощи фотомикроскопа, были в пределах от 1 до 100 мк. Одной из преобладающих размеров были капли радиусом около 5 мк.

Плотность тумана была весьма велика. Распылению подвергались растворы электролитов (NaCl, NaHCO<sub>3</sub>, KMnO<sub>4</sub>, KOH, H<sub>2</sub>SO<sub>4</sub>), гидрозоли (сернокислый глинозем, употребляющийся для коагуляции питьевой воды) и суспензии (глинозем, мел, каолиновая синька и пылевидная почва). Все вещества, исключая марганцевокислый калий, щелочи и кислоты, брались из расчета 1 вес. часть на 10 частей воды.

Проводились опыты также с распыленными веществами (пыль сернокислого глинозема, мел и цемент). Распыление осуществлялось вентилятором, установленным внутри камеры, причем распыляемое вещество предварительно насыпалось на дно камеры.

В задачу опытов входило установить факт электрофореза жидкого или твердого аэрозоля и таким образом установить знак заряда, образующегося на частицах, а также его зависимость от рН растворителя или от кислотной и щелочной реакции твердых распыленных частиц. Туман удерживался в камере обычно несколько часов, после чего пластины электродов отмывались дистиллированной водой, которая затем подвергалась выпариванию. По весовому остатку можно было судить, на каком из электродов происходит преимущественное оседание частиц тумана или пыли. Интенсивность оседания капель туманов из подкисленной или подщелоченной воды проверялась по промывке с электродов воды.

При опытах с пылью электроды слегка смазывались раствором глицерина в воде для того, чтобы касающиеся их пылинки не отскакивали под действием электростатических сил при касаниях о пластины.



Результаты взвешивания количества веществ, осевших на аноде и катоде в сложных аэрозолях — туманах, даны на рис. 1, а.

Если бы капли не имели заряда и электрофорез отсутствовал, отношение веса осевшего вещества на аноде  $m_a$  к весу осевшего вещества на катоде  $m_k$ :  $m_a/m_k$  было бы близко к единице. Мы видим, что кривая, соединяющая экспериментальные точки, пересекает значение ординаты, равное единице, при  $pH \sim 5$ . Для значений  $pH < 5$ , в том числе и для  $H$ , близких к 7, отложение идет в основном на катоде, и, значит, частицы туманасут на себе положительный заряд. При значениях  $pH > 5$  частицы несут на себе отрицательный заряд.

Таким образом, в сложном аэрозоле (тумане), так же как и в гидрозолях, электрофорез свидетельствует о генерации на частицах аэрозоля электрического заряда и потенциала (по отношению к воздуху), причем эти заряды и потенциалы висят от  $pH$  распыленной среды.

На рис. 1, б приведены результаты, полученные по электрофорезу пылевидных аэрозолей. В этом случае  $pH$  определялось по среднее значение  $pH$  воды, смытой с катода и анода (по  $2\text{ см}^3$ ). Можно видеть, что отношение  $m_a/m_k = 1$  соблюдается только в области  $pH \sim 5,2$ . При больших значениях  $pH$  пыль оседает в основном на катоде, при меньших — на аноде. Таким образом в пылевидном аэрозоле, также наблюдается электрофорез, свидетельствующий о том, что его частицы несут на себе заряд. Если частицы пылевидного аэрозоля имеют значительный кислотный остаток, они приобретают отрицательный заряд, если они имеют значительный щелочной остаток или даже дают реакцию, близкую к нейтральной, то на таких частицах преобладает положительный заряд.

Для сравнения были проведены опыты электрофореза с гидрозолями и суспензиями из сернокислого глинозема и мела. С этой целью в сосуд с гидрозолем или суспензией опускались два малых электрода из нержавеющей стали, и на них подавалось напряжение 4,5 В.

Результаты этих опытов представлены на рис. 1, б. Можно видеть, что для изобранных веществ при  $pH > 5$  преобладает осаждение на катоде, а в среде с  $pH < 5$  преобладает осаждение на аноде.

Сравнение всех трех кривых осаждения в капельном аэрозоле, пылевидном и гидрозоле показывает, что результаты всех опытов вполне аналогичны. Таким образом экспериментальные данные подтверждают наличие электрофореза в обследованных сложных капельных и пылевидных аэрозолях и дают для избранных веществ примерно такие же качественные результаты в отношении знака заряда частиц, как и в гидрозоле. Это

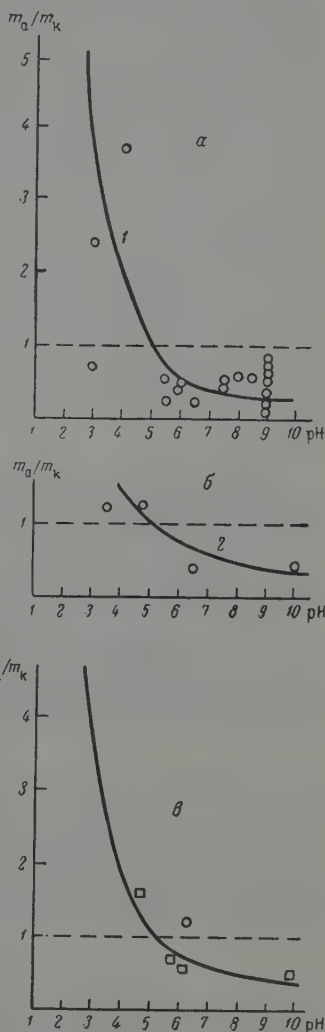


Рис. 1. Отношение весовых остатков осаждения аэрозоля на аноде  $m_a$  и катоде  $m_k$  при различных значениях  $pH$  (частицы: а — капельный аэрозоль; б — пылевидный, в — гидрозоль ( $pH$  среды))

указывает на некоторую возможность распространения данных о электр кинетических явлениях в гидрозолях также и на некоторые аэрозоли.

Механизм генерирования зарядов на частицах аэрозоля, по-видимому, подобен тому, который принят в применении к гидрозолям. Основное его является также избирательная адсорбция. Более адсорбируемые ионы концентрируются во внутреннем объеме капель ближе к их центру, а противоионы преобладают на поверхности.

Подобная схема, по-видимому, справедлива и для пылевидных аэрозолей, поскольку они в той или иной мере имеют адсорбированный слой влаги. В ходе установления сорбционного равновесия под действием теплового движения и диффузии отдельные молекулы водяного пара могут уходить с поверхности капелек или из адсорбированного слоя пылино унося с собою менее адсорбируемые ионы (противоионы), расположенные на границе с воздухом, вследствие чего частицы приобретают заряд определенного знака относительно воздуха.

Наши опыты показали, что знак заряда капель и частиц сильно зависит от значения рН. Большой кислотности соответствует преимущественная возможность потери в воздух ионов водорода, и частицы приобретают отрицательный заряд. При большой концентрации отрицательных ионов  $\text{OH}^-$  создаются условия для преимущественной потери отрицательных ионов, и частица аэрозоля приобретает положительный заряд по отношению к воздуху.

Для выяснения того, почему нейтральные аэрозоли наблюдаются не при нейтральной реакции частиц (рН=7), а при их кислотной среде с рН, близким к 5, т. е. при повышенной концентрации водородных ионов, рассмотрим в упрощенном виде момент установления сорбционного равновесия.

Допустим, что ионы водорода, лучше адсорбируются водою, проникая в межмолекулярные пространства, а более крупные ионы гидроксила выталкиваются тепловым движением в поверхностный слой и меньше адсорбируются во внутренних слоях капель.

Если  $[\text{H}^+]_0$  и  $[\text{H}^+]$  — соответственно концентрации водородных ионов на внутренней и внешней границе адсорбирующего слоя или внутри и на поверхности капли или же, в отношении частицы, на внутренней и внешней границах адсорбированного слоя влаги, то, исходя из принятого допущения об избирательной адсорбции ионов водорода, по закону Больцмана можем записать

$$[\text{H}^+] = [\text{H}^+]_0 e^{W/RT},$$

где  $W$  — адсорбционный потенциал.

Для того чтобы капля не отдавала ионы преимущественно одного знака и электрически не заряжалась, необходимо, чтобы концентрации положительных и отрицательных ионов на границе с воздухом были равны  $[\text{H}^+] = [\text{OH}^-] = 10^{-7}$ , т. е. рН = 7.

Взяв логарифм от обеих частей равенства (1), а затем решив уравнение относительно рН, получим для внутренней части капли или внутреннего слоя влаги адсорбированного частицей

$$\text{pH}_0 = 7 - \frac{W}{2,3RT}.$$

Поскольку величина  $W/2,3 RT$  существенно положительна, то из (2) следует, что частицы не будут нести заряда при некотором значении  $\text{pH} < 7$ , т. е. при некоторой кислотной реакции.

Действительно, эксперимент дает (для обследованных нами веществ)  $\text{pH} \sim 5$ . Принимая  $T=295$ ;  $R=1,985 \text{ кал/град} \cdot \text{моль}$ , получаем для адсорбционного потенциала величину

$$W = 2700 \text{ кал / моль},$$

согласующуюся по порядку с известными значениями ряда адсорбционных потенциалов.

Таким образом, под действием адсорбционных сил в некотором тонком слое создается уменьшающаяся к свободной границе поверхностного слоя капли плотность ионов водорода. Из этого рассмотрения также следует, что в случае капли из нейтрального раствора электролита или чистой воды с рН=7 на границе свободной поверхности будут преимущественно кон-

центрироваться анионы. Ввиду этого создается возможность для преимущественного отрыва их вместе с молекулами пара и ухода в воздух, при этом капля приобретает положительный заряд по отношению к воздуху. Одновременно она приобретает кислотные свойства (благодаря повышенной концентрации ионов водорода). При проведении опытов электрофореза на нашей установке обнаружилось, что рН осадка на катоде как для капельных, так и пылевидных аэрозолей на 0,2—0,4 рН выше, чем на аноде. Это свидетельствует о том, что зарядение частиц в ходе установления избирательного сорбционного равновесия сопровождается некоторым изменением их химизма вследствие ионного обмена со средой.

При помощи нашей установки представилось возможным определить, конечно, весьма приближенно, величину зарядов капель или частиц приносящихся аэрозолей. Попытка вычислить заряд частиц по току между электродами не увенчалась успехом ввиду того, что токи утечки значительно превосходили токи электрофореза. Поэтому заряд частиц вычислялся из сравнения скоростей оседания частиц на электродах под действием двух факторов: хаотического движения и электрофореза.

Разность количеств веществ, осевших на катоде и аноде, равна

$$\frac{m_k - m_a}{\alpha} = v n \tau s, \quad (3)$$

где  $m_k$  и  $m_a$  — взвешенные количества вещества после выпаривания,  $\alpha$  — начальная концентрация раствора,  $v$  — скорость движения частиц в электрическом поле,  $n$  — число частиц в единице объема,  $\tau$  — время опыта и  $s$  — поверхность пластины.

Скорость движения частиц в электрическом поле может быть определена из равенства электрических сил силам сопротивления движения частиц в воздухе

$$qE = 6\pi r v \eta, \quad (4)$$

где  $q$  — заряд частиц,  $E$  — напряженность электрического поля между пластинами,  $r$  — радиус частиц,  $\eta$  — коэффициент вязкости.

Если бы электрического поля между пластинами не было, на них также происходило бы осаждение частичек аэрозоля под влиянием теплового движения. Осаждение происходило бы примерно в равных количествах на каждой из пластин. При наложении не слишком большого электрического поля, в зависимости от заряда частиц на одной из пластин отложение уменьшится, а на другой увеличится, поэтому можем писать

$$\frac{m_a + m_k}{\alpha} = \frac{1}{3} n c \tau s, \quad (5)$$

где  $c$  — скорость теплового движения частиц. Перед правой частью взят множитель 1/3 в предположении, как это обычно делается в молекулярной физике, что лишь 1/3 всех частиц движется по нормали к пластинам, а 2/3 частиц движутся по двум другим осям, лежащим в плоскости, параллельной пластинам.

Скорость теплового движения частиц

$$c = \sqrt{\frac{3kT}{m}},$$

где  $m$  — масса при удельном весе раствора  $\gamma$

$$m = \frac{\frac{4}{3} \pi r^3 \gamma}{g}.$$

Напряженность электрического поля в единицах CGSE

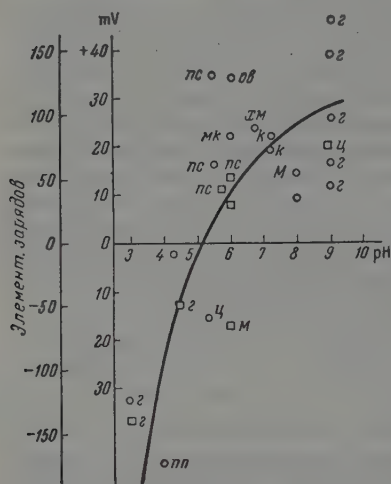
$$E = \frac{V}{300h},$$

где  $V$  — в вольтах и  $h$  — расстояние между пластинами в сантиметрах.

Учитывая эти соотношения решение уравнений (3), (4) и (5) относительно  $q$  дает формулу для определения заряда частиц аэрозоля по эффекту электрофореза

$$q = \frac{m_k - m_a}{m_k + m_a} \cdot \frac{450 \eta h \sqrt{\pi k T_g / r \gamma}}{4,8 \cdot 10^{-10} V}. \quad (6)$$

На основании опытов, описанных выше, по этой формуле были подсчитаны заряды частиц туманообразного и пылевидного аэрозолей, которые приведены на рис. 2. Для обоих этих видов аэрозолей максимальный заряд частиц оказался в пределах  $\pm 150$  элементарных зарядов. Заметим, что



естественных туманов на каплях наблюдаются заряды в среднем от 50 до 300 элементарных зарядов.

Наши экспериментальные данные не позволяют судить о том, насколько заряд капель или частиц зависит от рода растворенного в воде вещества.

Рис. 2. Элементарный заряд и потенциал частиц аэрозоля при различных значениях pH распрыскиваемого раствора или «сухого» вещества: г — глинозем, ц — цемент, к — каолин, м — мел, пс — пылевидная почва, пс — поваренная соль, хм — хлористый магний, ов — океаническая вода. Квадраты с точками при г и ц означают пылевидные аэрозоли, все остальные — капельные.

и его концентрации. Нам удалось подметить связь заряда частиц аэрозоля только с pH распрыскиваемого раствора. Более подробное исследование этого вопроса не входило в нашу задачу.

### Обсуждение результатов

Натансон [1] исследовал заряды на каплях, содержащих водные растворы органических соединений, и обнаружил баллоэлектрический эффект двух видов. По крайней мере один из видов этого эффекта Натансон связывает с процессами избирательной адсорбции ионов на поверхности капель. Однако мы не имели дела с поверхностно-активными веществами, и поэтому полного сравнения наших результатов с данными этого автора провести не представляется возможным.

Далее следует сопоставить полученные нами результаты с данными о знаке заряда газовых пузырьков в воде и растворах неорганических солей, полученными Н. А. Бах и А. Гильман [2]. Эти авторы с большой убедительностью показали, что в воде и растворах неорганических солей при pH = 7 газовые пузырьки имеют отрицательный заряд (по отношению к воде). Как видим, наши результаты вполне согласуются с этими данными.

Несмотря на то, что мы имели дело с аэрозолем, образованным распылением капель водных растворов в воздухе, результаты аналогичны данным, полученным путем электрофореза своеобразного гидрозоля, состоящего из пузырьков воздуха в воде. В обоих случаях воздух приобретает отрицательный заряд, а вода — положительный (если только она не слишком подкислена). Значение электрокинетического потенциала при pH близком к 7, в наших опытах получилось близким к величине, найденной этими авторами. У нас электрокинетический потенциал для pH = 7 равен около 20 mV (рис. 2), у авторов [2] — около 30 mV.

К сожалению, Н. А. Бах и А. Гильман [2] подвергают сомнению (с проверки) выводы Кена и Неймана [3, 4], полученные ими еще в 1923 г. о том, что пузырьки воздуха в щелочном растворе электрически отрицательны, а в кислом — положительны. В наших опытах капли, содержа-



щие щелочной раствор, заряжались положительно по отношению к воздуху, который, следовательно, приобретал отрицательный заряд. Наоборот, капли, содержащие весьма кислый раствор ( $\text{pH} < 5$ ), всегда заряжались по отношению к воздуху отрицательно, а это значит воздух в этом случае приобретал положительный заряд.

Таким образом, наши данные в основном согласуются с данными Кена и Неймана [3, 4]. Совпадение результатов определения знака относительно заряда вода — воздух для случаев гидрозолей (пузырьки воздуха в воде) и аэрозолей (капли в воздухе) указывает на действующую здесь общую закономерность возникновения электрокинетического потенциала на границе вода — воздух в зависимости от кислотных или щелочных свойств водного раствора.

Измерения электрических зарядов пылей в поле плоского конденсатора [5] показали, что пылинки несут на себе разноименные заряды порядка сотен элементарных зарядов, по-видимому, обусловленные трибоэлектричеством. Униполярная слагающая зарядов пылинок, измеряемая отношением  $n/n_+$ , оказалась весьма незначительной. Возможно, это объясняется недостаточной чувствительностью установки, поскольку униполярная слагающая заряда частиц, обусловленная избирательной сорбцией ионов, не превышает нескольких десятков элементарных зарядов для веществ, дающих нейтральную реакцию. Примечательно, однако, то обстоятельство, что в опытах этих авторов было установлено, что в атмосфере сухого воздуха заряд пылинок меньше, чем в воздухе, содержащем влагу. Между тем трибоэлектричество в случае сухой пыли в сухом воздухе должно было бы проявляться сильнее. В этом отношении находят свое подтверждение изложенные в нашей статье выводы о влиянии на формирование заряда частиц, избирательной сорбции ионов в слое адсорбированной влаги.

### Выводы

1. Наблюдающийся электрофорез аэрозолей свидетельствует о генерации на каплях или частицах аэрозоля униполярного заряда.
2. Знак заряда зависит от кислотных и щелочных свойств частиц аэрозоля. Если капли или частицы имеют  $\text{pH} < 5$ , они заряжаются по отношению к воздуху отрицательно, а при значениях  $\text{pH} > 5$  — положительно. Явление можно объяснить избирательной адсорбцией ионов водорода.

Поступила  
19.VIII.1958

### ЛИТЕРАТУРА

- Натансон, Ж. физ. химии, 30, 2662, 1956.  
Н. А. Бах и А. Гильман, Ж. физ. химии, 12, 161, 1938.  
А. Соеhn, Z. Elektrochem, 29, № 1, 1, 1923.  
А. Соеhn, и Н. Неуманн, Z. Physik, 20, 54, 1923.  
Н. Н. Тунццкий, М. В. Тихомиров, И. В. Петрянов, Ж. техн. физики, 10(20), 1940.

### ON UNIPOLAR CHARGES OF AEROSOLS

V. D. Reshetov (Moscow)

#### Summary

The observed electrophoresis of aerosols bears witness to the generation of a unipolar charge on the aerosol droplets or particles. The sign of the charge depends upon the acid basic properties of the particles. If the particles or droplets have a pH value less than 5 they become charged negative with respect to the air, if higher than 5, they assume a positive charge.

The phenomenon may be explained by the selective adsorption of hydrogen ions.

## К ВОПРОСУ О КИНЕТИЧЕСКИХ УРАВНЕНИЯХ РЕАКЦИИ АЛКИЛИРОВАНИЯ БЕНЗОЛА И ЕГО ГОМОЛОГОВ НЕПРЕДЕЛЬНЫМИ УГЛЕВОДОРОДАМИ

*Ю. И. Козорезов*

Экспериментальные данные по алкилированию бензола и его гомологов олефинами [1—4] свидетельствуют о последовательном характере присоединения алкильных групп к бензольному ядру. Уравнения кинетики последовательной реакции в применении к процессу алкилирования бензола позволяют установить константы скорости реакции алкилирования или их соотношение, количественно характеризующее реакционную способность бензола и его гомологов, и, обратно, — по известным константам скорости или их соотношению позволяют определить состав продукта алкилирования.

Френсис в статье [5] приводит решение дифференциальных уравнений последовательной многостадийной реакции для частного случая — равенства всех констант скоростей образования алкилбензолов. Однако теоретические соображения [6] и экспериментальные данные [1—3] показывают, что константы скорости образования различных алкилбензолов должны быть одинаковыми. Поэтому решение дифференциальных уравнений кинетики последовательной реакции для случая различных значений констант скорости представляет значительный теоретический и практический интерес.

Абель [7], а затем В. Г. Плюснин [1] приводят решение дифференциальных уравнений кинетики последовательной реакции применительно к определенным условиям проведения реакции: при постоянстве концентрации алкилирующего компонента, что далеко не всегда достаточно просто может быть выполнено.

В настоящей работе сделана попытка вывести кинетические уравнения алкилирования бензола и его гомологов путем интегрирования дифференциальных уравнений кинетики последовательной многостадийной реакции при различных константах скорости образования алкилбензолов и при изменяющейся концентрации алкилирующего компонента.

Реакция алкилирования бензола олефинами, являющаяся бимолекулярной, и согласно закону действующих масс для возможных шести ступеней описывается следующей системой дифференциальных уравнений

$$\frac{dx_1}{dt} = k_1(c - x_1)y;$$

$$\frac{dx_2}{dt} = k_2(x_1 - x_2)y;$$

$$\frac{dx_3}{dt} = k_3(x_2 - x_3)y;$$

$$\frac{dx_4}{dt} = k_4(x_3 - x_4)y;$$

$$\frac{dx_5}{dt} = k_5(x_4 - x_5)y;$$

$$\frac{dx_6}{dt} = k_6(x_5 - x_6)y,$$

где  $y$  — концентрация алкилирующего компонента;  $k_1, k_2, \dots, k_6$  — константы скорости образования соответствующих алкилбензолов,  $x_1, x_2, x_3, \dots, x_6$  — число молей соответственно моно-, ди- и т. д. алкилбензолов, образующихся при реакции,  $c$  — исходное число молей бензола.

Для приведения уравнений (2) — (6) к интегрируемой форме разделим их на уравнение (1) и, обозначив отношения скоростных констант через  $a_i$ :

$$\frac{k_2}{k_1} = a_2; \quad \frac{k_3}{k_1} = a_3; \quad \frac{k_4}{k_1} = a_4; \quad \frac{k_5}{k_1} = a_5; \quad \frac{k_6}{k_1} = a_6.$$

Получим дифференциальные уравнения первого порядка:

$$\frac{dx_2}{dx_1} = a_2 \frac{x_1 - x_2}{c - x_1}; \quad (7)$$

$$\frac{dx_3}{dx_1} = a_3 \frac{x_2 - x_3}{c - x_1}; \quad (8)$$

$$\frac{dx_4}{dx_1} = a_4 \frac{x_3 - x_4}{c - x_1}; \quad (9)$$

$$\frac{dx_5}{dx_1} = a_5 \frac{x_4 - x_5}{c - x_1}; \quad (10)$$

$$\frac{dx_6}{dx_1} = a_6 \frac{x_5 - x_6}{c - x_1}. \quad (11)$$

Полученные уравнения решаются методом последовательного интегрирования: подстановкой решения предыдущего уравнения в последующее. При этом последующее уравнение становится уравнением первого порядка, которое решается известными способами.

Интегрируя (7) — (11) и для удобства подставляя в полученные решения новую переменную  $X = 1 - x_1/c$ , представляющую собой долю непрореагировавшего бензола, получим следующие уравнения:

$$x_2 = c \left[ 1 - \frac{a_2}{a_2 - 1} X - \frac{1}{1 - a_2} X^{a_2} \right]; \quad (12)$$

$$x_3 = c \left[ 1 - \frac{a_2 a_3}{(a_2 - 1)(a_3 - 1)} X - \frac{a_3}{(1 - a_2)(a_3 - a_2)} X^{a_2} - \frac{a_2}{(1 - a_3)(a_2 - a_3)} X^{a_3} \right]; \quad (13)$$

$$x_4 = c \left[ 1 - \frac{a_2 a_3 a_4}{(a_2 - 1)(a_3 - 1)(a_4 - 1)} X - \frac{a_2 a_4}{(1 - a_2)(a_3 - a_2)(a_4 - a_2)} X^{a_2} - \right. \\ \left. - \frac{a_2 a_4}{(1 - a_3)(a_2 - a_3)(a_4 - a_3)} X^{a_3} - \frac{a_2 a_3}{(1 - a_4)(a_2 - a_4)(a_3 - a_4)} X^{a_4} \right]; \quad (14)$$

$$x_5 = c \left[ 1 - \frac{a_2 a_3 a_4 a_5}{(a_2 - 1)(a_3 - 1)(a_4 - 1)(a_5 - 1)} X - \frac{a_3 a_4 a_5}{(1 - a_2)(a_3 - a_2)(a_4 - a_2)(a_5 - a_2)} X^{a_2} - \right. \\ \left. - \frac{a_2 a_4 a_5}{(1 - a_3)(a_2 - a_3)(a_4 - a_3)(a_5 - a_3)} X^{a_3} - \frac{a_2 a_3 a_5}{(1 - a_4)(a_2 - a_4)(a_3 - a_4)(a_5 - a_4)} X^{a_4} - \right. \\ \left. - \frac{a_2 a_3 a_4}{(1 - a_5)(a_2 - a_5)(a_3 - a_5)(a_4 - a_5)} X^{a_5} \right]; \quad (15)$$

$$x_6 = c \left[ 1 - \frac{a_2 a_3 a_4 a_5 a_6}{(a_2 - 1)(a_3 - 1)(a_4 - 1)(a_5 - 1)(a_6 - 1)} X - \right. \\ \left. - \frac{a_3 a_4 a_5 a_6}{(1 - a_2)(a_3 - a_2)(a_4 - a_2)(a_5 - a_2)(a_6 - a_2)} X^{a_2} - \right. \\ \left. - \frac{a_2 a_4 a_5 a_6}{(1 - a_3)(a_2 - a_3)(a_4 - a_3)(a_5 - a_3)(a_6 - a_3)} X^{a_3} - \right. \\ \left. - \frac{a_2 a_3 a_5 a_6}{(1 - a_4)(a_2 - a_4)(a_3 - a_4)(a_5 - a_4)(a_6 - a_4)} X^{a_4} - \right. \\ \left. - \frac{a_2 a_3 a_4 a_6}{(1 - a_5)(a_2 - a_5)(a_3 - a_5)(a_4 - a_5)(a_6 - a_5)} X^{a_5} - \right. \\ \left. - \frac{a_2 a_3 a_4 a_5}{(1 - a_6)(a_2 - a_6)(a_3 - a_6)(a_4 - a_6)(a_5 - a_6)} X^{a_6} \right]. \quad (16)$$

Так как число молей бензола и образовавшихся алкилбензолов  $c_0$ ,  $c_2$ , ...,  $c_6$  к моменту времени  $t$  выражается равенствами:

$$c_0 = c - x_1;$$

$$c_1 = x_1 - x_2;$$

$$c_2 = x_2 - x_3;$$

$$c_3 = x_3 - x_4;$$

$$c_4 = x_4 - x_5;$$

$$c_5 = x_5 - x_6;$$

$$c_6 = x_6,$$

то, подставив в них значения  $x_1, x_2, \dots, x_6$  из (12) — (16), получим систему уравнений, выражающих состав алкилата ко времени  $t$  в зависимости от глубины превращения бензола:

$$c_0 = cX; \quad (1)$$

$$c_1 = c \left[ \frac{1}{a_2 - 1} X + \frac{1}{1 - a_2} X^{a_2} \right], \quad (1)$$

$$c_2 = c \left[ \frac{a_2}{(a_2 - 1)(a_3 - 1)} X + \frac{a_2}{(1 - a_2)(a_3 - a_2)} X^{a_2} + \frac{a_2}{(1 - a_3)(a_2 - a_3)} X^{a_3} \right]; \quad (1)$$

$$c_3 = c \left[ \frac{a_2 a_3}{(a_2 - 1)(a_3 - 1)(a_4 - 1)} X + \frac{a_2 a_3}{(1 - a_2)(a_3 - a_2)(a_4 - a_2)} X^{a_2} + \right. \\ \left. + \frac{a_2 a_3}{(1 - a_3)(a_2 - a_3)(a_4 - a_3)} X^{a_3} + \frac{a_2 a_3}{(1 - a_4)(a_2 - a_4)(a_3 - a_4)} X^{a_4} \right]; \quad (2)$$

$$c_4 = c \left[ \frac{a_2 a_3 a_4}{(a_2 - 1)(a_3 - 1)(a_4 - 1)(a_5 - 1)} X + \frac{a_2 a_3 a_4}{(1 - a_2)(a_3 - a_2)(a_4 - a_2)(a_5 - a_2)} X^{a_2} + \right. \\ \left. + \frac{a_2 a_3 a_4}{(1 - a_3)(a_2 - a_3)(a_4 - a_3)(a_5 - a_3)} X^{a_3} + \frac{a_2 a_3 a_4}{(1 - a_4)(a_2 - a_4)(a_3 - a_4)(a_5 - a_4)} X^{a_4} + \right. \\ \left. + \frac{a_2 a_3 a_4}{(1 - a_5)(a_2 - a_5)(a_3 - a_5)(a_4 - a_5)} X^{a_5} \right] \quad (2)$$

$$c_5 = c \left[ \frac{a_2 a_3 a_4 a_5}{(a_2 - 1)(a_3 - 1)(a_4 - 1)(a_5 - 1)(a_6 - 1)} X + \right. \\ \left. + \frac{a_2 a_3 a_4 a_5}{(1 - a_2)(a_3 - a_2)(a_4 - a_2)(a_5 - a_2)(a_6 - a_2)} X^{a_2} + \right. \\ \left. + \frac{a_2 a_3 a_4 a_5}{(1 - a_3)(a_2 - a_3)(a_4 - a_3)(a_5 - a_3)(a_6 - a_3)} X^{a_3} + \right. \\ \left. + \frac{a_2 a_3 a_4 a_5}{(1 - a_4)(a_2 - a_4)(a_3 - a_4)(a_5 - a_4)(a_6 - a_4)} X^{a_4} + \right. \\ \left. + \frac{a_2 a_3 a_4 a_5}{(1 - a_5)(a_2 - a_5)(a_3 - a_5)(a_4 - a_5)(a_6 - a_5)} X^{a_5} + \right. \\ \left. + \frac{a_2 a_3 a_4 a_5}{(1 - a_6)(a_2 - a_6)(a_3 - a_6)(a_4 - a_6)(a_5 - a_6)} X^{a_6} \right]; \quad (3)$$

$$c_6 = x_6. \quad (3)$$

Полученные уравнения позволяют решить две основные задачи:

1) по известному соотношению скоростных констант и доли превращения ароматического компонента определить состав продукта реакции алкилата;

2) по известному составу алкилата определить соотношение констант скорости реакции алкилирования.

По уравнениям (18) — (21) для соотношений констант скорости и пропилирования на фтористоводородном катализаторе бензола 1 : 0, : 0,3 : 0,15 и изопропилбензола — 1 : 0,4 : 0,2, найденных В. Г. Плюским [2, 3], были подсчитаны концентрации алкилбензолов в продукте



реакции при различной степени превращения бензола. Полученные расчетные данные, а также для сравнения экспериментальные данные Г. Плюснина приведены в табл. 1 и 2, из которых видна их достаточно удовлетворительная сходимость.

Таблица 1

Содержание алкилбензолов в продукте алкилирования бензола пропиленом, мол. %

Бензол	Изопропилбензол		Динизопропилбензол		Тринизопропилбензол		Тетраизопропилбензол	
	расч.	экспер.	расч.	экспер.	расч.	экспер.	расч.	экспер.
Экспер. и принятое для расчета)								
82	17,5	16,5	2,5	1,3				
74	22,5	22,6	2,7	3,4				
46,6	38,0	43,7	12,4	9,0	2,1	0,6		
34,4	41,2	42,3	21,1	19,8	2,5	3,5		
19,4	37,5	41,8	35,5	30,8	6,0	8,0		
15,9	35,0	40,5	39,0	35,4	9,0	8,2		
8,0	26,3	26,0	47,1	46,0	16,9	15,7	2,1	4,3
3,2	15,8	19,1	49,8	50,4	26,7	24,4	5,5	2,8
0,8	6,5	5,3	41,7	45,0	39,0	35,4	13,5	13,5
0,6	5,3	3,0	39,3	29,5	40,9	45,3	14,0	21,0

Таблица 2

Содержание алкилбензолов в продукте алкилирования изопропилбензола пропиленом, мол. %

изопропилбензол	Динизопропилбензол		Тринизопропилбензол		Тетраизопропилбензол	
	расч.	экспер.	расч.	экспер.	расч.	экспер.
экспер.						
74	24,6	22,2	1,2	3,8		
68,2	29,4	28,0	2,0	3,7		
53,2	40,6	38,7	5,4	6,1	0,7	1,6
26,4	53,8	55,3	17,9	14,5	2,0	3,8
19,7	54,2	54,0	23,1	21,0	3,0	5,3
19,5	53,8	53,5	23,3	21,5	3,1	5,6
12,2	51,5	52,5	30,5	30,2	5,8	5,1
9,2	48,8	47,7	34,5	34,2	7,5	8,9
4,1	39,7	41,8	42,4	39,8	13,8	14,3
2,4	33,5	36,5	45,5	41,1	18,6	20,0
2,0	31,5	27,7	46,2	48,0	20,4	22,4
1,1	25,6	19,3	47,5	49,6	25,8	30,0

В связи с тем, что моноалкилпроизводные обычно являются целевыми продуктами в процессе алкилирования, может представлять интерес определение максимального выхода моноалкилпроизводного по известному отношению скоростных констант. Эта задача решается путем обычного способа исследования функции  $c_1$  [уравнение (18)] на максимум. Взяв производную от  $c_1$  по  $X$  и приравняв ее нулю, находим значение  $x$ , соответствующее максимальному значению выхода моноалкилпроизводного:

$$X = a_2^{1/(1-a_2)}. \quad (24)$$

Подставив (24) в (18), получаем общее выражение для максимального значения моноалкилпроизводного

$$c_1^{\text{макс}} = ca_2^{a_2(1-a_2)}. \quad (25)$$

Максимальный выход моноалкилпроизводного для бензола и изопропилбензола, вычисленный по уравнению (25), равняется соответственно 40,9% и 54,3%, что довольно близко к экспериментальным значениям приведенным в табл. 1 и 2.

Кинетические уравнения (18) — (23), выведенные для шести возможных ступеней замещения, очевидно, применимы к любому гомологу бензола; при этом число возможных ступеней алкилирования и соответственно число уравнений, определяющих состав алкилата, будет меньше.

Следует отметить, что уравнения (18) — (23), полученные для реакции алкилирования бензола непредельными углеводородами, применимы вообще ко всем реакциям замещения водородных атомов в бензольном ядре, носящих последовательный необратимый характер.

### Выводы

1. Дается решение дифференциальных уравнений скорости реакции алкилирования бензола непредельными углеводородами для возможных шести ступеней замещения.

2. Полученные уравнения позволяют по известным соотношениям констант скорости образования алкилбензолов определять состав алкилпродукта в зависимости от степени превращения бензола и, обратно, по составу продукта реакции — устанавливать соотношение констант скорости образования алкилбензолов.

Грозненский нефтяной  
научно-исследовательский  
институт

Поступила  
26.VIII.1958

### ЛИТЕРАТУРА

1. В. Г. Плюснин, Н. М. Родигин, Ж. физ. химии, **31**, 2066, 1957.
2. В. Г. Плюснин, А. Н. Лысенко и Е. П. Бабин, Ж. физ. химии, **22**, 229, 1957.
3. В. Г. Плюснин и А. П. Лысенко, Ж. физ. химии, **31**, 2464, 1957.
4. В. Г. Плюснин, Химическая переработка нефтяных углеводородов. Тр. Всесоюзного совещания по комплексной химической переработке нефтяных газов. Изд-во Академии наук СССР, 1956, стр. 396.
5. A. W. Francis and E. Emmett Reid, *Industr. and Engng Chem.*, **40**, 1194, 1946.
6. П. Г. Сергеев, Хим. пром-сть, № 4, 1956.
7. E. A bel, *Z. phys. Chem.*, **56**, 559, 1906.

### KINETIC EQUATIONS FOR THE ALKYLATION OF BENZENE BY UNSATURATED HYDROCARBONS

*Yu. I. Kozorезov (Grozny)*

#### Summary

The solution of the differential equations for the rate of alkylation of benzene unsaturated hydrocarbons has been presented for the possible six stages of substitution.

From known ratios of the rate constants of formation of the alkylbenzenes the equations permit the composition of the alkyl product with respect to the degree of conversion of benzene to be determined and vice versa from the composition of the products to determine the ratio of the rate constants of alkylbenzene formation.

ЭЛЕКТРОДВИЖУЩИЕ СИЛЫ ПРИ НЕКОТОРЫХ  
КАТАЛИТИЧЕСКИХ ВОССТАНОВИТЕЛЬНЫХ РЕАКЦИЯХ

В. А. Журавлев и А. А. Кужелюк

Электронные явления играют важную роль в катализе. Еще Л. В. Пирожевский [1] обратил внимание на потенциалы различных катализаторов при разложении перекиси водорода. Электронные представления в катализе особенно плодотворно развились в последние годы [2, 3]. Поэтому представляется целесообразным изучение электрических явлений, сопутствующих каталитическим реакциям.

## Экспериментальная часть

Нами были измерены электродвижущие силы гальванического элемента, одним электродом которого является катализатор, вторым электродом — проводник, не влияющий на скорость реакции, а электролитом — раствор, в котором происходит каталитическая реакция. Такой «гальванокаталитический» элемент нами предложен впервые.

Измерение зависимости э. д. с. такого элемента от температуры показало, что ход этой зависимости имеет минимум, характерный только для каталитической реакции. При замене растворов, в которых происходит каталитическая реакция, другими электролитами, в которых каталитическая реакция не происходит, зависимость э. д. с. от температуры приобретает плавный характер, минимум отсутствует. Нами были выбраны как наиболее простые и доступные реакции разложения  $\text{H}_2\text{O}_2$  и  $\text{KMnO}_4$ . Их водные растворы служили электролитами. Одним электродом был стержень из материала, не влияющего на ход каталитической реакции. В качестве такого электрода мы выбрали инертный стержень. Вторым электродом служили различные катализаторы. Для первой —  $\text{CuO}$ ,  $\text{ZnO}$ ,  $\text{Fe}_2\text{O}_3$ ,  $\text{Al}_2\text{O}_3$ ,  $\text{MnO}_2$ , для второй —  $\text{Fe}_2\text{O}_3$ ,  $\text{CuO}$ ,  $\text{MnO}_2$ . Катализаторы изготавливались следующим образом.

**Окись меди.** Тонкие слои окиси меди получались на угольных стержнях электролизом. Расчетная толщина покрытий для различных стержней была от  $4 \cdot 10^{-4}$  до  $4 \cdot 10^{-2}$  см. Полученный на стержнях тонкий слой меди окислялся до окиси меди в электрической печи в течение 20—30 мин. при  $350\text{--}400^\circ$ .

Образцы окиси цинка готовились аналогичным способом.

**Окись железа.** Порошок окиси прессовался в специально изготовленной форме под давлением  $8000 \text{ кг/см}^2$ . Образцы цилиндрической формы диаметром 1,8 см и высотой 2,2 см обжигались в течение 3 час. в атмосфере окиси марганца при  $600^\circ$ .

Аналогично были приготовлены образцы окиси алюминия и двуокиси марганца.

Образцы окиси меди и окиси цинка готовились как электролизом, так и прессованием порошков.

Обжиг двуокиси марганца производился при  $500^\circ$ , а окиси цинка при  $400^\circ$ .

Гальванический элемент с одним электродом — катализатором и электролитом — раствором, в котором происходит каталитическая реакция,

имел небольшие размеры и помещался в водяную баню. Температура водяной бани регулировалась при помощи терморегулятора и поддерживалась с точностью  $\pm 0,5^\circ$ . Измерения проводились в области температур 20—90°. Были приняты меры для удаления выделяющегося кислорода. Э. д. с. такого элемента измерялась компенсационным методом. Скорость каталитического разложения перекиси водорода определялась по изменению ее концентрации за единицу времени. Последнее определялось титрованием, затем рассчитывалась константа  $k$  скорости. Скорость каталитического разложения раствора  $\text{KMnO}_4$  определялась тем же самым методом. Размеры электрода-катализатора для всех образцов были всегда одинаковыми.

Так как в исследуемом интервале температур разложения растворов  $\text{H}_2\text{O}_2$  и  $\text{KMnO}_4$  может происходить и без катализатора, что в известной мере может исказить результаты измерений, всегда употреблялся контрольный раствор без катализатора при той же температуре, как и раствор с катализатором. Данные для растворов контрольного и с катализатором сравнивались между собой. Была также измерена термо-э. д. с. в цепи при отсутствии раствора, установлено, что возникающие при нагревании термо-э. д. с. не могут влиять на результат измерения. Результаты измерений э. д. с. элементов, в которых один из электродов является катализатором, для различных катализаторов при 20° и с концентрацией перекиси водорода  $N = 0,096$  моль/л  $\text{KMnO}_4$   $N = 0,109$  моль/л, сведены в таблицу.

Электролит	Катализатор	Электродвижущая сила, мВ
$\text{H}_2\text{O}_2$	$\text{Al}_2\text{O}_3$	190
	$\text{CuO}$	230
	$\text{Fe}_2\text{O}_3$	238
	$\text{ZnO}$	290
	$\text{MnO}_2$	500
	$\text{Fe}_2\text{O}_3$	400
$\text{KMnO}_4$	$\text{ZnO}$	450
	$\text{MnO}_2$	560

Измерение зависимости э. д. с. описанного выше элемента от температуры показало, что эта зависимость при наличии каталитической реакции

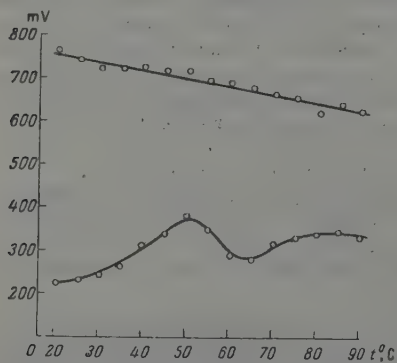


Рис. 1

отлична от такой же зависимости в случае отсутствия реакции.

Результаты измерений для раствора перекиси водорода с катализатором  $\text{Fe}_2\text{O}_3$  представлены на рис. 1.

Для других катализаторов, а также для раствора  $\text{KMnO}_4$  получены аналогичные результаты.

Нижняя кривая рис. 1 представляет изменение э. д. с. при наличии каталитической реакции. Ход этой кривой сложен: вначале при увеличении температуры э. д. с. возрастает, достигая максимума примерно при 50°, а затем с дальнейшим увеличением температуры она уменьшается, достигая

минимума при 65°, после чего вновь возрастает. Если в элементе раствор перекиси водорода заменить другим электролитом, в котором каталитическая реакция не происходит, например серной кислотой, то зависимость э. д. с. от температуры представится, как и для обычного гальванического элемента, прямой линией (верхняя линия рис. 1). Это свидетельствует о том, что сложный ход нижней кривой обусловлен наличием каталитической реакции. Между изменением э. д. с. элемента с изменением температуры и изменением скорости каталитической реакции существует тесная



связь. Мы измеряли скорости каталитической реакции и рассчитывали константу скорости  $k$  при различных температурах одновременно с измерением э. д. с. В этих измерениях при различных температурах начальные концентрации перекиси водорода брались одинаковыми, т. е. при переходе от одной температуры к другой, реагирующий раствор заменялся свежим. Для э. д. с. бралось ее значение в начале реакции.

Результаты измерений для реакции разложения перекиси водорода с катализатором  $\text{Fe}_2\text{O}_3$  представлены на рис. 2.

Здесь нижняя кривая изображает зависимость э. д. с. элемента от температуры, а верхняя — зависимость от температуры константы  $k$  скорости каталитической реакции. Сопоставление этих кривых показывает, что наибольшее увеличение константы скорости реакции (наибольший подъем верхней линии) наблюдается тогда, когда э. д. с. элемента падает. Это указывает на тесную связь между э. д. с. элемента и ходом каталитической реакции.

Аналогичную связь мы получили и для других вышеупомянутых катализаторов, а также для каталитической реакции разложения раствора  $\text{KMnO}_4$ .

Описанная связь между э. д. с. элемента, одним электродом которого является полупроводниковый катализатор, и константой скорости каталитической реакции, дает возможность наблюдать за ходом реакции, нарушая ее течения, путем измерения э. д. с. Заметим, что между работой выхода электрона из поверхности катализатора, измеренной виброметром и скоростью реакции окисления  $\text{CO}$  до  $\text{CO}_2$  на  $\text{CuO}$ , наблюдается аналогичная зависимость [4].

Нами исследована также зависимость э. д. с. от концентрации перекиси водорода при различных температурах. Результаты для катализатора  $\text{Fe}_2\text{O}_3$  представлены на рис. 3. Ход э. д. с. в зависимости от температуры при различных концентрациях представ-

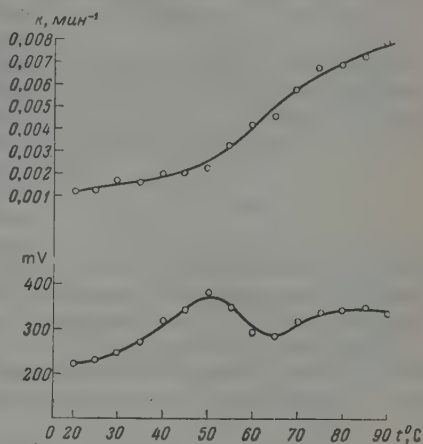


Рис. 2

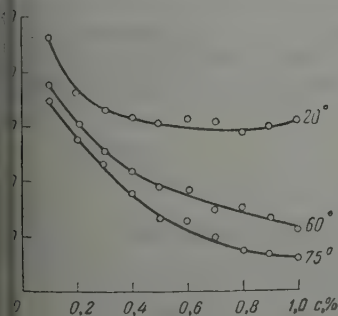


Рис. 3

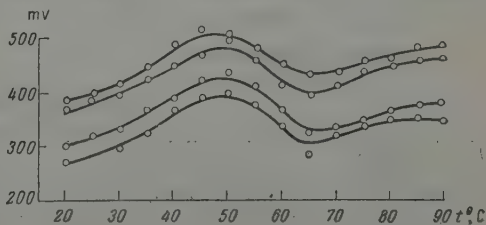


Рис. 4

лен на рис. 4. Из рис. 4 видно, что положение минимума э. д. с. не зависит от концентрации и при изменении последней не смещается. Нами исследована также зависимость э. д. с. от разности концентраций у электродов. Электроды из одинакового вещества, не являющегося катализатором, поме-

щались в растворы различных концентраций, разделенных полупроницаемой перегородкой. Измерения показали, что изменение э. д. с. в зависимости от разности концентраций происходит так же, как в обычном концентрационном элементе, т. е. отсутствуют минимум и максимум. Это обстоятельство свидетельствует о том, что минимум, наблюдавшийся

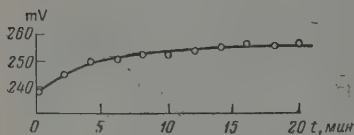


Рис. 5

для э. д. с. при изменении температуры, не может быть объяснен изменением скорости каталитической реакции при повышении температуры и соответствующим изменением концентрации перекиси водорода и поверхности катализатора. Э. д. с. рассматриваемого элемента во время каталитической реакции не остается постоянной, а меняется со временем, приближаясь к некоторому постоянному значению. Это изменение для катализатора  $F_2O_3$  при  $20^\circ$  с раствором перекиси водорода представлено на рис. 5.

При сопоставлении э. д. с. и константы скорости нами для определения бралась электродвижущая сила в начале реакции, хотя с равным результатом могла быть взята максимальная электродвижущая сила.

### Выводы

1. Гальванический элемент, одним электродом которого является катализатор, вторым электродом — проводник, не влияющий на скорость реакции, а электролитом — раствор, в котором происходит каталитическая реакция, может быть использован для изучения некоторых электрических процессов, сопутствующих каталитическим реакциям.
2. Зависимость от температуры э. д. с. описанного выше гальванического элемента при наличии каталитической реакции имеет максимум и минимум, чем отличается от аналогичной зависимости в случае отсутствия каталитической реакции.
3. Положение максимума и минимума э. д. с. описанного элемента не зависит от концентрации раствора, являющегося электролитом.
4. Ход изменения э. д. с. не может быть объяснен образованием в результате реакции концентрационного элемента.
5. Э. д. с. изменяется со временем, приближаясь к некоторой постоянной величине.
6. Между температурными зависимостями э. д. с. и константой скорости каталитической реакции существует связь: наибольшее приращение константы скорости каталитической реакции наблюдается тогда, когда э. д. с. элемента падает.

Львовский медицинский  
институт

Поступила  
23.VIII.1958

### ЛИТЕРАТУРА

1. Л. В. Писаржевский и В. А. Ройтер, Тр. V Менделеевского съезда, 10, 1928.
2. С. З. Рогинский и Ф. Ф. Волькенштейн, Тр. Всесоюзного совещания по катализу, 9, 1950.
3. С. З. Рогинский, Проблема кинетики и катализа, 8, 5, 1955.
4. В. И. Ляшенко и И. И. Степко, Проблемы кинетики и катализа, 8, 180, 1955.

## ELECTROMOTIVE FORCES IN SOME CATALYTIC REDUCTION REACTIONS

*V. A. Zhuravlev and A. A. Kuzhelyuk (L'vov)*

## Summary

The dependence of the electromotive force on the temperature of a galvanic cell of which one electrode is a catalyst and the electrolyte is the solution in which the catalytic reaction takes place has been determined.

The temperature dependence in the presence of a catalytic reaction has been shown to possess a maximum and minimum. A relation exists between the above temperature dependence and the rate constant of the catalytic reaction, the greatest increase in value of the rate constant taking place when the electromotive force of the cell falls.

---

## О ВЛИЯНИИ ПОВЕРХНОСТНОГО ВОССТАНОВЛЕНИЯ ОКИСИ ХРОМА НА ЕЕ КАТАЛИТИЧЕСКИЕ СВОЙСТВА

А. А. Баландин и И. Д. Рождественская

В настоящее время имеется ряд работ, посвященных изучению процесса восстановления окиси хрома. Термодинамическим расчетом показано, что объемное восстановление данной окиси водородом при 50° невозможно [1]. Однако в работе [2] отмечается, что при обработке окиси хрома водородом происходит переход проводимости из  $p$ -типа в  $n$ -тип. Одновременно с этим наблюдается изменение каталитической активности. Так, на восстановленной окиси дейтериеводородный обмен протекает значительно быстрее, чем на окисленном образце [3]. Вода является ядом этой реакции, причем на отравление окисленного образца идет значительно меньше воды, чем на отравление восстановленной окиси хрома [4]. Восстановленный образец является активным катализатором для гидрирования этилена, окисленный — вообще неактивен [5]. В работе Л. Альтмана и А. В. Фроста [6], наоборот, отрицается влияние обработки окиси хрома водородом на ее каталитическую активность. Показано, что препараты, обработанные в токе  $\text{CO}_2$  или  $\text{H}_2$ , обладали одинаковой активностью при дегидрировании циклогексана.

Целью настоящей работы было выяснить, как меняются каталитические свойства окиси хрома при обработке ее в токе азота и в токе водорода. Интересно было также оценить роль микропримесей, содержащихся в катализаторе, которые при обработке различными газами могут находиться в различном валентном состоянии и влиять на каталитические свойства образцов. С этой целью в качестве исходного материала для приготовления катализатора была взята азотнокислая соль хрома марганца «ч. д. а.» и «ч.».

Активность катализаторов определялась в реакциях дегидрогенизации и дегидратации изопропилового спирта в дегидрогенизации циклогексана, так как эти реакции протекают селективно и при достаточно низких температурах. По величинам энергий активации этих реакций были определены величины энергий связи атомов Н, С и О с поверхностью каждого из образцов. Такое определение проводилось при помощи кинетического метода [7].

### Экспериментальная часть

Опыты проводились на обычной каталитической установке проточного типа. Реагирующее вещество подавалось с постоянной объемной скоростью при помощи автоматического датчика [8]. Жидкие продукты реакции отделялись в приемнике с обратным холодильником, а газообразные продукты собирались в газометре с постоянным уровнем над насыщенным раствором поваренной соли. Газ анализировался на приборе ВТИ. В жидком катализате производилось определение ацетона оксиметрированием [9], в случае разложения изопропилового спирта, и определение содержания бензола рефрактометрически, в случае дегидрогенизации циклогексана. Для каждого опыта бралось 5 мл катализатора. Скорость подачи реагирующего вещества составляла 0,167 мл/мин. Объем выделяющегося газа ( $V_0$  мл/мин) приводился к нормальным условиям. Катализатор перед каждым опытом обрабатывался при 500° в течение 2 час. в токе того газа, которым проводилась предварительная обработка с целью удаления продуктов реакции с поверхности катализатора.

Были применены следующие исходные вещества: изопропиловый спирт: т. кип. 81,5°,  $n_D^{20}$  1,3777; циклогексан: т. кип. 81°,  $n_D^{20}$  1,4265. Водород, полученный электролизом



Таблица 1

Каталитические свойства изученных образцов окиси хрома

Образцы окиси хрома	Разложение $\text{изо-C}_3\text{H}_7\text{OH}$					Дегидрогенизация $\text{C}_6\text{H}_{12}$				
	Темп. реакции, °C	$v_{\text{H}_2}$ , мл/мин	$v_{\text{H}_2\text{O}}$ , мл/мин	% непр.	$\epsilon_{\text{H}_2}$	$\epsilon_{\text{H}_2\text{O}}$	Темп. реакции, °C	$v_{\text{H}_2}$ , мл/мин	$\epsilon_{\text{H}_2}$	$Q_{\text{HK}}$
1a	264—304	5,2—13,1	0,8—3,0	42,4—48,7	14,5	20,3	362—416	6,5—34,2	26,7	57,0
2b	252—294	3,7—11,0	0,5—3,5	42,0—27,0	24,3	27,4	339—402	40,3—32,2	47,6	60,0
2a	230—295	4,3—10,5	0,3—2,0	5,7—45,6	10,3	24,3	331—403	6,0—23,8	15,8	66,1
2b	241—295	4,0—10,7	0,3—2,6	6,4—19,3	9,5	23,4	335—395	11,1—32,8	14,5	66,3

раствора едкого натра, очищался от примеси кислорода пропусканием над палладированным асбестом при 190°. Азот очищался от кислорода пропусканием над восстановленной медью при 400° и над медью, отложенной на тизельгуре, при 186°. Осушка газов производилась пропусканием их через колонны с прокаленным силикагелем. Образцы катализатора были приготовлены из азотнокислого хрома марки «чистый» — образец № 1 и из марки «ч. д. а.» — образец № 2. Методика приготовления следующая: к 1 N раствору азотнокислого хрома приливалось по каплям 10%-ый раствор аммиака при механическом перемешивании при комнатной температуре до лабощелочной реакции (проба с фенолфталеином). Осадок отмывался дистиллированной водой от  $\text{NO}_3^-$  (проба с дифениламином) и от  $\text{OH}^-$ . Чистота отмычки контролировалась по Н-метру. Осадок фильтровался и подсушивался при 120°. Разложение гидроокиси хрома до окиси производилось при постепенном повышении температуры до 500° (в течение приблизительно 6 час.) и выдерживании образцов при этой температуре в течение 10 час. в токе азота (образцы 1a и 2a) и в токе водорода (образцы 1b и 2b).

Результаты опытов. 1. Направление реакции. Каждый из полученных образцов катализатора производил разложение изопропилового спирта в направлениях дегидрогенизации и дегидратации. Газообразные продукты реакции на 99% состояли из водорода и пропилена. Повышение температуры способствовало протеканию реакции дегидратации. Дегидрогенизация циклогексана также протекала без образования побочных продуктов. Результаты опытов сведены в табл. 1. Кажущаяся энергия активации была вычислена по уравнению Аррениуса.

2. Расчет энергий связи атомов H, C и O с поверхностью каждого из образцов. Расчет энергий связи кинетическим методом производился на основании определенных в настоящей работе энергий активации дегидрогенизации и дегидратации изопропилового спирта и дегидрогенизации циклогексана, также с использованием термохимических значений энергий связи между отдельными атомами молекулы [10]. Получены следующие данные:

образец 1a  $Q_{\text{HK}} = 57,0$ ;  $Q_{\text{СК}} = 23,9$ ;  $Q_{\text{ОК}} = 52,1$ .

образец 1b  $Q_{\text{HK}} = 60,0$ ;  $Q_{\text{СК}} = 27,0$ ;  $Q_{\text{ОК}} = 33,9$ .

образец 2a  $Q_{\text{HK}} = 66,1$ ;  $Q_{\text{СК}} = 22,4$ ;  $Q_{\text{ОК}} = 41,5$ .

образец 2b  $Q_{\text{HK}} = 66,3$ ;  $Q_{\text{СК}} = 22,8$ ;  $Q_{\text{ОК}} = 41,5$ .

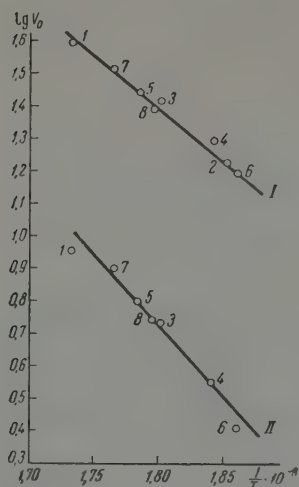


Рис. 1

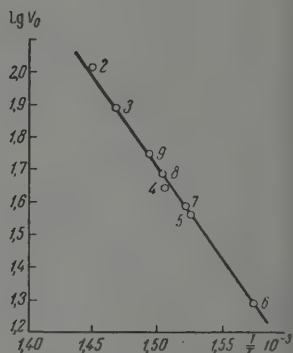


Рис. 2

Рис. 1. Разложение изопропилового спирта на образце 1а: I —  $\varepsilon_{\text{H}_2} = 14,5$  ккал/моль;  $k_{\text{OH}_2} = 8,4 \cdot 10^5$ ;  $\varepsilon_{\text{H}_2}/\lg k_{\text{OH}_2} = 2,4$ ; II —  $\varepsilon_{\text{H}_2\text{O}} = 20,3$  ккал/моль;  $k_{\text{OH}_2\text{O}} = 3,3 \cdot 10^5$ ;  $\varepsilon_{\text{H}_2\text{O}}/\lg k_{\text{OH}_2\text{O}} = 2,7$

Рис. 2. Дегидрогенизация циклогексана на образце 1а.  $\varepsilon_{\text{H}_2} = 26,7$  ккал/моль;  $k_{\text{OH}_2} = 1,97 \cdot 10^9$ ;  $\varepsilon_{\text{H}_2}/\lg k_{\text{OH}_2} = 2,9$

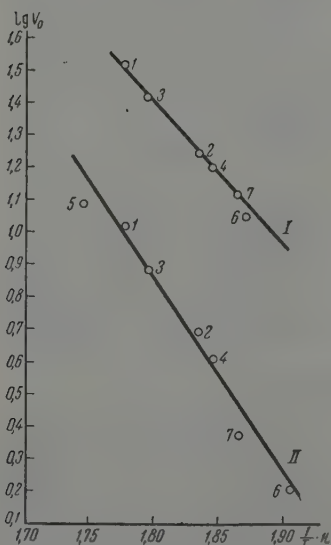


Рис. 3

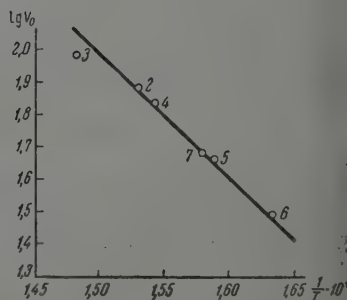


Рис. 4

Рис. 3. Разложение изопропилового спирта на образце 1b: I —  $\varepsilon_{\text{H}_2}^{\text{TP}} = 21,3$  ккал/моль;  $k_{\text{OH}_2} = 4,0 \cdot 10^8$ ;  $\varepsilon_{\text{H}_2}/\lg k_{\text{OH}_2} = 2,5$ ; II —  $\varepsilon_{\text{H}_2\text{O}} = 27,1$  ккал/моль;  $k_{\text{OH}_2\text{O}} = 1,9 \cdot 10^9$ ;  $\varepsilon_{\text{H}_2\text{O}}/\lg k_{\text{OH}_2\text{O}} = 2,6$

Рис. 4. Дегидрогенизация циклогексана на образце 1b  $\varepsilon_{\text{H}_2} = 17,6$  ккал/моль;  $k_{\text{OH}_2} = 3,9 \cdot 10^8$ ;  $\varepsilon_{\text{H}_2}/\lg k_{\text{OH}_2} = 2,7$

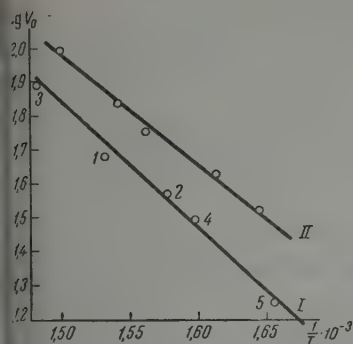


Рис. 5

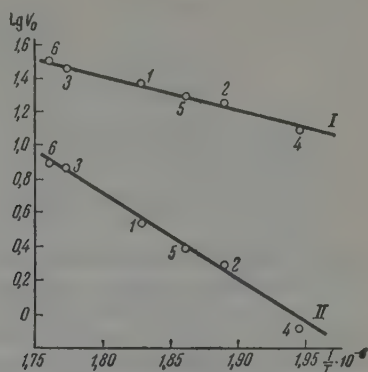


Рис. 6

ис. 5. Дегидрогенизация циклогексана образцах: I —  $\varepsilon_{H_2} = 15,8$ ;  $k_{O_{H_2}} = 6,6 \cdot 10^6$ ;  $\varepsilon_{H_2}/\lg k_{O_{H_2}} = 2,7$ , II —  $\varepsilon_{H_2} = 14,5$ ;  $k_{O_{H_2}} = 3,7 \cdot 10^5$ ;  $\varepsilon_{H_2}/\lg k_{O_{H_2}} = 2,6$

ис. 6. Разложение изопропилового спирта образце 2b: I —  $\varepsilon_{H_2} = 9,5$ ;  $k_{O_{H_2}} = 9,6 \cdot 10^8$ ;  $\varepsilon_{H_2}/\lg k_{O_{H_2}} = 2,4$ ; II —  $\varepsilon_{H_2O} = 23,1$ ;  $k_{O_{H_2O}} = 4,2 \cdot 10^8$ ;  $\varepsilon_{H_2O}/\lg k_{O_{H_2O}} = 2,7$

ис. 7. Разложение изопропилового спирта образце 2a: I —  $\varepsilon_{H_2} = 10,3$ ;  $k_{O_{H_2}} = 0,2 \cdot 10^6$ ;  $\varepsilon_{H_2}/\lg k_{O_{H_2}} = 2,4$ ; II —  $\varepsilon_{H_2O} = 24,3$ ;  $k_{O_{H_2O}} = 0,9 \cdot 10^9$ ;  $\varepsilon_{H_2O}/\lg k_{O_{H_2O}} = 2,7$

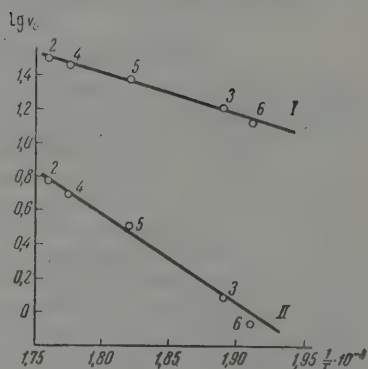


Рис. 7

3. Определение тепловых эффектов, наблюдаемых на образцах окиси хрома в момент пуска изопропилового спирта. Процессы дегидрогенизации и дегидратации спиртов являются процессами эндотермическими. Однако в момент пуска изопропилового спирта на окись хрома происходит сильное разогревание, затем температура снижается, и наблюдается обратный эндотермический эффект. Подобное выделение тепла в первый момент реакции, по-видимому, объясняется гидратацией поверхности [1].

Величины тепловых эффектов, оцененные методом дифференциальной термопары, одинаковые у образцов 1a, 2a и 2b ( $\sim 22^\circ$ ) и отличаются от величины этого эффекта у образца 1b ( $\sim 11^\circ$ ) (рис. 9).

4. Инактивация каждого из полученных образцов окиси хрома водой. В отношении дегидрогенизации циклогексана. Окись хрома является активным катализатором дегидрогенизации циклогексана. Однако после опыта с изопропиловым спиртом активность ее резко падает. Это объясняется взаимодействием воды, выделяющейся при разложении спирта, с поверхностью катализатора. Это взаимодействие оказывается достаточно сильным, так как регенерация в токе азота или водорода при  $500^\circ$  в течение 4 час. активности не восстанавливает. Для примера в табл. 2 приведены опыты по инактивации образца 2a. Для образцов 1a, 1b и 2b получены аналогичные результаты.

Опыты с парами воды, проведенными между опытами с циклогексаном, также приводят к отравлению катализатора.

Таблица 2

Реакция *	Темп. реакции, °С	$v_{\text{H}_2}$ , мл/мин	$v_{\text{H}_2\text{O}}$ , мл/мин	% непред.
Дегидрогенизация циклогексана	380	17,5	—	—
Разложение изопропилового спирта	290	9,3	1,6	14,8
Дегидрогенизация циклогексана	377	3,6	—	—
Разложение изопропилового спирта	291	10,8	1,9	15,0
Дегидрогенизация циклогексана	382	4,8	—	—

\* Между опытами проводилась регенерация катализатора в токе азота при 500° в течение 2 час.

5. Определение величин магнитной восприимчивости изученных образцов и их рентгеноструктурный анализ \*. Измерение магнитной восприимчивости образцов [12], проведенное при 20° и напряженности поля  $H = 2000$  э, дало следующие результаты:

Образец 1а  $\chi = 22,0 \cdot 10^{-6}$ ; образец 1б  $\chi = 96,6 \cdot 10^{-6}$ .

Образец 2а  $\chi = 21,0 \cdot 10^{-6}$ ; образец 2б  $\chi = 21,0 \cdot 10^{-6}$ .

Была исследована зависимость  $\chi$  от  $H$ , причем выяснилось, что образцы 1а, 2а и 2б являются типичными антиферромагнетиками, то образец 1б обладает ярко выраженными ферромагнитными свойствами.

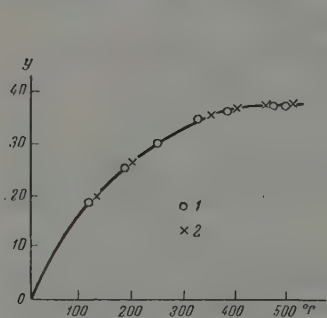


Рис. 8

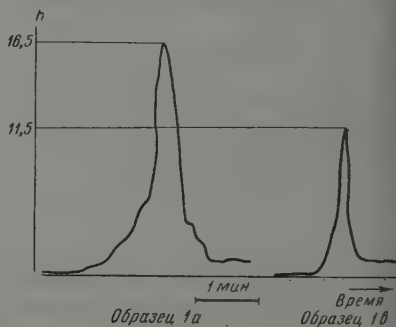


Рис. 9

Рис. 8. Изменение веса гидроокиси хрома с температурой при разложении ее: 1 — в токе азота и 2 — в токе водорода

Рис. 9. Тепловые эффекты, записанные методом дифференциальной термпары, наблюдаемые в момент соприкосновения паров изопропилового спирта с поверхностью образцов окиси хрома

Рентгенограммы образцов, обработанных в токе азота или водорода, оказались совершенно тождественными и соответствуют  $\alpha\text{-Cr}_2\text{O}_3$ .

6. Инактивация образца 1б азотом (табл. 3) в отношении дегидрогенизации циклогексана. Образец 1б, активный катализатор дегидрогенизации циклогексана, в результате 10-часовой обработки азотом при 500° полностью терял свою активность. Последующая обработка водородом при этой же температуре приводила к некоторому увеличению активности, однако полностью восстановить ее исходное значение не удалось. При этом происходила десорбция азота с поверхности катализатора в виде аммиака, что подтвердила качественная проба с фенолфталеином. Образцы 1а и 2а ины нены к обработке азотом в этой реакции, активность образца 2б снижает

\* Авторы выражают благодарность А. А. Слинкину за проведение магнитных измерений и участие в обсуждении полученных результатов.



Таблица 3

Инактивация образца 1b азотом в отношении дегидрогенизации циклогексана

Условия обработки катализатора	Темп. реакции	$v_{\text{H}_2}$ , мл/мин	$\chi \cdot 10^{-4}$
Исходный образец	382	20,0	96,6
$\text{H}_2$ , 500°, 2 часа	386	21,5	96,6
$\text{N}_2$ , 500°, 10 час.	396	0	51,0
$\text{H}_2$ , 500°, 9 час.	390	16,1	91,0

о весьма незначительно. В реакции разложения изопропилового спирта и один из изученных образцов в результате обработки азотом своей активности не изменил.

7. Изучение разложения гидроокиси хрома при помощи гравиметрического метода. Для того чтобы оценить скорость дегидратации гидроокиси хрома в токе азота и в токе водорода, были поставлены опыты со взвешиванием на пружинных весах Мак-Бена. Как видно из рис. 8, разложение в обоих случаях протекает практически с одинаковой скоростью.

### Обсуждение результатов

О возможности поверхностного восстановления окиси хрома. Из сопоставления активности образцов 2a и б (полученных из азотнокислого хрома марки «ч. д. а.») следует, что на образце, обработанном водородом, скорость дегидрогенизации циклогексана в 1,5 раза больше, чем на образце, обработанном азотом, скорость дегидратации изопропилового спирта также увеличивается приблизительно в 1,5 раза, скорость дегидрогенизации остается при этом постоянной. Одновременно с этим происходит повышение содержания непредельных следоводородов в газообразных продуктах реакции, полученных при разложении изопропилового спирта, на 24% по сравнению с количеством непредельных, образующихся на невосстановленной окиси хрома. Однако величины энергий активации изученных реакций и величины энергий связи атомов H, C и O с поверхностью каждого из образцов весьма близки между собой (см. табл. 1).

Различие в активностях образцов, обработанных в токе азота и в токе водорода, не может быть объяснено существованием двух типов окиси хрома — рентгеноаморфной и кристаллической. Известно, что температура самораскалывания зависит от атмосферы газа, в которой производилось безжизненное образце, и от скорости нагрева. Так, например, для окиси хрома при способе приготовления, близком к нашему, температура самораскалывания образца, обработанного в токе азота при медленном нагреве, равна приблизительно 350° [13], образец, прогретый в водороде 1 час. при 400°, имеет температуру самораскалывания 410° [14]. Каталитические свойства аморфной и кристаллической окиси хрома сильно различаются. Для аморфного образца характерно высокое значение энергии активации дегидрогенизации циклогексана. Приводятся следующие значения:  $\epsilon_{\text{H}_2} = 33,4$  ккал/моль [14],  $\epsilon_{\text{H}_2} = 33,0$  ккал/моль [15].

Для кристаллических образцов окиси хрома, в зависимости от способа получения, энергия активации этой реакции находится в пределах 8,0—19,2 ккал/моль [14]. В нашем случае способ приготовления катализаторов таков, что и в токе водорода, и в токе азота должны быть получены кристаллические образцы. Это подтверждено рентгеноструктурным анализом. Таким образом различие каталитических свойств образцов 2a и б не связано с изменением структуры массивной окиси хрома.

Различие в свойствах образцов не может быть объяснено также различной интенсивностью дегидратации гидроокиси хрома в присутствии раз-

личных газов, как это предполагается в работе [14]. Изучение разложения образцов окиси хрома при помощи термогравиметрического метода показало, что в наших условиях разложение в токе азота и в токе водорода протекает практически с одинаковой скоростью. Эти опыты свидетельствуют также об отсутствии заметного восстановления окиси хрома при 500°C. Определение удельной поверхности восстановленного образца объемным методом по адсорбции метилового спирта при 25° дало  $S = 56 \text{ м}^2/\text{г}$ . Расчет показывает, что восстановление монослоя поверхности сопровождается столь малым изменением в весе, что уловить его при помощи весового метода не представляется возможным.

На вероятность поверхности восстановления окиси хрома указывается в работах [2—5, 16—18]. При этом, по-видимому, не происходит образования новой фазы, а имеет место частичное удаление ионов О<sub>2</sub> с поверхности катализатора, что приводит к увеличению числа дефектов (типа *F*-центров), как это было рассмотрено в нашей предыдущей работе [19]. Увеличение числа подобных дефектов сопровождается одновременным изменением электропроводности и каталитической активности. Действительно, как показано в работах, обработка окиси хрома водородом приводит к переходу ее из *p*-типа проводимости в *n*-тип [2], причем предполагается, что хемосорбция водорода протекает на тех же активных центрах, которые ответственны за электропроводность [16]. Отмечается также, что восстановленная часть поверхности, по-видимому, и является той поверхностью, на которой протекает дегидрогенизация углеводородов [17].

О влиянии микропримесей на каталитические свойства окиси хрома. Известно, что окись хрома диамагнитна, ее магнитная восприимчивость  $\chi = 18\text{--}22 \cdot 10^{-6}$  [20]. В другой работе для образцов окиси хрома, различными способами приготовленных, приводятся значения  $\chi = 23,6\text{--}25,9 \cdot 10^{-6}$  [21]. Высказано предположение, что небольшие различия в величинах обусловлены не способом приготовления, а наличием загрязнений, главным образом, небольших количеств хемисорбированных газов. Из ферромагнитных соединений окиси хрома известны: кристаллическая двуокись хрома  $\text{CrO}_2$  с  $\chi = 6,0 \cdot 10^{-1}$  и моноксид хрома  $\text{Cr}^{3+}(\text{Cr}^{6+}\text{O}_4)_3$  с  $\chi = 3,5 \cdot 10^{-1}$  [14].

В работе [20а] авторам удалось получить ферромагнитное соединение окиси хрома с  $\chi = 59 \cdot 10^{-6}$  при ее обработке водородом при 800—1000°C. Как показано в настоящей работе, образцы окиси хрома 1а и 1б, полученные из азотнокислого хрома марки «чистый», в результате обработки азотом или водородом имеют различные значения магнитной восприимчивости. Если для первого  $\chi = 22,0 \cdot 10^{-6}$ , то для второго  $\chi = 96,6 \cdot 10^{-6}$ . Увеличение магнитной восприимчивости почти в 4,5 раза не может быть связано с восстановлением окиси хрома, так как образцы катализатора, приготовленные из азотнокислого хрома «ч. д. а.», не показали какого-либо изменения в  $\chi$  при обработке в азоте или водороде. Следовательно, объяснение в наблюдаемом различии магнитной восприимчивости следует искать в наличии микропримеси, которая при обработке различными газами может быть в различном валентном состоянии и обладать различными свойствами.

В нашем случае возможной микропримесью может быть железо, которое в невосстановленном образце должно содержаться в виде  $\alpha$ - $\text{Fe}_2\text{O}_3$  [22], так как образец 1а является типичным антиферромагнетиком, а в восстановленной окиси в виде ферромагнитных  $\text{Fe}_3\text{O}_4$  или Fe. Действительный химический анализ на железо рабочих образцов окиси хрома показал наличие 0,0795% железа. При этом, очевидно, восстановление протекает до металлического железа, так как восприимчивость образца после опытов с циклогексаном или после обработки его атомарным водородом практически не менялась и оставалась равной  $\chi = 101 \cdot 10^{-6}$ . Следовательно, изменение магнитной восприимчивости данных образцов окиси хрома при

обработке ее водородом при  $500^{\circ}$  связано с восстановлением антиферромагнетика  $\alpha\text{-Fe}_2\text{O}_3$  в ферромагнитное металлическое железо.

Наряду с этим имеет место также изменение каталитических свойств образцов. Из табл. 1 следует, что наличие железа в восстановленном образце окиси хрома (образец 1b) не изменяет кинетики дегидрогенизации циклогексана, наличие  $\alpha\text{-Fe}_2\text{O}_3$  в невосстановленном образце (образец 1a) приводит к значительному уменьшению скорости реакции и увеличению энергии активации с 15,8 до 26,7 ккал/моль.

В случае разложения изопропилового спирта на окиси хрома, обработанной водородом и содержащей железо (образец 1b), происходит увеличение количества непредельных углеводородов в газообразных продуктах реакции на 16—75% в зависимости от температуры по сравнению с образцом 2b. Одновременно с этим имеет место резкое увеличение энергий активации  $\epsilon_{\text{H}_2}$  и  $\epsilon_{\text{H}_2\text{O}}$ . Энергия активации дегидрогенизации спирта увеличивается с 9,5 до 21,3 ккал/моль, а энергия активации дегидратации с 23,1 до 27,1 ккал/моль. На сси хрома, обработанной азотом и содержащей  $\alpha\text{-Fe}_2\text{O}_3$ , также наблюдается увеличение количества непредельных, увеличение энергии активации дегидрогенизации спирта с 10,3 до 14,5 ккал/моль и уменьшение энергии активации дегидратации с 24,3 до 20,3 ккал/моль, по сравнению с образцом 2a.

Как отмечалось выше, азот не является инертным газом для образца b в отношении дегидрогенизации циклогексана. Так, 10 часовая обработка азотом при  $500^{\circ}$  приводит к полной инактивации образца. Отравление катализатора, по-видимому, связано с хемосорбцией азота атомами железа, расположенными на поверхности образца и являющимися основной частью активного центра, на котором протекает дегидрогенизация углеводорода. Это подтверждается также различием в величинах тепловых эффектов, наблюдаемых на окиси хрома в момент пуска изопропилового спирта. Так, на образцах 1a, 2a и 2b величины тепловых эффектов одинаковы, в то время как на образце 1b, содержащем железо, эта величина приблизительно вдвое меньше.

## Выводы

1. Показано, что обработка окиси хрома водородом приводит к восстановлению ее поверхностного слоя. Восстановление сопровождается изменением каталитической активности и селективности действия образцов в реакциях дегидрогенизации и дегидратации изопропилового спирта и дегидрогенизации циклогексана. Найденные энергии активации изученных реакций и энергии связи водорода, углерода и кислорода с поверхностью образцов, обработанных в токе азота или водорода, остаются без изменения.

2. Восстановление поверхностного слоя окиси хрома не сопровождается изменением магнитной восприимчивости ( $\chi = 21,0 \cdot 10^{-6}$ ). Различия в этих величинах, которые наблюдаются в отдельных случаях, обусловлены наличием микропримесей.

Академия наук СССР  
Институт органической химии  
им. Н. Д. Зелинского

Поступила  
30.VIII.1958

## ЛИТЕРАТУРА

- Bull. Bur. Mines (USA), № 436, 1942; J. Iron and Steel Inst. Japan, 160, 261, 1948.  
P. B. Weisz, C. D. Prater, K. D. Rittehouse, J. Chem. Phys., 21, 2236, 1953.  
S. E. Voltz, S. Weller, J. Amer. Chem. Soc., 75, 5227, 1953.  
S. E. Voltz, S. Weller, J. Amer. Chem. Soc., 75, 5231, 1953.  
S. Weller, S. E. Voltz, J. Amer. Chem. Soc., 76, 4695, 1954.  
Л. С. Альтман, А. В. Фрост, Химия твердого топлива, 8, 490, 1937

7. А. А. Баладин, Ж. общ. химии, **13**, 793, 1946.
8. А. М. Левит, Л. Х. Фрейдлих, Заводск. лаборатория, **16**, 244, 1953.
9. Бауэр, Анализ органических соединений, 1953, стр. 207.
10. В. Н. Кондратьев, Успехи химии, **26**, 861, 1957.
11. Л. М. Роев, А. Н. Теренин, Докл. АН СССР, **124**, 373, 1959.
12. А. М. Рубинштейн, А. А. Слинкин, Изв. АН СССР, Отд. хим. н., № 9, 1054, 1958.
13. Y. Turkevich, H. Fehrer, H. Taylor, J. Amer. Chem. Soc., **63**, 112, 1941.
14. Т. В. Роде, Докт. диссертация, ИОНХ АН СССР, М., 1957.
15. В. Л. Молдавский, Г. Д. Камушер, Г. Лившиц, Ж. общ. химии, **7**, 131, 1937.
16. R. Chaplin, P. R. Chapman, R. H. Griffith, Nature, **172**, 77, 1953.
17. E. J. Dickinson, Trans. Faraday Soc., **40**, 70, 1944.
18. W. E. Garner, F. E. T. Kingman, Nature, **126**, 352, 1930.
19. А. А. Баладин, И. Д. Рождественская, Ж. физ. химии, **34**, 87, 1960.
20. а) W. H. Albrecht, E. Wedekind, Z. anorgan. und allgem. Chem. **210**, 105, 1933; б) Y. Turkevich, J. Chem. Phys., **12**, 345, 1944.
21. S. S. Bhatnagar, A. Cameron, E. H. Harbard, P. L. Kapur, A. King, B. Prakash, J. Chem. Soc., 1433, 1939.
22. S. R. Eldo, A. B. Scott, J. Amer. Chem. Soc., **79**, 5385, 1957.

## EFFECT OF SURFACE REDUCTION OF CHROMIUM OXIDE ON ITS CATALYTIC PROPERTIES<sub>2</sub>

*A. A. Balandin and I. D. Rozhdestvenskaya (Moscow)*

### Summary

It is found that the prolonged treatment of chromium oxide with hydrogen at 500° leads to reduction of the surface layer. The reduction is accompanied by varying catalytic activity and specificity with respect to the decomposition of isopropyl alcohol and dehydrogenation of cyclohexane.

The activation energies of these reactions and bond energies of hydrogen-carbon and oxygen with the surface of specimens treated with hydrogen or nitrogen were found to be similar.

The reduction of the surface layer of chromium oxide is not accompanied by changes in the magnetic susceptibility ( $\chi = 21,0 \cdot 10^{-3}$ ). The variations in these values, observed in some cases, are due to the presence of impurities.



ИССЛЕДОВАНИЕ КОНТАКТНЫХ РАЗНОСТЕЙ ПОТЕНЦИАЛОВ  
МЕЖДУ Sn И СПЛАВАМИ Sn—Te И ЭЛЕКТРОКАПИЛЛЯРНЫХ  
ЯВЛЕНИЙ НА СПЛАВАХ Sn—Te

*В. А. Кузнецов, М. И. Клевцова, Л. С. Загайнова,  
Л. С. Вайнтрауб и Т. А. Коробова*

А. Н. Фрумкин на основании исследования электрокапиллярных явлений на амальгамах таллия [1] указал, что разность потенциалов между металлами, находящимися в точках нулевых зарядов, по своей природе аналогична, а по величине близка к контактной разности потенциалов между теми же металлами в вакууме. Это указание дало ключ к решению так называемой проблемы Вольта, т. е. вопроса об источнике электродвижущей силы гальванического элемента. Со стороны электрохимиков предпринимались неоднократные попытки экспериментальной проверки положения А. Н. Фрумкина [1].

Так, С. В. Карпачев и А. Г. Стромберг [2] измерили контактную разность потенциалов между ртутью и 12%-ной амальгамой таллия и показали, что она близка к разности потенциалов нулевых зарядов ртути и амальгамы. Точное совпадение контактной разности с разностью потенциалов нулевого заряда, в соответствии с представлениями А. И. Фрумкина, не обязательно. При определении потенциалов нулевого заряда металлы находятся в контакте с электролитом. Этот контакт приводит к адсорбции растворителя на поверхности металла и к некоторому смещению потенциала нулевого заряда металла. Адсорбционные эффекты на разных металлах могут быть разными, вследствие чего вызываемое адсорбцией растворителя смещение потенциала нулевого заряда одного металла не будет полностью компенсировано аналогичным процессом для другого металла. Поэтому следует ожидать близкого соответствия контактных разностей и разностей потенциалов нулевого заряда, но не точного их равенства.

О. Чалтыкян и М. Проскурнин [3] провели определение контактной разности потенциалов между ртутью и разбавленными амальгамами натрия. Они нашли, что контактная разность сильно растет в области малых концентраций натрия в амальгаме (от 0 до 0,0033 вес. %), а затем меняется незначительно. Недавно В. А. Смирнов и Л. И. Антропов [4] получили аналогичную зависимость для потенциалов нулевого заряда амальгам натрия в растворе NaOH. Однако смещения этих потенциалов амальгам оказались больше (на 0,4—0,5 V), чем соответствующие контактные разности потенциалов. Эту разницу вряд ли можно приписать отмеченным выше адсорбционным эффектам, так как концентрация амальгам мала.

Рассматривая аналогично между контактной разностью потенциалов и разностью потенциалов нулевого заряда металлов, чаще всего имеют в виду работу С. В. Карпачева и М. В. Смирнова [5]. В этой работе показано, что контактная разность потенциалов между Sn и Pb, Bi и Tl, Sn и Tl действительно близка к разности потенциалов нулевого заряда этих же пар металлов. Однако необходимо учитывать следующее: измерения контактных разностей потенциалов в работе [5], в отличие от работ [2] и [3], производились на покоящихся металлах. Между тем известно [6, 7], что при остаточном давлении порядка  $10^{-6}$  мм рт. ст. на необновляемой поверхности мономолекулярный слой химически активного газа, например кислорода, образуется за несколько секунд. Можно поэтому предполагать, что полученные авторами [5] значения контактных разностей потенциалов относятся не к чистым поверхностям металлов, а к поверхностям, покрытым адсорбированными газами, в том числе и кислородом, сильное влияние которого на работу выхода общеизвестно [8]. Такой вывод подтверждается и тем, что авторы не наблюдали изменения контактных разностей потенциалов при повышении давления от  $10^{-6}$  до  $10^{-3}$  мм рт. ст.

Конструкция прибора была такова, что жидкие расплавленные металлы находились в непосредственной близости друг к другу и, поскольку при температуре опыта не имеют заметную упругость пара, не была исключена возможность загрязнения одного металла другим.

В связи с неодинаковой геометрией анодов авторы [5] производили пересчеты характеристик диода. Эти пересчеты, по-видимому, давали определенную ошибку. Известно [8], что при разной геометрии анодов для получения величины контактной разности потенциалов можно применить метод экстраполяции характеристик до нулевого значения тока. Если воспользоваться этим методом и определить по первоначальным данным авторов контактные разности потенциалов, то они будут отличаться от тех, которые получены авторами путем пересчета характеристик диода.

Из сказанного следует, что вполне надежного экспериментального материала, подтверждающего приведенное выше предположение А. Н. Фрумкина, имеется еще немного\*. Поэтому получение такого материала представляет несомненный интерес. В связи с этим нами было предпринято исследование контактных разностей потенциалов между Sn и сплавами Sn — Te и электрокапиллярных явлений на сплавах Sn — Te. Выбор сплавов Sn — Te как объектов исследования был обусловлен следующими обстоятельствами. Хотя растворимость теллура в олове при  $450^\circ$  невелика (не превышает 0,7% [10]) и, следовательно, изучить сравнительно концентрированные по теллуру сплавы не представлялось возможным, резкое отличие теллура от олова как по величине поверхностного натяжения, так и по положению потенциалов нулевого заряда давало основание предполагать, что теллур будет поверхностно-активным по отношению к олову, и контактная разность потенциалов между Sn и сплавами Sn — Te будет заметной даже при небольших концентрациях теллура в сплавах. Измерения производились при  $450^\circ$ .

### Экспериментальная часть

**Р е а к т и в ы.** Олово было получено путем зонной перекристаллизации олова выпускаемого Свердловским реактивным заводом. Исходный образец был подвергнут 25 зонным перекристаллизациям. По окончании перекристаллизации производился спектральный анализ металла, взятого из разных мест по длине слитка. Анализ показал, что в средней части слитка не было никаких загрязнений. Эта часть слитка была вырезана, переплавлена в вакууме и использовалась в исследованиях. Теллур получался путем двукратной возгонки технического теллура. Хлориды лития и калия из которых готовился электролит для исследования электрокапиллярных явлений, были перекристаллизованы несколько раз из бидистиллированной воды, высушены и сплавлены сначала отдельно, затем совместно в пропорциях, отвечающих эвтектическому составу.

**А п п а р а т у р а\*\*.** Для определения контактной разности потенциалов между Sn и сплавами Sn — Te был использован метод смещения характеристик диода. Учитывая приведенные выше замечания по методике эксперимента, мы решили:

1. Отказаться от применения покоящихся металлов и проводить опыты так, чтобы обеспечивалось непрерывное обновление поверхности металла. Последнее достиглось тем, что в качестве анода использовалась струя металла, вытекающая из капилляра. Расчеты показали, что в этом случае при давлении  $10^{-6}$  мм рт. ст. адсорбированными газами покроеется лишь весьма малая часть поверхности металла (1–2%).
2. Удалить остатки кислорода из аппаратуры путем многократной промывки водородом и откачки после каждой промывки.
3. Предотвратить загрязнение основного металла металлом, идущим на образование сплава. С этой целью последний вводился в прибор в запаянной ампуле, которая разбивалась лишь после снятия характеристики для основного металла.

Прибор для измерений контактной разности потенциалов изображен на рис. Он изготовлялся из молибденового стекла и по своей конструкции аналогичен прибору О. Чалтыкина и М. Проскурнина [3], но имел, в сравнении с указанным прибором, существенные изменения, вызванные условиями проведения опыта при повышенных температурах.

Основная рабочая часть прибора состоит из баллонов 1 и 2, соединенных друг с другом посредством капилляра 3 и трубки 4. В баллон 1 впаивались электрод молибденовый цилиндр диаметром около 13 мм и длиной 15 мм и две вольфрамовые нити накала диаметром 0,12 мм и длиной около 20 мм. К баллону 1 припаивался резервуар 5, в который сливался металл после окончания измерений. Подвод тока к струе металла осуществлялся молибденовой проволокой 6, впаянной в распирение н

\* В литературе есть много данных о работах выхода электронов для твердых металлов, из которых могут быть рассчитаны контактные разности потенциалов. Однако надежность этих данных также весьма невелика, что подтверждается, например, сравнением результатов, приводимых в [8, 9].

\*\* Аппаратура и методика снятия электрокапиллярных кривых см. [11].

илляром. Выходное отверстие в баллоне 2 закрывалось стеклянной пробкой, припаянной к стержню 7, в верхней части которого был впаиван железный стержень. Это отверстие открывалось при помощи электромагнита 8. В верхнюю часть баллона 2 по прибору впаивалась трубка 9, в которой находился стержень 7. К этой трубке припаивались трубки 10, 11 и 12. Первая соединяла баллон 2 с устройством, в котором находилась ампула 13 с металлом, необходимым для образования сплава, вторая — ловушкой 14 для жидкого азота, третья — с вакуумной установкой. К баллону 2 в верхней передней части припаивалась трубка 15, соединяющая его с резервуаром основного металла 16.

Подготовка опыта и проведение измерений. В тщательно вытравленный и высушенный прибор прежде всего вводилась ампула 13 и устройство для плавки в своей верхней части запаивалось. Цилиндрическим хомутиком, надеваемым на трубку 11, прибор прикреплялся к крышке печи; снятие крышки показано на рис. 1 пунктирными линиями. В крышке имелись три отверстия, через которые выводились трубки 2 и 15. К трубке 15 поверх крышки припаивался резервуар 16, он соединялся с ней капиллярами для отфильтровывания расплавленного металла от механических загрязнений. К трубке 11 припаивалась ловушка 14 для жидкого азота, а трубка 12 изгибалась поверх крышки так, чтобы ее верхний конец принял горизонтальное положение, как показано на рисунке. На горизонтальном участке трубки делалась перетяжка 17, по которой проходила потом отпайка прибора от вакуумной установки. Резервуар 16 заполнялся определенным количеством Sn и запаивался. Вода для подвода тока к прибору пропущивалась через отверстия в крышке печи и заливалась на панели, расположенной на крышке. После этого прибор устанавливался вращающейся печи так, что левая его часть, в которой находилась ампула 13, немного поворачивалась относительно вертикальной оси и располагалась за плоскостью крышки, крышка скреплялась с корпусом печи, на перетяжку 17 и резервуар 16 надевались маленькие нагревательные печи и прибор припаивался к вакуумной установке. Вакуумная установка состояла из форвакуумного насоса ВН-461М и паромасляного диффузионного насоса ММ-40А. Для измерений предварительного разрежения применялся термомпарный вакуумметр ВТ-2, а основной — пенизационный — ВИ-3.

Когда в приборе достигалось давление  $10^{-6}$  мм рт. ст., откачка прекращалась, и прибор и вакуумная система закрывались водородом. Затем откачка возобновлялась и по достижении давления  $10^{-5}$  мм рт. ст. производилось новое заполнение водородом. Эти операции повторялись 3—4 раза. Водород получался электролизом и после обычной химической очистки и сушки пропускаться через ловушку жидким азотом. Затем, продолжая откачку и заполнение системы водородом, приносили к нагреву прибора. Температура в печи повышалась до  $200-250^{\circ}$ ; одновременно прогрелся металл в резервуаре 16 и место будущей отпайки прибора от установки. Спустя некоторое время нагрев прибора и металла в резервуаре 16 прекращали, температура в печи снижалась до  $60-70^{\circ}$ . Система заполнялась водородом, откачивалась, а прибор снова нагревался до  $250^{\circ}$ . Такие периодические нагревы и охлаждения, как указывает Дэшман [6], способствуют лучшему удалению паров воды, адсорбированных стеклом. Нагрев и последующее охлаждение повторялись 3—4 раза. За промывание прибора и системы водородом заканчивалось, трубка с вакуумным насосом, по которой подавался водород, отпаивалась от вакуумной установки.

После этого проводилось обезгаживание молибденового цилиндра путем электрической бомбардировки. Через нить накала пропусклся ток силой 2,75—2,8 А, между нитью и цилиндром создавалось напряжение 700—750 В. Нить работала в условиях сильного перегрева, и ток эмиссии достигал постепенно 40—45 мА. Уже при токе 30 мА цилиндр начинал светиться, а повышение его до 40—45 мА приводило к тому, что свечение цилиндра становилось красно-белым. Обезгаживание продолжалось.

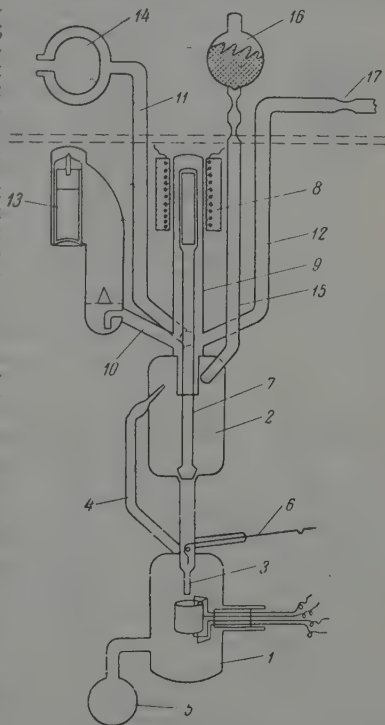


Рис. 1. Прибор для измерения контактной разности потенциалов



лось обычно 1,5—2 часа. Затем при непрерывной откачке прибор нагревался до температуры 450°. Выдержав его при этой температуре несколько часов так, чтобы давление понизилось до  $1-2 \cdot 10^{-6}$  мм рт. ст., начинали окончательный разогрев и расплавление олова в резервуаре 16. Постепенно, все время наблюдая за давлением в системе, производили расплавление олова, которое по трубке 15 перетекало в баллон 2. Резервуар 16 отпайвался от прибора на уровне крышки. Расплавление металла все же сколько повышало давление в системе. Поэтому последующая подготовка опыта кипчалаась в непрерывной откачке прибора до тех пор, пока давление не снижалось до  $1-2 \cdot 10^{-6}$  мм рт. ст. На это требовалось около 60—70 час. непрерывной работы.

В это время тщательно прогревалась трубка, соединяющая прибор с вакуумной установкой и особенно место перетяжки.

За 1,5—2 часа до измерений включался ток силой 2 А и нить накала разогревалась. Ток эмиссии, несколько возрастая, быстро достигал постоянной величины. Установление постоянного тока эмиссии за сравнительно короткий период объясняется интенсивным прогревом и обезгаживанием нити во время электрической бомбардировки. Затем, вливая жидкий азот в ловушку 14, месту перетяжки 17 отпайвали прибор от вакуумной установки узким пламенем паяльной горелки. Ток эмиссии при этом замедленно не менялся\*. После отпайки прибора начинались измерения, т. е. снимались характеристики диода сначала для Sn, а затем сплава Sn — Te.

Электрическая схема измерений была аналогична той, которая использовалась в работе [3]. На молибденовый цилиндр давалось напряжение 7,5 В по отношению к нити накала. Напряжение, как показали предварительные опыты, соответствует зоне токов насыщения. При помощи электромагнита открывалось выходное отверстие в баллоне 2, и олово начинало вытекать через катилляр. На вытекающую струйку металла от потенциометрической схемы подавались положительные по отношению к нити накала напряжения от 3 до 5,5 В через 0,25 В. Ток эмиссии диода: нить накала (катод) — струйка Sn (анод) измерялся зеркальным гальванометром с периодом колебаний 1,5 сек. За время протекания металла из баллона 1 в баллон 2 обычно производилось одно измерение силы эмиссионного тока. Затем напряжение, подаваемое на струйку, увеличивалось, печь вместе с прибором поворачивалась вокруг горизонтальной оси на угол, близкий к 180°. Металл из баллона 1 по трубке 4 возвращался в баллон 2. После этого печь устанавливалась в исходное положение, и производилось новое измерение. Таким образом снималась характеристика диода во всей интересующей нас области напряжений. За измерения повторялись. Если повторные измерения хорошо совпадали с первоначальными, разбивалась ампула со сплавом Sn — Te.

Для этого прибор вместе с крышкой поворачивался в печи вокруг вертикальной оси примерно на 90° так, что устройство, в котором находилась ампула, оказывалось спереди от плоскости чертежа. При повороте печи вокруг горизонтальной оси на угол, немного превышающий 90°, ампула выскальзывала из своего гнезда и при возвращении печи в исходное положение ударялась углублением в боковину и разбивалась. Сплав по трубке 10 перетекал в баллон 2 и смешивался с оловом. После этого снималась характеристика диода: нить накала (катод) — сплав Sn — Te (анод) описанным выше способом.

В течение всего опыта показания миллиамперметра М-82, включенного в цепь нити накала — цилиндр, оставались постоянными, что указывало на постоянство тока эмиссии. Для устранения посторонних помех корпус печи и один из выводов зеркального гальванометра заземлялись. Температура в печи контролировалась хромом-алюмелевой термопарой и регулировалась контактным гальванометром.

По окончании измерений прибор извлекался из печи, металл из 1 переливался в 5 и здесь застывал. От остывшего прибора резервуар 5 отрезался, и отбирались пробы металла для анализа на содержание Te. Другая часть металла использовалась для снятия электрокапиллярных кривых. По полученным результатам строились характеристики диода, в котором в качестве анода один раз было олово, а второй раз сплав Sn — Te. Сдвиг характеристик по оси напряжений, как известно [8], дает

\* В первоначальных опытах длительный прогрев места отпайки не проводился, а ловушка 14 для жидкого азота отсутствовала. В этом случае при приближении к месту отпайки прибора ток эмиссии падал практически до нуля и восстанавливался с большим трудом. Длительный прогрев места отпайки, но без присоединения к прибору ловушки для жидкого азота также не обеспечивал поддержания постоянного тока эмиссии. В ходе работы мы многократно убеждались в справедливости утверждения о том [6], что постоянство эмиссии вольфрамового катода является чувствительнейшим индикатором степени разрежения в системе.



Рис. 2. Ампула с приспособлением для ее заполнения



исходящее из значения контактной разности потенциалов между Sn и сплавом — Te.

В заключение описания экспериментальной части остановимся на устройстве ампулы и подготовке ее к эксперименту. Ампула с приспособлением для ее заполнения изображена на рис. 2. Собственно ампула 1 состояла из внешнего 2 и внутреннего 3 стаканов и направляющей трубки 4. Необходимость применения двухстенных ампул была тем, что одностенные ампулы при застывании металла обычно растрескивались. В дне обоих стаканов делались углубления с очень тонкими стенками, чтобы избежать разрушение ампулы при ударе о боек. Ампула капиллярами 5 соединялась с сосудом 6, в который загружался исходный сплав Sn — Te. Для подготовки к опыту ампула вместе с устройством для ее заполнения погружалась в печь примерно до уровня припаивалась к вакуумной установке и подвергалась тщательной термовакuumной обработке. Она многократно промывалась водом, откачивалась и несколько раз нагревалась до температуры  $450^\circ$ . После этого на сосуд 6 ставилась маленькая нагревательная печь, сплав медленно расплавлялся и перетекал через капилляры и направляющую трубку 4 во внутренний стакан ампулы. Откачка ампулы продолжалась до тех пор, пока давление в системе не снижалось до  $2-3 \cdot 10^{-6}$  мм рт. ст. Правда, при этом из сплава улетучивалось заметное количество Te, что затрудняло получение более контролируемых по теллуру сплавов. Ампула 7 отпаивалась от вакуумной установки, извлекалась из печи и осторожно охлаждалась.

**Результаты опытов.** Результаты определений контактной разности потенциалов между Sn и сплавами Sn — Te, содержащими 0,02 и 0,15 вес. % Te, представлены на рис. 3 и 4. Как видно из этих рисунков, соответствующие контактные разности потенциалов равны 0,07 и 5 В.

Характеристики диода, в котором в качестве анода был сплав Sn — Te, сдвинуты в сторону более положительных потенциалов. Это указывает на то, что работа выхода электронов из сплавов выше, чем работа выхода

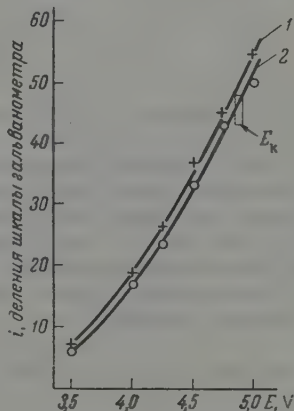


Рис. 3. Характеристики диода: 1 — анод — Sn; 2 — анод — сплав Sn — Te (концентрация Te — 0,02%)

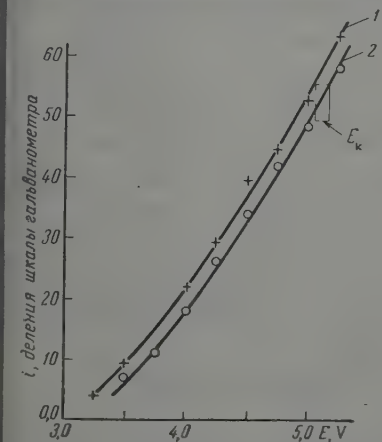


Рис. 4

Рис. 4. Характеристики диода: 1 — анод — Sn; 2 — анод — сплав Sn — Te (концентрация Te — 0,15%)

Рис. 5. Электрокапиллярные кривые: 1 — Sn; 2 — сплав Sn — Te (концентрация Te 0,02%); 3 — сплав Sn — Te (концентрация Te 0,15%)

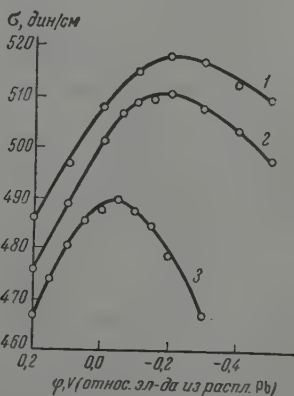


Рис. 5

из чистого Sn. Увеличение работы выхода, очевидно, связано с адсорпцией теллура в поверхностном слое сплава. Действительно, работа выхода электронов из Te примерно на 0,4 В выше таковой для Sn. Эти данные относятся к твердым металлам, но можно думать, что будут справедливы и для жидких металлов хотя бы качественно, т. е. в смысле расположения металлов в ряду по работам выхода.

Содержание Te, в сплаве, вес. %	Смещение потенц. нулев. заря- да, В	Контактные разности потенциалов, В
0,02	0,04	0,07
0,15	0,18	0,15

литом обогащен, в сравнении с его внутренними частями, теллуром. В связи с этим и потенциалы нулевых зарядов сплавов сдвинуты в положительную сторону. Величины их смещений близки к контактной разности потенциалов между Sn и соответствующими сплавами Sn — Te, что видно из следующего сопоставления (таблица).

В заключение авторы приносят глубокую благодарность акад. А. Фрумкину за неизменный интерес к работе и ценные советы и сотрудничество Института электрохимии АН СССР Н. А. Шурмовской за ряд указаний по методике эксперимента.

### Выводы

1. Измерены контактные разности потенциалов между Sn и сплавами Sn — Te.
2. Изучены электрокапиллярные явления на сплавах Sn — Te.
3. Показано, что разность потенциалов максимумов электрокапиллярных кривых Sn и сплавов Sn — Te близка к контактной разности потенциалов между Sn и соответствующими сплавами Sn — Te.

Уральский университет  
им. А. М. Горького

Поступила  
10.X.1958

### ЛИТЕРАТУРА

1. А. Фрумкин и А. Городецкая, Z. phys. Chem., A136, 451, 1928.
2. С. В. Карпачев и А. Г. Стромберг, Ж. физ. химии, 17, 1, 1943.
3. О. Чалтыкиани и М. Проскурнин, Acta phys., 4, 263, 1936.
4. В. А. Смирнов и Л. И. Антропов, Научн. тр. Новочеркасск. политехн. ин-та, 34, 48, 63, 1956.
5. С. В. Карпачев и М. В. Смирнов, Ж. физ. химии, 21, 1205, 1947.
6. С. Дешман, Научные основы вакуумной техники, ИИЛ, Москва, 1950.
7. D. Alpert, J. Appl. Phys., 24, 860, 1953.
8. Б. М. Царев, Контактная разность потенциалов, ГИТТЛ, Москва, 1955.
9. Справочник химика, 1, Госхимиздат, М.—Л., 1951.
10. М. Хансен, Структура бинарных сплавов. т. II, Изд-во цветн. и черн. металлург., М.—Л., 1941.
11. В. А. Кузнецов, Т. Д. Дьякова, В. П. Мальцева, Ж. физ. химии, 33, 1551, 1959.
12. В. А. Кузнецов, В. В. Ашпур, Г. С. Порошина, Докл. АН СССР, 101, 301, 1955.

### INVESTIGATION OF CONTACT POTENTIAL DIFFERENCES BETWEEN Sn AND Sn—Te ALLOYS AND OF ELECTROCAPILLARY PHENOMENA ON THE ALLOYS

V. A. Kuznetsov, M. P. Klevtsova, L. S. Zagainova,  
L. S. Vaintraub and T. A. Korobova (Sverdlovsk)

### Summary

The contact potential differences between Sn and Sn—Te alloys have been measured. A study has been made of the electrocapillary phenomena on the alloys. It has been shown that the potential difference between the peaks of the electrocapillary curves for Sn and Sn—Te is close to the contact potential difference between Sn and the corresponding Sn—Te alloys.

\* Примерно одинаковое поведение поверхностно-активных веществ как на поверхности в вакууме, так и на границе с электролитами в точках нулевых зарядов неоднократно отмечалось в литературе [11, 12].

О КАТОДНОЙ ПОЛЯРИЗАЦИИ ПРИ ЭЛЕКТРООСАЖДЕНИИ  
СПЛАВА МЕДЬ-НИКЕЛЬ

Н. В. Коровин

При исследовании электроосаждения сплава железо-никель [1] установлена деполяризация разряда ионов железа и торможение — сверхполяризация — разряда ионов никеля.

На основании анализа этой работы и литературы по электроосаждению сплавов высказано мнение, что, как правило, при совместном осаждении на катоде двух металлов имеет место торможение (сверхполяризация) разряда ионов более электроположительного металла, выделяющегося на катоде с большим перенапряжением и деполяризация разряда ионов более электроотрицательного металла, выделяющегося на катоде с меньшим перенапряжением. Для проверки этого правила предпринято изучение электроосаждения целого ряда сплавов.

В настоящей статье сообщаются результаты изучения катодной поляризации при совместном и раздельном осаждении на катоде меди и никеля из пиродифосфатных растворов.

## Экспериментальная часть

Электроосаждение сплава медь-никель и измерение потенциалов катода производились в растворах, содержащих комплексные ионы никеля и меди с пиродифосфатом и свободный пиродифосфат натрия. Комплексные соединения готовились из сульфатов никеля и меди осаждением в виде пиродифосфатов, отмывкой осадка от сульфат-ионов и последующим растворением в избытке пиродифосфата.

Электролиз проводился в стеклянных стаканах с рабочим объемом 250 мл. Для каждого опыта готовилась новая порция электролита. Стакан помещался в термостат, температура поддерживалась постоянной ( $60 \pm 1^\circ$ ) при помощи контактного термометра и ртутного реле.

Кривые потенциал — плотность тока измерялись прямым компенсационным методом. Катодам служил платиновый диск с покрываемой поверхностью  $0,026 \text{ дм}^2$ . Перед снятием кривых катод покрывался тем металлом, потенциал которого при осаждении определялся.

Стандартным был каломельный электрод с насыщенным раствором KCl.

Для проведения анализов сплава покрытие, осажденное на платину, растворялось в смеси  $\text{HNO}_3 + \text{H}_2\text{SO}_4$ . Медь определялась электроанализом в кислом растворе, после чего раствор доводился аммиаком до слабой щелочности, и никель определялся в этом растворе электроанализом. Таким же образом анализировались медь и никель в электролите, содержание пиродифосфата определялось титрованием кислотой с индикатором бромфенол синим.

**Результаты опытов.** Исследование производилось в двух электролитах. Раствор I содержал по  $0,175 \text{ г-экв/л}$  меди и никеля, т. е. имел отношение  $\text{Ni/Cu} = 1/1$ . Раствор II содержал  $0,3 \text{ г-экв/л}$  никеля и  $0,06 \text{ г-экв/л}$  меди, т. е. имел отношение  $\text{Ni/Cu} = 5/1$ . Оба раствора имели молярное отношение металл/ $\text{P}_2\text{O}_4^{4-} = 0,45$ ;  $\text{pH} = 8,5$ .

Предварительно проводились также опыты по получению медных и никелевых покрытий из пиродифосфатных растворов.

Результаты экспериментов приведены на рис. 1—5.

Поляризационная кривая при осаждении меди, как следует из рис. 1, имеет три участка. Каждому участку кривой плотности тока — потен-

циал катода соответствует свой выход металла по току и характерны для него внешний вид осадка.

При низких плотностях тока на первом участке кривой наблюдается значительная поляризация, потенциал катода изменяется почти линейно с плотностью тока, при этом выделяются темно-фиолетовые осадки с радужными оттенками. Потенциал

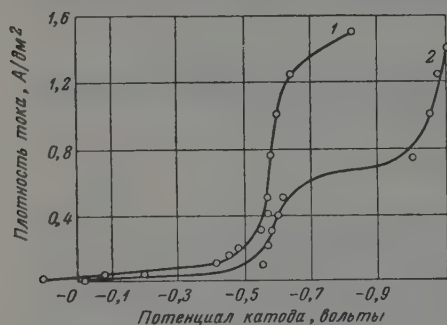


Рис. 1. Поляризационные кривые при электроосаждении меди из пирогосфатного раствора. Концентрация меди: 1 — 0,175 N и 2 — 0,06 N; отношение  $\text{Cu}/\text{P}_2\text{O}_7 = 0,45$

катода еще не достиг потенциала разряда водорода и выход по току составляет 100%. Затем поляризационная кривая (второй участок) принимает полулогарифмический характер, при этом осаждаются качественные покрытия, выход по току начинает падать. И, наконец, на кривой плотность тока—потенциал катода появляется площадка предельного тока, в этих условиях выделяются рыхлые осадки темно-коричневого цвета.

Суммарная поляризационная кривая для никеля и водорода (кривые 1 и 2 рис. 2).

Эти данные еще раз показывают, что в случаях, когда осаждается металл с низким выходом по току, суммарная поляризационная кривая для металла и водорода не отражает сущности механизма выделения данного металла на катоде.

При электроосаждении сплавов медь-никель кривая плотность тока—

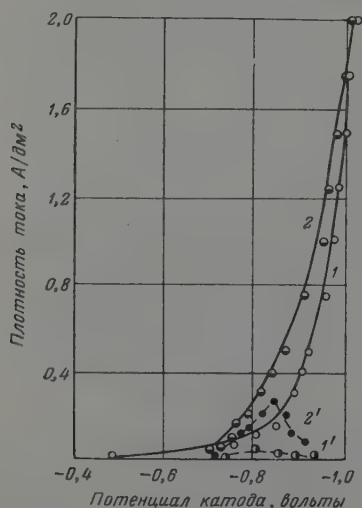


Рис. 2

Рис. 2. Поляризационные кривые при электроосаждении никеля из пирогосфатного раствора. Концентрация никеля: 1 — 0,175 N и 2 — 0,30 N; молярное отношение  $\text{Ni}/\text{P}_2\text{O}_7 = 0,45$ . 1 и 2 — суммарная кривая для водорода и никеля; 1' и 2' — кривая для никеля, с корректировкой на водород



Рис. 3

Рис. 3. Влияние плотности тока на состав сплава: 1 — в растворе I; 2 — в растворе II



содержание меди в сплаве проходит через минимум при плотности тока  $6-1,0 \text{ A/дм}^2$  (рис. 3). Минимум наиболее резко выражен при получении сплава из растворов с низкой концентрацией меди.

Поляризационная кривая при электроосаждении сплава медь-никель лежит левее кривой для никеля, и при низких плотностях тока левее кри-

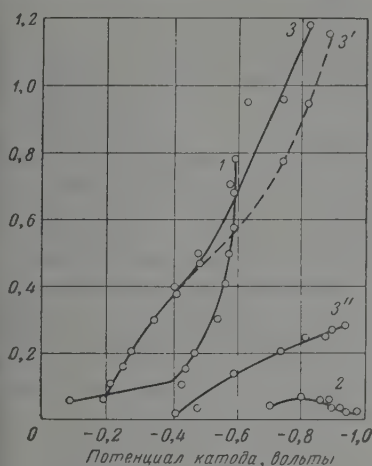


Рис. 4

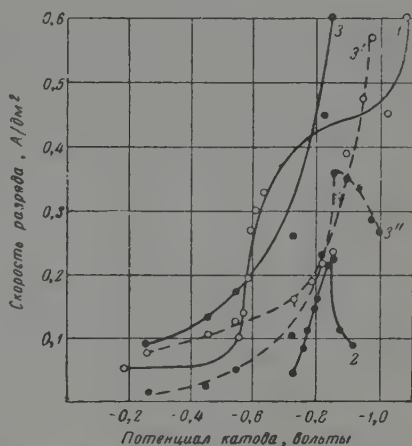


Рис. 5

с. 4. Зависимость скорости разряда ионов меди и никеля при совместном и раздельном осаждении на катоде (кривые разложения): 1 — Cu в 0,175 N по меди растворе; — Ni в 0,175 N по никелю растворе; 3 — сплав медь-никель в 0,175 N по Ni и по Cu растворе; 3' — парциальная кривая для меди при осаждении сплава; 3'' — парциальная кривая для никеля. Молярное отношение металл/ $\text{P}_2\text{O}_7 = 0,45$ . Все кривые скорректированы на выделение водорода.

с. 5. Зависимость скорости разряда ионов меди и никеля при совместном и раздельном осаждении на катоде (кривые разложения): 1 — Cu в 0,06 N по меди растворе; — Ni в 0,3 N по никелю растворе; 3 — сплав медь-никель в 0,06 N по Cu и 0,3 N по — растворах; 3' — парциальная кривая для меди при осаждении сплава; 3'' — парциальная кривая для никеля. Молярное отношение металл/ $\text{P}_2\text{O}_7 = 0,45$ . Все кривые скорректированы на выделение водорода.

й для меди, а при высоких, но не выше предельных, плотностях тока — левее кривой для меди. Как видно из рис. 4 и 5, парциальная кривая для никеля при совместном разряде его с медью лежит левее поляризационной кривой осаждения одного никеля. Парциальная кривая для меди при наличии в растворе никеля при низких плотностях тока также лежит левее поляризационной кривой для осаждения меди из раствора, где ионы никеля отсутствуют. Следует отметить, что деполяризация разряда ионов меди имеет место тогда, когда осадок либо совсем не содержит никеля, либо содержит лишь небольшой его процент. В растворе I до плотности тока  $0,3 \text{ A/дм}^2$  осаждаются медные покрытия, не содержащие никеля и имеющие светло-розовый цвет, в то время как при этих же условиях из растворов, не содержащих пирофосфата никеля, выделяются темно-фиолетовые с радужными оттенками покрытия.

При повышенных плотностях тока, но не выше предельных, парциальная кривая для меди при совместном разряде ее с никелем лежит правее поляризационной кривой осаждения одной меди.

### Обсуждение результатов

Потенциалы разряда никеля и меди из растворов их простых солей только отличаются друг от друга, что совместное их соосаждение имеет место лишь при плотностях тока выше предельных.

В пирофосфатном растворе происходит сближение потенциалов разряда ионов меди и никеля. Оба эти металла образуют с пирофосфатом, типа комплексных соединений  $[\text{Me}(\text{P}_2\text{O}_7)]^{2-}$  и  $[\text{Me}(\text{P}_2\text{O}_7)_2]^{6-}$ . Судя по температурным данным, комплексные ионы меди более прочны, чем ионы никеля. Для иона  $[\text{Cu}(\text{P}_2\text{O}_7)]^{2-}$  константа непрочности равна  $6,89 \cdot 10^{-9}$ , а для иона  $[\text{Ni}(\text{P}_2\text{O}_7)]^{2-}$  —  $1 \cdot 10^{-4}$  [3]. Как видно, разница между константами непрочности составляет около пяти порядков.

К сожалению, нам неизвестны константы непрочности иона  $[\text{Ni}(\text{P}_2\text{O}_7)_2]^{6-}$  а для иона  $[\text{Cu}(\text{P}_2\text{O}_7)_2]^{6-}$  данные по константам непрочности у различных авторов несколько разноречивы:  $1,02 \cdot 10^{-9}$  [2];  $3 \cdot 10^{-9}$  [4];  $2 \cdot 10^{-11}$  [5];  $1 \cdot 10^{-11}$  [6], поэтому мы не можем их сравнивать. Однако по аналогии с самым типом комплексных ионов и по результатам наших опытов (происходит сближение потенциалов разряда ионов меди и никеля) можно высказать предположение, что комплексный ион меди также более прочен, чем никеля.

Следует отметить, что, несмотря на сближение потенциалов разряда ионов меди и никеля вследствие комплексообразования, потенциал осаждения меди все еще остается значительно электроположительнее потенциала осаждения никеля. Так, в растворе I разница потенциалов доходит до 600 mV (рис. 4), а в растворе II она составляет около 200 mV (рис. 5). Между тем еще задолго до наступления предельного тока на катоде совместно с медью выделяется никель.

Как видно из рис. 4 и 5, при совместном осаждении имеет место деполаризация разряда ионов никеля (до 250 mV в растворе I и 10—150 mV в растворе II) и при низких плотностях тока ионов меди (до 200 mV) и сверхполяризация разряда ионов меди при высоких, но не выше предельных плотностях тока.

Как известно, медь с никелем по диаграмме состояния образуют непрерывный ряд твердых растворов. Литературные данные показывают, что для твердых растворов фазовый состав электроосажденных сплавов обычно соответствует диаграмме состояния. По-видимому, электроосаждение сплавов медь-никель является твердым раствором. В таком случае медь вызывает деполаризующее влияние на разряд ионов никеля. Деполаризация разряда ионов никеля должна возрастать с увеличением содержания меди в сплаве, что и подтвердилось нашими опытами. Так, в растворе I, где осаждается сплав, содержащий 80% меди и выше, деполаризация разряда ионов никеля составляет около 200 mV, как следует из рис. 4, а в растворе II, где при плотности тока около  $0,6 \text{ A/dm}^2$  осаждается сплав, содержащий 50% меди и ниже, деполаризация составляет лишь 10 mV (рис. 5).

Однако образованием твердого раствора нельзя объяснить ни деполаризацию, ни сверхполяризацию разряда ионов меди.

В самом деле, деполаризация разряда ионов меди имеет место тогда, когда либо никель совсем не соосаждается, либо покрытие в основном состоит из меди. Изучение результатов экспериментов показывает, что золь никель оказывает, по-видимому, депассивирующее влияние на процесс осаждения меди. При осаждении меди из пирофосфатных растворов при низких плотностях тока происходит, вероятно, пассивирование поверхности металла, о чем можно судить по образованию на покрытии темно-фиолетовой с радужными оттенками пленки и значительной поляризации разряда (рис. 1). При наличии в растворе ионов никеля осаждается светлорозовый осадок меди, при этом никель может и не соосаждаться, поляризация катода менее выражена, чем при осаждении меди из растворов, содержащих никель (рис. 4). Механизм этого явления еще не ясен, необходимы дальнейшие исследования.

Сверхполяризация разряда ионов меди, по-видимому, связана с высокой плотностью поляризаций при осаждении меди и никеля из пирофосфатных растворов. Как следует из рис. 5, никель выделяется из пирофосфатного раствора с меньшей поляризацией, чем медь. Так, для увеличения скорости

разряда ионов никеля от 0,05 до 0,25  $A/dm^2$  потенциал катода при осаждении меди изменяется на 390 mV, в то время как при осаждении никеля — лишь на 110 mV. Как было установлено нами ранее [1] на примере электроосаждения железо-никелевого сплава и по литературным данным на примере еще 11 других сплавов, имеет место торможение разряда ионов металла, выделяющегося с большей поляризацией, в данном случае ионов меди. С увеличением плотности тока возрастает и торможение разряда ионов меди, вследствие чего уменьшается содержание меди в сплаве (рис. 3).

При высоких плотностях тока (0,6  $A/dm^2$  и выше) процесс осложняется образованием в прикатодном пространстве нерастворимых основных соединений никеля вследствие защелачивания прикатодного слоя. Об этом свидетельствует образование на поверхности никелевого покрытия при высоких плотностях тока зеленого налета.

Вследствие связывания никеля в нерастворимые соединения скорость его разряда резко замедляется. На кривой плотность тока — потенциал катода появляется перегиб, после которого, несмотря на увеличение потенциала, скорость разряда ионов никеля не увеличивается, а, наоборот, уменьшается (кривая 2 на рис. 4 и кривые 2 и 3'' на рис. 5). Выход по току никеля падает, а выход по току водорода возрастает, и содержание никеля в сплаве уменьшается (рис. 3). Чем больше в растворе содержание никеля и меньше содержание меди, тем раньше наступает перегиб на кривой плотность тока — потенциал катода, а также на кривой содержание меди в сплаве — плотность тока (рис. 3).

В растворе I (отношение меди к никелю равно единице) перегиб на кривой потенциал — скорость разряда ионов никеля не наступал и при плотности тока 0,3  $A/dm^2$ , в то время как в растворе II (отношение меди к никелю равно 0,2) перегиб имел место уже при  $D_K$  0,22  $A/dm^2$ . Это происходит вследствие того, что с увеличением отношения никеля и меди в растворе потенциал осаждения сплава становится отрицательнее, выход по току водорода увеличивается и прикатодный слой быстрее защелачивается.

### Выводы

1. При совместном осаждении меди и никеля из пиррофосфатных растворов имеет место деполаризация разряда ионов никеля и сверхполяризация разряда ионов меди, что объясняется, с одной стороны, образованием твердого раствора медь-никель и, с другой стороны, тормозящим влиянием никеля на разряд ионов меди вследствие их различной поляризации в этом электролите.

2. При низких плотностях тока имеет место деполаризация разряда ионов меди даже в случае, когда никель не соосаждается с медью. Высказано предположение, что это связано с депассивирующим влиянием никеля в пиррофосфатном растворе.

Институт  
цветных металлов

Поступила  
11.IX.1958

### ЛИТЕРАТУРА

1. Н. В. Коровин, Ж. неорган. химии, **2**, 2259, 1957; Н. В. Коровин, П. С. Титов, Сб. тр. Минцветметзолото, № 27, 300, 1957.
2. В. Персианцева, Кандидатская диссертация, Минцветметзолото, Москва, 1952.
3. J. Vaida and Rama-Char., Current Sci., **23**, 396, 1954.
4. А. И. Стабровский, Ж. физ. химии, **26**, 949, 1952.
5. L. Roges, S. Reynolds, J. Amer. Chem. Soc., **71**, 2081, 1949.
6. Е. А. Укше, Кандидатская диссертация, Уральск. политехн. ин-т, Свердловск, 1953.

# CATHODIC POLARIZATION IN THE ELECTRODEPOSITION OF A COPPER-NICKEL ALLOY

*N. V. Korovin (Moscow)*

## S u m m a r y

A study has been made of the cathodic polarization in the electrodeposition of copper nickel and copper-nickel alloy from pyrophosphate solutions. On the joint deposition of copper and nickel at the cathode, depolarization of nickel ion discharge and retardation of copper ion discharge are observed. This is explained by the formation of a copper-nickel solid solution and by the difference in polarization of copper and nickel during their electrodeposition from the pyrophosphate electrolyte.

In solutions containing nickel and copper ions depolarization of copper ion discharge at low current densities takes place even when nickel is not co-deposited with the copper. It has been suggested that nickel ions prevent passivation of copper depositing on the cathode.

---



ДЕСОРБЦИЯ МИКРОКОЛИЧЕСТВ СТРОНЦИЯ И ЦЕЗИЯ  
С МОНТМОРИЛЛОНИТА И КАОЛИНИТА

В. В. Громов

Исследование механизма поглощения катионов из растворов различными сорбентами и соответственно их десорбции обычно представляет довольно сложную задачу. Еще большие трудности возникают, когда концентрации ионов, с которыми приходится иметь дело, исчезающе малы. При этом следует принять во внимание, что количественные закономерности поведения ионов, полученные в области макроконцентраций, можно распространять на область их микроконцентраций, по-видимому, только с соответствующим учетом специфики поведения микроколичеств ионов в растворах.

Данная работа посвящена изучению десорбции  $\text{Sr}^{90}$  и  $\text{Cs}^{137}$  с монтмориллонита и каолинита растворами  $\text{NaCl}$  и  $\text{CaCl}_2$ . Известно, что стронций и цезий поглощаются указанными сорбентами ионообменно [1—3], причем цезий сорбируется частично необратимо [3]. Характерными чертами ионообменной сорбции являются эквивалентность и обратимость данного процесса [1, 4]. Первое легко установить, если поглощение ионов подчиняется уравнению Б. П. Никольского, описывающему ионный обмен [4], второе — определяется путем сопоставления констант обмена прямой и обратной обменных реакций [4].

Однако, когда приходится работать с микроконцентрациями ионов, таким путем невозможно изучить как эквивалентность, так и обратимость обмена. Обычно прибегают к различным допущениям и упрощениям теории.

Подобным примером может служить работа [5], в которой очень подробно разобраны закономерности обменной хроматографии микроконцентраций вещества. С. Ю. Елович и его сотрудники, делая некоторые предположения, на примере сорбции радиоизотопов  $\text{Sr}$ ,  $\text{Ce}$  и  $\text{Cs}$  из растворов  $\text{HCl}$  также получили однозначные выводы (даже количественные) относительно ионообменной природы поглощения данных радиоизотопов с различными смолами [6, 7]. Упомянутые исследования дают возможность сделать вывод об эквивалентности сорбции. С другой стороны, очень важно выяснить обратимость процесса поглощения ионов различными ионообменниками, что можно выполнить, изучая наряду с сорбцией также и десорбцию ионов. В настоящее время опубликовано незначительное число работ по изучению обратимости обменных реакций с макроконцентрациями ионов на природных сорбентах [1, 4, 8], а с невесовыми количествами ионов известно всего несколько исследований, носящих качественный характер [9—12].

## Экспериментальная часть

Стронций-90 и цезий-137, использованные в опытах, в виде хлористых солей, не имели носителей, и концентрация их составляла  $10^{-7}$ — $10^{-9}$  N. Содержание радиохимических и солевых примесей не превышало 1%.

Десорбция радиостронция и радиоцезия с монтмориллонита и каолинита изучалась нами в статических условиях, так как динамические опыты из-за набухания монтмориллонита поставить было крайне трудно. Использовалась монтмориллонитовая глина Огланлинского месторождения и каолинит Глуховицкого месторождения.

После соответствующей обработки 1%-ными растворами NaOH и HCl отбиралась фракция глин с размером частиц 0,02—0,005 мм [13]. Затем сорбенты переводились в Na- и Са-формы. Навеской глины 250 мг поглощалось определенное количество  $\text{Sr}^{90}$  или  $\text{Cs}^{137}$  (в пересчете на 1 г около 0,5 мкюри). Далее проводилось двукратное промывание сорбентов 5 мл бидистиллата для удаления механически захваченного радиоактивного раствора. После этого радиоизотопы десорбировались с монтмориллонита и каолинита порциями, по 10 мл, растворов  $\text{CaCl}_2$  или NaCl различной концентрации. Вся работа выполнялась в центрифужных пробирках при комнатной температуре.

Обычно для достижения равновесия между твердой и жидкой фазами было достаточно одного часа интенсивного перемешивания. Перед отбором проб для анализа раствор отделялся от сорбента центрифугированием. Радиометрические измерения выполнялись на торцовом счетчике. Пробы, содержащие радиостронций, перед измерениями выдерживались 14—15 дней, чтобы установилось равновесие  $\text{Sr}^{90} \rightarrow \text{Y}^{90}$ . Ошибка опытов не превышала 3—5%. В таблице 1 показан состав растворов  $\text{CaCl}_2$  и NaCl, которыми проводилась десорбция  $\text{Sr}^{90}$  и  $\text{Cs}^{137}$ .

Как указывалось ранее, сорбция радиостронция и радиоцезия выбранными минералами — ионообменный процесс. Из всех закономерностей, описывающих ионный обмен, наибольшее распространение в последнее время получило уравнение изотермы Никольского [4]:

$$\frac{q_1^{1/z_1}}{a_1^{1/z_1}} = K_{\text{H}} \frac{q_2^{1/z_2}}{a_2^{1/z_2}}, \quad (1)$$

где  $q_1, q_2$  — сорбированное количество ионов,  $a$  — равновесная активность ионов в растворе,  $z$  — валентность ионов;  $K$  — константа. Индекс 1 будем относить к микроколичествам радиоэлемента, индекс 2 — к ионам кальция или натрия. Очевидно, данное выражение в нашем случае упрощается. В процессе десорбции  $\text{Sr}^{90}$  или  $\text{Cs}^{137}$  с каолинита и монтмориллонита изменением концентрации ионов кальция или натрия в растворе за счет обмена их на радиоцезий или радиостронций можно пренебречь. Тогда правую часть уравнения (1) можно рассматривать постоянной, и мы получим следующее соотношение:

$$q_1 = K' a_1, \quad (2)$$

или

$$q = K c.$$

Таким образом уравнение Никольского превращается в зависимость, аналогичную закону Генри [14]. Однако выражение (2) не является критерием, определяющим механизм поглощения ионов, так как оно вытекает из самых общих соображений по кинетике сорбций микроколичеств ионов, а также может быть выведено термодинамическим путем. Следовательно, когда выполняется соотношение (2), возможен самый различный механизм сорбции. С другой стороны, если мы знаем, что микроколичество ионов поглощаются данным сорбентом ионообменно, то выражение (2) позволяет непосредственно установить, обратим ли процесс обменной сорбции микроколичеств ионов. Очевидно, когда сорбция обратима, константа соотношения (2) должна быть одинакова для поглощения и десорбции микроколичеств ионов, так как формула (2) в нашем случае выражает простое распределение микроколичеств элемента между раствором и сорбентом.

Используя формулу (2), можно также попытаться выразить в математической форме процесс многократной десорбции микроколичеств элементов. Если вести десорбцию равными порциями раствора, то условия равновесия запишутся следующим образом:

в первой стадии

$$q_0 - \frac{V_1 A_1}{m} = K A_1,$$

в  $n$ -й стадии

$$q_0 - \frac{V_1 A_1}{m} - \frac{V_2 A_2}{m} - \dots - \frac{V_n A_n}{m} = K A_n.$$

В общем случае:

$$q_0 - \frac{1}{m} \sum_{i=0}^n V_i A_i = K A_n. \quad (3)$$

Если сорбция ведется одинаковыми объемами, то

$$q_0 - \frac{V}{m} \sum_{i=0}^n A_i = K A_n, \quad (4)$$

где  $m$  — количество сорбента,  $q$  — количество сорбированного радиоэлемента на единицу веса сорбента,  $V$  — объем десорбирующего раствора,  $A$  — равновесная активность радиоэлемента\*,  $K$  — константа уравнения (3),  $n$  — число стадий десорбции.

Производя элементарные преобразования путем подстановки значений, из каждой предыдущей стадии в последующую, получаем выражение для равновесной радиоактивности микроколичеств элемента в  $n$ -й порции десорбирующего раствора:

$$A_n = \frac{q_0 K^{n-1}}{\left(\frac{V}{m} + K\right)^n}. \quad (5)$$

Аналогичными преобразованиями, используя соотношение (5), выводим формулу, показывающую, какое количество радиоизотопа осталось на сорбенте после  $n$  стадий десорбции одинаковыми порциями раствора:

$$q_n = q_0 \left( \frac{K}{\frac{V}{m} + K} \right)^n, \quad (6)$$

или в процентах,

$$q_n = \left( \frac{K}{\frac{V}{m} + K} \right)^n 100.$$

Таким образом, определив константу  $K$  в опытах поглощения радиоцезия и радиостронция, можно, пользуясь выражением (6), рассчитать весь

Таблица 1

Состав растворов, использованных для десорбции радиостронция и радиоцезия с монтмориллонита и каолинита

№ исходного раствора	Концентрация ионов, г-экв/л	Значение pH исходного раствора	№ исходного раствора	Концентрация ионов, г-экв/л	Значение pH исходного раствора
1	$1,82 \cdot 10^{-3}$	5,8	1	$1,71 \cdot 10^{-3}$	4,6
2	$1,82 \cdot 10^{-2}$	5,3	2	$1,71 \cdot 10^{-2}$	5,1
3	$1,82 \cdot 10^{-1}$	5,2	3	$1,71 \cdot 10^{-1}$	5,5
4	1,82	5,0	4	1,71	5,2

процесс десорбции данных радиоэлементов. И если в ходе десорбции экспериментальные и полученные путем расчета значения  $q_n$  будут совпадать, то означает, что процесс идет вполне обратимо (константа  $K$  не меняется). В табл. 2 и 3 представлены значения констант, полученные в опытах по сорбции  $\text{Sr}^{90}$  и  $\text{Cs}^{137}$  монтмориллонитом и каолинитом из растворов  $\text{CaCl}_2$  и  $\text{NaCl}$ , состав которых приведен в табл. 1. Для этих экспериментов

\* В нашем случае  $s$  и  $q$  отражают количества радиостронция или радиоцезия в растворе и на сорбенте,  $A$  — равновесная активность радиоэлемента в растворе. Замена химической активности ( $a$ ) концентрацией радиоэлемента в растворе ( $A$ ), очевидно, вполне справедлива из-за малой концентрации радиоэлемента.

Таблица 2

Значения констант уравнения (2), полученные при поглощении  $\text{Sr}^{90}$  монтмориллонитом и каолинитом

Исходное количество  $\text{Sr}^{90}$   $8 \cdot 10^{-2}$   $\mu$  кюри/л

Тип сорбента	№ исходного раствора	Растворы $\text{CaCl}_2$				Растворы $\text{NaCl}$			
		соотношение сорбента и раствора			$K_{\text{ср}}$	соотношение сорбента и раствора			$K_{\text{ср}}$
		10 мл : 1,0 г	10 мл : 0,2 г	10 мл : 0,4 г		10 мл : 0,1 г	10 мл : 0,2 г	10 мл : 0,4 г	
Монтмориллонит	1	956	932	940	943	3620	3636	3616	3620
	2	466	481	474	474	1360	1380	1370	1370
	3	101	110	70	94	727	709	691	709
	4	8	12	11	10	52	44	51	49
Каолинит	1	868	863	855	862	2080	2090	2070	2080
	2	389	414	387	397	621	603	602	604
	3	55	45	50	50	282	277	285	283
	4	—	—	—	—	24	22	26	24

Таблица 3

Значения констант уравнения (2), полученные при поглощении  $\text{Cs}^{137}$  монтмориллонитом и каолинитом

Исходное количество радиоцезия  $6 \cdot 10^{-2}$   $\mu$  кюри/л

Тип сорбента	№ исходного раствора	Растворы $\text{CaCl}_2$				Растворы $\text{NaCl}$			
		соотношение раствора и сорбента			$K_{\text{ср}}$	соотношение раствора и сорбента			$K_{\text{ср}}$
		10 мл : 0,1 г	10 мл : 0,2 г	10 мл : 0,4 г		10 мл : 0,1 г	10 мл : 0,2 г	10 мл : 0,4 г	
Монтмориллонит	1	—	—	—	—	2564	2530	2520	2530
	2	2740	2720	2750	2730	1195	1196	1184	1195
	3	1010	1020	990	1007	234	203	218	218
	4	596	608	600	601	55	64	63	60
Каолинит	1	10535	10632	10528	10565	1054	1063	1071	1063
	2	4520	4580	4510	4537	383	355	380	377
	3	652	631	685	656	128	109	137	128
	4	366	309	305	327	66	55	57	60

в растворы  $\text{CaCl}_2$  и  $\text{NaCl}$  вводились радиостронций или радиоцезий. В рис. 1—4 показан процесс десорбции радиостронция с монтмориллонита и каолинита. Теоретически рассчитанные точки обозначаются черными кружками, экспериментальные — белыми. Цифры на кривых относятся к типу исходного раствора, которым велась десорбция (табл. 1).

Как видно из рис. 1—4, уравнение (6) довольно точно описывает процесс десорбции  $\text{Sr}^{90}$ ; следовательно, допущения, сделанные при его выводе, вполне правомерны. Кроме того, из этих рисунков вытекает, что десорбция радиостронция с монтмориллонита и каолинита протекает обратимо, т. е. константа выражения (6) остается постоянной в процессе десорбции и равной ее значению, полученному при поглощении  $\text{Sr}^{90}$  названными сорбентами.

Другая картина наблюдается при десорбции радиоцезия с этих же сорбентов.

Из рис. 5—8 следует, что полная обратимость сорбции радиоцезия каолинитом и монтмориллонитом отсутствует. Только в первых стадиях десорбции  $\text{Cs}^{137}$  наблюдается совпадение опытных и теоретических точек. По мере увеличения циклов десорбции и роста концентрации десорбируемых растворов отклонение экспериментальных кривых от рассчитанных по уравнению (6) становятся более заметными. Очевидно, при поглощении



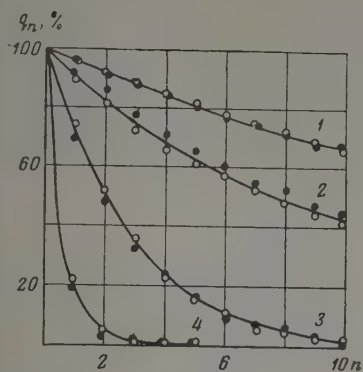


Рис. 1. Десорбция  $\text{Sr}^{90}$  с монтмориллонита растворами  $\text{CaCl}_2$

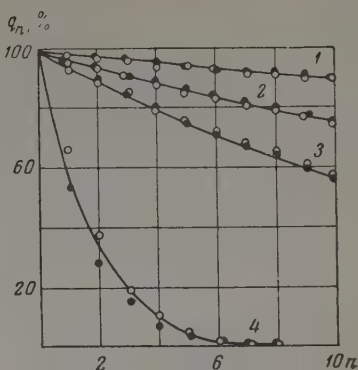


Рис. 2. Десорбция  $\text{Sr}^{90}$  с монтмориллонита растворами  $\text{NaCl}$

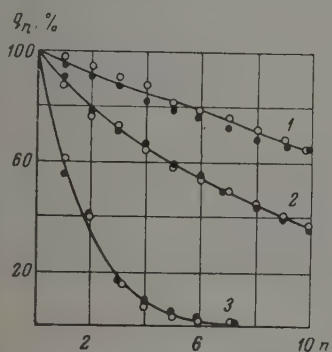


Рис. 3. Десорбция  $\text{Sr}^{90}$  с каолинита растворами  $\text{CaCl}_2$

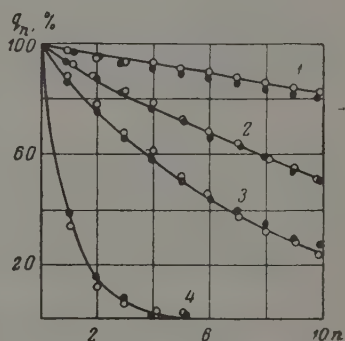


Рис. 4. Десорбция  $\text{Sr}^{90}$  с каолинита растворами  $\text{NaCl}$

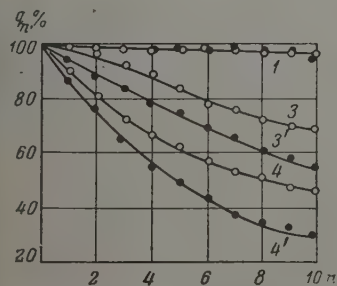


Рис. 5. Десорбция  $\text{Cs}^{137}$  с каолинита растворами  $\text{CaCl}_2$

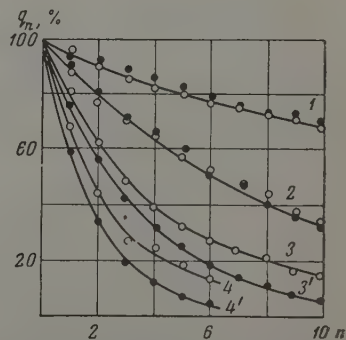


Рис. 6. Десорбция  $\text{Cs}^{137}$  с каолинита растворами  $\text{NaCl}$

радиоцезия частично образуются какие-то более прочные связи его ионов с сорбентом, что приводит к нарушению обратимости сорбции микроколичеств данного элемента. Последнее отражается в увеличении констант выражения (2), когда остаются ионы цезия, прочно связанные с сорбентом, а это имеет место в последних стадиях процесса десорбции. Поэтому чтобы однозначно установить, обратим ли процесс сорбции микроколичеств данного элемента, необходимо полнее десорбировать поглощенные ионы.

Полученные результаты показывают, что  $\text{Sr}^{90}$  лучше вымывается ионами кальция, чем натрия. Напротив,  $\text{Cs}^{137}$  энергичнее десорбируется иона-

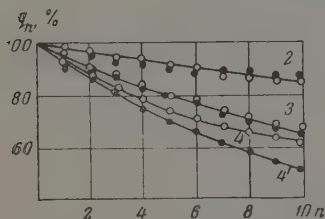


Рис. 7. Десорбция  $\text{Cs}^{137}$  с монтмориллонита растворами  $\text{CaCl}_2$

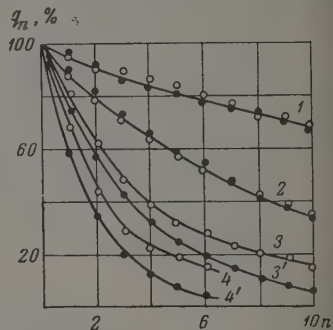


Рис. 8. Десорбция  $\text{Cs}^{137}$  с монтмориллонита растворами  $\text{NaCl}$

ми натрия, по сравнению с ионами кальция. Это объясняется, по-видимому, природой обменивающихся ионов и свойствами сорбентов. Кроме того, с каолинита оба радиоизотопа десорбируются в большей мере, чем с монтмориллонита. Отсюда можно предполагать, что  $\text{Sr}^{90}$  и  $\text{Cs}^{137}$ , попав в почву и грунты, будут, при прочих равных условиях, мигрировать быстрее под действием грунтовых вод, в районах бедных монтмориллонитовыми глинами.

В заключение приношу благодарность акад. Виктору Ивановичу Смирнову за ценные указания и обсуждение работы.

### Выводы

1. Изучен процесс десорбции  $\text{Sr}^{90}$  и  $\text{Cs}^{137}$  с монтмориллонита и каолинита растворами  $\text{CaCl}_2$  и  $\text{NaCl}$ .
2. Предложена формула, описывающая процесс десорбции микроколичеств ионов, отвечающая ионообменному и вполне обратимому процессу поглощения данных ионов.
3. Показано, что сорбция  $\text{Sr}^{90}$  монтмориллонитом и каолинитом протекает вполне обратимо, а  $\text{Cs}^{137}$  частично необратимо.

Институт физической химии  
Академии наук СССР

Поступила  
11.IX.1958

### ЛИТЕРАТУРА

1. И. Н. Антипов-Каратаев, Г. М. Кадер, Коллоидн. ж., 9, 1947.
2. Р. Е. Грим, Минералогия глин, ИЛ, М., 1956, стр. 160—190.
3. В. A. Amphlett, L. A. Mc Donald, J. Anorg. Nucl. Chem., 2, 403, 1958.
4. Б. П. Никольский, В. И. Парамонова, Успехи химии, 8, 1939.
5. T. Vermeulen, N. R. Hiester, Industr. and Engng Chem., 44, 636, 1952.
6. С. Ю. Елович, Л. Г. Кузьмина, Коллоидн. ж., 18, 268, 1956.
7. С. Ю. Елович, В. Н. Прусаков, Ж. физ. химии, 31, 1359, 1957.
8. A. K. Ganguly, S. K. Mukherjee, J. Phys. Coll. Chem., 55, 1429, 1951.
9. В. М. Ключковский, О поведении радиоактивных продуктов деления

- почвах, их поступлении в растения и накоплении в урожае, Изд-во АН СССР, М., 1956.
- C. B. Amphlett, *Endeavour*, **17**, 149, 1958.
- B. L. Knd Kahn, *Analyt. Chem.*, **28**, 217, 1956.
- L. P. Hatch, W. H. Regan, B. Manowitz, F. Hittman, Материалы Международной конференции в Женеве по мирному использованию атомной энергии, **9**, стр. 648, Нью-Йорк, 1956.
- А. М. Васильев, Основы современной методики и техники лабораторных определений физических свойств грунтов, Гос. изд. лит. по строительству и архитектуре, М., 1953.
- Б. П. Никольский, *Ж. неорганич. хим.*, **3**, 59, 1958.

## DESORPTION OF MICRO-QUANTITIES OF STRONTIUM AND CAESIUM FROM MONTMORILLONITE AND KAOLINITE

*V. V. Gromov (Moscow)*

### Summary

The desorption of  $\text{Sr}^{90}$  and  $\text{Cs}^{137}$  from montmorillonite and kaolinite by  $\text{CaCl}_2$  and  $\text{HCl}$  solutions has been investigated. A formula has been proposed, describing the desorption of micro-amounts of ions, corresponding to the ion exchange and completely reversible sorption processes of the ions. It has been shown that sorption of strontium-90 by montmorillonite and kaolinite is completely reversible, whereas that of caesium-137 is partially irreversible.

## ТЕПЛОТЫ ИСПАРЕНИЯ ЦИКЛАНОВ

О. Н. Качинская

В ранее опубликованной работе [1] нами было показано, что в расчете напряженности цикланов по инкременту теплоты сгорания  $\text{C}_n\text{H}_{2n}$  группы, —  $\Delta H_{\text{CH}_2}$ , взятому из теплот сгорания алканов и циклогексана по уравнению

$$-\Delta H_{\text{напряж}} = -\Delta H_{\text{сгор}} - n(-\Delta H_{\text{CH}_2}),$$

где  $n$  — число членов в цикле, а  $(-\Delta H_{\text{сгор}})$  — теплота сгорания, значения напряженности получаются одни и те же для газообразного состояния и различные для жидкого. Указанная разница объясняется различием сил межмолекулярного взаимодействия в жидких алканах и циклогексане.

Так, если для газообразных алканов и циклогексана инкременты теплоты сгорания —  $\Delta H_{\text{CH}_2}$  почти совпадают (157,443 и 157,417 ккал/моль соответственно [2]), то для жидких они отличаются на 0,18 ккал/моль (156,223 ккал/моль для алканов и 156,083 ккал/моль для циклогексана).

Предполагив, что характер межмолекулярного взаимодействия во всех цикланах один и тот же, в указанной работе нам удалось исключить влияние межмолекулярных сил, связанное с жидким состоянием тем, что в расчете напряженности из —  $\Delta H_{\text{сгор}}$  (ж) использовался инкремент —  $\Delta H_{\text{CH}_2}$  жидкого циклогексана.

Сделанное предположение подтверждают также приводимые ниже данные расчета теплот испарения цикланов.

В циклогексане разность

$$\Delta\lambda_{\text{ц.г.}} = [-\Delta H_{\text{CH}_2}(\text{г})] - [-\Delta H_{\text{CH}_2}(\text{ж})]$$

составляет  $157,417 - 156,083 = 1,334$  ккал/моль по данным Спитцера Хаффмана [3] и  $157,465 - 156,147 = 1,318$  ккал/моль по данным Россини с сотрудниками [2, 4].

Теплоту испарения цикланов приближенно можно рассчитать, используя (2), по уравнению:

$$L = n\Delta\lambda_{\text{ц.г.}},$$

где  $n$  — число  $\text{CH}_2$ -групп в цикле.

Во 2-м и 3-м столбцах таблицы приводятся величины теплот испарения цикланов, рассчитанные нами по уравнению (3) из данных по теплотам сгорания Спитцера и Хаффмана, и Россини; в 4-м столбце — значения теплот испарения цикланов из сборника под редакцией Тиличьева, большая часть которых была рассчитана по уравнению Клаузиуса — Клапейрона или сравнительным методом М. Х. Карапетьянца [уравнения (2) и (8)] [5]; в 5-м столбце — данные из американского справочника [6]; в 6-м столбце — значения, найденные Спитцером и Хаффманом по правилу Трутона [3].

Из сравнения данных таблицы следует, что значения теплот испарения цикланов, полученные по уравнению (3), согласуются с литературными данными с точностью до 3%, что не уступает точности расчета этой ве-



## Теплоты испарения цикланов

n	L по уравнению (3) на основании данных		Литературные данные		
	[3]	[4]	[5]	[6]	[3]
3	4,002	3,954	4,065 предпол.	—	—
4	5,336	5,272	5,580 предпол. 5,582 (ур-ние (8) [5])	—	—
5	6,670	6,590	от 6,792 до 890 (четыре знач.) 6,810 рекоменд.	6,818	7,0
6	8,004	7,908	от 7,836 до 7,889 (четыре знач.) 7,870 принято 7,940 [7]	7,895	8,0
7	9,338	9,226	—	—	8,9
8	10,672	10,544	—	—	10,4
9	12,006	11,862	—	—	—
10	13,340	13,180	—	—	—

ны другими методами. При  $n = 4$  отклонение вдвое больше, но приведенное литературное значение является единственным, полученным по уравнению (8) работы [5].

## Выводы

1. В работе предложен новый способ расчета теплот испарения цикланов (ур-ние (3)).
2. По уравнению (3) вычислены значения теплот испарения цикланов, для которых литературные данные отсутствуют полностью.
3. Линейная зависимость теплоты испарения от числа  $\text{CH}_2$ -групп, входящих в цикл, позволяет предположить одинаковый характер межмолекулярных сил в жидких цикланах, независимо от величины, формы молекул и типа [8] межатомной связи.

Московский государственный  
университет им. М. В. Ломоносова

Поступила  
13.IX.1958

## ЛИТЕРАТУРА

- О. Н. Качинская, Вестн. МГУ, № 2, 1957; Ж. физ. химии, 30, 135, 1956.  
Справочник Физико-химические свойства индивидуальных углеводородов под ред. Тиличеева, Гостоптехиздат, М.—Л., вып. 3, стр. 445, 1951.  
R. Spitzer, H. M. Huffman, J. Amer. Chem. Soc., 69, 211, 1947.  
E. I. Prosen, F. D. Rossini, J. Research Nat. Bur. Standards, 36, 269, 1946.  
Справочник Физико-химические свойства индивидуальных углеводородов под ред. Тиличеева, Гостоптехиздат, М.—Л., вып. 5, стр. 279, 1954; вып. 6, стр. 246, 1957.  
Selected values of physical and thermodynamic properties of hydrocarbons and related compounds, Amer. petrol. Inst. Res. project, 44, 1953.  
Г. Паркс, Г. Хаффман. Свободные энергии органических соединений, ОНТИ, 1936.  
В. М. Татевский, Химическое строение углеводородов и закономерности в их физико-химических свойствах, Изд-во МГУ, 1953.

## THE HEATS OF VAPORIZATION OF CYCLANES

*O. N. Kachinskaya (Moscow)*

## Summary

The heats of vaporization of cyclanes with the number of atoms in the ring  $n = 3-10$  have been calculated. The heats of vaporization are to a first approximation dependent upon the number of atoms in the ring, permitting the assumption to be made of the identical character of the intermolecular forces in liquid cyclanes.

## ДАВЛЕНИЕ ПАРА ТРЕХКОМПОНЕНТНЫХ СИСТЕМ

## III. СИСТЕМА МУРАВЬИНАЯ КИСЛОТА—1,2-ДИХЛОРЕТАН—ВОДА

В. В. Удовенко и Л. П. Александрова

В настоящей статье приводятся полученные нами экспериментальные данные по давлению насыщенного пара в системе муравьиная кислота, 1,2-дихлорэтан — вода при 30, 40 и 60°. Изучение взаимной растворимости показало, что в этой системе имеется большая область расслаивания [1]. В связи с этим давление и состав насыщенного пара гомогенной части системы определялись при помощи прибора Скотчарда [2], а расслаивающихся смесей в приборе, предложенном В. В. Удовенко и Л. Г. Фаткуллой [3]. Давление пара измерялось с точностью 0,2 мм, а температура кипения с точностью 0,02°.

Двойные системы анализировались титрованием кислоты едким баром. При анализе тройных систем кроме титрования кислоты еще определялась плотность раствора. С этой целью предварительно была измерена плотность трехкомпонентных смесей, и по полученным данным вычерчена треугольном изображении аналитическая диаграмма. Плотность определялась при помощи пикнометра емкостью 2 мл в термостате при  $30 \pm 0,05^\circ$ . Результаты измерений представлены в табл. 1.

Таблица 1

Плотность растворов системы муравьиная кислота —  
1,2-дихлорэтан — вода

Вес. % дихлорэтана	Плотность, $d_{40}^{30^\circ}$	Вес. % дихлорэтана	Плотность $d_{40}^{30^\circ}$
I. Кислота — вода 63,71 : 36,29		V. Кислота — вода 96,58 : 3,42	
0,00	1,1359	0,00	1,2014
1,91	1,1370	4,96	1,2020
6,27	1,1400	15,96	1,2025
II. Кислота — вода 70,09 : 29,91		21,90	1,2027
0,00	1,1495	32,13	1,2035
2,27	1,1514	36,57	1,2043
4,62	1,1528	48,33	1,2068
7,12	1,1537	50,95	1,2074
III. Кислота — вода 77,23 : 22,77		59,64	1,2101
0,00	1,1650	VI. Кислота — вода 98,13 : 1,87	
3,33	1,1673	0,00	1,2014
5,97	1,1688	4,58	1,2019
12,80	1,1713	9,38	1,2019
IV. Кислота — вода 90,80 : 9,20		24,81	1,2022
0,00	1,1885	29,55	1,2029
7,71	1,1892	49,12	1,2051
13,39	1,1917	58,55	1,2079
22,63	1,1933	Система кислота — дихлорэтан	
30,19	1,1931	13,45	1,2038
		24,37	1,2043
		27,23	1,2038
		34,24	1,2045
		48,12	1,2056
		62,76	1,2094
		100,00	1,2360

Очистка веществ и значения их констант приведены в предыдущей статье [1].

Анализ пара, состав которого приходился на область расслаивания, проводился путем предварительного прибавления взвешенного количества муравьиной кислоты до полной гомогенизации раствора. После этого определялись содержание кислоты и плотность раствора, и по аналитической диаграмме находился состав. Исходя из общего содержания кислоты и количества кислоты, прибавленного для гомогенизации раствора, вычислялся состав исходной расслаивающейся смеси.

Таблица 2

Давление и состав пара системы муравьиная кислота — дихлорэтан при 30, 45 и 60°

Вес. % кислоты		Общее давление	Парциальное давление кислоты	Парциальное давление дихлорэтана
Жидкость	Пар			
30°				
100,00	100,00	54,5	54,5	0,0
77,23	37,34	109,5	62,0	47,5
71,50	33,70	115,5	60,3	55,1
59,70	30,72	121,5	59,3	62,2
45,93	28,80	123,8	57,6	66,2
34,01	27,57	124,7	56,1	68,5
28,79	26,80	124,6	54,9	69,7
24,62	26,03	124,6	53,7	70,9
17,83	23,85	124,0	49,9	74,1
0,00	0,00	100,5	0,0	100,5
45°				
100,00	100,00	106,2	106,2	0,0
76,29	35,27	210,0	113,3	96,7
71,98	34,15	217,0	114,4	102,5
58,20	30,57	230,3	112,1	118,2
43,98	28,26	236,1	108,2	127,9
33,34	27,08	237,0	105,3	136,7
28,77	26,52	237,3	103,7	133,5
24,50	25,62	237,3	101,0	136,3
18,03	23,77	236,5	95,0	141,5
0,00	0,00	195,0	0,0	195,0
60°				
100,00	100,00	194,0	194,0	0,0
76,13	36,13	371,3	203,9	167,4
72,77	34,45	381,9	202,7	179,2
57,26	30,03	410,0	196,9	213,1
44,20	28,25	419,0	192,3	226,7
32,34	26,55	423,5	185,3	238,2
28,57	26,32	424,5	184,5	240,0
23,55	25,25	424,5	178,7	245,8
18,59	23,59	423,3	169,9	254,4
0,00	0,00	344,8	0,00	344,8

Результаты определения давления пара двойной системы муравьиная кислота — 1,2-дихлорэтан приведены в табл. 2. Кривая давления пара проходит через максимум. Состав азеотропной смеси при разных температурах был определен графически по диаграммам равновесия жидкость—пар. Как показывает табл. 4 (см. ниже), в системе муравьиная кислота — 1,2-дихлорэтан состав азеотропной смеси с изменением температуры почти не изменяется.

Данные по давлению пара двойной системы муравьиная кислота — вода приведены в табл. 3. В этой системе кривая давления пара проходит через минимум. Состав азеотропной смеси этой системы, имеющей максимум температуры кипения, также был определен графически по диаграммам

Таблица 3

Давление и состав пара системы муравьиная кислота — вода  
при 30, 45 и 60°

Вес. % кислоты		Общее давление	Парциальное давление кислоты	Парциальное давление воды
Жидкость	Пар			
30°				
0,00	0,00	31,9	0,0	31,9
12,83	5,13	30,5	0,6	29,9
24,66	13,82	29,4	1,7	27,7
38,23	28,64	28,0	3,8	24,2
47,82	39,46	27,0	5,5	21,5
54,92	49,31	26,5	7,3	19,2
62,03	62,32	26,1	10,3	15,8
71,09	73,98	26,9	14,2	12,7
81,96	91,70	30,5	21,3	9,2
96,95	99,15	49,7	48,6	1,1
100,00	100,00	54,5	54,5	0,0
45°				
0,00	0,00	72,0	0,00	72,0
11,84	4,84	69,6	1,4	68,2
24,25	12,80	67,5	3,7	63,8
37,72	24,18	64,3	7,1	57,2
47,47	37,26	61,7	11,6	50,1
54,60	47,45	59,7	15,6	44,1
62,27	59,61	58,7	21,9	36,8
64,92	64,93	54,4	24,5	33,9
70,74	74,57	59,5	31,8	27,7
81,44	89,39	66,0	50,6	15,4
90,70	96,49	80,0	73,2	6,8
96,99	99,54	97,8	96,6	1,2
100,00	100,00	106,2	106,2	0,0
60°				
0,00	0,00	149,5	0,0	149,5
11,27	6,02	146,0	3,6	142,4
22,16	11,54	141,7	6,9	134,8
36,52	22,97	135,0	14,1	120,9
47,54	34,26	129,0	21,8	107,2
54,65	44,99	125,6	31,0	94,6
62,28	57,87	121,7	42,5	79,2
68,95	69,59	120,5	56,9	63,6
70,69	72,57	121,8	62,0	59,9
81,71	88,71	130,2	98,3	32,0
91,45	96,31	154,0	140,3	13,7
97,45	99,45	181,0	178,5	2,5
100,00	100,00	194,0	194,0	0,0

равновесия жидкость — пар. Согласно табл. 4, в азеотропной смеси этой системы при повышении температуры увеличивается содержание кислоты. Давление пара муравьиная кислота — вода изучали также М. С. Вренский, Н. А. Гельд и С. А. Шукарев [4] при 25 и 60°. По их данным азеотропная смесь при 60° содержит 69 вес. % кислоты, что совпадает с нашими данными. Появление минимума давления пара в этой системе обусловлено взаимодействием муравьиной кислоты с водой [5—7].



Таблица 4

## Составы двойных азеотропных смесей

t, °C	НСООН — C <sub>2</sub> H <sub>4</sub> Cl <sub>2</sub>		НСООН — H <sub>2</sub> O		H <sub>2</sub> O — C <sub>2</sub> H <sub>4</sub> Cl <sub>2</sub>	
	Давление пара, мм рт. ст.	Вес. % кислоты	Давление пара, мм рт. ст.	Вес. % кислоты	Давление пара, мм рт. ст.	Вес. % воды
30	124,6	26,0	26,0	62,0	130,8	5,0
45	237,3	26,0	58,8	65,0	261,0	6,6
60	424,5	25,9	121,8	69,0	492,0	7,9

Двойная система 1,2-дихлорэтан — вода является гетероазеотропной. Состав гетероазеотропа определялся экспериментально при 30 и 45°. Для 60° были взяты литературные данные [8].

Для гетерогенной области тройной системы экспериментальные данные по составу сопряженных растворов, давлению и составу пара при 30, 40 и 60° приведены в табл. 5. Как показывают данные, при увеличении содер-

Таблица 5

## Состав сопряженных растворов, давление и состав пара при 30, 45 и 60°

Содержание компонентов вес. %									Общее давле- ние P	Парциальное давление		
Верхний слой			Нижний слой			Пар				НСООН	C <sub>2</sub> H <sub>4</sub> Cl <sub>2</sub>	H <sub>2</sub> O
НСООН	C <sub>2</sub> H <sub>4</sub> Cl <sub>2</sub>	H <sub>2</sub> O	НСООН	C <sub>2</sub> H <sub>4</sub> Cl <sub>2</sub>	H <sub>2</sub> O	НСООН	C <sub>2</sub> H <sub>4</sub> Cl <sub>2</sub>	H <sub>2</sub> O				
30°												
15,93	1,80	82,27	0,18	99,81	0,01	0,22	93,58	6,20	129,1	0,5	94,3	34,4
26,34	2,00	71,66	0,33	99,64	0,03	0,57	93,92	5,51	128,0	1,3	95,8	30,9
35,10	3,00	61,90	0,52	99,43	0,05	1,13	93,03	5,84	126,8	2,4	92,5	31,9
45,51	4,00	45,51	0,90	99,00	0,10	1,83	93,23	4,94	125,2	4,0	93,9	27,4
65,14	15,80	19,06	6,23	93,17	0,60	11,44	83,80	4,76	121,0	22,1	75,4	23,5
52,41	42,39	5,20	20,92	77,08	2,00	18,42	77,53	4,05	121,5	34,6	67,6	19,4
45°												
16,45	2,00	81,55	0,23	99,74	0,03	0,38	93,35	6,27	258,0	1,6	187,2	69,2
26,56	3,00	70,43	0,43	99,51	0,06	0,62	93,02	6,36	255,1	2,6	183,5	69,0
44,17	4,70	51,13	1,10	98,73	0,17	2,15	90,90	6,95	248,8	8,6	169,2	71,1
53,96	7,30	38,74	2,04	97,62	0,34	4,37	89,03	6,60	244,1	17,0	161,3	65,8
59,79	11,20	29,01	3,09	96,40	0,51	5,65	88,00	6,35	240,8	21,7	156,9	62,2
57,22	23,50	13,28	10,74	83,26	2,00	15,36	79,87	4,77	233,5	55,5	134,0	44,0
51,52	39,00	9,48	19,93	77,07	3,00	15,90	79,03	5,07	234,0	56,7	131,1	46,2
60°												
14,86	1,80	83,34	0,27	99,67	0,06	0,49	91,09	8,42	481,4	3,7	316,7	161,0
21,05	2,10	76,85	0,42	99,50	0,08	0,65	91,10	8,25	478,0	4,9	315,8	157,3
44,01	6,00	49,99	1,49	98,26	0,25	2,48	89,14	8,38	460,9	17,5	292,3	151,1
52,28	9,00	38,82	2,51	97,17	0,42	4,76	87,19	8,05	452,0	32,7	278,1	141,2
59,21	16,00	24,79	5,36	93,73	0,91	7,50	85,04	7,46	439,7	49,9	263,0	126,8
59,60	18,80	21,60	9,08	88,72	2,20	13,99	79,48	6,53	427,0	88,3	233,3	105,4
—	—	—	—	—	—	15,50	78,60	5,90	429,0	99,1	233,5	95,4

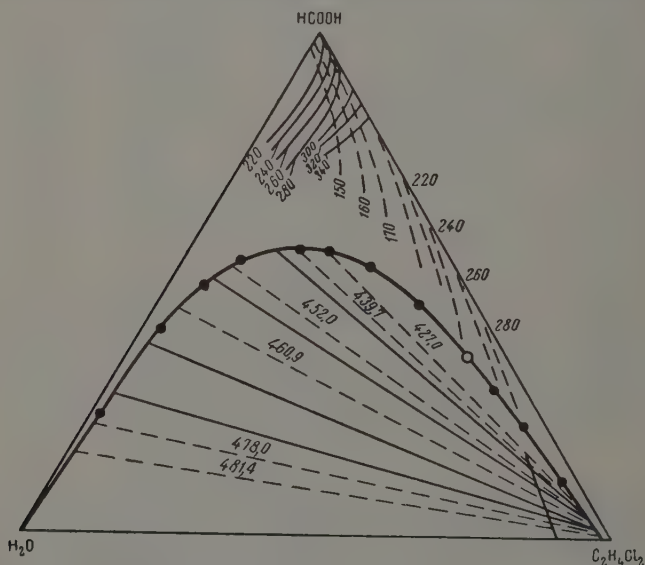
жения кислоты давление пара вначале уменьшается, а затем несколько увеличивается. Минимальное значение давления пара соответствует гетероазеотропической линии. Образующаяся в системе гетероазеотропная смесь имеет максимальную температуру кипения. Состав гетероазеотропной смеси при 30, 45 и 60° представлен в табл. 6.

Таблица 6

## Состав гетероазетропной смеси

Т. кип., °С	Давление, мм рт. ст.	Вес. %		
		НСООН	$C_2H_4Cl_2$	$H_2O$
30,0	121,0	11,44	83,81	4,76
45,0	233,5	15,36	79,87	4,77
60,0	429,0	15,50	78,60	5,90

По нашим данным азеотропная смесь в трехкомпонентной системе содержит 15,5 вес. % муравьиной кислоты. В системе муравьиная кислота — дихлорэтан азеотропная смесь содержит 26 вес. % кислоты. Однако по литературным данным [9] в последней двухкомпонентной системе содержание кислоты равно 14 вес. %, причем это количество кислоты было найдено не по кривым давления пара, а путем азеотропной перегонки. Сравнение наших данных показывает, что литературные данные относятся не к двойной



системе муравьиная кислота — дихлорэтан, а к тройной: муравьиная кислота — дихлорэтан — вода. Это обстоятельство могло иметь место, если для работы была взята недостаточно хорошо обезвоженная муравьиная кислота.

Для гомогенной области тройной системы были изучены четыре разреза с различным постоянным отношением кислоты и воды. Давление пара было изучено только при 45 и 60°. При температуре 30° измерить давление пара не удалось из-за встретившихся экспериментальных затруднений. Экспериментальные данные по давлению и составу пара, а также состав жидкости приведены в табл. 7.

Данные по взаимной растворимости и давлению пара при 60° представлены на треугольной диаграмме, где состав выражен в вес. %. Над каждой нодой, изображенной пунктирной линией, написано соответствующее давление пара. Сплошными линиями обозначены ноды для синтетических смесей.

Таблица 7

Давление и состав пара и состав равновесной жидкости при 45 и 60°

Плотность при 30°		Содержание компонентов, в вес. %						Общее давление	Парциальное давление		
		Жидкость			Пар				HCOOH	C <sub>2</sub> H <sub>4</sub> Cl <sub>2</sub>	H <sub>2</sub> O
Жидкость	Пар	HCOOH	C <sub>2</sub> H <sub>4</sub> Cl <sub>2</sub>	H <sub>2</sub> O	HCOOH	C <sub>2</sub> H <sub>4</sub> Cl <sub>2</sub>	H <sub>2</sub> O				
45°											
I. Кислота — вода		81,44	0,00	18,56	89,39	0,00	10,61	66,0	50,6	0,0	15,4
1,1745	1,1895	80,13	1,20	18,67	84,05	4,75	11,20	68,0	49,8	1,3	16,9
1,1762	1,1919	81,09	1,00	17,91	84,28	6,50	9,22	69,5	52,8	1,9	14,8
1,1792	1,2080	73,46	9,20	17,34	19,72	76,32	3,96	175,3	52,9	95,2	27,1
II. Кислота — вода		96,99	0,00	3,01	99,51	0,00	0,49	97,8	96,6	0,0	1,2
1,2035	1,2051	96,59	1,75	1,66	86,67	11,20	0,13	106,0	99,8	5,9	0,4
1,2038	1,2048	95,12	3,30	1,58	80,43	18,50	1,07	111,4	97,7	10,4	3,3
1,2022	1,2036	93,03	4,10	2,87	70,69	27,10	2,21	122,5	97,4	17,3	7,8
1,2027	1,2061	90,50	7,00	2,50	57,55	40,75	1,70	137,7	98,0	32,3	7,4
1,2020	1,2071	89,03	8,00	2,97	51,73	46,80	1,47	151,0	101,2	42,5	7,3
1,2020	1,2100	85,29	11,70	3,01	42,74	56,30	0,96	173,5	103,9	63,6	6,0
1,2022	1,2114	83,81	13,20	2,99	39,08	60,30	0,62	182,0	103,6	74,2	4,2
1,2030	1,2141	76,33	21,25	2,42	31,94	66,90	1,16	206,0	99,7	97,4	9,3
II. Кислота — вода		77,50	0,00	22,50	84,00	0,00	16,00	62,0	41,7	0,0	20,3
1,1564	1,1987	71,28	1,00	27,72	63,81	21,59	14,60	69,0	39,6	6,2	23,2
1,1569	1,2008	70,38	2,10	27,52	30,04	57,48	12,48	85,0	28,8	25,6	30,6
1,1568	1,2007	70,12	2,25	27,63	28,21	61,11	10,68	88,7	29,8	30,0	28,9
V. Кислота — вода		90,70	0,00	9,30	96,49	0,00	3,51	80,0	73,2	0,0	6,8
1,1910	1,0020	89,57	1,10	9,33	91,42	8,60	1,98	85,3	77,6	3,4	4,3
1,1921	1,1907	88,77	2,25	8,98	65,31	22,50	12,19	99,5	57,1	9,1	27,2
1,1923	1,2042	86,55	4,60	8,85	53,54	43,70	2,76	122,0	80,7	30,6	10,6
1,1942	1,2106	82,03	9,60	8,37	39,38	59,40	1,22	158,5	89,1	62,4	7,0
1,1919	1,2115	76,88	13,70	9,42	25,47	69,50	5,03	101,0	68,9	87,3	34,8
60°											
I. Кислота — вода		81,71	0,00	18,30	88,71	0,00	11,29	130,2	98,3	0,0	32,0
1,1750	1,1886	81,19	0,50	18,31	86,61	2,00	11,31	131,0	97,5	1,0	32,5
1,1785	1,1927	82,95	0,40	16,65	83,24	7,70	9,06	136,9	103,6	4,5	28,8
1,1780	1,2040	80,75	2,10	17,15	47,48	38,35	4,17	120,0	118,7	44,6	26,6
1,1779	1,2040	75,05	7,25	17,70	23,52	71,40	5,08	277,0	93,5	131,8	51,6
II. Кислота — вод		97,45	0,00	2,55	99,45	0,00	0,55	181,0	178,5	0,0	2,5
1,2040	1,2048	96,32	2,20	1,48	91,87	7,90	0,23	190,0	181,6	7,3	1,2
1,2031	1,2030	95,84	2,20	—1,96	85,58	12,20	0,22	200,0	176,6	11,7	11,7
1,2037	1,2048	94,02	4,25	1,73	74,79	23,70	1,52	212,5	177,2	26,1	9,2
1,2021	1,2059	91,76	5,20	3,04	62,18	36,40	1,42	234,5	176,3	47,9	10,3
1,2026	1,2071	89,65	7,75	2,60	54,73	44,00	1,27	256,0	178,7	66,7	10,6
1,2026	1,2082	87,29	9,90	2,81	46,17	62,20	1,63	292,0	180,8	95,0	16,3
1,2027	1,2107	83,84	13,30	2,86	40,41	58,50	1,09	318,5	182,9	123,0	12,6
1,2026	1,2133	77,60	19,50	2,90	32,99	65,50	1,51	358,9	176,0	162,4	20,6
II. Кислота — вода		74,30	0,00	25,70	78,50	0,00	21,50	124,0	73,0	0,0	51,0
1,1628	1,1694	74,39	0,90	24,71	75,76	2,25	19,99	125,3	74,2	1,0	50,1
1,1638	1,1747	74,48	1,25	24,27	71,14	9,50	19,36	129,3	73,6	4,6	51,2
1,1558	1,1985	70,58	1,40	28,02	39,44	42,42	16,14	159,0	62,5	31,2	65,3
1,1659	1,2016	73,44	3,30	23,26	29,55	60,80	9,65	198,0	71,0	67,8	59,2
V. Кислота — вода		91,45	0,00	8,55	96,31	0,00	3,69	154,0	140,3	0,0	13,7
1,1939	1,2020	89,48	2,50	8,02	80,11	17,00	2,89	167,8	140,9	13,8	13,0
1,1926	1,2019	87,08	4,00	8,92	62,01	32,80	5,19	200,5	137,4	33,8	29,4
1,1935	1,2066	85,16	6,50	8,35	48,61	48,30	3,09	239,0	147,2	67,9	23,9
1,1942	1,2166	77,57	14,00	8,43	25,89	72,50	1,61	233,5	135,6	176,4	21,5

В гомогенной области тройной диаграммы сплошными линиями изображены проекции поверхности жидкости, а пунктирными — поверхности пара. На стороне треугольника, соответствующей двойной системе муравьиная кислота — дихлорэтан, приведены значения давления паров соответствующих изобар. У сплошных линий для жидкости также указано давление пара. Как видно из рисунка, линии пара обрываются далеко от гетерогенной области, что связано с большим различием в составе жидкости и пара. Если взять жидкость с еще большим содержанием дихлорэтана, то состав пара попадает в гетерогенную область.

### Выводы

1. Измерены давление пара и состав жидкости и пара двойных систем муравьиная кислота — 1,2-дихлорэтана и муравьиная кислота — вода при 30, 45 и 60°.

По кривым давления пара определен состав азеотропных смесей при тех же температурах.

2. Экспериментально определен состав гетероазеотропа в системе дихлорэтан — вода при 30 и 45°.

3. Измерена плотность гомогенной части тройной системы муравьиная кислота — дихлорэтан — вода.

4. Измерены давление пара и состав жидкости и пара расслаивающихся и гомогенных смесей тройной системы муравьиная кислота — дихлорэтан — вода при температурах 30, 45 и 60°.

5. Определен состав тройной азеотропной смеси при температурах 30, 45 и 60°.

Киевский политехнический  
институт

Поступила  
7.X.1958

### ЛИТЕРАТУРА

1. В. В. Удовенко и Л. П. Александрова. Ж. физ. химии, 32, 188, 1958.
2. G. Scatchard, C. L. Raymond, H. H. Gilmann, J. Amer. Chem. Soc., 60, 1275, 1938.
3. В. В. Удовенко и Л. Г. Фаткулина, Ж. физ. химии, 26, 211, 1952.
4. М. С. Вревский, Н. А. Гельд, С. А. Шукарев, ЖРФХО, 59, 61, 1927.
5. А. А. Глаголева, Ж. общ. химии, 11, 765, 1941.
6. А. А. Глаголева, Ж. общ. химии, 16, 21, 1946.
7. А. А. Глаголева, Ж. общ. химии, 17, 1044, 1947.
8. В. В. Удовенко и Л. Г. Фаткулина, Ж. физ. химии, 26, 1438, 1952.
9. Л. Хорсли, Таблицы азеотропных смесей, ИИЛ, Москва, 1951.

### VAPOR PRESSURE OF TRI-COMPONENT SYSTEMS

#### III. THE SYSTEM FORMIC ACID — 1,2-DICHLOROETHANE — WATER

V. V. Udovenko and L. P. Aleksandrova (Kiev)

#### Summary

The results are presented of measurements of the vapor pressure and liquid composition of the binary systems formic acid — 1,2-dichloroethane and formic acid — water and of the ternary system formic acid — 1,2-dichloroethane — water. For these systems the composition of azeotropic mixtures has been determined for a number of temperatures.



## МЕТОДЫ И ТЕХНИКА ФИЗИКО-ХИМИЧЕСКОГО ИССЛЕДОВАНИЯ

### О КОМПОНЕНТНОМ АНАЛИЗЕ БИНАРНЫХ СИСТЕМ ПО ОСЛАБЛЕНИЮ $\gamma$ -ИЗЛУЧЕНИЯ

*В. С. Меркулов и А. В. Климушев*

Рядом авторов [1—5] использовался метод ослабления  $\gamma$ -излучения для компонентного анализа бинарных систем. В качестве таких систем исследовались различные смеси, эмульсии, растворы, а также химические соединения.

В последнем случае одним из компонентов считался элемент, содержание которого необходимо было определять, а вторым — остальная часть соединения.

Ниже рассматривается теория метода в общем виде.

Массовое содержание  $\mu$  определим как отношение массы первого компонента  $m_1$  к анализируемому объему к массе бинарной системы  $m = m_1 + m_2$  в том же объеме:  $\mu = m_1/m$  ( $m_2$  — масса второго компонента). При просвечивании контролируемого объема на пути излучения находится также вещество оболочки, ограничивающей исследуемую систему.

Для узкого пучка монохроматического  $\gamma$ -излучения имеет место экспоненциальный закон ослабления:

$$I = I_0 e^{-\sum_{i=1}^n \mu_{0i} m_i}, \quad (1)$$

где  $I_0$  и  $I$  — соответственно количества излучения до и после прохождения исследуемой системы и ограничивающей ее оболочки;  $\mu_{0i}$  — массовый коэффициент ослабления  $i$ -го компонента;  $m_i$  — масса  $i$ -го компонента на пути излучения. Защитная оболочка будет считаться третьим компонентом, масса которого на пути излучения  $m_3$  постоянна и может быть исключена контрольным измерением:

$$I_1 = I_0 e^{-\mu_{03} m_3}. \quad (2)$$

В качестве следующего уравнения запишем условие полноты заполнения объема, ограниченного оболочкой:

$$\frac{m_1}{\rho_1} + \frac{m_2}{\rho_2} = D, \quad (3)$$

где  $D$  — длина пути излучения в среде,  $\rho_1$  и  $\rho_2$  — средние истинные плотности первого и второго компонентов.

Под величиной средней истинной плотности будем понимать среднюю плотность компонента по всем точкам контролируемого объема, занятым только этим компонентом. Для не связанных химически компонентов данное определение сохраняет физический смысл при любой степени дисперсности бинарной системы.

Для химически связанных компонентов точки объема, занятые компонентом, являются, очевидно, точками объема, занятыми его атомами.

Решая совместно уравнения (1), (2), (3) и вводя обозначения:

$$A = \ln \frac{I}{I_1}, \quad A_2 = \mu_{02} D \rho_2, \quad p = \frac{\rho_1 - \rho_2}{\rho_1}, \quad n = \frac{\mu_{01} - \mu_{02}}{\mu_{02}},$$

получим

$$\varphi = \frac{A - A_2}{Ap + A_2 n}. \quad (4)$$

Величины  $A$  характеризуют степень ослабления излучения веществом:  $A$  — ослабление излучения исследуемой системой,  $A_2$  — ослабление излучения при заполнении контролируемого объема целиком вторым компонентом. В дальнейшем нам понадобятся также величины:

$$A_3 = \mu_{02} m_3 \quad \text{и} \quad n_3 = \frac{\mu_{03} - \mu_{02}}{\mu_{02}}.$$

Рассмотрим два частных случая.

1.  $n = 0$ . Это равенство выполняется строго, если оба компонента состоят из одного и того же вещества в двух различных агрегатных состояниях, и приближенно при использовании  $\gamma$ -излучения с энергией квантов в диапазоне  $0,3 \div 2,3$  MeV. В этом случае  $\varphi = \frac{1}{p} \left( 1 - \frac{A_2}{A} \right)$ . Анализ этого случая дан в работе [6].

2.  $n \gg p \frac{A}{A_2}$ . Этот случай имеет место при использовании мягкого  $\gamma$ -излучения (энергия квантов  $< 0,3$  MeV).

Тогда

$$\varphi = n \left( \frac{A}{A_2} - 1 \right).$$

Последняя формула приведена в работе [4], посвященной определению содержания серы в углеводородах.

Степень применимости разбираемого метода во многом определяется величиной погрешности измерения. Последняя складывается из частей, обусловленных аппаратной и статистической ошибками регистрации излучения. Статистическая ошибка определяется случайным характером процесса радиоактивного распада в источнике является фактором, принципиально ограничивающим точность измерения. Ниже рассматривается только эта составляющая погрешности. Величина ее зависит от энергии  $\gamma$ -квантов применяемого излучения и может быть уменьшена рациональным выбором излучателя.

Статистическая ошибка регистрации количества излучения равна

$$\Delta I = \sqrt{I\eta}, \quad (3)$$

где  $\eta$  — эффективность детектора.

Если считать, что величина  $I_1$  может быть определена при тарировке со сколь угодно высокой точностью, погрешность определяется статистической ошибкой регистрации  $I$ .

Дифференцируя (4) по  $I$  и используя равенство (5), можно записать следующее выражение, определяющее величину погрешности  $\Delta\varphi$ :

$$\Delta\varphi = \frac{(1 - p\varphi)^2}{A_2 \sqrt{I\eta} (p + n)} \exp \left\{ \frac{A_3}{2} (1 + n_3) + \frac{A_2}{2} \left( \frac{1 + n\varphi}{1 - p\varphi} \right) \right\}. \quad (4)$$

Согласно равенству (6) величина  $\Delta\varphi$  зависит от величин, характеризующих источник —  $I_0$ , детектор —  $\eta$ , анализируемую систему  $p, \varphi$ , взаимодействие излучения с анализируемой системой и оболочкой —  $A_2, A_3, n_2, n_3$ . Последние четыре параметра заключают в себе зависимость  $\Delta\varphi$  от энергии  $E$  квантов применяемого излучения.

Форма зависимости  $\Delta\varphi(E)$  имеет седлообразный вид. Минимум погрешности лежит при некотором значении энергии квантов излучения, которое и является оптимальным для анализа предложенной системы.

Условие минимума определяется обычным путем:  $\partial\Delta\varphi/\partial E = 0$ .

Несмотря на важность рационального выбора излучения для практических применений, соответствующий критерий трудно выразить в явном виде.

Для общего случая, считая только что  $\eta(E) = \text{const}$ , можно записать:

$$\begin{aligned} & \left[ \left( \frac{1 + n\varphi}{2(1 - p\varphi)} - \frac{1}{A_2} \right) Dp_2 + \frac{m_3}{2} (1 + n_3) \right] \frac{\partial\mu_{02}}{\partial E} + \\ & + \left( \frac{A_2\varphi}{2(1 - p\varphi)} - \frac{1}{p + n} \right) \frac{\partial n}{\partial E} + \frac{\mu_{03}m_3}{2} \frac{\partial n_3}{\partial E} = 10. \end{aligned} \quad (5)$$

Величины  $\mu_{02}, n, n_3$ , входящие в выражение (7), сложным образом зависят от энергии излучения.

На рисунке приведено семейство кривых  $\mu_0(E)$  для ряда элементов, построенных по данным Дэйвиссона (см. [7]), которые определяют также величины  $n, n_3$ . Кривые естественным образом разбиваются на следующие участки:

а) Область преобладания комpton-эффекта. В этой области  $n = n_3 = 0$ . Для легких элементов это соответствует энергиям  $0,3 \div 2,3$  MeV.

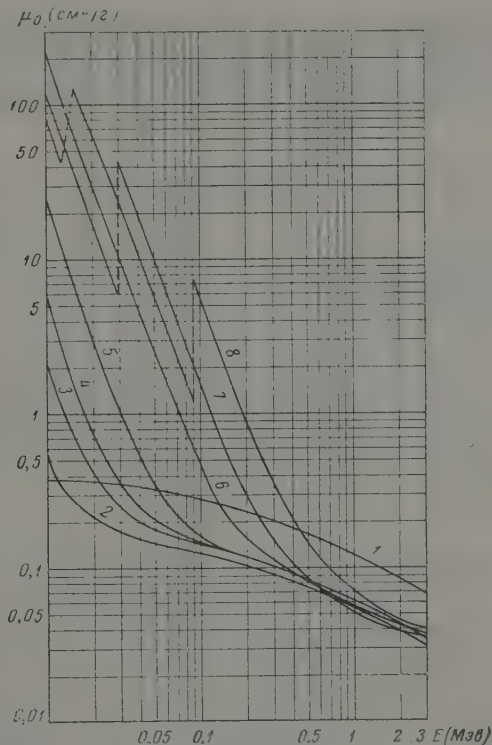
б) Область преобладания «нормального» фотоэффекта — до появления  $k$ -,  $L$ - $M$ -скачков. Для легких элементов это соответствует энергиям  $0,01 \div 0,1$  MeV. В этой области функция  $\mu_0(E, Z)$  ( $Z$  — атомный номер) допускает разделение переменных  $\mu_0(E, Z) = f_1(E)f_2(Z)$ , вследствие чего  $n = \text{const}$ .

в) Промежуточная область (между областями 1 и 2) — область «перегиба» кривой  $\mu_0(E)$ .

В этой области  $n(E)$  изменяется монотонно: при этом  $\partial n / \partial E$  и  $\partial \mu_0 / \partial E$  имеют одинаковые знаки, если индекс 2 относится к элементу с меньшим  $Z$ .

г) Область  $K$ -,  $L$ -,  $M$ -скачков.

Для некоторых частных случаев, соответствующих названным областям, можно выразить явным образом критерий выбора оптимальной энергии излучения и величину погрешности, соответствующую указанному выбору.



Кривые зависимости массового коэффициента ослабления от энергии  $\gamma$ -квантов, относящиеся соответственно к элементам: 1 — H ( $Z=1$ ), 2 — Be ( $Z=4$ ), 3 — C ( $Z=6$ ), 4 — O ( $Z=8$ ), 5 — Al ( $Z=13$ ), 6 — Cu ( $Z=29$ ), 7 — Sn ( $Z=50$ ), 8 — Pb ( $Z=82$ ).

а)  $n = n_3 = 0$ :

$$\mu_{02} = \frac{2}{m_3 + \frac{D\rho_2}{1-p\varphi}}, \quad \Delta\varphi = \frac{e(1-p\varphi)^2}{A_2 p \sqrt{I_0 \eta}}; \quad (8)$$

б)  $n = \text{const}$ :

$$\mu_{02} = \frac{2}{(1+n_2)m_3 + D\rho_2 \frac{1+n\varphi}{1-p\varphi}}, \quad \Delta\varphi = \frac{e(1-p\varphi)^2}{A_2(p+n)\sqrt{I_0 \eta}}. \quad (9)$$

в)  $\partial n / \partial E > 0$ ,  $m_3 = 0$ . Оптимальная энергия лежит в интервале, границы которого определяются равенствами:

$$\mu_{02} = \begin{cases} \frac{1}{D\rho_2} \frac{2(1-p\varphi)}{(p+n)\varphi}, \\ \frac{1}{D\rho_2} \frac{2(1-p\varphi)}{1+n\varphi}. \end{cases} \quad (10)$$

Если также  $p = 0$ ,  $n\varphi \gg 1$ , то

$$\begin{aligned} \mu_{02} &= \frac{2}{D_{p2} n \varphi}, \\ \Delta \varphi &= \frac{e \varphi}{2 \sqrt{I_{07}}}. \end{aligned} \quad (1)$$

Пользуясь написанными критериями, определяют оптимальную энергию  $\gamma$ -квантов и затем подбирают изотоп при помощи известных каталогов [8]. Исходя из заданных погрешности измерения, определяют необходимое количество излучения и затем в времени измерения, эффективности регистрации и геометрическому фактору использования излучения с учетом ослабления излучения защитными оболочками — мощность источника.

Поступила  
16 X 1959

#### ЛИТЕРАТУРА

1. З. Л. Мирополюский, М. А. Стырикович, Изв. АН СССР, Отд. техн., № 9, 154, 1955.
2. R. N. Bartolomew, R. M. Casagrande, Industr. and Engng Chem 428, 1957.
3. D. H. Thurnau, Analit. Chem., 1772, 1957.
4. H. K. Hughes, J. W. Wilezowsky, Analit. Chem., 1889, 1954.
5. J. F. Самеги: доклад на Международной конференции по применению радиоизотопов в научных исследованиях, Париж, 1957.
6. В. С. Меркулов, А. В. Климушев. Измерит. техника, №-12, 52, 1958.
7. Бета- и гамма-спектроскопия, Госиздат физ.-мат. литературы, М., 1959.
8. Изотопы, источники излучения и радиоактивные материалы (каталог), Атомиздат, 1959.

#### THE COMPONENT ANALYSIS OF BINARY SYSTEMS FROM THE ABSORPTION OF $\gamma$ -RADIATION

*V. S. Merkulov and A. V. Klimushev (Moscow)*

#### Summary

A number of authors has employed the absorption of  $\gamma$ -radiation for the component analysis of binary systems. As such systems various mixtures, emulsions, solutions and chemical compounds were employed. In the last case one of the components was considered the element, of which the content had to be determined, and the second the rest of the compound.

In the paper the general theory of the method has been discussed.



## ПРИБОР ДЛЯ ГРАФИЧЕСКОГО ДИФФЕРЕНЦИРОВАНИЯ ПРИ ПОМОЩИ КРУГА ДЛЯ УСКОРЕНИЯ ОБРАБОТКИ КИНЕТИЧЕСКИХ КРИВЫХ

М. С. Сытилиш

Самый старый метод графического дифференцирования заключается в нахождении тангенса угла наклона касательной. Однако этот метод имеет ряд очевидных существенных недостатков.

Вагнер [1] предложил прибор для нахождения производной в любой точке исследуемого графика. В этом приборе зеркальце, расположенное перпендикулярно к плоскости чертежа, вращается до положения, в котором видимая часть исследуемой кривой становится плавным продолжением отраженной. Плоскость самого зеркала совпадает с нормалью кривой в исследуемой точке. Зеркальце крепится в приборе, позволяющем сделать отсчет угла плоскости зеркала с осью абсцисс.

Основным недостатком этого метода являются неопределенность в установлении величины перехода дифференцируемой кривой в ее отражение, а тем самым трудность оценки точности найденного значения производной.

Некоторой разновидностью этого способа графического дифференцирования является дифференцирование при помощи угольника [2].

К. В. Чмутовым и В. Е. Ермишиным [3] описан прибор для графического построения производной функции. Этот прибор позволяет сразу строить по точкам график значений производной. Однако наличие конечной толщины преломляющего материала стеклянные палочки диаметром 1,5—2,0 мм) вносит некоторую ошибку при нахождении истинного значения производной в данной точке кривой.

В 1953—1957 гг. Н. В. Еремеевым [4] был предложен номографический способ графического дифференцирования. Этот метод прост, хотя, как отмечает сам автор, он дает большую ошибку при углах касательной меньше  $45^\circ$ .

Нами был построен по методу Н. В. Еремеева график функции  $y = e^x$  в большом масштабе, а затем сфотографирован на диапозитивной (негативной) стеклянной пластинке и рентгеновской пленке. На этом графике были нанесены значения производной  $y'/dx$ . Это позволило находить значения производной по номограмме, не меняя масштаба.

Номограмма специальным приспособлением крепилась к чертежному прибору типа ЧПМ. Подобное устройство позволило быстро и по нескольким раз находить значение производной в любой точке графика. Самые лучшие результаты получаются тогда, когда номограмма имеет большую кривизну, а это ограничено узкой областью значений самой экспоненциальной функции.

Если в приборе К. В. Чмутова и В. Е. Еремеева область нахождения производной ограничена со стороны больших значений производной, то в методе Н. В. Еремеева она ограничена как со стороны больших, так и со стороны малых значений производной. В обоих методах с увеличением масштаба производной уменьшается область нахождения значений производных.

В данной статье описывается более простой и, как нам кажется, довольно надежный метод графического дифференцирования. Известно, что если две кривые соприкасаются в одной точке, то их производные равны между собой (метод Н. В. Еремеева); одновременно их нормали совпадают. Вместо набора нескольких графиков с известными значениями производных проводится окружность с любым радиусом для касания в исследуемой точке кривой. Далее через центр этой окружности и точку касания проводится прямая, которая одновременно служит нормалью к исследуемой кривой в точке касания. По тангенсу угла между нормалью и вертикальным диаметром окружности находят значение производной в точке касания (рис. 1). На этом принципе нами построен прибор.

В прозрачной прямоугольной пластине делается отверстие. Через центр отверстия по всей длине пластины проводятся две взаимно перпендикулярные линии. По полукруглому отверстию накладываются значения тангенса угла от  $0$  до  $\pm 90^\circ$  (рис. 2, а). В отверстие пластины вставляется диск из прозрачного материала с несколькими окружностями, имеющими один общий центр с диском. Через этот центр проведен диаметр (рис. 2, б). Диск вставляется в пластину с отверстием того же диаметра ( $\pm 0,05$  мм), которую лучше всего прикрепить к чертежному прибору (типа ЧПМ). Чтобы избежать влияния параллакса на точность отсчета, шкала на пластине и окружности на диске обращены к плоскости графика.

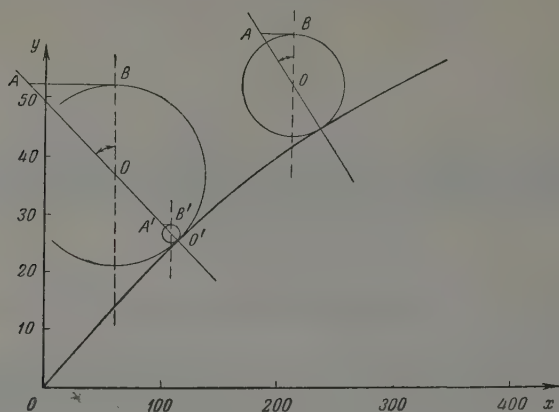
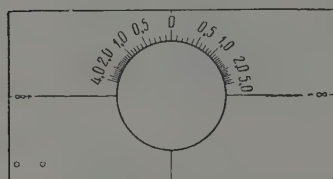
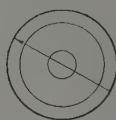


Рис. 1



а



б

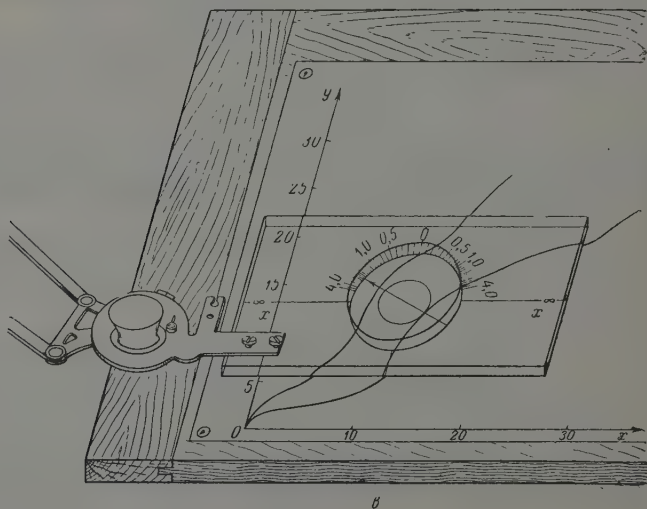


Рис. 2

Для нахождения значений производной в произвольно выбранной точке исследуемого графика (рис. 2, б) достаточно привести в соприкосновение одну из окружностей на подвижном диске с кривой, например, в точке  $M$ , а при этом ось  $x$  — линии бесконечности должна быть параллельной координатой оси  $x$  исследуемого графика. После этого вращают диск до тех пор, пока указатель (диаметр) не попадет в точку касания. Конец указателя покажет на шкале значения производной в данной точке касания. Точность отсчета зависит от диаметра отверстия на пластине и не зависит от ди-

метра окружности, касающейся графика. С увеличением диаметра окружности, касающейся графика, точность отсчета производной не возрастает, так как одновременно увеличивается область соприкосновения последней с исследуемой кривой и возрастает ошибка в определении точки касания. От масштаба исследуемого графика в большей степени зависит определение найденного значения производной в данной точке графика. Масштаб производной определяется по графику

$$I = \frac{\text{значение ординаты}}{\text{значение абсцисс}} \text{ при угле } 645^\circ$$

Этот прибор позволяет находить значения производной от  $-\infty$  до  $+\infty$ , т. е. нахождение значений производной не ограничено ни с какой стороны.

При диаметре отверстия в 200 мм прибор позволяет найти значения производной до третьего знака в интервале от  $|5,0|$  до  $|0,1|$ ; до второго знака от  $|0,1|$  до  $|0,01|$  и от  $|30,0|$  до  $|5,0|$ ; до одного знака от  $|0,01|$  до 0 и от  $|30,0|$  и более. Дальнейшее увеличение диаметра отверстия в пластине фактически не приведет к большей точности из-за ошибок в построении кривой.

Этот прибор не боится ударов (органическое стекло) и сравнительно прост в изготовлении.

В заключение приношу благодарность Н. В. Еремееву, коллективу кафедры физической химии МХТИ им. Д. И. Менделеева и особенно проф. С. В. Горбачеву за дружеские советы.

Химико-технологический  
институт им. Д. И. Менделеева

Поступила  
16.XI.1959

#### ЛИТЕРАТУРА

- A. W a g e n e r, Phys. Z., 10, 57, 1909.  
М. Х. Карапетьянц, Химическая термодинамика, 1952.  
К. В. Чмутов и В. Е. Ермишин, Журн. физ. химии, 29, 930, 1955.  
Н. В. Еремеев, Вестн. МГУ, № 3, 1953; № 6, 3, 1957.

#### APPARATUS FOR GRAPHICAL DIFFERENTIATION WITH THE AID OF A CIRCLE TO ACCELERATE THE TREATMENT OF KINETIC DATA

*M. S. Sytilin (Moscow)*

#### S u m m a r y

The method of graphical differentiation with the aid of a circle has been discussed and on its basis an apparatus has been made and described for accelerating the determination of the value of the derivative for any point on the curve. It has been shown that the region in which the values for the derivative are found is not limited from any side.

# ДИСКУССИЯ

## ОБ АДДИТИВНОСТИ ЛОГАРИФМОВ ВЯЗКОСТИ ЖИДКИХ СМЕСЕЙ

(Замечания к статье А. Я. Дейча [1])

А. Б. Здановский

Для выражения изменения вязкости при смешении разных жидкостей имеется относительно большое число формул [2]. Одна из них — эмпирическая формула Аррениуса — предусматривает аддитивное изменение логарифмов вязкостей смешиваемых жидкостей:

$$\lg \eta = x \lg \eta_1 + (1 - x) \lg \eta_2, \quad (1)$$

где  $\eta_1$  и  $\eta_2$  — вязкости отдельных компонентов,  $x$  и  $(1 - x)$  — их молярные или объемные доли.

Д. А. Поспехов в своей работе [3] привел три новые системы, для которых ему удалось отметить аддитивность изменения логарифмов вязкостей компонентов с молярными долями. При этом он оговаривается, что в подобном исследовании Кендалла [4], пользовавшегося молярными долями, ни одна из рассмотренных им нескольких десятков систем не показала совпадения опытных и рассчитанных величин в полном интервале концентраций.

Однако А. Я. Дейч [1], основываясь на данных Д. А. Поспехова, сделал два неправильных вывода: 1) формула Аррениуса строго характеризует изменение вязкости идеальных смесей

2) по отклонению от нее можно с достоверностью судить о химических взаимодействиях в системах

Ранее мною [2] были показаны на примерах таких идеальных систем, как этиловый эфир-бензол, нитробензол-бензол, довольно значительные отклонения (до 5—8,5%) вычисленные по формуле Аррениуса значений вязкости от наблюдаемых. Тогда же мною была получена и

уравнения Пуазейля новая зависимость в такой форме:

$$\frac{d}{\eta} = x \frac{d_1}{\eta_1} + (1 - x) \frac{d_2}{\eta_2}, \quad (2)$$

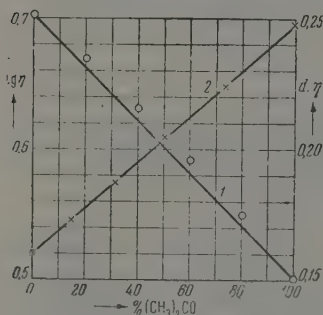
где  $d$ ,  $d_1$  и  $d_2$  — плотности смеси и компонентов,  $x$  и  $(1 - x)$  — объемные доли компонентов.

Применительно к вышеназванным двум органическим системам, а также к смеси изопирических водных растворов NaCl и  $\text{NH}_4\text{Cl}$ , NaCl и KCl,  $\text{Na}_2\text{CO}_3$  и NaOH было отмечено [2] хорошее согласие новой зависимости с опытными данными.

В целях иллюстрации малой пригодности формулы Аррениуса я приведу еще два примера.

На рисунке изображены  $\lg \eta$  относительно мол. % и кинематические текучести  $d/\eta$  относительно объемн. % ацетона в системе метилпропилкетон-ацетон, изученной А. П. Тороповым [5]. Названная система состоит из компонентов одного класса химических соединений, без химического взаимодействия. Кроме того, энергии связи молекул 1-го и 2-го компонента, вычисленные по методу Г. М. Панченкова, имеют одинаковые значения  $E_{12} = 1720$  кал/моль во всей системе. Однако логарифмы вязкостей смесей в системе меняются криволинейно.

В наибольшей мере идеальным жидкостям должны соответствовать изопирические растворы химически не взаимодействующих электролитов, которые при смешении сохраняют свою первоначальную активность воды [6]. Поэтому мы обратимся к вязкости смешанных растворов солей, условно расчленяемых нами [6] на составляющую смесь изопирические растворы.





В таблице приведены опытные данные [7] по вязкости водных растворов NaCl — Cl и NaCl — MgCl<sub>2</sub> при 20°. Концентрации, объемные доли и активности воды  $a_{H_2O}$  зоопиестических растворов отдельных солей рассчитаны нами, а вязкости тех же растворов установлены по опытным данным [7].

Вязкость смесей зоопиестических растворов солей при 20°

Состав раствора				Объемная доля II' раст- вора	$a_{H_2O}$	$\eta$ , сантипуазы		
соли	вес. %	$d_{\frac{20}{4}}$	г/л			эксп.	(1)	(2)
NaCl	16,65	1,120	186,5	0	0,872	1,42	—	—
NaCl	12,20	1,130	137,8	0,262	0,872	1,294	1,302	1,286
KCl	6,09		68,8					
KCl	22,80	1,153	262,9	1	0,872	1,02	—	—
NaCl	28,06	1,216	341,2	0	0,725	2,19	—	—
NaCl	20,62	1,2315	253,9	0,256	0,725	1,865	1,916	1,854
KCl	10,14		124,9					
KCl	38,24	1,275	487,6	1	0,725	(1,30)	—	—
NaCl	29,45	1,229	331,9	0	0,703	2,38	—	—
NaCl	9,24	1,213	112,0	0,692	0,703	3,091	3,126	3,067
MgCl <sub>2</sub>	15,84		192,1					
MgCl <sub>2</sub>	23,08	1,206	278,3	1	0,703	3,53	—	—

Из таблицы также следует, что вязкости, рассчитанные по формуле Аррениуса (1), имеют большие отклонения от опытных данных, чем рассчитанные по формуле (2).

Таким образом, оба вывода Дейча следует считать ошибочными.

Казанский государственный  
университет

Поступила  
5.II.1959

ЛИТЕРАТУРА

1. А. Я. Дейч, Ж. физ. химии, **31**, 2336, 1957.
2. А. Б. Здановский, Ж. физ. химии, **29**, 209, 1955.
3. Д. А. Поспехов, Ж. физ. химии, **30**, 228, 1956.
4. J. Kendall, К. Монрое, J. Amer. Chem. Soc., **39**, 1787, 1917.
5. А. П. Торопов, Ж. общ. химии, **26**, 1285, 1956.
6. А. Б. Здановский, Тр. Всес. н.-и. ин-та галургии, вып. **21**, **39**, 1949.
7. H. Tollert, J. D'Ans, Angew. Chem., **52**, 472, 1939.

# ЕЩЕ РАЗ ОБ ИЗУЧЕНИИ ЖИДКИХ СИСТЕМ ПО ОТКЛОНЕНИЮ ЛОГАРИФМА ВЯЗКОСТИ ОТ АДДИТИВНОСТИ

(Ответ на замечания А. Б. Здановского)

А. Я. Дейч

А. Б. Здановский доказывает [1], что я, основываясь на данных Д. А. Поспехов [2], сделал два неправильных вывода: 1) формула Аррениуса, предусматривающая аддитивное изменение логарифма вязкостей смешиваемых жидкостей, строго характеризует изменение вязкости идеальных смесей и 2) по отклонению от нее можно с достоверностью судить о химическом взаимодействии в системах.

Вместе с тем А. Б. Здановский доказывает справедливость своей формулы, будучи бы правильно отражающей изменение вязкости в идеальных жидких системах.

В связи с замечаниями А. Б. Здановского [1] к моей статье [3] мне представляется необходимым отметить следующее:

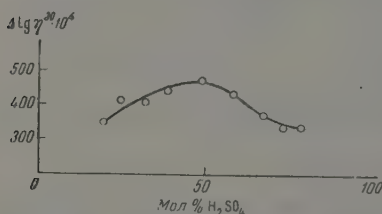
1. Д. А. Поспехов опубликовал статью [2] для доказательства того, что логарифм вязкости двойных жидких систем является свойством аддитивным и что это положение может быть выражено формулой Аррениуса, в которой значение  $x$  дано в виде молярной доли одного из компонентов:

$$\lg \eta = x \lg \eta_1 + (1-x) \lg \eta_2 \quad (1)$$

Однако А. Б. Здановский, не считаясь с содержанием и духом статьи Д. А. Поспехова и ссылаясь на мою статью [3], указывает, что на примере нескольких десятков систем формула (1) не подтверждается.

Но при этом А. Б. Здановский отбрасывает дальнейшие рассуждения Д. А. Поспехова о том, что «несколько позднее Гендалл установил и наличие хорошего совпадения опытных и рассчитанных величин (расхождение лишь 0,2% в среднем) для системы фенестол — дифениловый эфир в пределах значений  $x$  от 0 до 1» и что именно это положение Гендалла и послужило для Д. А. Поспехова отправной точкой в дальнейшем доказательстве аддитивности логарифма вязкости у двойных жидких систем.

2. Опираясь на установленное Д. А. Поспеховым положение, мною на основании экспериментальных данных была показана возможность суждения о химическом взаимодействии в жидких системах по отклонению логарифма вязкости от аддитивности.



Отклонение логарифма вязкости от аддитивности в системе  $NiSO_4 - H_2SO_4 - H_2O$

на сегодня подтверждены данными исследования системы по отклонению от аддитивности плотностей и показателей преломления [4].

В подтверждение правильности сказанного здесь приведу еще два примера:

Система  $NiSO_4 - H_2SO_4 - H_2O$  хорошо изучена многими методами и разными авторами [5,6], и во всех случаях в системе установлено молекулярное соединение при мольном соотношении компонентов 1 : 1. Этот же результат получен и по отклонению логарифма вязкости от аддитивности, как это видно из рисунка.

Приведенные на рисунке данные получены для растворов и их смесей, приготовленных по методике, описанной в работе [6].

Интересно отметить, что по отклонению логарифма вязкости от аддитивности можно судить о химическом взаимодействии также и в смесях водных растворов солей и некоторых органических веществ.

а в сочетании с методом непрерывных изменений Остромысленского — Жоба, — и возможности устанавливать состав образующихся молекулярных соединений в этих системах. При этом для подтверждения полученных данных мы строго руководствовались принципом их проверки по имеющимся литературным данным или по данным изучения соответствующих систем другими методами физико-химического анализа.

На основании изучения приведенных в работе [3] трех систем мною было выражено мнение о необходимости подтверждения полученных результатов только по системе  $BaJ_2 - NaJ - CH_3OH$ ; эти результаты

Так, многими методами была изучена система  $\text{AlCl}_3 - \text{CO}(\text{NH}_2)_2 - \text{H}_2\text{O}$  [7]. Все полученные результаты, в том числе и по отклонению логарифма вязкости от аддитивности, привели к одному и тому же выводу о химическом взаимодействии и образовании соответствующего молекулярного соединения.

3. Для выражения изменения вязкости в идеальных жидких системах А. Б. Здановский предложил формулу:

$$\frac{d}{\eta} = x \frac{d_1}{\eta_1} + (1 - x) \frac{d_2}{\eta_2}. \quad (2)$$

Однако при доказательстве правильности этой формулы ссылку на приведенные изонестетические растворы химически не взаимодействующих электролитов нельзя признать вполне удачной по следующим причинам:

а) Рассчитанные по формуле (2) вязкости все же имеют отклонения от опытных данных (порядка 0,8%).

б) Для системы  $\text{MgCl}_2 - \text{NaCl} - \text{H}_2\text{O}$  неоднократно методами физико-химического анализа было показано наличие, хотя и незначительного, химического взаимодействия [8—10]. Между тем это взаимодействие, по-видимому, не отражается на изотерме  $d/\eta$  — состав.

в) Вместе с тем в работе [1] приведены данные по системе  $\text{KCl} - \text{NaCl} - \text{H}_2\text{O}$ , для которой химическое взаимодействие компонентов не обнаруживается. Однако интересно то, что в работе [11] по этой же системе приведены значения  $d/\eta$  в зависимости от различных соотношений четырехмолекулярных растворов  $\text{KCl}$  и  $\text{NaCl}$ , которые укладываются на прямых изотермах в согласии с формулой (2), но крайние точки, отвечающие максимальным концентрациям исходных растворов, несколько отклонены от этих прямых.

4. На основании многочисленных исследований можно прийти к выводу об относительности понятия «идеальная система». Так, еще в 1926 г. В. Я. Аносов [12] на основании изучения показателей преломления двойных жидких смесей пришел к выводу, что строго идеальных смесей нет, что почти все вещества показывают некоторую склонность к химическому взаимодействию и к ассоциации.

Исходя из всего сказанного, я при изучении возможности образования молекулярных соединений в смесях растворов солей предпочел пользоваться формулой (1).

Поступила  
2.III.1959

#### ЛИТЕРАТУРА

1. А. Б. Здановский, Ж. физ. химии, 34, 1380, 1960.
2. Д. А. Поспехов, Ж. физ. химии, 30, 228, 1956.
3. А. Я. Дейч, Ж. физ. химии, 31, 2336, 1957.
4. А. Я. Дейч, Ж. неорганической химии, 3, 1888, 1958.
5. Я. А. Фиалков, и З. А. Шека, Ж. неорганической химии, 1, 1238, 1956.
6. А. Я. Дейч, Ж. неорганической химии, 3, 1465, 1958.
7. Н. Ф. Ермоленко, А. Я. Дейч, Докл. АН БССР, 2, 113, 1958.
8. А. В. Титов, Ж. общ. химии, 4, 5, 1934.
9. Н. К. Давиденко, Укр. хим. ж., 20, 350, 1954.
10. А. И. Мун и Р. С. Дарер, Ж. неорганической химии, 2, 1658, 1957.
11. А. Б. Здановский, Ж. физ. химии, 29, 209, 1955.
12. В. Я. Аносов, Изв. Сектора физ.-хим. анализа ИОНХ АН СССР, 9, 255, 1936.

## ПИСЬМА В РЕДАКЦИЮ

## О СВЯЗИ МЕЖДУ ТЕРМОДИНАМИЧЕСКОЙ УСТОЙЧИВОСТЬЮ СИСТЕМЫ И КИНЕТИКОЙ ИДУЩИХ В НЕЙ ПРОЦЕССОВ

В. К. Семенченко

Мы уже указывали [1], что развитие флуктуаций должно замедлять все происходящие в системе процессы, вследствие возникновения беспорядочно расположенных градиентов флуктуирующих параметров, в той или иной степени ослабляющих действие искусственно создаваемых градиентов, представляющих собою силы, управляющие данным процессом. Если, например, мы создаем между двумя точками раствора конечную разность концентрации, флуктуационные разности концентраций, возникающие между ними, могут или замедлить, или ускорить диффузию в зависимости от их знака. Но флуктуации, как мы также указывали [2], обратно пропорциональны коэффициентам там термодинамической устойчивости; следовательно, между кинетикой процесса и устойчивостью той системы, в которой он происходит, должна существовать какая-то связь. Попробуем выяснить характер этой связи, исходя из простейших предположений.

При наличии малых отклонений от термодинамического равновесия кинетика удовлетворительно описывается уравнениями типа уравнения Фурье для теплопроводности. Мы запишем это уравнение в общем виде таким образом: назовем потоком данной термодинамической координаты  $x_i$  произведение плотности этой координаты на вектор скорости, с которой она движется, и будем считать, что поток  $j_x$  пропорционален градиенту сопряженной с  $x_i$  силы  $X_i$ :

$$j_x = (v x_i) = L_{ii} \text{grad } X_i; \quad (1)$$

$$x_i = S, V, c_j; \quad X_i = T, p, \mu_j; \quad x_i = \frac{X_i}{V}.$$

Принимая, что плотность  $x_i$  подчиняется уравнению непрерывности

$$\frac{dx_i}{dt} + \text{div } j_x = \frac{dx_i}{dt} + \text{div } (v, x_i) = 0, \quad (2)$$

мы получаем для изменения плотности во времени уравнение:

$$\frac{dx_i}{dt} = -L_{ii} \Delta X_i. \quad (3)$$

Недостатком уравнения (3) является наличие двух неизвестных (хотя и связанных уравнением состояния) функций  $x_i$  и  $X_i$ . Мы можем, однако, при помощи простого преобразования получить уравнение, содержащее только плотности  $x_i$  или силы  $X_i$ . Для этого нам достаточно или продифференцировать левую часть уравнения по  $X_i$  или правую по  $x_i$ :

$$\frac{1}{V} \left( \frac{\partial x_i}{\partial X_i} \right)_{v, x_j} \frac{\partial X_i}{\partial t} = -L_{ii} \Delta X_i; \quad \frac{\partial x_i}{\partial t} = -L_{ii} \left( \frac{\partial X_i}{\partial x_i} \right)_{v, x_j} \text{grad } x_i. \quad (4)$$

Полагая  $x_i = S$ ;  $X = T$ , мы получим из (4) уравнение температуропроводности и (при умножении обеих частей на  $T$ ) теплопроводности:

$$\frac{\partial T}{\partial t} = -L_{ii} V \left( \frac{\partial T}{\partial S} \right)_{V_i} \Delta T; \quad T \frac{\partial S}{\partial t} = -L_{ii} T \Delta T; \quad \frac{\kappa_T}{\kappa_Q} = \frac{V}{T} \left( \frac{\partial T}{\partial S} \right) = \frac{V}{C_v}. \quad (5)$$

Деля коэффициенты при  $\Delta T$  друг на друга, мы находим обычное их отношение, что подтверждает правильность нашего метода в границах приближения Фурье. Подставляя  $x_i = c$ ;  $X_i = \mu$  и переходя к переменной  $c$ , мы получаем, пренебрегая диффузией вто-



рого компонента, выражение для коэффициента диффузии, найденное Онзагером и Фуосом [3]:

$$\frac{\partial c}{\partial t} = -L_{ii} \left( \frac{\partial \mu}{\partial c} \right)_{T,p} \Delta c; \quad D = -L_{ii} \left( \frac{\partial \mu}{\partial c} \right)_{T,p}. \quad (6)$$

Поскольку из выражений статистических аналогов термодинамических потенциалов можно получить выражение коэффициентов устойчивости через флуктуации [2], возможно написать общую формулу для кинетических коэффициентов, как функции флуктуаций:

$$L_{ii} \left( \frac{\partial X_i}{\partial x_i} \right) = \frac{L_{ii} k T}{(q_i - \bar{q}_i)^2}, \quad (7)$$

показывающую, что рост флуктуаций всегда уменьшает значение кинетических коэффициентов.

Не останавливаясь на разборе частных случаев, мы хотим отметить, что (4) и (7) дают возможность с точностью, допускаемой приближением Фурье, решить вопрос о предельных значениях кинетических коэффициентов для двух предельных случаев термодинамического равновесия: предельно устойчивого [4], при котором детерминант устойчивости  $D$  и по крайней мере один из адиабатических коэффициентов устойчивости  $(\partial X_i / \partial x_i) x_j$  стремятся к бесконечности (сверхсостояния), и лежащего на нижней границе устойчивости (спинодаль, критическая точка), когда  $D$  и все изодинамические коэффициенты устойчивости равны нулю.

В первом случае кинетические коэффициенты, пропорциональные или тому адиабатическому коэффициенту, который стремится к бесконечности, или изодинамическим коэффициентам, обладающим тем же свойством, также стремятся к бесконечности. Следовательно, в предельно устойчивых состояниях термодинамическое равновесие в отношении ряда (но не всех) свойств должно устанавливаться чрезвычайно быстро. Это понятно со статистической точки зрения, так как коэффициенты устойчивости могут стремиться к бесконечности только в случае прекращения флуктуаций. В предельно устойчивых системах не существует флуктуационных градиентов, поэтому все искусственно созданные градиенты должны выравниваться с предельной скоростью. Получающееся бесконечное значение скорости не является, конечно, соответствующим действительности, оно, скорее, выражает недостаточность приближения Фурье для этого случая. На нижней границе устойчивости, получающейся из (4), результат ближе к действительности: он указывает на прохождение адиабатических кинетических коэффициентов через конечный минимум и изодинамических — через нулевой минимум, т. е. подтверждает наш вывод о максимальном замедлении всех процессов в критической области, полученный из рассмотрения поведения флуктуаций в ней. Этот вывод подтверждается и опытом, предсказывая в то же время, что достижение самой критической точки является исключительно трудной и даже, может быть, неразрешимой экспериментальной задачей.

Московский государственный  
университет им. М. В. Ломоносова

Поступила  
4.1.1960

#### ЛИТЕРАТУРА

1. В. К. Семенченко, Применение ультразвуки к исследованию вещества, МОПИ, Москва, вып. 111, 51, 1956.
2. В. К. Семенченко, Ж. физ. химии, **21**, 1461, 1947.
3. L. Onsager а. R. Fuoss, J. Phys. Chem., **36**, 2689, 1932.
4. В. К. Семенченко, Изв. АН СССР, Отд. хим. н., 368, 2048, 1959; Ж. физ. химии, **33**, 1440, 1959.

# СОДЕРЖАНИЕ

П. К. Мигаль и В. А. Циплякова. К изучению кинетики адсорбции водорода и кислорода и их взаимодействия на платине . . . . .	117
С. И. Кричмар. О теории анодной заточки инструмента . . . . .	116
Н. А. Славинская, С. А. Каменецкая, С. Я. Пшежецкий и Л. А. Васильев. Влияние ионизирующего излучения на кинетику окисления и воспламенения бутана. . . . .	116
Л. В. Кармилова, Н. С. Ениколопан, А. Б. Налбандян и Н. Н. Семенов. Кинетика и механизм окисления метана. III . . . . .	117
В. Н. Еременко, Ю. В. Найдич и А. А. Носонович. Межфазная активность кислорода в системах жидкий металл — твердый окисел . . . . .	118
А. Н. Мальцев, Н. И. Кобозев, Т. В. Семенова и Е. И. Карпова. Некоторые структурные вопросы гидрогенизационного катализа III . . . . .	119
Ан. Н. Песмеянов, Л. П. Фирсова и Е. П. Исакова. Измерение давления насыщенного пара окиси свинца . . . . .	120
Ф. Г. Эльдаров. Теплопроводность неводных растворов солей. . . . .	120
А. В. Сторонкин и А. И. Русанов. Термодинамическая теория критических явлений в трехкомпонентных системах. IV . . . . .	121
Л. С. Соловьева. Определение кинетических характеристик поверхностной реакции в процессе горения газов . . . . .	121
Т. И. Попова и Т. А. Крюкова. Полярографические максимумы I рода. . . . .	122
Я. И. Турьян, Ю. С. Милявский и Б. П. Жанталай. Полярографическое определение коэффициента активности иона кадмия . . . . .	123
Н. Л. Покровский и Д. С. Тиссен. Свойства металлических растворов. VI . . . . .	123
Л. Т. Бугаенко, Е. П. Калязин и Н. А. Бах. Радиационная химия хлорокислородных соединений I. . . . .	124
И. Р. Кричевский, Н. Е. Хазанова и Ю. В. Цеханская. Критические явления в системе гексаметиленмин—вода. III. . . . .	125
А. Т. Ваграмян, А. И. Красовский, Ю. С. Петрова и З. А. Соловьева. Роль пассивирования в процессе электроосаждения металлов. . . . .	125
Ю. А. Толмачева и А. Т. Давыдов. Исследование обмена сульфатионов на анионите II — Ов динамических условиях на хлорид и йодид-ионы . . . . .	126
Е. В. Ступоченко, Е. В. Самуйлов, А. С. Плешанов и И. Б. Рождественский. Термодинамические функции воздуха при высоких температурах . . . . .	126
П. Е. Алексеевский, А. В. Дубровин и Г. Э. Карстенс. Применение масс-спектрометров с неоднородным магнитным полем для газового анализа . . . . .	127
Г. М. Пащенко, З. В. Грязнова. Дейтероводородный обмен и реакция крекинга кумола на алюмосиликатных катализаторах . . . . .	128
В. Л. Антоновский и И. В. Березин. Применение трития для определения относительных констант скоростей отрыва атомов водорода органических соединений . . . . .	128
В. А. Хромова. Кинетика реакций хлоридов стронция, бария и свинца с парами брома . . . . .	129
З. И. Фур. Релаксационный механизм распространения горения в гетерогенных экзотермических системах. II . . . . .	129
Т. А. Кудрявцева и Н. М. Чирков. Кинетика реакции обмена хлора в изомерных β-хлоркетоновых кислотах. IV . . . . .	130
Е. С. Ицкевич и П. Г. Стрелков. Термодинамические исследования при низких температурах. IX . . . . .	131
В. И. Смирнова и Б. Ф. Ормонт. Кварцевые высоковакуумные печи с вращающейся диафрагмой для определений поверхностного натяжения при высоких температурах и др. исследований . . . . .	131
В. Д. Решетов. Об униполярных зарядах аэрозолей . . . . .	132
Ю. И. Гозоров. К вопросу о кинетических уравнениях реакции алкилирования бензола и его гомологов непредельными углеводородами . . . . .	132
В. А. Журавлев и А. А. Кужельюк. Электродвижущие силы при некоторых каталитических восстановительных реакциях . . . . .	133
А. А. Баладин и И. Д. Рождественская. О влиянии поверхностного восстановления окиси хрома на ее каталитические свойства . . . . .	133
В. А. Кузнецов, М. П. Клевцова, Л. С. Загайнова, Л. С. Вайнтрауб, Т. А. Корובה. Исследование контактных разностей потенциалов между Sn и сплавами Sn — Те и электрокапиллярных явлений на сплавах Sn — Те . . . . .	134
М. В. Коровин. О катодной поляризации при электроосаждении сплава медь-никель . . . . .	135

В. В. Громов. Десорбция микроколичеств стронция и цезия с монтмориллонита и каолинита . . . . .	1357
О. Н. Качинская. Теплоты испарения цикланов . . . . .	1364
В. В. Удовенко и Л. П. Александрова. Давление пара трехкомпонентных систем . . . . .	1366

### Методы и техника физико-химического исследования

В. С. Меркулов и А. В. Климушев. О компонентном анализе бинарных систем по ослаблению $\gamma$ -излучения . . . . .	1373
И. С. Сытилин. Прибор для графического дифференцирования при помощи круга для ускорения обработки кинетических кривых . . . . .	1377

### Дискуссия

А. Б. Здановский. Об аддитивности логарифмов вязкости жидких смесей . . . . .	1380
А. Я. Дейч. Еще раз об изучении жидких систем по отклонению логарифма вязкости от аддитивности. . . . .	1382

### Письма в редакцию

В. К. Семенченко. О связи между термодинамической устойчивостью системы и кинетикой идущих в ней процессов . . . . .	1384
--	------

## CONTENTS

K. Migal', V. A. Tsiplyakova. Kinetics of Hydrogen and Oxygen Adsorption and Their Reaction on Platinum . . . . .	1153
I. Krichmar. On the Theory of the Anodic Sharpening of an Instrument . . . . .	1161
A. Slavinskaya, S. A. Kamenetskaya, S. Ya. Pshezhetskii. Kinetics of the Radiation Oxidation of Hydrocarbons. I. . . . .	1169
V. Karmilova, N. S. Enikolopyan, A. B. Nalbandyan and N. N. Semenov. Kinetics and Mechanism of the Oxidation of Methane. III. . . . .	1176
N. Ermenko, Yu. V. Naidich, A. A. Nosonovich. Interfacial Activity of Oxygen in Liquid Metal — Solid Oxide Systems. . . . .	1186
N. Mal'tsev, N. I. Kobozev, T. V. Semenova, E. I. Karpova. Some Structural Problems of Hydrogenation Catalysts. III. . . . .	1190
N. Nesmeyanov, L. P. Firsova, E. P. Isakova. Measurement of the Saturated Vapor Pressure of Lead Oxide . . . . .	1200
G. El'darov. Thermal Conductivity of Non-Aqueous Salt Solutions. I . . . . .	1205
V. Storonkin, A. I. Rusanov. Thermodynamic Theory of Critical Phenomena in Tri-Component Systems. IV . . . . .	1212
S. Solov'eva. Determination of the Kinetic Characteristics of a Surface Reaction in the Process of the Burning of Gases . . . . .	1219
I. Popova, T. A. Kryukova. Polarographic Peaks of the First Order. The Dependence of the Peak Current on the Concentration of the Reducible Substance and on the Electroconductivity of the Solution. . . . .	1226
A. Turyan, Yu. S. Milyavskii and B. P. Zhantalai. Polarographic Determination of the Activity Coefficients of Cadmium . . . . .	1234
L. Pokrovskii, D. S. Tissen. The Properties of Metallic Solutions. VI . . . . .	1238
T. Bugaenko, E. P. Kalyazin, N. A. Bakh. The Radiation Chemistry of Oxychlorine Compounds. I. . . . .	1243
P. Krichevskii, N. E. Khazanova, Yu. V. Tsekhanovskaya. Critical Phenomena in the System Hexamethylenimine Water. Diffusion in the Vicinity of the Critical Point. . . . .	1250
T. Vagramyan, A. I. Krasovskii, Yu. S. Petrova, Z. A. Solov'eva. The Role of Passivation in the Electrodeposition of Metals . . . . .	1255
A. A. Tolmacheva, A. T. Davydov. Investigation of the Exchange of Sulfate for Chloride and Iodide Ions on the Ion Exchanger N-O under Flow Conditions . . . . .	1260
V. Stupochenko, E. V. Samuilov, A. S. Pleshanov, I. B. Rozhdestvenskii. Thermodynamic Functions of Air at High Temperatures . . . . .	1265



N. E. Alekseevskii, A. V. Dubrovinn, G. E. Karstens. The Application of Mass Spectrometers with Inhomogeneous Magnetic Fields for Gas Analysis . . . . .	1
G. M. Panchenkov, Z. V. Gryaznova. Deuterohydrogen Exchange and the Cracking of Cumene on Alumosilicate Catalysts . . . . .	1
V. L. Antonovskii, I. V. Berezin. The Application of Tritium in Determining the Relative Rate Constants of Cleavage of Organic Hydrogen. The Reactivity of the Hydrogen-Carbon Bonds of n-Heptane . . . . .	1
V. A. Khromova. Reaction Kinetics of Strontium, Barium and Lead Chlorides with Bromine Vapor . . . . .	1
Z. I. Fur. Mechanism of Propagation of Burning in Heterogeneous Exothermal Systems. II. . . . .	1
T. A. Kudryavtseva, N. M. Chirkov. Kinetics of Chlorine Exchange in Isomeric $\beta$ -Chlorocrotonic Acids. VI. . . . .	1
E. S. Itskevich, P. G. Strelkova. Thermodynamic Studies at Low Temperatures. IX . . . . .	1
V. I. Smirnova, B. F. Ormont. High Vacuum Quartz Oven with Rotating Membrane for High Temperature Surface Tension and Other Investigations . . . . .	1
V. D. Reshetov. On Unipolar Charges of Aerosols . . . . .	1
Yu. I. Kozorezov. Kinetic Equations for the Alkylation of Benzene by Unsaturated Hydrocarbons . . . . .	1
V. A. Zhuravlev, A. A. Kuzheliuk. Electromotive Forces in Some Catalytic Reduction Reactions . . . . .	1
A. A. Balandin, I. D. Rozhdestvenskaya. Effect of Surface Reduction of Chromium Oxide on Its Catalytic Properties . . . . .	1
V. A. Kuznetsov, I. P. Klevtsova, L. S. Zagainova, L. S. Vaintraub, T. A. Korobova. Investigation of Contact Potential Differences between Sn and Sn — Te Alloys and of Electrocapillary Phenomena on the Alloys . . . . .	1
N. V. Korovin. Cathodic Polarization in the Electrodeposition of a Copper-Nickel Alloy . . . . .	1
V. V. Gromov. Desorption of Micro-Quantities of Strontium and Caesium from Montmorillonite and Kaolinite . . . . .	1
O. N. Kachinskaya. The Heats of Vaporization of Cyclanes . . . . .	1
V. V. Udovenko, L. P. Aleksandrova. Vapor Pressure of Tri-Component Systems. III. . . . .	1

### Experimental Methods and Apparatus

V. S. Merkulov, A. V. Klimushev. The Component Analysis of Binary Systems from the Absorption of $\gamma$ -Radiation . . . . .	1
M. S. Sytilin. Apparatus for Graphical Differentiation with the Aid of a Circle to Accelerate the Treatment of Kinetic Data . . . . .	1

### Discussion

A. B. Zhdanovich. On the Additivity of the Logarithms of Viscosity of Liquid Mixtures . . . . .	1
A. Ya. Deich. Again on the Study of Liquid Systems from the Deviation from Additivity of the Logarithms of Viscosity . . . . .	1

### Letters to the Editor

V. K. Semenchenko. Relation between the Thermodynamic Stability of a System and the Kinetics of the Processes Occurring within It. . . . .	1
--	---



Технический редактор *П. А. Колгурина*

---

Т-08304	Подписано и печати 21/VI 1960 г.	Печ. л. 20,2+1 вкл.	Уч.-изд. л. 22,4
Формат бумаги 70×108 <sup>1/16</sup>	Бум. л. 7 <sup>3/8</sup>	Зак. 498	Тираж 3525 экз.

---

2-я типография Издательства Академии наук СССР. Москва, Шубинский пер., 10

**ПРИНИМАЕТСЯ ПОДПИСКА  
НА ЖУРНАЛЫ ИЗДАТЕЛЬСТВА АКАДЕМИИ НАУК СССР  
НА ВТОРОЕ ПОЛУГОДИЕ 1960 г.**

Наименование журналов	Количество номеров за 6 мес.	Цена за 6 мес.	Наименование журналов	Количество номеров за 6 мес.	Цена за 6 мес.
Автоматика и телемеханика.	6	67—50	Известия Карельского и Кольского филиалов Академии наук СССР	2	14—
Акустический журнал.	2	24—00	Исторический архив.	3	45—
Астрономический журнал.	3	49—50	Исторический архив (в перепл.).	3	40—
Биофизика.	3	36—00	История СССР.	3	36—
Биохимия.	3	54—00	Коллоидный журнал.	3	36—
Ботанический журнал.	6	90—00	Кристаллография	3	45—
Вестник Академии наук СССР.	6	48—00	Математический сборник.	6	72—
Вестник древней истории.	2	48—00	Микробиология.	3	45—
Вопросы языкознания.	3	36—00	Новая и новейшая история.	3	30—
Высокомолекулярные соединения.	6	75—00	Оптика и спектроскопия.	6	84—
Геология рудных месторождений.	3	36—00	Палеонтологический журнал.	2	30—
Геохимия.	4	36—00	Почвоведение.	6	72—
Доклады Академии наук СССР.	18	259—20	Приборы и техника эксперимента.	3	45—
Доклады Академии наук СССР (с 6-ю папками колленкорowymi с тиснением).	18	271—20	Прикладная математика и механика.	3	58—
Журнал аналитической химии.	3	36—00	Природа.	6	42—
Журнал высшей нервной деятельности, имени И. П. Павлова.	3	45—00	Проблемы востоковедения.	3	48—
Журнал научной и прикладной фотографии и кинематографии.	3	22—50	Радиотехника и электроника.	6	82—
Журнал неорганической химии.	6	135—00	Радиохимия.	3	36—
Журнал общей биологии.	3	22—50	Русская литература.	2	20—
Журнал общей химии.	6	165—00	Советская археология.	2	50—
Журнал прикладной химии.	6	112—50	Советская этнография.	3	54—
Журнал технической физики.	6	63—00	Советское государство и право.	6	72—
Журнал физической химии.	6	135—00	Теория вероятностей и ее применения.	2	22—
Журнал экспериментальной и теоретической физики.	6	144—00	Успехи современной биологии.	3	24—
Записки Всесоюзного минералогического общества.	3	36—00	Успехи химии.	6	48—
Зоологический журнал.	6	90—00	Физика твердого тела.	6	150—
Известия Академии наук СССР. серия биологическая	3	45—00	Физиологический журнал СССР им. И. М. Сеченова.	6	72—
серия географическая	3	45—00	Физиология растений.	3	36—
серия геологическая	6	72—00	Цитология.	3	36—
серия геофизическая	6	90—00	Энтомологическое обозрение.	2	45—
серия математическая	3	45—00			
серия физическая	6	72—00	<b>Журналы Сибирского отделения Академии наук СССР</b>		
Известия Академии наук СССР. Отделение литературы и языка.	6	27—00	Геология и геофизика.	6	42—
Известия Академии наук СССР. Отделение технических наук: металлургия и топливо	3	37—50	Журнал прикладной механики и технической физики.	2	30—
механика и машиностроение	3	37—50	Журнал структурной химии.	2	30—
энергетика и автоматика	3	37—50	Известия Сибирского отделения Академии наук СССР.	6	42—
Известия Академии наук СССР. Отделение химических наук.	6	90—00	Кинетика и катализ.	2	30—
Известия Всесоюзного географического общества.	3	27—00	Сибирский математический журнал	2	30—

**ПОДПИСКА ПРИНИМАЕТСЯ В ПУНКТАХ ПОДПИСКИ «СОЮЗПЕЧАТИ»,  
ПОЧТАМТАХ, КОНТОРАХ И ОТДЕЛЕНИЯХ СВЯЗИ,  
ОБЩЕСТВЕННЫМИ УПОЛНОМОЧЕННЫМИ НА ПРЕДПРИЯТИЯХ  
И В УЧРЕЖДЕНИЯХ, А ТАКЖЕ ОТДЕЛЕНИЯМИ  
И МАГАЗИНАМИ «АКАДЕМКНИГА» И КОНТОРОЙ «АКАДЕМКНИГА» ПО АДРЕСУ:  
МОСКВА, ЦЕНТР, В. ЧЕРКАССКИЙ ПЕР., 2/10**